

INSTITUTUL POLITEHNIC "TRAIAN VUIA" TIMISOARA  
FACULTATEA DE MECANICA

Ing. Ioan Smicală

CONTRIBUTII PRIVIND STUDIUL SISTEMELOR  
VIBROPERCUTANTE PRIN MODELARE "ELECTRICA"

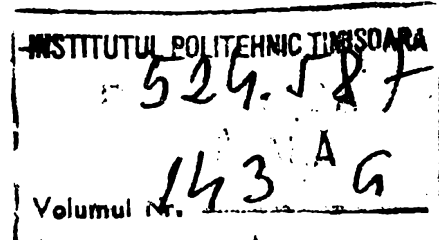
- Teză de doctorat -

BIBLIOTECA CENTRALĂ  
UNIVERSITATEA "POLITEHNICA"  
TIMIȘOARA

CONDUCATOR STIINTIFIC,  
Prof. em. dr. doc. ing. GHEORGHE SILAS

T I M I S Q A R A

- 1987



## 1. INTRODUCERE

### 1.1. Studii teoretice ale sistemelor mecanice vibropercutante

In etapa actuală de dezvoltare a tehnicii mondiale, în contextul generalizării revoluției tehnico-științifice în toate domeniile producției de bunuri materiale, se înregistrează în mod frecvent și continuu tot mai multe succese și rezultate științifice remarcabile. Preocupările oamenilor de știință și ale cercetătorilor sunt legate tot mai mult de nevoile producției, ale tehnicii, vizând elaborarea de noi tehnologii, cu eficiență sporită, realizarea mașinilor și instalațiilor complexe, a robotilor industriali, pentru mecanizarea complexă și automatizarea proceselor industriale, agricole, din construcții, transporturi, etc. În condițiile crizei energetice mondiale se impun cu prioritate cercetările legate de descoperirea unor noi surse energetice, de elaborare a tehnologiilor și de realizare a mașinilor cu consumuri energetice reduse. Toate aceste orientări ale cercetării științifice presupun studii aprofundate, atât teoretice, cât și experimentale, urmărindu-se în mod deosebit optimizarea tehnologiilor, a mașinilor, mecanismelor și instalațiilor după criterii funktionale, energetice și de eficiență economică. De aici rezultă importanța deosebită a studiilor de dinamică a mecanismelor, mașinilor și agregatelor, a cercetărilor în vedere

rea dezvoltării teoriei vibrațiilor liniare și neliniare. De asemenea, tendințele actuale de mărire a vitezelor și turărilor mișcărilor de regim ale mașinilor și agregatelor întăresc importanța studiilor aprofundate de dinamică și de vibrații mecanice, datorită fenomenelor de rezonanță și autovibrații ce apar mai des, cu mai mare intensitate și sub forme multiple. Ca urmare, în colectivele de cercetare pluridisciplinare, constituite tot mai frecvent pentru studiul sub multiple aspecte al unor fenomene fizice complexe, își găsesc locul și cercetători cu profil mecanic, având sarcini importante de cercetare, cu o pondere tot mai mare în ansamblul cercetărilor.

După toate probabilitățile, greu se pot găsi fenomene fizice, în care prin mijloace energetice minime să se ajungă la rezultate apreciabile, ca și în cazul folosirii fenomenelor de ciocnire. Aceasta conduce la un interes constant pentru studiul acestui fenomen și al aplicațiilor sale. Utilizarea principiului acțiunii ciocnirii în practica productivă și în tehnica de război își are izvoarele în adîncul veacurilor. De-a lungul secolelor studiul fenomenelor de ciocnire a avut o evoluție complicată, la început fiind bazat exclusiv pe experiență, dar devenind cu fiecare etapă tot mai util pentru producție.

Între multiplele aplicații cu caracter ingineresc, legate de folosirea acțiunii ciocnirilor, se desprinde clasa problemelor de studiu a mișcărilor vibratorii cu ciocniri repetitive, numite mișcări vibropercutante. Sistemele mecanice în care se realizează astfel de mișcări au primit denumirea de sisteme vibropercutante. Desigur, acțiunea ciocnirilor repetitive are un specific aparte în comparație cu acțiunea unei singure ciocniri, cu excepția cazului în care frecvența ciocnirilor este mult mai mică față de frecvențele proprii ale sistemului elastic în care apar.

In celelalte cazuri, ciocnirile conduc la forțe perturbatoare, care determină unele rezerve de energie ce se acumulează de la o ciocnire la alta, astfel încât se obține un efect oscilant. Cele prezentate mai sus determină aria problemelor teoriei sistemelor vibropercutante, ca o parte de sine stătătoare a teoriei vibrațiilor mecanice.

Regimurile de funcționare vibropercutante stau la baza funcționării unei largi categorii de mașini, instalații și construcții cu diferite destinații. În această categorie se încadrează mașinile pentru baterea și scoaterea pilonilor, pentru tasarea și afinarea terenurilor, pentru spargerea și fărămițarea materialelor, pentru îndesarea betoanelor și a amestecurilor de turnătorie, standurile pentru încercări la șocuri repetitive, diferite perforatoare, ciocane de abataj, mașini de nituit, prese mecanice etc. De asemenea, în funcționarea vibrotransportoarelor pot să apară regimuri de funcționare cu desprinderi ale particulelor, care conduc la mișcări vibropercutante și care pot să prezinte unele avantaje pentru procesul de transport. Pentru această categorie de sisteme sînt caracteristice regimurile de mișcare periodice stabilă, realizate ca și la vibrațiile forțate sau autovibrații. Diferite variante constructive ale mecanismelor și sistemelor vibropercutante din această categorie necesită, prin folosirea metodelor de studiu adecvate, nu numai rezolvarea problemelor de analiză a comportării dinamice, ci și căsirea soluțiilor de sinteză a structurilor dinamice, în vederea realizării unor regimuri optime de funcționare.

O altă categorie largă de sisteme vibropercutante este constituită din sistemele mecanice și structurile la care apariția mișcărilor vibropercutante nu este esențială în funcționarea lor, sau este chiar nedorită. În această categorie se pot încadra toate mașinile și mecanismele la care, în timpul funcționării lor,

pot să apară accidental mișcări vibropercutante, datorită unor regimuri de funcționare dezavantajoase, sau datorită ruperii lanțurilor cinematice. Astfel, în cazul funcționării la frecvență ridicată a releselor, contactele acestora pot să aibă mișcări vibropercutante, ceea ce poate afecta funcționarea corectă a dispozitivelor și aparatelor electrice sau electronice din care fac parte. Din această cauză, pentru astfel de dispozitive și apарате se folosesc relee electronice cu comutație rapidă. De asemenea, ruperea lanțurilor cinematice ale mașinilor și ciocnirile repetate ale elementelor constructive conduc la stabilirea unor procese vibropercutante intense, având ca rezultat modificarea substanțială a întregii structuri a sistemului elastic, a distribuției frecvențelor sale proprii, a caracterului proceselor tranzistorii, determinînd efecte neliniare variate. Datorită tendințelor actuale de mărire a frecvențelor de lucru, de dimensionare și calcul de rezistență la durabilitate limitată a organelor de mașini, în vederea realizării de economii de materii prime și materiale, pot să apară frecvențe astfel de fenomene. Ca urmare, studiul problemelor de dinamică a sistemelor mecanice și de stabilitate a mișcărilor acestora, necesită considerarea proceselor vibropercutante pentru sisteme cu structuri diferite, având mase distribuite sau concentrate, liniare sau neliniare și fiind supuse acțiunii diferențelor forțe perturbatoare, deterministe sau aleatoare.

Spre deosebire de studiul ciocnirilor singulare sau ale ciocnirilor multiple cu frecvență de repetiție mică, studiul profundat al dinamicii și stabilității mișcărilor sistemelor vibropercutante este de dată relativ recentă.

Fără a lua în considerare câteva lucruri nesemnificative mai vechi, practic cercetările sistematice și complexe în acest domeniu au început în deceniul al 5-lea din secolul nostru. Primele lucrări

legate de studiul mișcărilor periodice ale sistemelor vibropercutante și al stabilității acestora s-au ocupat cu probleme de dinamică a sistemelor vibropercutante cu un grad de libertate, cu aplicații în vibrotransport, la care au avut contribuții deosebite cercetătorii sovietici, precum, și cu probleme de dinamică ale amortizoarelor prin șocuri repetitive, la care și-au adus contribuția cercetători din URSS și SUA. În scurt timp au apărut un număr mare de lucrări privind studiul sistemelor vibropercutante, cu aplicații în numeroase ramuri ale tehnicii și producției.

Metodele de studiu și rezultatele obținute în acest domeniu au fost sintetizate în monografii, care au pus bazele teoriei sistemelor vibropercutante [10], [13], [62], [71], [83], [106], [121]. La dezvoltarea teoriei sistemelor vibropercutante și-au adus contribuția, în afară de cercetători din URSS și SUA, oameni de știință și cercetători din numeroase țări, printre care și cei din țara noastră. Printre cele mai semnificative lucrări în acest domeniu, pe lîngă monografiile menționate mai sus și pe lîngă lucrările cercetătorilor din țara noastră, se pot aminti lucrările [2], [6], [7], [9], [11], [12], [20]-[24], [38]-[40], [55], [56], [67], [79], [80], [84], [85], [88], [90], [103]-[105], [120], [124], [196], [197], [204]-[211], [214]-[217], elaborate de cercetători sovietici, lucrările [46], [50], [53], [57]-[59], [66], [86], [87], [102], [108], [114], [115], [128], elaborate de cercetători din SUA, R.S. Cehoslovacia, R.P. Polonia, R.D.G. și R.F.G. În toate aceste lucrări și monografii sunt studiate mișcările vibropercutante periodice stabile sub diferite aspecte, pentru sisteme vibropercutante diverse, cu aplicații tot mai largi în tehnică și producție, utilizând diverse metode de studiu, bazate pe dezvoltarea teoriei vibrăriilor neliniare și se pun tot mai frecvent probleme de optimizare. Astfel se abordează probleme de studiu ale mișcărilor vibropercu-

tante periodice de diferite tipuri, cu perioada egală cu perioada forțelor perturbatoare sau multiplă, cu o singură ciocnire într-o perioadă a mișcării sau cu ciocniri multiple, pentru sisteme vibropercutante cu unul, două sau mai multe grade de libertate și chiar pentru sisteme vibropercutante ce conțin corpi cu masa distribuită. S-a îmbogățit foarte mult literatura de specialitate în privința metodelor de studiu ale stabilității mișcărilor periodice ale sistemelor vibropercutante. Cu toate acestea, datorită complexității problemelor și datorită ariei foarte largi de aplicabilitate, în prezent există încă multe probleme și aspecte neelucidate în acest domeniu, chiar și în cazul cel mai simplu al sistemelor vibropercutante cu un grad de libertate.

In țara noastră astfel de probleme au abordat cercetători și oameni de știință din București, Iași și Timișoara. Cele mai importante contribuții la dezvoltarea teoriei sistemelor vibropercutante le-au adus membrii colectivului de cercetare de la Institutul Politehnic "Traian Vuia" din Timișoara, condus cu competență de teov.prof.em.dr.doc.ing.Gheorghe Silas. În urma cercetărilor teoretice și experimentale, efectuate cu mijloace moderne de calcul și disponind de laboratoare cu o dotare la nivelul tehniciei mondiale, s-au obținut rezultate remarcabile în acest domeniu. Primele cercetări legate de studiul sistemelor vibropercutante datează de la începutul deceniului al 7-lea din secolul nostru, imediat după înființarea Catedrei de Mecanică la Institutul Politehnic "Traian Vuia" din Timișoara și la scurt timp după primele cercetări complexe și sistematice pe plan mondial. Principalele contribuții aduse de membrii catedrei la dezvoltarea teoriei sistemelor vibropercutante sunt:

- a) Clasificarea sistemelor vibropercutante după numărul cuplilor (semicuplelor) percutante [27].

b) Determinarea coeficientului de restituire la ciocnire pe baza deformațiilor locale [27], [131], [159].

c) Analiza mișcărilor periodice ale sistemelor vibropercutante în cazul ciocnirilor plastice [27], [146].

d) Introducerea funcției legăturii unilaterale pentru studiul ciocnirilor sistemelor vibropercutante [27], [32], [131], [147], [149], [182].

e) Folosirea variabilei complexe pentru determinarea mișcărilor periodice și pentru studiul stabilității sistemelor vibropercutante cu un grad de libertate [131], [145], [150].

f) Utilizarea metodelor de calcul matricial pentru studiul mișcărilor periodice ale sistemelor vibropercutante [14], [32], [147], [149], [182] - [185].

g) Stabilirea unor noi metode pentru studiul stabilității mișcărilor periodice ale sistemelor vibropercutante [27] - [31], [35], [36], [136] - [144], [163].

h) Stabilirea unor noi metode de aproximare poligonală pentru studiul sistemelor cu caracteristici neliniare și al ciocnirilor neinstantanee [100], [131], [165], [176].

i) Stabilirea unor noi metode pentru determinarea mișcărilor periodice ale sistemelor vibropercutante [33], [174].

j) Contribuții la optimizarea sistemelor vibropercutante [74], [75], [170], [173].

Rezultatele valoroase obținute și contribuțiile aduse la dezvoltarea teoriei sistemelor vibropercutante au condus la recunoașterea, atât în țară cât și peste hotare, a colectivului de cercetare de la Institutul Politehnic "Traian Vuia" din Timișoara ca o adevărată școală de cercetare în acest domeniu. Ca o confirmare a prestigiului acestui colectiv, a competenței profesionale a conducătorilor săi științifici, prof.em.dr.doc.ing.Silag

Gheorghe și prof.dr.ing.Brîndeu Liviu, o reprezintă editarea valoroasei monografii [151], cuprinzînd rezultate obținute de autori și contribuțiile aduse în acest domeniu.

Metodele noi stabilite pentru studiul sistemelor vibropercutante, precum și rezultatele generale obținute, au fost aplicate la studiul teoretic al unei largi clase de sisteme vibropercutante cu aplicații în multe domenii ale tehnicii și producției.

Rezultatele acestor studii teoretice au stat la baza proiectării și realizării unor mașini, mecanisme, standuri de încercare, modele experimentale, etc., cu acțiuni vibropercutante. Astfel, pe baza unor contracte de colaborare cu producția s-au realizat și aplicat în producție mașini pentru înfigerea pilotilor și palplanșelor în pămînt [177], [178], obținîndu-se importante economii.

De asemenea, tot pe baza unor contracte de cercetare cu producția, s-au efectuat studii teoretice și experimentale privind îmbunătățirea proceselor tehnologice de formare și turnare prin folosirea vibrațiilor și vibropercuțiilor, care s-au aplicat în producție cu eficiență sporită față de tehnologiile clasice [48], [189], [194]; la aceste cercetări și-a adus contribuția și autorul acestei teze. Rezultatele cercetărilor teoretice și experimentale efectuate de autorul tezei pentru studiul sistemelor vibropercutante au fost folosite și pentru finalizarea contractelor de cercetare încheiate cu Intreprinderea "6 Martie" din Timișoara în vederea proiectării, realizării și încercării de noi scule și mașini cu acțiuni vibrante și vibropercutante folosite în construcții.

Aceste cercetări s-au folosit și pentru proiectarea, realizarea și încercarea de către autor, împreună cu un colectiv de studenți, a unui model de laborator pentru studiul sistemelor vibropercutante cu unul sau două grade de libertate și a unui stand de încercare la șocuri repetitive a aparatelor electrice și electronice, avînd

caracteristici tehnice superioare standurilor similare realizate în țară.

### 1.2. Studii experimentale pe modele ale sistemelor mecanice vibropercutante

Studiile teoretice ale fenomenelor fizice au la bază acumulări cantitative și calitative ale observațiilor oamenilor asupra naturii, aceste observații fiind prelucrate, clasificate și interpretate în funcție de stadiul de dezvoltare al științei. Au rezultat metode de aprecieri cantitative și calitative ale unor aspecte ale fenomenelor fizice, corespunzătoare diferitelor ramuri ale științei. Aceste aprecieri se efectuează pe baza unor modele fizice, la care se neglijeză anumite particularități neesențiale pentru aspectul studiat și nu se ține seama de interdependența dintre fenomenele de natură fizică diferită. Chiar și în actualul stadiu înalt de dezvoltare al științei, datorită complexității fenomenelor fizice, nu se poate ține seama de toate aspectele și particularitățile acestora, astfel încât în studiul lor este necesar să se facă anumite aproximări. Este foarte important ca aproximările efectuate să nu altereze esența fenomenului studiat, iar verificarea concordanței dintre teorie și realitate se poate face numai pe cale experimentală.

În studiul comportării dinamice a sistemelor mecanice vibropercutante, chiar dacă se consideră numai aspectele pur mecanice, apar o serie de fenomene și caracteristici mecanice, care nu se pot trata matematic prin metode exacte. Însuși fenomenul de ciocnire este un fenomen complex, depinzînd de un număr mare de parametrii, iar caracteristica dinamică, exprimată prin dependența forței percutante de deformațiile locale în zona de contact și de viteza relativă a punctelor teoretice de contact

în timpul ciocnirii, se modifică în timpul funcționării sistemului vibropercutant. Caracteristicile elastice și de amortizare ale elementelor constructive ale sistemelor vibropercutante sînt, în general, neliniare și depind de un număr mare de parametrii, care se pot modifica în timpul funcționării.

De asemenea, în lagăre și ghidaje apar inherent forțe de frecare, care și ele depind de o serie întreagă de parametrii și mărimi variabile. Ca urmare, pentru studiul mișcărilor sistemelor vibropercutante este necesar să se negligeze efectul anumitor forțe și să se aproximeze anumite caracteristici. Rezultă, astfel, modele mecanice pentru sistemele vibropercutante, a căror comportare dinamică aproximează comportarea dinamică a sistemelor vibropercutante considerate. Un studiu exact al mișcărilor sistemelor mecanice vibropercutante reale nu este posibil și nici nu este necesar, avînd în vedere precizia limitată a aparatelor de măsură și control. Este necesar, însă, să se verifice pe cale experimentală încadrarea rezultatelor studiului teoretic între anumite limite, care să permită o bună funcționare a sistemelor vibropercutante reale. Verificările experimentale se efectuează pe modele experimentale, construite în conformitate cu principiile teoriei modelării, sau pe prototipuri.

Tipurile de modele experimentale ce pot fi considerate pentru sistemele mecanice sînt:

a) Modele mecanice construite la scară geometrică exactă (prototipuri pentru sistemele mecanice).

b) Modele mecanice construite în condiții speciale de modelare, fără a presupune o scară geometrică exactă (modele mecanice distorsionate).

c) Modele experimentale de altă natură fizică, dintre care cele mai răspîndite sînt modelele electrice.

d) Modele constituite pe sisteme tip calculator.

e) Diferite combinații ale tipurilor precedente.

Prinsele două tipuri de modele experimentale se încadrează în problemele de modelare fizică în care modelele sănt de aceeași natură fizică cu sistemele fizice corespunzătoare. Deși modelele de tipul a) dă cele mai utile și exacte indicații asupra comportării dinamice a unui sistem mecanic, în primele faze ale cercetărilor experimentale se construiesc modele de tipul b), prototipurile fiind construite abia în ultima fază a cercetărilor, după stabilirea variantelor constructive. Modelele mecanice distorsionate presupun abateri de la scara geometrică exactă și neglijarea unor particularități ale sistemului mecanic considerat, care se justifică prin:

- influența mică a particularităților neglijate în comportarea dinamică a sistemului;

- eroarea acceptabilă datorită neglijărilor făcute;

- existența posibilităților de corecție a rezultatelor măsurătorilor efectuate pe model, care să țină seama de diferența dintre comportarea sistemului mecanic și cea a modelului.

Construirea modelelor mecanice distorsionate se realizează în conformitate cu principiile similitudinii dinamice, alegîndu-se în mod convenabil scări pentru mărimele mecanice fundamentale și, pe baza analizei dimensionale, rezultînd scările pentru mărimele mecanice derivate. Deoarece, în general, aceste modele se construiesc la scară geometrică redusă, utilizarea în primele faze ale cercetărilor experimentale a modelelor mecanice distorsionate în locul prototipurilor conduce la importante economii de materiale, materii prime, combustibil și energie.

Modelele experimentale de tipul c) pentru sistemele mecanice, în special modelele electrice, se bazează pe analogii între legile

ce descriu comportarea dinamică a sistemelor mecanice și legile care guvernează comportarea modelului. Astfel, între ecuațiile de mișcare ale sistemelor mecanice vibrante liniare cu mase concentrate și legile lui Kirchhoff aplicate rețelelor electrice cu elemente electrice liniare se pot stabili analogii. Aceste analogii electrice stau la baza construirii modelelor electrice pentru sistemele mecanice. Folosirea lor este justificată de prețul de cost mult mai scăzut al elementelor modelelor electrice decât cel al elementelor constructive ale modelelor mecanice și de faptul că măsurătorile în circuitele electrice se pot face mult mai ușor și mai precis.

Modelele experimentale de tipul d) se realizează, în general, pe calculatoare electronice, numerice sau analogice. Modelarea sistemelor mecanice pe calculatoarele analogice se realizează prin stabilirea interconexiunilor dintre elementele de calcul analogic, astfel încât să rezulte pentru model ecuații diferențiale de aceeași formă ca și legile de mișcare ale sistemului. În urma calculului analogic se înregistrează, la anumite scări, variația în timp a diferitelor mărimi caracteristice pentru mișcarea sistemului sau diagrame în planul fazelor. Modelarea pe calculatoarele analogice se efectuează în două faze: stabilirea principală a schemei de conexiuni dintre elementele de calcul analogic pentru realizarea ecuațiilor diferențiale de forma cerută (modelarea calitativă) și alegerea factorilor de scară, pe baza cărora rezultă valorile coeficienților ecuațiilor diferențiale (modelarea cantitativă). De aici rezultă și unul din dezavantajele modelării pe calculatoarele analogice, care constă în faptul că alegerea factorilor de scară este dificilă, datorită condițiiei necesare ca pe întreaga durată a calculului analogic toate variabilele de mașină să aibă valori sub nivelul tensiunii

de referință a calculatorului. Un alt dezavantaj față de modelarea pe calculatoarele numerice îl constituie precizia relativ scăzută a elementelor de calcul analogic, ceea ce poate conduce la acumularea erorilor în scheme de modelare complexe și, ca urmare, la compromiterea rezultatelor calculului analogic. Cu toate acestea, calculatoarele analogice se mai folosesc frecvent pentru modelarea sistemelor mecanice, a sistemelor de reglare automată, a proceselor termodinamice sau hidrodinamice, datorită posibilităților ce le oferă de schimbare ușoară și rapidă a coeficienților uățiilor diferențiale, putîndu-se urmări ușor influența unuitor parametrii asupra comportării acestor sisteme.

In ultimul timp s-a extins utilizarea calculatoarelor hibride, care sunt constituite prin interconectarea calculatoarelor analogice și numerice prin intermediul convertoarelor analog-numerice și numeric-analogice, reunindu-se, astfel, avantajele celor două tipuri de calculatoare. De asemenea, pe plan mondial există preocupări pentru modelarea pe calculatoarele numerice a sistemelor continuu pe aceleași principii ca și pe calculatoarele analogice, programul de calcul indicînd interconexiunile dintre anumite subrute care simulează elementele de calcul analogic. In această direcție s-au obținut rezultate și la noi în țară; astfel la Institutul Politehnic din București a fost realizat programul denumit LSSC [193].

In literatura de specialitate, referitoare la studiul sistemelor mecanice vibropercutante, în cea mai mare măsură sunt date rezultatele cercetărilor experimentale efectuate pe modele mecanice distorsionate sau pe prototipuri.

Marea majoritate a lucrărilor cuprinzînd studii teoretice asupra mișcărilor vibropercutante sunt urmate de verificări experimentale pe astfel de modele. In mai mică măsură sunt reflectate în li-

teratura de specialitate rezultatele verificărilor experimentale pe modelele electrice. Totuși, sînt cunoscute preoccupările unor cercetători sovietici pentru modelarea pe calculatoarele analogice a sistemelor mecanice vibropercutante [89], [122], precum și rezultatele valoroase obținute prin modelarea pe calculatoare analogice și hibride a unor astfel de sisteme de către cercetătorul Peterka Frantisek din R.S.Cehoslovacia [111] - [113].

În autorul acestei teze aduce unele contribuții la modelarea electrică a sistemelor mecanice vibropercutante, atît prin analogii electrice, cît și pe calculatoare analogice [186], [187]. Modelarea analogică a unor sisteme mecanice vibropercutante s-a efectuat pe calculatorul analogic MEDA-42TA de producție cehoslovacă, existent în dotarea laboratoarelor catedrei.

Rezultatele teoretice și experimentale obținute de autor în studiul sistemelor mecanice vibropercutante se datorează în mare parte îndrumării competente și indicațiilor date de conducătorul științific, prof.em.dr.doc.ing.Silaș Gheorghe. De asemenea, a primit sprijin prețios din partea prof.dr.ing. Groșanu Iosif, prof.dr.ing.Brîndeu Liviu și din partea tuturor membrilor catedrei. Ca urmare, autorul își exprimă și pe această cale sincere mulțumiri tuturor celor care au contribuit la elaborarea și redactarea tezei.

## Cap.2. STUDIUL MISCARILOR PERIODICE STABILE ALE SISTEMELOR MECANICE VIBROPERCUTANTE

### 2.1. Generalități

Pentru studiul teoretic al mișcărilor sistemelor mecanice vibropercutante, în vederea unor aplicații tehnice în construcția de mașini, este necesar să se țină seama de faptul că aceste sisteme sunt neliniare, chiar dacă mișcările între ciocniri ale acestora sunt descrise de ecuații diferențiale liniare.

Prin urmare, modelarea matematică a sistemelor mecanice vibropercutante prezintă dificultăți cu atât mai mari cu cât numărul de grade de libertate al acestora este mai mare. De asemenea, natura și caracteristicile mișcărilor vibropercutante depind, în general, de un număr mare de parametrii, ceea ce conduce la dificultăți în stabilirea regimurilor de funcționare optime. Rezultă că, pentru analiza și sinteza mecanismelor vibropercutante, este necesară stabilirea unor modele mecanice, care să reproducă parametrii caracteristici ai sistemelor vibropercutante cu o aproximatie cât mai bună. Stabilirea modelelor mecanice pentru mecanismele vibropercutante se face pe baza unor ipoteze simplificatoare, care se verifică prin încercări experimentale. Aceste ipoteze simplificate se referă atât la intervalele de timp dintre ciocniri ale mișcărilor sistemului, cât și, în special, la intervalele de timp în care au loc ciocnirile.

In cele ce urmează, pentru stabilirea modelelor mecanice

ale sistemelor mecanice vibropercutante se vor lua în considerare următoarele ipoteze simplificatoare:

a) Neglijarea unor forțe rezistente de valori mici față de alte forțe ce acționează în intervalele dintre ciocniri ale mișcării sistemului. Astfel, în cele mai frecvente cazuri se pot neglija forțele de amortizare uscată (forțele de frecare), dacă aceasta nu influențează mișcarea sistemului vibropercutant. În cazul studiului mișcărilor cu desprinderi ale particulelor materiale pe vibrotransportoare (caz în care vibrotransportorul împreună cu particulele transportate devine un sistem vibropercutant) forțele de frecare nu pot fi neglijate, deoarece acestea stau la baza principiului de funcționare al vibrotransportoarelor. În multe cazuri, pentru studiul într-o primă aproximatie al sistemelor vibropercutante se pot neglija și forțele de amortizare viscoasă între ciocniri. Deoarece aceste forțe apar întotdeauna, este necesar să se studieze influența lor asupra mișcărilor sistemelor vibropercutante.

b) Linearizarea caracteristicilor elastice și de amortizare ale sistemelor mecanice vibropercutante între ciocniri. În general, la deplasări finite ale sistemului vibropercutant caracteristica elastică (forță elastică exprimată ca funcție de deformarea elastică) și caracteristica de amortizare (forță de amortizare viscoasă exprimată ca funcție de viteza relativă între capetele elementului de amortizare) sunt neliniare. În multe cazuri, aceste caracteristici pot fi linearizate, fie integral (pentru toate valorile deformațiilor elementelor elastice sau pentru toate valorile vitezelor relative dintre capetele elementelor de amortizare viscoasă), fie parțial sau pe porțiuni (între anumite valori ale deformațiilor elementelor elastice sau între anumite valori ale vitezelor relative dintre capetele

elementelor de amortizare viscoasă).

c) Neglijarea intervalului de timp în care au loc ciocnirile. În general, intervalul de timp în care au loc ciocnirile este mult mai mic decât intervalul de timp al mișcării dintre ciocniri, caz în care intervalele de timp ale ciocnirilor se consideră nule și se spune că ciocnirile sunt instantanee. Dacă intervalele de timp în care au loc ciocnirile nu pot fi neglijate față de intervalele de timp ale mișcărilor dintre ciocniri, ciocnirile se numesc neinstantanee.

d) Considerarea ciocnirilor instantanee ca fenomene locale, în care în intervalele scurte (neglijabile) ale ciocnirilor poziția sistemului nu se schimbă. În cazul ciocnirilor neinstantanee, această ipoteză nu este aplicabilă.

e) Neglijarea forțelor de valoare medie mică în timpul ciocnirii, numite forțe nepercutante. În mod obișnuit, la ciocnirea a două corpuri, singura forță percutantă (cu valoare medie mare în timpul ciocnirii) este forța locală de contact, dirijată după normala comună la suprafețele celor două corpuri în punctul teoretic de contact. În aceste cazuri ciocnirea poate fi considerată instantanee și este caracterizată de coeficientul de restituire la ciocnire, care se determină experimental. Neglijarea celorlalte forțe care acționează în timpul ciocnirii a două corpuri conduce la o bună aproximare a fenomenului complex de ciocnire, dacă ciocnirea este centrică (vitezele punctelor de contact la începutul ciocnirii sunt dirijate după normala comună la suprafețele celor două corpuri), sau dacă ciocnirea nu este centrică, dar forțele de frecare din zona de contact sunt neglijabile.

După precizarea modelului mecanic pentru sistemul vibropercutant de studiat, pe baza ipotezelor simplificatoare, tratarea matematică a acestuia se face în funcție de elementele carac-

524.587  
143 A  
BUPT

teristice stabilite prin încadrarea sa într-o anumită categorie (grupă) de sistem vibropercutant. Încadrarea sistemelor vibropercutante în grupe se face pe baza clasificării lor după diferite criterii.

a) După numărul de grade de libertate:

- sisteme vibropercutante cu un grad de libertate
- sisteme vibropercutante cu două grade de libertate
- sisteme vibropercutante cu mai multe grade de libertate

b) După caracterul ecuațiilor diferențiale ale mișcării între ciocniri:

- sisteme vibropercutante lineare între ciocniri
- sisteme vibropercutante nelineare între ciocniri

c) După numărul cuplelor (semiclupei) percutante:

- sisteme vibropercutante cu o cuplă percutantă
- sisteme vibropercutante cu două couple percutante
- sisteme vibropercutante cu mai multe couple percutante

d) După caracterul ciocnirilor:

- sisteme vibropercutante cu ciocniri instantanee
- sisteme vibropercutante cu ciocniri neinstantanee

e) După posibilitatea neglijării unor forțe rezistente în intervalele de timp dintre ciocniri:

- sisteme vibropercutante neamortizate
- sisteme vibropercutante cu amortizare viscoasă
- sisteme vibropercutante cu amortizare uscată
- sisteme vibropercutante asupra cărora acționează și alte categorii de forțe rezistente.

După destinația sistemelor vibropercutante există diferite clasificări pe grupe și tipuri constructive. Din acest punct de vedere se pot deosebi două categorii mari de sisteme vibropercutante:

- sisteme vibropercutante la care mișcările vibropercutante sunt necesare pentru anumite procese tehnologice (în cele mai multe cazuri pentru a produce anumite deformații), apariția mișcărilor vibropercutante fiind esențială pentru funcționarea utilajelor.

- sisteme vibropercutante la care apariția mișcărilor vibropercutante este neesențială în funcționarea utilajelor, de multe ori fiind chiar nedorită.

Pentru analiza și sinteza mecanismelor vibropercutante prezintă interes prima din aceste două categorii de sisteme vibropercutante. În problemele de optimizare ale acestor sisteme vibropercutante este necesar să se asigure lucrul mecanic de deformație maxim în procesul de ciocnire, care se realizează pe baza unor pierderi mari de energie cinetică în timpul ciocnirilor.

Rezultă că pentru optimizarea sistemelor vibropercutante este necesar să se impună condiții de maxim pentru vitezele relative ale punctelor teoretice de contact ale corpurilor care se ciocnesc la începutul ciocnirilor.

Pentru studiul teoretic al tuturor acestor categorii și grupe de sisteme vibropercutante se impune rezolvarea succesivă a următoarelor probleme:

- a) Stabilirea ecuațiilor diferențiale ale mișcării sistemelor vibropercutante între ciocniri.
- b) Modelarea matematică a ciocnirilor.
- c) Stabilirea condițiilor de existență ale mișcărilor periodice ale sistemelor vibropercutante.
- d) Studiul stabilității mișcărilor periodice ale sistemelor vibropercutante.
- e) Optimizarea sistemelor vibropercutante.

Primele două probleme se rezolvă pe baza modelelor mecanice ale sistemelor vibropercutante rezultate în urma acceptării unor

ipoteze simplificatoare. Ca urmare, după efectuarea studiului teoretic propriu-zis, care constă în rezolvarea următoarelor probleme, se impune verificarea rezultatelor acestui studiu prin încercări experimentale pe modele.

## 2.2. Stabilirea ecuațiilor diferențiale ale mișcării sistemelor vibropercutante între ciocniri

### 2.2.1. Operator matricial de derivare parțială

Pentru stabilirea ecuațiilor diferențiale ale mișcării sistemelor vibropercutante între ciocniri se consideră cazul general al sistemelor mecanice cu mai multe grade de libertate. Cazurile în care sistemul vibropercutant considerat are unul sau două grade de libertate se obțin ușor prin particularizarea cazului general. Pentru exprimarea compactă a ecuațiilor diferențiale ale mișcării este necesar să se folosească metodele calculului matricial. Exprimarea matricială a acestor ecuații diferențiale prezintă avantajul că pot fi ușor adaptate pentru calculul numeric cu ajutorul calculatoarelor electronice.

In cele ce urmează se prezintă unele notății folosite pentru calculul matricial. Astfel, matricile coloană se vor nota cu o liniuță deasupra literei ce definește elementele sale. Matricile patrate sau dreptunghiulare se notează cu o liniuță sub litera ce definește elementele sale, dimensiunile lor fiind precizate anterior introducerii notățiilor. Transpusa unei matrici se notează cu indicele superior "T", iar inversa unei matrici patrate nesingulare se notează cu indicele superior "-1". Astfel  $\bar{A}$  reprezintă o matrice coloană cu elementele  $A_{ij}$ ,  $\bar{A}^T$  reprezintă matricea linie obținută prin transpunerea matricii coloană  $\bar{A}$ , iar  $\underline{A}^{-1}$  reprezintă inversa matricii patrate nesingulare  $\underline{A}$  cu elementele  $A_{ij}$ .

Pentru stabilirea ecuațiilor diferențiale ale mișcării sistemelor mecanice cu mai multe grade de libertate se va folosi un operator matricial de derivare parțială. Pentru definirea lui se consideră o funcție scalară reală  $F$  de  $n$  variabile reale  $x_1, x_2, \dots, x_n$ , definită pe  $\mathbb{R}^n$  cu valori în  $\mathbb{R}$ . Notând cu  $\bar{x}$  matricea coloană cu elementele  $x_i$  ( $i=1, 2, \dots, n$ ), acest operator, notat cu  $\frac{\partial}{\partial \bar{x}}$ , se definește prin:

$$\frac{\partial}{\partial \bar{x}} (F) = \left\| \frac{\partial F}{\partial x_1} \frac{\partial F}{\partial x_2} \cdots \frac{\partial F}{\partial x_n} \right\|^T \quad (2.1)$$

și corespunde gradientului unei funcții scalare de mai multe variabile reale.

Se observă că operatorul matricial de derivare parțială astfel definit este un operator liniar, deoarece

$$\frac{\partial}{\partial \bar{x}} (F_1 + F_2) = \frac{\partial}{\partial \bar{x}} (F_1) + \frac{\partial}{\partial \bar{x}} (F_2)$$

și pentru un scalar constant  $\alpha$ , rezultă  $\frac{\partial}{\partial \bar{x}} (\alpha F) = \alpha \frac{\partial}{\partial \bar{x}} (F)$ .

Pentru stabilirea proprietăților acestui operator se consideră diferite expresii pentru funcția scalară  $F$ . Dacă această funcție este de forma:

$$F = \sum_{i=1}^n A_i x_i = \bar{x}^T \cdot \bar{A} \quad (2.2)$$

unde  $\bar{A} = \|A_i\|$  și  $A_i$  sunt constante, se poate scrie:

$$\frac{\partial}{\partial \bar{x}} (F) = \left\| \begin{array}{c} A_1 \\ A_2 \\ \vdots \\ A_n \end{array} \right\| = \underline{I} \bar{A} \quad (2.3)$$

În expresia (2.3)  $\underline{I}$  reprezintă matricea unitate cu dimensiunile  $n \times n$ . Se constată că aplicarea operatorului matricial de derivare parțială pentru matricea linie  $\bar{x}^T$  conduce la o matrice patrată (matricea unitate  $\underline{I}$ ) în care elementele de pe coloana  $j$  reprezintă rezultatul aplicării operatorului  $\frac{\partial}{\partial \bar{x}}$  pentru  $x_j$ .

Considerind funcția  $F$  de forma (2.2), în care  $A_1 = A_1(x_1, x_2, \dots, x_n)$ , se poate scrie:

$$\frac{\partial}{\partial \bar{x}}(F) = \underline{I}\bar{A} + \begin{vmatrix} \frac{\partial A_1}{\partial x_1}x_1 + \frac{\partial A_2}{\partial x_1}x_2 + \dots + \frac{\partial A_n}{\partial x_1}x_n \\ \frac{\partial A_1}{\partial x_2}x_1 + \frac{\partial A_2}{\partial x_2}x_2 + \dots + \frac{\partial A_n}{\partial x_2}x_n \\ \dots \dots \dots \\ \frac{\partial A_1}{\partial x_n}x_1 + \frac{\partial A_2}{\partial x_n}x_2 + \dots + \frac{\partial A_n}{\partial x_n}x_n \end{vmatrix} \quad (2.4)$$

Se constată că, exprimînd derivata parțială a matricii linie  $\bar{A}^T$  prin:

$$\begin{aligned} \frac{\partial}{\partial \bar{x}}(\bar{A}^T) &= \begin{vmatrix} \frac{\partial A_1}{\partial x_1} & \frac{\partial A_2}{\partial x_1} & \dots & \frac{\partial A_n}{\partial x_1} \\ \frac{\partial A_1}{\partial x_2} & \frac{\partial A_2}{\partial x_2} & \dots & \frac{\partial A_n}{\partial x_2} \\ \dots \dots \dots \\ \frac{\partial A_1}{\partial x_n} & \frac{\partial A_2}{\partial x_n} & \dots & \frac{\partial A_n}{\partial x_n} \end{vmatrix} = \\ &= \begin{vmatrix} \frac{\partial}{\partial \bar{x}}(A_1) & \frac{\partial}{\partial \bar{x}}(A_2) & \dots & \frac{\partial}{\partial \bar{x}}(A_n) \end{vmatrix}, \end{aligned} \quad (2.5)$$

relația (2.4) devine:

$$\frac{\partial}{\partial \bar{x}}(F) = \underline{I}\bar{A} + \frac{\partial}{\partial \bar{x}}(\bar{A}^T) \cdot \bar{x} = \frac{\partial}{\partial \bar{x}}(\bar{x}^T) \cdot \bar{A} + \frac{\partial}{\partial \bar{x}}(\bar{A}^T) \cdot \bar{x} \quad (2.6)$$

Pe baza relației (2.6) se poate stabili regula de derivare parțială a unei funcții scalare de  $n$  variabile dată ca produsul dintre o matrice linie și una coloană, fiecare cu  $n$  elemente depinzînd de aceleasi variabile:

$$F = \bar{A}^T \cdot \bar{B} = \bar{B}^T \cdot \bar{A}$$

$$\frac{\partial}{\partial \bar{x}}(F) = \frac{\partial}{\partial \bar{x}}(\bar{A}^T) \cdot \bar{B} + \frac{\partial}{\partial \bar{x}}(\bar{B}^T) \cdot \bar{A} \quad (2.7)$$

Formula (2.7) corespunde gradientului unei funcții scalare dată ca produsul scalar a două funcții vectoriale.

Considerind funcția  $F$  de forma

$$-\frac{1}{2} \sum_{i,j=1}^n A_{ij} x_i x_j = \frac{1}{2} \bar{x}^T \cdot \underline{A} \cdot \bar{x} \quad (2.8)$$

unde  $\underline{A} = \left[ A_{ij} \right]$  și  $A_{ij}$  sunt constante, se poate scrie:

$$\begin{aligned} \frac{\partial}{\partial \bar{x}}(F) &= \frac{1}{2} \frac{\partial}{\partial \bar{x}}(\bar{x}^T) \cdot \underline{A} \cdot \bar{x} + \frac{1}{2} \frac{\partial}{\partial \bar{x}}(\underline{A} \bar{x})^T \cdot \bar{x} = \\ &+ \frac{1}{2} \underline{A} \bar{x} + \frac{1}{2} \frac{\partial}{\partial \bar{x}}(\bar{x}^T \underline{A}^T) \cdot \bar{x} = \frac{1}{2} \underline{A} \bar{x} + \frac{1}{2} \underline{A}^T \bar{x} \end{aligned} \quad (2.9)$$

Dacă matricea  $\underline{A}$  este simetrică, rezultă:

$$\frac{\partial}{\partial \bar{x}}(F) = \underline{A} \bar{x} = \underline{A}^T \bar{x} \quad (2.10)$$

Dacă funcția  $F$  are expresia (2.8), dar

$$A_{ij} = A_{ij}(x_1, x_2, \dots, x_n), \text{ se obține:}$$

$$\begin{aligned} \frac{\partial}{\partial \bar{x}}(F) &= \frac{1}{2} \underline{A} \bar{x} + \frac{1}{2} \underline{A}^T \cdot \bar{x} + \\ &+ \frac{1}{2} \left| \begin{array}{c} \frac{\partial A_{11}}{\partial x_1} x_1^2 + \frac{\partial A_{21}}{\partial x_1} x_1 x_2 + \dots + \frac{\partial A_{n1}}{\partial x_1} x_1 x_n + \frac{\partial A_{12}}{\partial x_1} x_1 x_2 + \frac{\partial A_{22}}{\partial x_1} x_2^2 + \dots \\ \frac{\partial A_{11}}{\partial x_2} x_1^2 + \frac{\partial A_{21}}{\partial x_2} x_1 x_2 + \dots + \frac{\partial A_{n1}}{\partial x_2} x_1 x_n + \frac{\partial A_{12}}{\partial x_2} x_1 x_2 + \frac{\partial A_{22}}{\partial x_2} x_2^2 + \dots \\ \dots \dots \dots \dots \dots \dots \\ \frac{\partial A_{11}}{\partial x_n} x_1^2 + \frac{\partial A_{21}}{\partial x_n} x_1 x_2 + \dots + \frac{\partial A_{n1}}{\partial x_n} x_1 x_n + \frac{\partial A_{12}}{\partial x_n} x_1 x_2 + \frac{\partial A_{22}}{\partial x_n} x_2^2 + \dots \end{array} \right| \end{aligned} \quad (2.11)$$

Se constată că, exprimând derivata parțială a matricii linie  $\bar{A}_j^T$  după formula (2.5), unde  $\bar{A}_j$  reprezintă coloana cu indicele  $j$  din matricea  $\underline{A}$ , relația (2.11) se poate scrie sub forma:

$$\frac{\partial}{\partial \bar{x}}(F) = \frac{1}{2} \underline{A} \bar{x} + \frac{1}{2} \underline{A}^T \cdot \bar{x} + \frac{1}{2} \sum_{j=1}^n x_j \frac{\partial}{\partial \bar{x}}(\bar{A}_j^T) \cdot \bar{x} \quad (2.12)$$

Operatorul matricial de derivare parțială dat de (2.1), se mai poate exprima în mod analog printr-o matrice linie corespunzătoare matricii Jacobi a unei funcții scalare de mai multe variabile. Deoarece, în cele ce urmează, acest operator este folosit pentru exprimarea compactă, matricială, a ecuațiilor lui Lagrange, în care toți termenii sunt sub forma unor matrici colo-

nă, se va utiliza formula (2.1) de definiție a operatorului con-  
siderat.

### 2.2.2. Stabilirea ecuațiilor diferențiale ale mișcării sistemeelor vibropercutante neliniare între ciclochirii

Tipul cel mai general de sistem vibropercutant a cărui mișcare este descrisă de ecuații diferențiale neliniare între ciclochirii, poate fi asociat, în toate cazurile întâlnite în aplicații, unui model mecanic de sistem supus la legături olonome și neolonome scleronome. În mod obișnuit, de legăturile olonome se găsește seama la stabilirea parametrilor de poziție independenți cu care se studiază mișcarea, astfel încât ecuațiile legăturilor olonome nu se iau în considerare direct la stabilirea ecuațiilor de mișcare ale sistemului. Deoarece este necesar să se determine și reacțiunile legăturilor olonome asupra sistemului aflat în mișcare, ecuațiile acestora se pot deriva în raport cu timpul și sub aceeași formă se incluză între ecuațiilor legăturilor neolonome.

Să considerăm un astfel de sistem mecanic al cărui poziție depinde de  $n$  coordonate generalizate  $q_1, q_2, \dots, q_n$ . Sistemul este supus la  $l$  ( $l < n$ ) legături neolonome, ale căror ecuații se pot exprima sub forma:

$$\sum_{j=1}^n a_{ij} \dot{q}_j + a_{io} = 0, \quad i = 1, 2, \dots, l, \quad (2.13)$$

unde coeficienții  $a_{ij}$  și  $a_{io}$  depind de coordonatele generalizate.

Pentru stabilirea ecuațiilor diferențiale ale mișcării sistemului, metoda cea mai generală o constituie utilizarea ecuațiilor lui Lagrange cu multiplicatori. Pentru aplicarea lor este necesar să se calculeze energia cinetică  $E_c$  a sistemului, energia sa potentială  $E_p$ , funcția de disipare a energiei  $b_j$  și forțele generalizate perturbatoare  $Q_j^*$  ( $j=1, 2, \dots, n$ ). Energia cinetică a sistemului considerat se exprimă ca o funcție omogenă de gradul doi în vitezele generalizate:

$$E_c = \frac{1}{2} \sum_{i,j=1}^n b_{ij} \dot{q}_i \dot{q}_j = \frac{1}{2} \dot{\underline{q}}^T \underline{b} \dot{\underline{q}} , \quad (2.14)$$

unde  $\underline{b} = \|b_{ij}\|$  este matricea de inserție, în general simetrică, având elementele  $b_{ij}$  dependente de coordonatele generalizate.

Energia potențială se calculează pentru toate forțele conservative ce acționează asupra sistemului (greutăți, forțe elastice, etc.) și este o funcție de coordonatele generalizate. Deoarece coordonatele generalizate se măsoară din poziția de echilibru static a sistemului și în această poziție se consideră valoarea nulă a energiei potențiale, aceasta se poate exprima sub forma:

$$E_p = \frac{1}{2} \sum_{i,j=1}^n d_{ij} q_i q_j = \frac{1}{2} \underline{q}^T \underline{d} \underline{q} \quad (2.15)$$

unde  $\underline{d} = \|d_{ij}\|$  este matricea de rigiditate, în general simetrică, având elementele  $d_{ij}$  dependente de coordonatele generalizate.

Funcția de disipare a energiei se calculează pentru forțele de amortizare viscoasă și pentru alte forțe rezistente, depinzînd de coordonatele generalizate și de vitezele generalizate. În general și expresia funcției de disipare a energiei se poate pune sub o formă patratică de vitezele generalizate:

$$E_d = \frac{1}{2} \sum_{i,j=1}^n c_{ij} \dot{q}_i \dot{q}_j = \frac{1}{2} \dot{\underline{q}}^T \underline{c} \dot{\underline{q}} \quad (2.16)$$

unde  $\underline{c} = \|c_{ij}\|$  reprezintă matricea de amortizare, simetrică și cu elementele sale depinzînd de coordonatele generalizate și de vitezele generalizate. Forțele generalizate perturbatoare se calculează pentru forțele perturbatoare ce acționează asupra sistemului și rezultă ca funcții de timp, îni expresia lor intrînd, în unele cazuri, și coordonatele generalizate.

Cu aceste mărimi calculate, ecuațiile lui Lagrange cu multiplicatori se pot scrie sub forma:

$$\frac{d}{dt} \left( \frac{\partial E_c}{\partial \dot{q}_j} \right) - \frac{\partial E_c}{\partial q_j} = - \frac{\partial E_d}{\partial \dot{q}_j} - \frac{\partial E_p}{\partial q_j} + Q_j^* + \sum_{i=1}^l \lambda_i a_{ij} \\ j = 1, 2, \dots, n , \quad (2.17)$$

unde  $\lambda_i$  ( $i=1,2,\dots,l$ ) sunt multiplicatorii lui Lagrange cu ajutorul căror se exprimă reacțiunile legăturilor neolonomă.

Dacă  $a_{ij}$  sunt adimensionali,  $\lambda_i$  au dimensiuni de forțe și reprezintă chiar reacțiunile acestor legături. Ecuatiile (2.17) împreună cu ecuațiile (2.13) ale legăturilor neolonomă formează un sistem de  $n+l$  ecuații diferențiale cu necunoscutele  $q_j = q_j(t)$  și  $\lambda_i = \lambda_i(t)$ .

Atât ecuațiile lui Lagrange (2.17), cât și ecuațiile legăturilor neolonomă (2.13) se pot exprima compact sub formă matricială. Notând cu  $\underline{a} = \|a_{ij}\|$  matricea dreptunghiulară cu dimensiunile  $l \times n$  cu elementele  $a_{ij}$ , cu  $\bar{a}_0 = \|a_{i0}\|$ , cu  $\bar{\lambda} = \|\lambda_i\|$  și cu  $\bar{Q}^* = \|Q_j^*\|$  matricile coloană cu elementele corespunzătoare, aceste ecuații devin:

$$\underline{a} \dot{\underline{q}} + \bar{a}_0 = \bar{0} \quad (2.18)$$

$$\frac{d}{dt} \left\{ \frac{\partial}{\partial \dot{q}} (E_c) \right\} - \frac{\partial}{\partial q} (E_c) = - \frac{\partial}{\partial \dot{q}} (E_d) - \frac{\partial}{\partial \dot{q}} (E_p) + \bar{Q}^* + \underline{a}^T \bar{\lambda} \quad (2.19)$$

Tinând seama de expresia (2.14) a energiei cinetice, pentru care se poate aplica formula (2.10) de derivare parțială, primul termen al ecuațiilor matriciale (2.19) se poate scrie:

$$\frac{d}{dt} \left\{ \frac{\partial}{\partial \dot{q}} (E_c) \right\} = \underline{b} \ddot{\underline{q}} + \left\{ \sum_{j=1}^n \dot{q}_j \frac{\partial \underline{b}}{\partial q_j} \right\} \dot{\underline{q}}, \quad (2.20)$$

iar pe baza formulei (2.12), al doilea termen devine:

$$-\frac{\partial}{\partial \dot{q}} (E_c) = \frac{1}{2} \left\{ \sum_{j=1}^n \dot{q}_j \frac{\partial}{\partial \dot{q}} (\bar{b}_j^T) \right\} \dot{\underline{q}} \quad (2.21)$$

astfel încit membrul stîng al ecuației matriciale (2.19) are expresia:

$$\frac{d}{dt} \left\{ \frac{\partial}{\partial \dot{q}} (E_c) \right\} - \frac{\partial}{\partial q} (E_c) = \underline{b} \ddot{\underline{q}} + \sum_{j=1}^n \dot{q}_j \left\{ \frac{\partial \underline{b}}{\partial q_j} - \frac{1}{2} \frac{\partial}{\partial \dot{q}} (\bar{b}_j^T) \right\} \dot{\underline{q}} \quad (2.22)$$

Se constată că în această expresie apar termeni liniari în acce-

relațiile generalizate  $\ddot{q}_j$  și termeni de gradul doi în vitezele generalizate, coeficienții fiind funcții de coordonatele generalizate.

Aplicând formula (2.12) de derivare parțială pentru funcția de disipare a energiei dată de (2.16) și pentru energia potențială (2.15), următorii termeni din ecuația matricială (2.19) se exprimă prin:

$$\frac{\partial}{\partial \dot{q}}(E_d) = \underline{c}\dot{q} + \frac{1}{2} \sum_{j=1}^n \dot{q}_j \frac{\partial}{\partial \dot{q}}(\bar{c}_j^T) \dot{q} \quad (2.23)$$

$$\frac{\partial}{\partial \dot{q}}(E_p) = \underline{d}\dot{q} + \frac{1}{2} \sum_{j=1}^n q_j \frac{\partial}{\partial \dot{q}}(\bar{d}_j^T) \dot{q} \quad (2.24)$$

Se constată că în expresia (2.23) apar termeni neliiniari în vitezele generalizate, iar expresia (2.24) conține termeni neliiniari în coordonatele generalizate.

Pe baza relațiilor (2.22), (2.23) și (2.24), ecuațiile de mișcare ale sistemului vibropercutant între ciocniri devin:

$$\begin{aligned} \underline{b}\ddot{q} + \underline{c}\dot{q} + \sum_{j=1}^n \dot{q}_j \left\{ \frac{\partial \underline{b}}{\partial q_j} - \frac{1}{2} \frac{\partial}{\partial \dot{q}}(\bar{b}_j^T) + \frac{1}{2} \frac{\partial}{\partial \dot{q}}(\bar{c}_j^T) \right\} \dot{q} + \\ + \underline{d}\dot{q} + \frac{1}{2} \sum_{j=1}^n q_j \frac{\partial}{\partial \dot{q}}(\bar{d}_j^T) \dot{q} = \bar{Q}^* + \underline{a}^T \bar{\lambda} , \end{aligned} \quad (2.25)$$

la care se adaugă ecuațiile (2.18) ale legăturilor neolonomice.

Notând:

$$\underline{C} = \underline{c} + \sum_{j=1}^n \dot{q}_j \left\{ \frac{\partial \underline{b}}{\partial q_j} - \frac{1}{2} \frac{\partial}{\partial \dot{q}}(\bar{b}_j^T) + \frac{1}{2} \frac{\partial}{\partial \dot{q}}(\bar{c}_j^T) \right\} \quad (2.26)$$

$$\underline{D} = \underline{d} + \frac{1}{2} \sum_{j=1}^n q_j \frac{\partial}{\partial \dot{q}}(\bar{d}_j^T)$$

ecuația matricială (2.25) se mai poate scrie:

$$\underline{b}\ddot{q} + \underline{C}\dot{q} + \underline{D}\dot{q} = \bar{Q}^* + \underline{a}^T \bar{\lambda} \quad (2.27)$$

unde elementele matriții  $\underline{C}$  depind de vitezele generalizate și de coordonatele generalizate, iar elementele matriții  $\underline{D}$  sunt

funcții de coordonatele generalizate, ambele matrici fiind, în general, nesimetrice.

Dacă legăturile neolonomе sunt neideale (cu frecare uscată), în expresiile forțelor de frecare intervin reacțiunile acestor legături, astfel încât elementele matricii  $\underline{c}$  săn funcțiuni, în general neliniare, și de multiplicatorii  $\lambda_i$ . În acest caz acești multiplicatori se elimină mai greu între ecuațiile date de (2.27), dar dacă această eliminare este posibilă, din (2.27) rămân  $m = n - l$  ecuații diferențiale neliniare de ordinul doi în coordonatele generalizate, care împreună cu cele  $l$  ecuații diferențiale de ordinul întii din (2.18) formează ecuațiile de mișcare ale sistemului vibropercutant între ciocniri.

Dacă legăturile neolonomе sunt ideale (fără frecare), multiplicatorii  $\lambda_i$  se pot elmina ușor. Deoarece în matricea  $\underline{a}^T$  se pot determina  $l$  linii cu elementele liniar independente pe întreg domeniul  $\mathcal{D} \in \mathbb{R}^n$  în care iau valori coordonatele generalizate în timpul mișcării sistemului, se consideră că primele  $l$  linii de următoarele  $m$  din (2.27) această ecuație matriceală se descompune în două ecuații matriciale:

$$\underline{b}_l \ddot{\underline{q}} + \underline{C}_l \dot{\underline{q}} + \underline{D}_l \underline{q} = \bar{\underline{Q}}_l^x + \underline{a}_l^T \bar{\lambda}, \quad (2.28)$$

$$\underline{b}_m \ddot{\underline{q}} + \underline{C}_m \dot{\underline{q}} + \underline{D}_m \underline{q} = \bar{\underline{Q}}_m^x + \underline{a}_m^T \bar{\lambda}, \quad (2.29)$$

în care s-au folosit notațiile:

$$\begin{aligned} \underline{b} &= \begin{vmatrix} \underline{b}_l \\ \underline{b}_m \end{vmatrix}; \quad \underline{C} = \begin{vmatrix} \underline{C}_l \\ \underline{C}_m \end{vmatrix}; \quad \underline{D} = \begin{vmatrix} \underline{D}_l \\ \underline{D}_m \end{vmatrix}; \\ \underline{a} &= \begin{vmatrix} \underline{a}_l & \underline{a}_m \end{vmatrix}; \quad \bar{\underline{Q}}^x = \begin{vmatrix} \bar{\underline{Q}}_l^x \\ \bar{\underline{Q}}_m^x \end{vmatrix} \end{aligned} \quad (2.30)$$

Matricea  $\underline{a}_l^T$  fiind patrată și nesingulară, din (2.28) se pot determina elementele matricii  $\bar{\lambda}$ , astfel încât, după înlocuirea în (2.29), rezultă ecuația matricială:

$$\{ \underline{b}_m - A \underline{b}_l \} \ddot{\underline{q}} + \{ \underline{C}_m - A \underline{C}_l \} \dot{\underline{q}} + \{ \underline{D}_m - A \underline{D}_l \} \underline{q} = \\ = \bar{\underline{Q}}_m^* - A \bar{\underline{Q}}_l^* , \quad (2.31)$$

unde matricea  $A = \underline{a}_m^T (\underline{a}_l^T)^{-1}$  are dimensiunile  $m \times l$ .

In multe cazuri întâlnite în aplicații legăturile la care este supus sistemul vibropercutant sunt olonome scleronome și pot fi considerate ideale. In aceste condiții ecuațiile diferențiale ale mișcării sistemului între ciocniri se obțin din ecuația matricială (2.27) prin particularizare:

$$\underline{b} \ddot{\underline{q}} + \underline{C} \dot{\underline{q}} + \underline{D} \underline{q} = \bar{\underline{Q}}^* , \quad (2.32)$$

rezultând tot neliniare. De asemenea, sunt frecvente cazurile în care matricea de inertie  $\underline{b}$  are toate elementele constante, uneori fiind chiar matrice diagonală (în cazul sistemelor formate din corpuri aflate în mișcare de translație rectilinie și de rotație în jurul axelor lor de simetrie), iar forțele generalizate perturbatoare  $\underline{Q}_j^*$  rezultă ca funcții numai de timp.

Pentru astfel de sisteme vibropercutante prezintă interes practic trei tipuri de sisteme neliniare între ciocniri:

a) Sisteme vibropercutante cu caracteristici de amortizare liniare și cu caracteristici elastice neliniare. In acest caz matricile  $\underline{b}$  și  $\underline{C} = \underline{c}$  au elementele constante, termenii neliniari rezultând din matricea  $\underline{D}$ , care are elementele funcțiuni de coordinate generalizate. Pentru studiul teoretic al acestor sisteme în mod obișnuit caracteristicile elastice ale elementelor elastice se liniarizează pe porțiuni. Pentru aceasta, domeniul  $\mathcal{D}$  al valorilor matricii  $\bar{\underline{q}}$  se împarte în mai multe subdomenii  $\mathcal{D}_k$ , astfel încât pe fiecare subdomeniu toate caracteristicile elastice ale sistemului să poată fi aproximate cu segmente de dreaptă. Ca urmare, pe fiecare subdomeniu, ecuațiile diferențiale ale mișcării sistemului între ciocniri rezultă de forma:

$$\underline{b}\ddot{\underline{q}} + \underline{c}\dot{\underline{q}} + \underline{d}_k\underline{\bar{q}} = \underline{\bar{Q}}^* \quad (2.33)$$

unde matricea  $\underline{d}_k$  este simetrică și are elementele constante, cu valori diferite pe subdomenii diferite.

b) Sisteme vibropercutante neamortizate cu caracteristici elastice neliiniare. Acest tip constituie un caz particular al celui prezentat mai sus, în care toate elementele matricii de amortizare  $\underline{c}$  sunt nule.

c) Sisteme vibropercutante cu caracteristici de amortizare neliiniare. În acest caz matricea de amortizare  $\underline{c}$  are elementele funcții numai de vitezele generalizate, iar matricea  $\underline{C}$ , pe baza primei relații (2.26), rezultă de forma:

$$\underline{C} = \underline{\Omega} + \frac{1}{2} \sum_{j=1}^n \dot{q}_j \frac{\partial}{\partial \dot{q}_j} (\underline{C}^T) , \quad (2.34)$$

fiind, în general, nesimetrică și având elementele funcții neliiniare de vitezele generalizate. Si în acest caz, pentru studiul teoretic al acestor sisteme, este utilă liniarizarea pe porțiuni a caracteristicilor de amortizare pe subdomenii  $\mathcal{D}'_k$  ale domeniului  $\mathcal{D}'$  al valorilor matricii  $\dot{\underline{q}}$ .

### 2.2.3. Stabilirea ecuațiilor diferențiale ale miscării sistemelor vibropercutante liniare între ciocniri

Sistemelor vibropercutante liniare între ciocniri li se asociază modele mecanice corespunzătoare unor sisteme supuse la legături clonome scleronome ideale la care energia cinetică depinde numai de vitezele generalizate și care au caracteristici elastice și de amortizare liniare. Stabilirea ecuațiilor diferențiale ale mișcării pentru aceste sisteme se face la fel ca și în cazul general prezentat mai sus, obținindu-se ecuația matricială de forma:

$$\underline{b}\ddot{\underline{q}} + \underline{c}\dot{\underline{q}} + \underline{d}\underline{\bar{q}} = \underline{\bar{Q}}^* , \quad (2.35)$$

în care matricile  $\underline{b}$ ,  $\underline{c}$  și  $\underline{d}$  sunt simetrice și au elementele constante pe întreg domeniul  $\mathcal{D}$  al valorilor coordonatelor generalizate și pe întreg domeniul  $\mathcal{D}'$  al vitezelor generalizate. Forțele generalizate perturbatoare  $\underline{Q}_j^x$  sunt funcții periodice de timp, având aceeași perioadă  $T$ .

In cele mai multe cazuri coordonatele generalizate se pot alege astfel încât să reprezinte distanțe între anumite elemente geometrice ale sistemului. In aceste cazuri modelul mecanic al sistemului se reduce la un model de translație, constituit din mase concentrate aflate în mișcări de translație rectilinie după aceeași direcție (de obicei verticală), legate între ele prin elemente elastice și de amortizare cu caracteristici liniare. Notând cu  $x_j$  deplasarea rectilinie a masei  $m_j$  din poziția de echilibru static a sistemului, ecuația matricială (2.35) se poate exprima sub forma:

$$\underline{\underline{m}}\ddot{\underline{x}} + \underline{c}\dot{\underline{x}} + \underline{k}\underline{x} = \underline{F}(t) , \quad (2.36)$$

unde  $\underline{\underline{m}}$  este matrice diagonală și conține masele echivalente ale sistemului, matricea  $\underline{c}$  are elementele cu dimensiuni de coeficienți de amortizare vîscoasă, matricea  $\underline{k}$  are elementele cu dimensiuni de constante elastice, iar elementele matricii  $\underline{F}(t)$  sunt forțe perturbatoare periodice în timp, având aceeași perioadă  $T$ .

Dacă în cazul modelului de translație pentru sistemul vibropercutant considerat coeficienții de amortizare au valori mici, pentru studiul într-o primă aproximatie se poate considera sistemul fără amortizare vîscoasă, pentru care ecuația matricială (2.36) devine:

$$\underline{\underline{m}}\ddot{\underline{x}} + \underline{k}\underline{x} = \underline{F}(t) \quad (2.37)$$

### 2.3. Modelarea matematică a ciocnirilor

#### 2.3.1. Modelarea matematică a ciocnirilor instantanee

In studiul teoretic al sistemelor mecanice vibropercutante, asupra cărora acționează forțe perturbatoare periodice cu perioada  $T$ , prezintă interes pentru aplicații determinarea mișcărilor vibropercutante periodice stabile, având perioada un multiplu al perioadei forțelor perturbatoare  $rT$  ( $r = 1, 2, \dots$ ). In cazurile în care durata mișcării între două ciocniri consecutive este mult mai mare decât durata  $\tau$  a unei ciocniri, deci  $\tau \ll T$ , intervalul de timp  $\tau$  se poate neglija și ciocnirile se pot considera instantanee. In aceste cazuri ciocnirea este centrică, fenomenul de ciocnire este local și se negligează forțele nepercutante, singura forță percutantă fiind forța locală de contact, corespunzătoare interacțiunii celor două corpură în timpul ciocnirii.

Pentru modelarea matematică a ciocnirilor instantanee, se consideră cupla percutantă dintre corpurile cu masele  $m_i$  și  $m_j$  dintr-un model mecanic de translație al unui sistem vibropercutant (fig.2.1). Parametrii de poziție  $x_i$  și  $x_j$  se măsoară din poziția de echilibru static a sistemului. Deoarece atât în timpul mișcării cât și în momentul ciocnirii corpurile se consideră rigide, deși pentru studiul ciocnirii trebuie să se țină seama de deformații în zona locală de contact, pentru orice cuplă sau semicuplă percutantă (semicuplă percutantă având masa unui corp neglijabilă) se poate stabili o relație între parametrii de

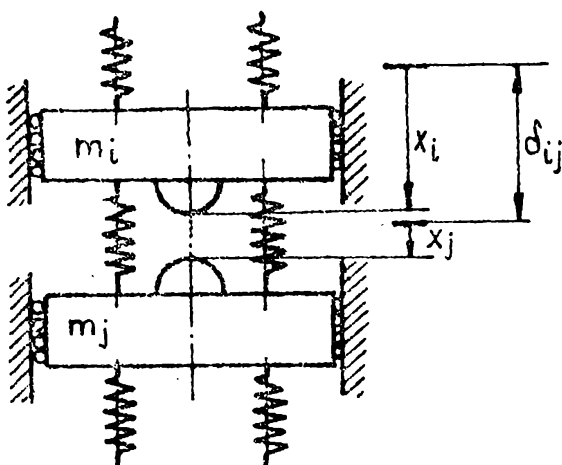


Fig. 2.1

poziție pe baza unei funcții corespunzătoare unei legături unilaterale. În cazul considerat în fig.2.1, funcția legăturii unilaterale este  $x_j + \delta_{ij} - x_i$ , cu ajutorul căreia se exprimă relația:

$$x_j + \delta_{ij} - x_i \geq 0 \quad , \quad (2.38)$$

în care este verificată inegalitatea în timpul mișcării sistemului și egalitatea în momentul ciocnirii.

Se consideră că la momentul  $t_k$  are loc ciocnirea de ordinul  $k$  în poziția în care parametrii de poziție au valorile  $(x_i)_k$  și  $(x_j)_k$ , între care există relația:

$$(x_i)_k = (x_j)_k + \delta_{ij} \quad (2.39)$$

La începutul ciocnirii vitezele celor două corpuri, aflate în mișcare de translație rectilinie, au valorile  $(\dot{x}_i)_k$  și  $(\dot{x}_j)_k$ . Pentru determinarea vitezelor celor două corpuri la sfîrșitul ciocnirii,  $(\dot{x}'_i)_k$  și  $(\dot{x}'_j)_k$ , se aplică legile ciocnirilor sistemului format de cele două corpuri

$$m_i(\dot{x}_i)_k + m_j(\dot{x}_j)_k = m_i(\dot{x}'_i)_k + m_j(\dot{x}'_j)_k \quad (2.40)$$

și se consideră expresia coeficientului de restituire la ciocnire  $R$  dintre cele două corpuri în funcție de viteze

$$R = \frac{(\dot{x}'_j)_k - (\dot{x}'_i)_k}{(\dot{x}_i)_k - (\dot{x}_j)_k} \quad (2.41)$$

Din (2.40) și (2.41) rezultă:

$$(\dot{x}'_i)_k = (\dot{x}_i)_k - \frac{[(\dot{x}_i)_k - (\dot{x}_j)_k](1 + R)}{1 + \frac{m_i}{m_j}} \quad (2.42)$$

$$(\dot{x}'_j)_k = (\dot{x}_j)_k + \frac{[(\dot{x}_i)_k - (\dot{x}_j)_k](1 + R)}{1 + \frac{m_j}{m_i}}$$

În cazul ciocnirii corpului de masă  $m_i$  cu un limitator

fix, modelarea matematică a ciocnirii se realizează prin particularizări. În acest caz  $x_j = 0$ ,  $(\dot{x}_j)_k = 0$  și  $m_j \rightarrow \infty$ .

În mod obișnuit pentru ciocnirile cu un limitator fix, în locul indicelui  $j$  se consideră indicele  $o$ . Relația pentru legătura unilaterală rezultă de forma:

$$\delta_{io} - x_i \geq 0, \quad (2.43)$$

iar din (2.42) se obține:

$$\begin{aligned} (\dot{x}_i^*)_k &= -R(\dot{x}_i)_k \\ (\dot{x}_o^*)_k &= 0 \end{aligned} \quad (2.44)$$

Se constată că modelarea matematică a ciocnirilor instantane se bazează pe coeficientul de restituire la ciocnire  $R$ , care se consideră constant depinzind, în cea mai mare măsură, de proprietățile elasto-plastice ale materialelor din care sunt confecționate corpurile ce se ciocnesc. Determinarea coeficientului de restituire la ciocnire se face pe cale experimentală, ținând seama de deformațiile corpurilor în zona de contact în timpul ciocnirii. Aceste deformații au loc în două faze ale fenomenului de ciocnire: faza de comprimare și faza de relaxare. În faza de comprimare, care începe la momentul  $t_{ko}$  cînd începe ciocnirea, centrele de greutate ale corpurilor se apropie pînă la o distanță minimă, atinsă la sfîrșitul fazei la momentul intermediar  $t_k^*$ , cînd vitezele centrelor celor două corpuri au valori egale. În faza de relaxare, care are loc în intervalul de timp  $t_k^*$  și  $t_k^{**}$  (fiind momentul în care se termină ciocnirea), centrele de greutate ale corpurilor se deparetează, revenind la sfîrșitul ciocnirii la poziția lor relativă inițială. Forța locală de contact  $F$ , singura forță percutantă în timpul ciocnirii, are o variație în timpul ciocnirii de forma reprezentată în fig.2.2. Înregistrînd, pe cale experimentală, această variație în timp

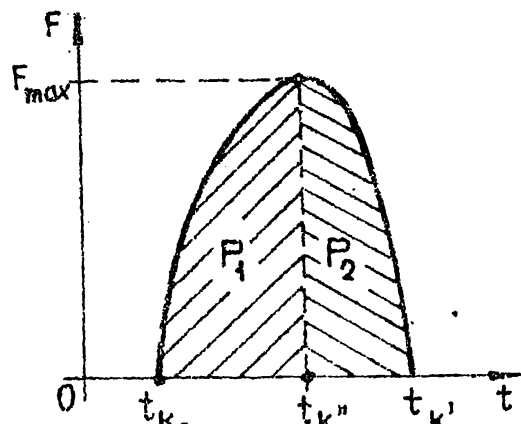


Fig. 2.2

se pot determina valorile  $P_1$  și  $P_2$  ale percuțiilor ce acționează între cele două corpuri în timpul ciocnirii în cele două faze ale ciocnirii. Coeficientul de restituire la ciocnire se definește ca raportul percuțiilor interioare ce acționează în cele două faze ale ciocnirii:

$$R = \frac{P_2}{P_1} \quad (2.45)$$

și rezultă cu valori cuprinse între 0 și 1. Valorile extreme corespund cazurilor ideale cînd deformațiile sînt perfect plastice respectiv perfect elastice. Aplicînd legile ciocnirilor pentru fiecare corp în fiecare din cele două faze ale ciocnirii, se determină valoarea (2.41) a coeficientului de restituire la ciocnire în funcție de vitezele de la începutul și de la sfîrșitul ciocnirii.

In cazul cel mai general al ciocnirilor instantanee, există mai multe corpuri, legate între ele prin legături rigide, care participă la ciocnire.. Dacă poziția acestor corpuri depinde de  $m$  ( $m < n$ ) coordonate generalizate, legătura unilaterală corespunzătoare couplei percutante se exprimă printr-o relație de forma:

$$f(q_1, q_2, \dots, q_m) \geq 0 \quad (2.46)$$

în care este verificată egalitatea în momentul ciocnirii.

Notând cu  $\bar{q}_m$  matricea coloană formată cu cele  $m$  coordonate generalizate, cunoscînd mișcarea sistemului înainte de ciocnire,

derivata totală a funcției legăturii unilaterale în raport cu timpul în timpul ciocnirii se poate scrie sub forma:

$$\frac{df}{dt} = \left( \frac{\partial f}{\partial \dot{q}_m} \right)_0^T \dot{q}_m , \quad (2.47)$$

în care derivatele parțiale ale funcției legăturii unilaterale în raport cu coordonatele generalizate sunt calculate la începutul ciocnirii, în momentul  $t_{k0}$ , deoarece poziția sistemului nu se modifică în timpul ciocnirii. Pentru ca să aibă loc ciocnirea de ordinul  $k$ , înainte de ciocnire funcția  $f$  trebuie să fie descrescătoare, deci la începutul ciocnirii este necesar să fie îndeplinită condiția:

$$\left( \frac{df}{dt} \right)_0 = \left( \frac{\partial f}{\partial \dot{q}_m} \right)_0^T \left( \dot{q}_m \right)_k < 0 \quad (2.48)$$

în care matricea coloană  $\left( \dot{q}_m \right)_k$  are ca elemente valorile cunoscute ale vitezelor generalizate la începutul ciocnirii. După ciocnire, exceptând cazul ideal al ciocnirii perfect plastice, funcția legăturii unilaterale trebuie să fie crescătoare, deci la sfîrșitul ciocnirii, în momentul  $t'_k$  valoarea derivatei (2.47) trebuie să fie pozitivă:

$$\left( \frac{df}{dt} \right)_1 = \left( \frac{\partial f}{\partial \dot{q}_m} \right)_0^T \left( \dot{q}'_m \right)_k > 0 \quad (2.49)$$

unde matricea coloană  $\left( \dot{q}'_m \right)_k$  are ca elemente valorile necunoscute ale vitezelor generalizate la sfîrșitul ciocnirii. În momentul într-ediar  $t''_k$ , care separă cele două faze ale ciocnirii, funcția legăturii unilaterale va avea valoarea minimă (avînd ca semnificație fizică deformarea maximă a corpurilor în zonă de contact, dar studiul ciocnirilor instantanee se negligează deformările), astfel încât în acest moment valoarea derivatei (2.47) devine:

$$\left( \frac{df}{dt} \right)_2 = \left( \frac{\partial f}{\partial \dot{q}_m} \right)_0^T \left( \dot{q}''_m \right)_k = 0 , \quad (2.50)$$

în care matricea coloană  $\left( \dot{q}''_m \right)_k$  are ca elemente valorile vitezelor

generalizate la sfîrșitul fazei de comprimare și la începutul fazei de relaxare.

Pentru studiul ciocnirii, în intervalul de timp în care este loc ciocnirea se aplică, pentru corpurile care participă la ciocnire, ecuațiile lui Lagrange cu multiplicatorul  $\lambda$  al legăturii:

$$\left[ \frac{d}{dt} \left( \frac{\partial E_{cm}}{\partial \dot{q}_m} \right) \right]_0 - \left( \frac{\partial E_{cm}}{\partial \ddot{q}_m} \right)_0 = \lambda \left( \frac{\partial f}{\partial \ddot{q}_m} \right)_0 \quad (2.51)$$

unde indicele 0 arată că în expresiile care rezultă coordonatele generalizate au valorile cunoscute de la începutul ciocnirii, invariabile în timpul ciocnirii, iar forțele nepercutante au fost neglijate. Deoarece energia cinetică a corpurilor care participă la ciocnire se poate exprima sub forma:

$$E_{cm} = \frac{1}{2} \dot{q}_m^T b_m \dot{q}_m \quad (2.52)$$

unde  $b_m$  este simetrică, având elementele dependente numai de coordonatele generalizate, ecuația matricială (2.51) se poate scrie:

$$b_{mo} \frac{d}{dt} (\dot{q}_m) + \sum_{j=1}^m \dot{q}_j \left\{ \left( \frac{\partial b_m}{\partial q_j} \right)_0 - \frac{1}{2} \left[ \frac{\partial}{\partial q_m} (\bar{b}_{mj}^T) \right]_0 \right\} \frac{d}{dt} (\ddot{q}_m) = \\ = \lambda \left( \frac{\partial f}{\partial \ddot{q}_m} \right)_0 \quad (2.53)$$

Inmulțind ecuația matricială (2.53) cu  $dt$  și integrând de la momentul  $t_{ko}$  la un moment  $t$  din intervalul de timp al ciocnirii, deoarece  $d\ddot{q}_m = 0$ , rezultă:

$$b_{mo} \left\{ \dot{q}_m - (\dot{q}_m)_k \right\} = \left\{ \int_{t_{ko}}^t \lambda dt \right\} \left( \frac{\partial f}{\partial \ddot{q}_m} \right)_0 \quad (2.54)$$

Notînd multiplicatorii de impuls:

$$\int_{t_{ko}}^{t''_k} \lambda dt = \mu_{o2} , \quad \int_{t''_k}^{t'_k} \lambda dt = \mu_{21} , \quad (2.55)$$

și aplicînd (2.54) pentru cele două faze ale ciocnirii, se obțin:

ne:

$$b_{mo} \left\{ (\dot{\bar{q}}_m^u)_k - (\dot{\bar{q}}_m^u)_0 \right\} = \mu_{02} \left( \frac{\partial f}{\partial \bar{q}_m} \right)_0 \quad (2.56)$$

$$b_{mo} \left\{ (\dot{\bar{q}}_m^u)_k - (\dot{\bar{q}}_m^u)_0 \right\} = \mu_{21} \left( \frac{\partial f}{\partial \bar{q}_m} \right)_0$$

Deoarece matricea  $b_{mo}$  este nesingulară, relațiile (2.56) se pot exprima și sub forma:

$$(\dot{\bar{q}}_m^u)_k - (\dot{\bar{q}}_m^u)_0 = \mu_{02} b_{mo}^{-1} \left( \frac{\partial f}{\partial \bar{q}_m} \right)_0 \quad (2.57)$$

$$(\dot{\bar{q}}_m^u)_k - (\dot{\bar{q}}_m^u)_0 = \mu_{21} b_{mo}^{-1} \left( \frac{\partial f}{\partial \bar{q}_m} \right)_0$$

Inmulțind la stînga fiecare din relațiile (2.57) cu  $\left( \frac{\partial f}{\partial \bar{q}_m} \right)_0^T$  și comparînd cu relațiile:

$$\left( \frac{\partial f}{\partial \bar{q}_m} \right)_0^T \left\{ (\dot{\bar{q}}_m^u)_k - (\dot{\bar{q}}_m^u)_0 \right\} = - \left( \frac{df}{dt} \right)_0 \quad (2.58)$$

$$\left( \frac{\partial f}{\partial \bar{q}_m} \right)_0^T \left\{ (\dot{\bar{q}}_m^u)_k - (\dot{\bar{q}}_m^u)_0 \right\} = \left( \frac{df}{dt} \right)_1$$

stabilite pe baza relațiilor (2.48), (2.49) și (2.50), rezultă:

$$\mu_{02} \left( \frac{\partial f}{\partial \bar{q}_m} \right)_0^T b_{mo}^{-1} \left( \frac{\partial f}{\partial \bar{q}_m} \right)_0 = - \left( \frac{df}{dt} \right)_0 \quad (2.59)$$

$$\mu_{21} \left( \frac{\partial f}{\partial \bar{q}_m} \right)_0^T b_{mo}^{-1} \left( \frac{\partial f}{\partial \bar{q}_m} \right)_0 = \left( \frac{df}{dt} \right)_1$$

Deoarece coeficientul de restituire la ciocnire se exprimă prin:

$$R = \frac{\mu_{21}}{\mu_{02}} = - \frac{\left( \frac{df}{dt} \right)_1}{\left( \frac{df}{dt} \right)_0} = - \frac{\left( \frac{\partial f}{\partial \bar{q}_m} \right)_0^T (\dot{\bar{q}}_m^u)_k}{\left( \frac{\partial f}{\partial \bar{q}_m} \right)_0^T (\dot{\bar{q}}_m^u)_0} , \quad (2.60)$$

din (2.60), (2.59) și (2.57) rezultă valorile vitezelor generale la sfîrșitul ciocnirii:

$$(\dot{\bar{q}}_m')_k = (\dot{\bar{q}}_m)_k - (1+R) \frac{\underline{b}_m^{-1} \left( \frac{\partial f}{\partial \bar{q}_m} \right)_o}{\left( \frac{\partial f}{\partial \bar{q}_m} \right)_o^T \underline{b}_m^{-1} \left( \frac{\partial f}{\partial \bar{q}_m} \right)_o} \left[ \left( \frac{\partial f}{\partial \bar{q}_m} \right)_o^T (\dot{\bar{q}}_m)_k \right] \quad (2.61)$$

$$\text{Pentru } m = 2, q_1 = x_i, q_2 = x_j, \underline{b}_m = \begin{vmatrix} m_i & 0 \\ 0 & m_j \end{vmatrix} \text{ și}$$

funcția legăturii dată de (2.38) se verifică relațiile (2.42) corespunzătoare cazului particular studiat anterior.

In mod cu totul analog se pot exprima relații de forma (2.61) pentru toate vitezele generalizate ale sistemului vibropercutant:

$$(\dot{\bar{q}}')_k = (\dot{\bar{q}})_k - (1 + R) \left[ \left( \frac{\partial f}{\partial \bar{q}} \right)_o^T (\dot{\bar{q}})_k \right] A \left( \frac{\partial f}{\partial \bar{q}} \right)_o , \quad (2.62)$$

$$A = \frac{\underline{b}_o^{-1}}{\left( \frac{\partial f}{\partial \bar{q}} \right)_o^T \underline{b}_o^{-1} \left( \frac{\partial f}{\partial \bar{q}} \right)_o}$$

decareces toate relațiile pe baza cărora au fost stabilite se pot exprima în funcție de toate coordonatele generalizate. In (2.62) sunt incluse și relațiile (2.61), iar pentru coordonatele generalizate care nu apar explicit în funcția legăturii unilaterale (2.46) rezultă vitezele la sfîrșitul ciocnirii egale cu cele de la începutul ciocnirii.

Relațiile (2.48) se pot exprima, în mod analog, pentru toate coordonatele generalizate ale sistemului vibropercutant sub forma:

$$\left( \frac{df}{dt} \right)_o = \left( \frac{\partial f}{\partial \bar{q}} \right)_o^T (\dot{\bar{q}})_k < 0 \quad (2.48a)$$

De asemenea, înmulțind la stînga expresia matricială (2.62) cu  $\left( \frac{\partial f}{\partial \bar{q}} \right)_o^T$ , rezultă:

$$\left( \frac{df}{dt} \right)_1 = \left( \frac{\partial f}{\partial \bar{q}} \right)_o^T (\dot{\bar{q}}')_k = -R \left( \frac{\partial f}{\partial \bar{q}} \right)_o^T (\dot{\bar{q}})_k > 0 \quad (2.49a)$$

Relațiile (2.61) sau (2.62) sunt foarte utile în studiul sistemelor vibropercutante cu mai multe grade de libertate și sub

această formă reprezintă o exprimare matricială originală a unor relații cunoscute în literatura de specialitate [27], [149].

### 2.3.2. Modelarea matematică a ciocnirilor neinstantanee

Fenomenul real de ciocnire este mult mai complex decât reprezentarea sa în cazul ciocnirilor instantanee. În primul rînd, în studiul dinamicii sistemelor vibropercutante, fenomenul de ciocnire are caracter profund neliniar și este necesar să se țină seama de influența unui număr mare de parametrii, depinzînd de forma și dimensiunile geometrice ale corpurilor care se ciocnesc, de materialele din care sunt confectionate, de anumite caracteristici cinematice și dinamice. În al doilea rînd, fenomenul de ciocnire este însotit de procesul de propagare, în volumele celor două coruri care se ciocnesc, al undelor generate de ciocnire. Procesul de propagare al undelor în timpul ciocnirii modifică starea de tensiune în întreg volumul fiecăruia din corpurile care se ciocnesc, astfel încît apar solicitări dinamice suplimentare, care complică studiul fenomenului de ciocnire.

Se consideră cupla percutantă din fig.2.1. În cazul ciocnirilor neinstantanee, egalitatea din relația (2.38) este verificată numai la începutul și la sfîrșitul ciocnirii. Notînd cu  $x_{ij}$  apropierea relativă a centrelor de greutate a celor două coruri în timpul ciocnirii, egală cu suma deformațiilor acestora, se poate exprima relația:

$$x_{ij} = x_i - (x_j + \delta_{ij}) \geq 0 , \quad (2.63)$$

valabilă în timpul ciocnirii, în care egalitatea este verificată la începutul și sfîrșitul ciocnirii în ipoteza neglijării deformațiilor remanente în urma ciocnirii. Pentru a avea loc ciocnirea, viteza relativă  $(\dot{x}_{ij})_k$  de la începutul ciocnirii trebuie să aibă valori pozitive, deci:

$$(\dot{x}_{ij})_k = (\dot{x}_i)_k - (\dot{x}_j)_k > 0 \quad (2.64)$$

Pentru descrierea matematică a ciocnirilor neinstantanee, o importanță deosebită o are evaluarea forței locale de contact ca funcție de caracteristicile geometrice și mecanice ale corpurilor care se ciocnesc, astfel încât aceasta să reflecte cît mai aproape de realitate interacțiunile din zona de contact și fenomenul complex de ciocnire. În urma încercărilor experimentale, s-a ajuns la concluzia că forma cea mai generală a caracteristicii de forță a interacțiunii de contact se poate exprima prin:

$$F = \Psi(x_{ij}, \dot{x}_{ij}), \quad (2.65)$$

în care funcția  $\Psi$  este neliniară, atât în raport cu deformarea totală  $x_{ij}$ , cît și în raport cu viteza relativă  $\dot{x}_{ij}$ , depinzând de caracterul deformațiilor și de caracteristicile geometrice și mecanice ale corpurilor. În prezența deformațiilor plastice, funcția  $\Psi$  are un caracter hysterezic. Dacă se pot neglija deformațiile plastice, forța locală de contact  $F$  nu mai depinde de viteza relativă  $\dot{x}_{ij}$ , astfel încât caracteristica de forță a interacțiunii de contact se poate exprima printr-o caracteristică elastică neliniară.

În literatura de specialitate [10] se consideră că o bună aproximare a fenomenului complex de ciocnire este reflectată de o caracteristică de forță a interacțiunii de contact de forma:

$$F = d_l x_{ij}^{\frac{2m+1}{2m}} \pm b_l \dot{x}_{ij}^2 \quad (2.66)$$

în care semnul "+" corespunde fazei de comprimare pînă la apropierea maximă a centrelor de greutate, cînd  $\dot{x}_{ij} = 0$ , iar semnul "-" corespunde fazei de relaxare. În (2.66),  $m=1,2,\dots$  este un număr întreg ce depinde de densitatea păturilor exterioare.

re ale suprafețelor corpurilor din zona de contact, astfel încît m crește cu mărirea densității, iar coeficienții  $d_1$  și  $b_1$  depind de caracteristicile geometrice și mecanice ale corpurilor. Prințul termen din (2.66) exprimă influența deformațiilor elastice, în timp ce al doilea termen se datorează deformațiilor plastice, dublul semn imprimând caracteristica de forță a interacțiunii de contact caracterul hysterezic. În cazul particular în care deformațiile plastice pot fi neglijate, pentru  $m=1$  se obține formula lui Hertz:

$$F = d_2 x_{ij}^{\frac{3}{2}} = \frac{2E}{(1-\nu^2)} \sqrt{\frac{r_1 r_2}{r_1 + r_2}} x_{ij}^{\frac{3}{2}}, \quad (2.67)$$

unde E este modulul de elasticitate longitudinal,  $\nu$  este coeficientul lui Poisson (coeficientul de contractie transversală), iar  $r_1$  și  $r_2$  sunt razele de curbură ale suprafețelor de contact în punctul teoretic de contact la începutul ciocnirii.

La sistemele vibropercutante, datorită îndesării păturilor exterioare ale suprafețelor care interacționează în timpul ciocnirilor ca urmare a ciocnirilor multiple, densitatea acestor pături crește, astfel încât primul termen din (2.66) se apropie de o dependență liniară. Rezultă că, în cazul mecanismelor vibropercutante, după un timp suficient de mare de funcționare al acestora, în ipoteza neglijării deformațiilor plastice, caracteristica de forță a interacțiunii de contact se poate exprima printr-o dependență liniară de forma:

$$F = d_3 x_{ij} = \frac{dE}{(1-\nu^2)} \cdot \frac{r_1 r_2}{r_1 + r_2} x_{ij}, \quad (2.68)$$

unde coeficientul  $d_3$  are expresia dată, dacă suprafețele de contact nedeformate au razele de curbură în punctul teoretic de contact de valori mari, iar coeficientul bidimensional d se determină pe cale experimentală.

Din numeroasele încercări experimentale efectuate pentru evaluarea forței locale de contact în timpul ciocnirii, în ipoteza neglijării deformațiilor plastice, a rezultat că expresia ei depinde, în mare măsură, de razele de curbură ale suprafețelor de contact în punctul teoretic de contact, aşa cum rezultă și din expresiile (2.67) și (2.68). Pe lîngă acestea, la determinarea experimentală a coeficientului  $d_1$ , s-a constatat că prezintă o importanță deosebită microgeometria suprafețelor aflate în contact, precum și existența unor straturi rigidizate, datorită aplicării unor tratamente termice superficiale. Trebuie precizat că formula lui Hertz (2.67) este valabilă în acastă formă dacă suprafețele de contact sunt rectificate și nu sunt tratate termic.

Din considerațiile anterioare rezultă că, în cazurile frecvent întâlnite în aplicații, în care se pot neglija deformațiile plastice, pentru studiul ciocnirilor la sistemele vibropercutante, efectul forței locale de contact este echivalent cu introducerea între corpurile care se ciocnesc, în timpul ciocnirii, a unui "tampon" elastic, de masă și dimensiuni geometrice neglijabile, avînd caracteristica elastică neliniară de forma primului termen din (2.66) sau de forma (2.67). În condițiile precizate, caracteristica elastică a acestui "tampon" poate fi considerată chiar liniară, de forma (2.68).

Pentru modelarea matematică a ciocnirilor neinstantanee pentru cupla percutantă din fig.2.1, pe lîngă celelalte forțe ce acționează asupra corpurilor de mase  $m_i$  și  $m_j$  în intervalele de timp dintre ciocniri, în timpul ciocnirii de ordinul  $k$  trebuie luată în considerație și forța locală de contact, corespunzătoare interacțiunii corpurilor aflate în contact. Intervallul de timp al ciocnirii fiind relativ redus, chiar și în cazul

ciocnirilor considerate neinstantanee, efectul celorlalte forțe ce acționează asupra corpurilor aflate în contact poate fi neglijat față de efectul forței locale de contact, care are o valoare medie mare în timpul ciocnirii. Prin urmare, pentru studiul într-o primă aproximatie a ciocnirii, se pot scrie ecuațiile diferențiale de forma:

$$\begin{aligned} m_i \ddot{x}_i &= -\Psi(x_{ij}, \dot{x}_{ij}) \\ m_j \ddot{x}_j &= \Psi(x_{ij}, \dot{x}_{ij}), \end{aligned} \quad (2.69)$$

în care trebuie să se țină seama de relația (2.63) pentru exprimarea deformației totale și a vitezei relative. Dacă ecuațiile diferențiale (2.69) se pot integra, ținind seama de condițiile inițiale  $(x_i)_k = \delta_{ij} + (x_j)_k$ ,  $(\dot{x}_i)_k$  și  $(\dot{x}_j)_k$  de la momentul  $t_{k0}$ , cind începe ciocnirea de ordinul  $k$ , se obțin legile mișcării celor două coruri în timpul ciocnirii sub forma:

$$\begin{aligned} x_i &= f_1[t, (x_i)_k, (x_j)_k, (\dot{x}_i)_k, (\dot{x}_j)_k] \\ x_j &= f_2[t, (x_i)_k, (x_j)_k, (\dot{x}_i)_k, (\dot{x}_j)_k], \end{aligned} \quad (2.70)$$

iar prin derivarea lor în raport cu timpul rezultă variația vitezelor în timpul ciocnirii:

$$\begin{aligned} \dot{x}_i &= \frac{df_1}{dt} = g_1[t, (x_i)_k, (x_j)_k, (\dot{x}_i)_k, (\dot{x}_j)_k] \\ \dot{x}_j &= \frac{df_2}{dt} = g_2[t, (x_i)_k, (x_j)_k, (\dot{x}_i)_k, (\dot{x}_j)_k]. \end{aligned} \quad (2.71)$$

Punind condiția  $x_i(t'_k) = \delta_{ij} + x_j(t'_k)$  în (2.70), se determină momentul  $t'_k$  în care se termină ciocnirea, pe care înlocuindu-l în (2.70) și (2.71), rezultă poziția și vitezele coruprilor la sfîrșitul ciocnirii:

$$\begin{aligned} (x'_i)_k &= f_1[t'_k, (x_i)_k, (x_j)_k, (\dot{x}_i)_k, (\dot{x}_j)_k] \\ (x'_j)_k &= f_2[t'_k, (x_i)_k, (x_j)_k, (\dot{x}_i)_k, (\dot{x}_j)_k] \\ (x'_i)_k &= g_1[t'_k, (x_i)_k, (x_j)_k, (\dot{x}_i)_k, (\dot{x}_j)_k] \end{aligned} \quad (2.72)$$

$$(\dot{x}_j^t)_k = g_2 [t_k^t, (x_i)_k, (x_j)_k, (\dot{x}_i)_k, (\dot{x}_j)_k]$$

Din condiția  $\dot{x}_i(t_k^t) = \dot{x}_j(t_k^t)$  se poate determina și momentul intermediar  $t_k^t$  care separă cele două faze ale ciocnirii, în care forța percutantă  $F$  și apropierea relativă a centrelor de greutate  $x_{ij}$  au valori maxime.

Dacă deformațiile remanente în urma ciocnirii nu se pot neglijă, momentul  $t_k'$  la care se sfîrșește ciocnirea se determină din condiția ca forța locală de contact să aibă valoarea nulă și la sfîrșitul ciocnirii.

Se observă că, pentru studiul în primă aproximatie al fenomenului de ciocnire, adunând relațiile (2.69) membru cu membru, rezultă valabilitatea legii conservării impulsului total în timpul ciocnirii. Ca urmare, în orice moment al ciocnirii trebuie să fie verificate relațiile:

$$m_i \dot{x}_i + m_j \dot{x}_j = m_i (\dot{x}_i)_k + m_j (\dot{x}_j)_k \quad (2.73)$$

Pentru cazul general al ciocnirilor neinstantanee, chiar și în studiul în primă aproximatie al ciocnirii, ecuațiile diferențiale de forma (2.69) sunt greu de integrat. Dacă se pot neglijă deformațiile plastice, ecuațiile diferențiale ale mișcării în timpul ciocnirii sunt mai ușor de integrat, astfel încât, în urma studiului în primă aproximatie al ciocnirii, cunoscind parametrii inițiali ai ciocnirii la momentul  $t_{k0}$  se pot determina parametrii finali (2.72) la momentul  $t_k'$ . În acest caz, ecuațiile diferențiale ale mișcării în timpul ciocnirii sunt de formă:

$$m_i \ddot{x}_i = -\Psi(x_{ij}) \quad (2.74)$$

$$m_j \ddot{x}_j = \Psi(x_{ij}) .$$

Notând  $m_{ij} = \frac{m_i m_j}{m_i + m_j}$ , ecuațiile diferențiale (2.74) conduc la

ecuația diferențială:

$$m_{ij} \ddot{x}_{ij} = -\Psi(x_{ij}) , \quad (2.75)$$

care se poate integra. Se obține legea vitezei relative:

$$\dot{x}_{ij}^2 = (\dot{x}_{ij})_k^2 - \frac{2}{m_{ij}} \int_0^{x_{ij}} \Psi(x_{ij}) dx_{ij} \quad (2.76)$$

și legea de variație a deformației totale din relația:

$$t = t_{ko} + \int_0^{x_{ij}} \frac{dx_{ij}}{\sqrt{(\dot{x}_{ij})_k^2 - \frac{2}{m_{ij}} \int_0^{x_{ij}} \Psi(x_{ij}) dx_{ij}}} \quad (2.77)$$

Deformația maximă  $(x''_{ij})_k$  rezultă din condiția  $\dot{x}_{ij} = 0$  și se determină din relația:

$$\int_0^{(x''_{ij})_k} \Psi(x_{ij}) dx_{ij} = \frac{m_{ij} (\dot{x}_{ij})_k^2}{2} , \quad (2.78)$$

iar durata ciocnirii devine:

$$\tau = t'_k - t_{ko} = 2 \int_0^{(x''_{ij})_k} \frac{dx_{ij}}{(\dot{x}_{ij})_k^2 - \frac{2}{m_{ij}} \int_0^{x_{ij}} \Psi(x_{ij}) dx_{ij}} \quad (2.79)$$

Efectuind integrarea din (2.76) pînă la sfîrșitul ciocnirii, cînd  $x_{ij}$  ajunge din nou la valoarea nulă, rezultă:

$$(\dot{x}'_{ij})_k^2 = (\dot{x}_{ij})_k^2 - \frac{2}{m_{ij}} \left[ \int_0^{(x''_{ij})_k} \Psi(x_{ij}) dx_{ij} + \int_{(x''_{ij})_k}^0 \Psi(x_{ij}) dx_{ij} \right] \quad (2.80)$$

Dacă reține paranteza mare din (2.80) are valoarea nulă, se obține:

$$(\dot{x}'_{ij})_k = -(\dot{x}_{ij})_k , \quad (2.81)$$

relație care conduce la (2.41) pentru valoarea coeficientului de

testităire  $R = 1$ , corespunzătoare ciocnirilor perfect elastice. Prin urmare, vitezele după ciocnire în acest caz se determină la fel ca și în cazul ciocnirilor instantanee prin particularizare pentru ciocniri perfect elastice.

Cercetările experimentale au evidențiat faptul că starea de tensiune în imediata vecinătate a zonei de contact se formează cu mult mai repede decât în profunzimea volumelor corespunzătoare corpurilor care se ciocnesc. Această proprietate a permis să se emită ipoteza tensionării cvasistaticice a acestei zone de ciocnire, astfel încât pentru determinarea forței locale de contact să se țină seama de influența deformațiilor elastice și plastice, neglijându-se, însă, influența vitezei relative în timpul ciocnirii. Conform acestei ipoteze, în faza de comprimare forța locală de contact are o variație crescătoare în funcție de deformația totală elastică, pînă la o valoare  $F^*$ , determinată experimental, la care încep să apară și deformații plastice.

In continuare, forța locală de contact crește pînă la valoarea maximă  $F_{\max}$  de la sfîrșitul fazei de comprimare, această variație fiind produsă atât de deformațiile elastice, cât și de cele plastice. În faza de relaxare, variația forței locale de contact se datorește numai deformațiilor elastice, deformațiile plastice avînd un caracter remanent. Reprezentarea grafică a variației forței locale de contact în funcție de deformația totală are forma din fig.2.3. Prin urmare, în a doua parte a fazei de comprimare, cînd forța locală de contact are valori mai mari decât  $F^*$ , deformația totală  $x_{ij}$  are două componente: deformația elastică  $x_e$  și cea plastică  $x_p$ , deci

$$x_{ij} = x_e + x_p \quad (2.82)$$

În cele mai frecvente cazuri, se poate admite că deformația elastică are o variație dată de formula lui Hertz (2.67) sub forma:

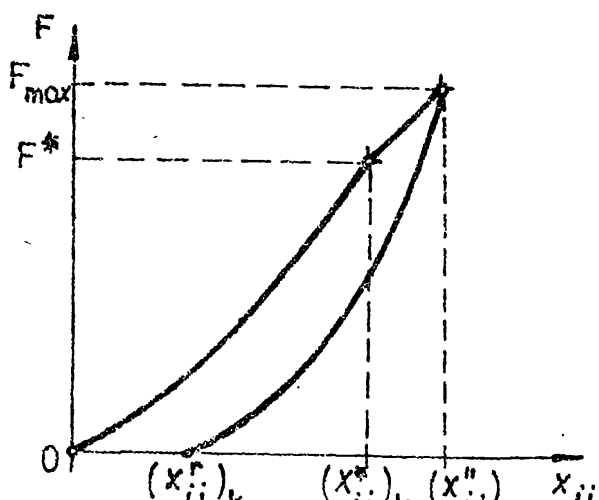


Fig. 2.3

$$x_e = \left(\frac{F}{d_2}\right)^{\frac{2}{3}}, \quad (2.83)$$

iar deformația plastică are o variație liniară în raport cu forța locală de contact, dată de:

$$x_p = \frac{F - F^*}{b_2}, \quad (2.84)$$

unde  $b_2$  se determină experimental.

Pentru studiul ciocnirii pe baza ipotezei considerate, se integrează ecuația diferențială (2.75) în intervalele de timp corespunzătoare celor două părți ale fazei de comprimare și în intervalul de timp al fazei de relaxare. În prima parte a fazei de comprimare, cînd se produc numai deformații elastice, se obține:

$$m_{ij} \frac{(\dot{x}_{ij})_k^2}{2} = m_{ij} \frac{(\dot{x}_{ij})_k^2}{2} - \frac{2}{5} \frac{F^* \frac{5}{2}}{d_2^3}. \quad (2.85)$$

Pentru ca să se producă și deformații plastice, membrul drept al relației (2.85) trebuie să fie pozitiv, deci viteza relativă de la începutul ciocnirii  $(\dot{x}_{ij})_k$  trebuie să fie mai mare decît valoarea critică dată de:

$$v_{cr} = \frac{2}{(5m_{ij})^{1/2}} \frac{F^{*6}}{d_2^5}. \quad (2.86)$$

În partea a doua a fazei de comprimare, deoarece viteza relativă la sfîrșitul fazei este nulă, rezultă:

$$0 = \frac{m_{ij}(\dot{x}_{ij}^*)_k^2}{2} - \frac{2}{5} \frac{F_{\max}^{\frac{5}{3}} - F^{*\frac{5}{3}}}{d_2^{\frac{2}{3}}} - \frac{F_{\max}^2 - F^{*2}}{2b_2} \quad (2.87)$$

In faza de relaxare, integrarea ecuației (2.75) conduce la:

$$m_{ij} \frac{(\dot{x}_{ij}^*)_k^2}{2} = \frac{2}{5} \frac{F_{\max}^{\frac{5}{3}}}{d_2^{\frac{2}{3}}} \quad (2.88)$$

Tinând seama de (2.41) și eliminând  $(\dot{x}_{ij}^*)_k$  și  $F_{\max}$  între relațiile (2.85), (2.87) și (2.88), coeficientul de restituire la ciocnire se obține din ecuația:

$$1 - R^2 = \eta (R^{\frac{12}{5}} - \xi^{\frac{12}{5}}), \quad (2.89)$$

unde parametrii adimensionali  $\eta$  și  $\xi$  au valorile:

$$\eta = \left(\frac{5}{4}\right)^{\frac{6}{5}} \frac{1}{b_2} \left[ m_{ij} d_2^4 (\dot{x}_{ij}^*)_k^2 \right]^{\frac{1}{5}}; \quad \xi = \frac{v_{cr}}{(\dot{x}_{ij}^*)_k} \quad (2.90)$$

Se constată că și în acest mod de tratare a fenomenului de ciocnire, vitezele la sfîrșitul ciocnirii se pot determina din relațiile (2.42), în care coeficientul de restituire la ciocnire  $R$  se determină din (2.89), relație cunoscută în literatura de specialitate [27], [101], dar determinată în cazul particular al ciocnirii unei sfere de oțel cu un limitator fix. Spre deosebire de cazul ciocnirilor instantanee, coeficientul de restituire la ciocnire depinde de viteza relativă de la începutul ciocnirii, așa cum rezultă și experimental, iar în urma ciocnirii se obține o deformăție remanantă, dată de deformăția plastică din timpul ciocnirii, exprimată prin:

$$(\dot{x}_{ij}^r)_k = \frac{F_{\max} - F^*}{b_2} \cdot \quad (2.91)$$

In evaluarea forței locale de contact și în studiul ciocnirilor neinstantanee nu s-a ținut seama de oscilațiile păturilor exterioare ale suprafețelor corpurilor în zona de contact și de propagarea undelor elasto-plastice în volumele corpurilor, fenomene care însotesc întotdeauna ciocnirile reale. Oscilațiile păturilor exterioare ale suprafețelor din zona de contact apar în primele momente după începutul ciocnirii, odată cu apariția primelor deformații elastice. Aceste oscilații se propagă în volumele corpurilor sub forma undelor elasto-plastice atât în timpul ciocnirii, cît și după terminarea ei. Fenomenele oscilatorii din timpul ciocnirii imprimă caracteristicii de forță a interacțiunii de contact un caracter dinamic, astfel încât forța locală de contact depinde explicit și de timp, iar aceasta la rîndul ei, influențează procesele oscilatorii, acționînd ca o forță perturbatoare în zona de contact. În cazul ciocnirilor centrice pondere, ea mai mare o au oscilațiile longitudinale, a căror propagare se face după normala comună la suprafețele de contact în punctul teoretic de contact. Cercetările experimentale au arătat că efectul acestor oscilații asupra caracteristicii de forță a interacțiunii de contact și asupra fenomenului de ciocnire în ansamblu este apreciabil în cazul în care corpurile care se ciocnesc au dimensiuni longitudinale mari. Pentru corpurile scurte perioadele proprii inferioare sunt cu mult mai mici decât intervalul de timp în care are loc ciocnirea, astfel se pot neglija procesele oscilatorii în timpul ciocnirii. De asemenea, pentru aceste corperi, datorită frecărilor interne, procesele oscilatorii se amortizează pînă la începutul ciocnirii următoare.

2.4. Stabilirea condițiilor de existență ale mișcărilor periodice ale sistemelor vibropercutante

2.4.1. Sisteme vibropercutante liniare între ciocniri, neamortizate, cu o cuplă percutantă, având n grade de libertate

În studiul sistemelor vibropercutante liniare între ciocniri, în mareea majoritate a cazurilor ciocnirile se pot considera instantanee. De asemenea, pentru studiul teoretic al mișcărilor periodice ale acestor sisteme se pot considera modele de translație, având ecuația diferențială matricială a mișcării între două ciocniri consecutive (2.36), care este de aceeași formă cu ecuația (2.35) corespunzătoare cazului general.

Pentru studiul în primă aproximatie al acestor sisteme, se neglijeză forțele de amortizare viscoasă, astfel încât ecuația diferențială matricială a mișcării între două ciocniri consecutive este (2.37). Pentru integrarea ei, se caută, în primul rînd, soluția generală a ecuației omogene (componenta tranzitorie a mișcării) de forma:

$$\bar{x}_t = \bar{A} \sin(pt + \phi) , \quad (2.92)$$

care, înlocuită în ecuația omogenă corespunzătoare ecuației (2.37) conduce la:

$$\{k - p^2 m\} \bar{A} = \bar{0} . \quad (2.93)$$

Din ecuația caracteristică:

$$\Delta(p^2) = |k - p^2 m| = 0 \quad (2.94)$$

rezultă cele n pulsării proprii  $p_s$  ( $s = 1, \dots, n$ ). Vectorii proprii normați corespunzători se obțin din ecuațiile matriciale:

$$\{k - p_s^2 m\} \bar{u}_s = \bar{0} , \quad s = 1, \dots, n , \quad (2.95)$$

fiecare dintre ele fiind echivalentă cu un sistem de n ecuații algebrice liniare și omogene având ca necunoscute cei n-1

coeficienți de distribuție corespunzători unei pulsării proprii, obținuți prin împărțirea elementelor matricii  $\bar{A}$  din (2.93) cu primul element  $A_1$ . Pe baza ecuațiilor (2.95) se stabilesc ușor relațiile de ortogonalitate ale modurilor naturale de vibrații:

$$\bar{\mu}_r^T \underline{k} \bar{\mu}_s = \bar{\mu}_r^T \underline{m} \bar{\mu}_s = 0 \quad (2.96)$$

pentru două pulsării proprii diferite  $p_s$  și  $p_r$ , precum și re. iile:

$$\bar{\mu}_s^T \underline{k} \bar{\mu}_s = p_s^2 \bar{\mu}_s^T \underline{m} \bar{\mu}_s , \quad s = 1, \dots, n . \quad (2.97)$$

Cunoscind vectorii proprii ai sistemului, se poate construi matricea modală normalată:

$$\underline{\mu} = \left\| \bar{\mu}_1 \bar{\mu}_2 \dots \bar{\mu}_s \dots \bar{\mu}_n \right\| \quad (2.98)$$

cu ajutorul căreia ecuațiile diferențiale ale mișcării între două ciocniri consecutive, date de (2.37), se pot decupla, obținându-se ecuațiile diferențiale în coordonatele normale. Pentru aceasta, se efectuează transformarea:

$$\bar{x} = \underline{\mu} \bar{z} \quad (2.99)$$

în care matricea coloană  $\bar{z}$  are ca elemente coordonatele normale. Înlocuind (2.99) în (2.37) și înmulțind la stânga cu transpusa matricii modale, rezultă:

$$\underline{\mu}^T \underline{m} \underline{\mu} \ddot{\bar{z}} + \underline{\mu}^T \underline{k} \underline{\mu} \dot{\bar{z}} = \underline{\mu}^T \bar{F}(t) . \quad (2.100)$$

Înăind seama de relațiile de ortogonalitate (2.96), se constată că matricile  $\underline{\mu}^T \underline{m} \underline{\mu}$  și  $\underline{\mu}^T \underline{k} \underline{\mu}$  sunt matrici patrate diagonale. Notând:

$$\underline{M} = \underline{\mu}^T \underline{m} \underline{\mu} , \quad \underline{P} = \begin{vmatrix} p_1 & 0 & 0 & \dots & 0 \\ 0 & p_2 & 0 & \dots & 0 \\ 0 & 0 & p_3 & \dots & 0 \\ \dots & \dots & \dots & \dots & \dots \\ 0 & 0 & 0 & \dots & p_n \end{vmatrix} \quad (2.101)$$

și înăind seama de relațiile (2.97), ecuațiile (2.100) se pot

exprima sub forma:

$$\ddot{\bar{x}} + \underline{P}^2 \bar{x} = \underline{M}^{-1} \underline{u}^T \bar{F}(t) , \quad (2.102)$$

care sunt decuplate.

Folosind notațiile:

$$\underline{\text{COS}}(\tilde{p}t) = \begin{vmatrix} \cos p_1 t & 0 & 0 & \dots & 0 \\ 0 & \cos p_2 t & 0 & \dots & 0 \\ 0 & 0 & \cos p_3 t & \dots & 0 \\ \dots & \dots & \dots & \dots & \dots \\ 0 & 0 & 0 & \dots & \cos p_n t \end{vmatrix} \quad (2.103)$$

$$\underline{\text{SIN}}(\tilde{p}t) = \begin{vmatrix} \sin p_1 t & 0 & 0 & \dots & 0 \\ 0 & \sin p_2 t & 0 & \dots & 0 \\ 0 & 0 & \sin p_3 t & \dots & 0 \\ \dots & \dots & \dots & \dots & \dots \\ 0 & 0 & 0 & \dots & \sin p_n t \end{vmatrix} ,$$

soluția generală a ecuației omogene corespunzătoare ecuației (2.102) se poate exprima sub forma:

$$\bar{x}_t = \underline{\text{COS}}(\tilde{p}t)\bar{C}_1 + \underline{\text{SIN}}(\tilde{p}t)\bar{C}_2 , \quad (2.104)$$

unde matricile coloană  $\bar{C}_1$  și  $\bar{C}_2$  au ca elemente constante arbitrară.

Pentru determinarea unei soluții particulare a ecuației matriciale (2.102), care este componenta forțată a miscării, se va folosi metoda variației constanțelor. Se caută soluția de forma (2.104), dar având în locul elementelor constante din  $\bar{C}_1$  și  $\bar{C}_2$  funcții variabile în timp, care urmează să fie determinate din condiția ca soluția considerată să verifice ecuația diferențială (2.102). Luând această soluție sub forma:

$$\bar{x}_f = \underline{\text{COS}}(\tilde{p}t)\bar{K}_1 + \underline{\text{SIN}}(\tilde{p}t)\bar{K}_2 \quad (2.105)$$

și înținând seama de relațiile:

$$\frac{d}{dt} [\underline{\text{SIN}}(\tilde{p}t)] = \underline{P} \cdot \underline{\text{COS}}(\tilde{p}t) \quad (2.106)$$

$$\frac{d}{dt} [\cos(\tilde{p}t)] = - \underline{P} \underline{\sin}(\tilde{p}t) ,$$

dedusă din a doua relație (2.101) și (2.103), rezultă:

$$\dot{\tilde{x}}_f = - \underline{P} \underline{\sin}(\tilde{p}t) \bar{K}_1 + \underline{P} \underline{\cos}(\tilde{p}t) \bar{K}_2 + \underline{\cos}(\tilde{p}t) \dot{\bar{K}}_1 + \\ + \underline{\sin}(\tilde{p}t) \dot{\bar{K}}_2 \quad (2.107)$$

Pentru determinarea funcțiilor necunoscute din  $\bar{K}_1$  și  $\bar{K}_2$ , se mai impune condiția:

$$\underline{\cos}(\tilde{p}t) \dot{\bar{K}}_1 + \underline{\sin}(\tilde{p}t) \dot{\bar{K}}_2 = 0 \quad (2.108)$$

Derivând (2.107) în raport cu timpul, ținând seama de (2.108), se obține:

$$\ddot{\tilde{x}}_f = - \underline{P}^2 \underline{\cos}(\tilde{p}t) \bar{K}_1 - \underline{P}^2 \underline{\sin}(\tilde{p}t) \bar{K}_2 - \underline{P} \underline{\sin}(\tilde{p}t) \dot{\bar{K}}_1 + \\ + \underline{P} \underline{\cos}(\tilde{p}t) \dot{\bar{K}}_2 \quad (2.109)$$

Inlocuind (2.105) și (2.109) în (2.102), rezultă:

$$- \underline{\sin}(\tilde{p}t) \dot{\bar{K}}_1 + \underline{\cos}(\tilde{p}t) \dot{\bar{K}}_2 = \underline{P}^{-1} \underline{M}^{-1} \underline{\mu}^T \bar{F}(t) \quad (2.110)$$

Din (2.108) și (2.110) se determină  $\dot{\bar{K}}_1$  și  $\dot{\bar{K}}_2$ , după care, prin integrare, se obțin funcțiile de timp necunoscute din  $\bar{K}_1$  și  $\bar{K}_2$ . Deoarece matricile patrate  $\underline{P}^{-1}$ ,  $\underline{M}^{-1}$ ,  $\underline{\sin}(\tilde{p}t)$  și  $\underline{\cos}(\tilde{p}t)$  sunt diagonale, astfel încât produsul lor matricial este comutativ, soluția (2.105) se poate exprima sub forma:

$$\tilde{x}_f = \underline{P}^{-1} \underline{M}^{-1} \int_0^t \underline{\sin} [\tilde{p}(t-\tau)] \underline{\mu}^T \bar{F}(\tau) d\tau \quad (2.111)$$

Dacă forțele perturbatoare din  $\bar{F}(t)$  sunt toate armonice, având aceeași pulsație  $\omega$ , exprimate prin:

$$\bar{F}(t) = \bar{F}_0 \sin \omega t , \quad (2.112)$$

componenta forțată a mișcării rezultă de aceeași formă:

$$\tilde{x}_f = \tilde{x}_0 \sin \omega t \quad (2.113)$$

Impunând condiția ca (2.113) să verifice (2.102), se obține:

$$\bar{x}_o = \frac{\{P^2 - \omega_I^2\}^*}{|P^2 - \omega_I^2|} \cdot M^{-1} \mu^T \bar{F}_o , \quad (2.114)$$

în care  $\{P^2 - \omega_I^2\}^*$  este matricea complementară corespunzătoare matricii  $P^2 - \omega_I^2$ . Deoarece această matrice este diagonală și inversa sa va fi diagonală, de forma:

$$\{P^2 - \omega_I^2\}^{-1} = \frac{\{P^2 - \omega_I^2\}^*}{|P^2 - \omega_I^2|} = \begin{vmatrix} \frac{1}{P_1^2 - \omega^2} & 0 & 0 & \dots & 0 \\ 0 & \frac{1}{P_2^2 - \omega^2} & 0 & \dots & 0 \\ 0 & 0 & \frac{1}{P_3^2 - \omega^2} & \dots & 0 \\ \dots & \dots & \dots & \dots & \dots \\ 0 & 0 & 0 & \dots & \frac{1}{P_n^2 - \omega^2} \end{vmatrix} , \quad (2.115)$$

astfel încât (2.114) se mai poate scrie:

$$\bar{x}_o = \{P^2 - \omega_I^2\}^{-1} \cdot M^{-1} \mu^T \bar{F}_o \quad (2.116)$$

Dacă pulsăția  $\omega$  a forțelor perturbatoare coincide cu una din pulsățiile proprii ale sistemului, matricea  $\{P^2 - \omega_I^2\}$  nu se mai poate inversa, iar componenta forțării a mișcării se determină cu formula generală (2.111).

Tinând seama de (2.99), soluția generală a ecuației diferențiale matriceale a mișcării între ciocnirile de ordinul  $k$  și  $k+1$ , pentru cazul general corespunzător unor forțe perturbatoare periodice oarecare, toate având aceeași perioadă  $T$ , se poate exprima sub forma:

$$\begin{aligned} \bar{x} = & \mu \left\{ \cos [\tilde{p}(t-t_k)] \bar{c}_1 + \sin [\tilde{p}(t-t_k)] \bar{c}_2 \right\} + \\ & + \mu P^{-1} M^{-1} \int_0^t \sin [\tilde{p}(t-\tau)] \mu^T \bar{F}(\tau) d\tau \end{aligned} \quad (2.117)$$

în care constantele arbitrară din  $\bar{c}_1$  și  $\bar{c}_2$  se determină din

condițiile inițiale corespunzătoare sfîrșitului ciocnirii de ordinul  $k$ . Aceste condiții inițiale sunt:

$$t = t_k, \quad \bar{x} = (\bar{x})_k, \quad \dot{\bar{x}} = (\dot{\bar{x}})_k, \quad (2.118)$$

unde elementele matricii  $(\bar{x})_k$  trebuie să verifice egalitatea din relația de forma (2.46) a funcției legăturii unilaterale, iar matricea  $(\dot{\bar{x}})_k$  se exprimă în funcție de vitezele de la începutul ciocnirii prin relații de forma (2.62).

Deoarece:

$$\begin{aligned} \dot{\bar{x}} &= \underline{\mu} \underline{P} \left\{ - \underline{\sin} [\tilde{p}(t-t_k)] \bar{C}_1 + \underline{\cos} [\tilde{p}(t-t_k)] \bar{C}_2 \right\} + \\ &+ \underline{\mu} \underline{M}^{-1} \int_0^t \underline{\cos} [\tilde{p}(t-\tau)] \underline{\mu}^T \bar{F}(\tau) d\tau, \end{aligned} \quad (2.119)$$

împunând condițiile (2.118), rezultă:

$$(\bar{x})_k = \underline{\mu} \bar{C}_1 + \underline{\mu} \underline{P}^{-1} \underline{M}^{-1} \int_0^{t_k} \underline{\sin} [\tilde{p}(t_k-\tau)] \underline{\mu}^T \bar{F}(\tau) d\tau \quad (2.120)$$

$$(\dot{\bar{x}})_k = \underline{\mu} \underline{P} \bar{C}_2 + \underline{\mu} \underline{M}^{-1} \int_0^{t_k} \underline{\cos} [\tilde{p}(t_k-\tau)] \underline{\mu}^T \bar{F}(\tau) d\tau$$

Din (2.120) se obține:

$$\bar{C}_1 = \underline{\mu}^{-1} (\bar{x})_k - \underline{P}^{-1} \underline{M}^{-1} \int_0^{t_k} \underline{\sin} [\tilde{p}(t_k-\tau)] \underline{\mu}^T \bar{F}(\tau) d\tau \quad (2.121)$$

$$\bar{C}_2 = \underline{P}^{-1} \underline{\mu}^{-1} (\dot{\bar{x}})_k - \underline{P}^{-1} \underline{M}^{-1} \int_0^{t_k} \underline{\cos} [\tilde{p}(t_k-\tau)] \underline{\mu}^T \bar{F}(\tau) d\tau$$

Înlocuind (2.121) în (2.117), rezultă:

$$\begin{aligned} \bar{x} &= \underline{\mu} \left\{ \underline{\cos} [\tilde{p}(t-t_k)] \underline{\mu}^{-1} (\bar{x})_k + \underline{\sin} [\tilde{p}(t-t_k)] \underline{P}^{-1} \underline{\mu}^{-1} (\dot{\bar{x}})_k \right\} + \\ &+ \underline{\mu} \underline{P}^{-1} \underline{M}^{-1} \int_{t_k}^t \underline{\sin} [\tilde{p}(t-\tau)] \underline{\mu}^T \bar{F}(\tau) d\tau \end{aligned} \quad (2.122)$$

Pentru determinarea condițiilor inițiale pentru următorul interval al mișcării dintre două ciocniri consecutive, este necesar să se calculeze valorile  $(\bar{x})_{k+1}$  și  $(\dot{\bar{x}})_{k+1}$  la momentul  $t_{k+1}$ , corespunzătoare începutului ciocnirii de ordinul  $k+1$ .

Momentul  $t_{k+1}$  rezultă ca valoarea variabilei  $t$  imediat următoare momentului  $t_k$ , pentru care este îndeplinită egalitatea în relația de formă (2.46), în care coordonatele generalizate au variația în timp dată de (2.122). După determinarea acestui moment, se obține:

$$(\ddot{\bar{x}})_{k+1} = \underline{\mu} \left\{ \cos [\tilde{p}(t_{k+1}-t_k)] \underline{\mu}^{-1} (\bar{x})_k + \underline{\sin} [\tilde{p}(t_{k+1}-t_k)] \underline{\mu}^{-1} \underline{\mu}^{-1} (\dot{\bar{x}}')_k \right\} + \\ + \underline{\mu} \underline{\mu}^{-1} \underline{\underline{M}}^{-1} \int_{t_k}^{t_{k+1}} \underline{\sin} [\tilde{p}(t_{k+1}-\tau)] \underline{\mu}^T \bar{F}(\tau) d\tau \quad (2.123)$$

$$(\dot{\bar{x}})_{k+1} = \underline{\mu} \left\{ -\underline{\mu} \underline{\sin} [\tilde{p}(t_{k+1}-t_k)] \underline{\mu}^{-1} (\bar{x})_k + \cos [\tilde{p}(t_{k+1}-t_k)] \underline{\mu}^{-1} (\dot{\bar{x}}')_k \right\} + \\ + \underline{\mu} \underline{\mu}^{-1} \int_{t_k}^{t_{k+1}} \underline{\cos} [\tilde{p}(t_{k+1}-\tau)] \underline{\mu}^T \bar{F}(\tau) d\tau .$$

Condițiile ca mișcarea sistemului vibropercutant să fie periodică, având perioada un multiplu întreg  $r$  al perioadei  $T$  a forțelor perturbatoare, sunt:

$$t_{k+1} = t_k + rT ; \quad (\bar{x})_{k+1} = (\bar{x})_k = \bar{x}_c ; \quad (\dot{\bar{x}})_{k+1} = (\dot{\bar{x}})_k = \dot{\bar{x}}_c . \quad (2.124)$$

Impunând condițiile (2.124) în (2.123) și observînd că pentru matricile diagonale de formă (2.103) sunt valabile formulele de transformare corespunzătoare funcțiilor trigonometrice obișnuite, rezultă:

$$2\dot{\bar{x}}_c = (1+r) \underline{\mu} \frac{\partial f}{\partial \bar{x}} \cdot \left[ (-\frac{\partial f}{\partial \bar{x}})^T \dot{\bar{x}}_c \right] = \underline{\mu} \underline{\mu}^{-1} \underline{\sin}^{-1} (\frac{1}{2} \tilde{p} r T) \bar{S}_1 \quad (2.125)$$

$$2P \underline{\sin}^2 (\frac{1}{2} \tilde{p} r T) \underline{\mu}^{-1} \bar{x}_c = \underline{\mu}^{-1} \bar{S}_2 - \underline{\sin} (\tilde{p} r T) \underline{\mu}^{-1} \dot{\bar{x}}_c \quad (2.126)$$

în care s-au exprimat vitezele la sfîrșitul ciocnirilor în funcție de cele de la începutul ciocnirilor pe baza relațiilor de formă (2.62) și s-a notat:

$$\bar{S}_1 = \int_{t_k}^{t_k+rT} \underline{\sin} \left[ \tilde{p} (\tau - t_k - \frac{1}{2} rT) \right] \underline{\mu}^T \bar{F}(\tau) d\tau \quad (2.127)$$

$$\bar{S}_2 = \int_{t_k}^{t_k + rT} \underline{\sin} [\tilde{p}(\gamma - t_k)] \underline{\mu}^T \bar{F}(\gamma) d\gamma$$

Deoarece  $\bar{S}_1$  și  $\bar{S}_2$  depind de  $t_k$ , din (2.125) se determină elementele matricii  $\dot{\bar{x}}_c$  în funcție de  $t_k$ , iar din (2.126), după înlocuirea matricii  $\dot{\bar{x}}_c$ , rezultă poziția sistemului vibropercutant în momentele în care au loc ciocnirile ca funcție de  $t_k$ . Momentele  $t_k$  în care au loc ciocnirile se determină din condiția ca elementele matricii  $\bar{x}_c$  să verifice egalitatea din relația de forma (2.46):

$$f(x_{1c}, x_{2c}, \dots, x_{nc}) = 0 \quad (2.128)$$

Pentru sistemul vibropercutant considerat funcția  $f$  a legăturii unilaterale este liniară în coordonatele  $x_j$  ( $j = 1, 2, \dots, n$ ), fiind de forma din relația (2.38).

Se constată că relațiile (2.125), (2.126) și (2.128) reprezintă condițiile de existență ale mișcărilor periodice ale sistemului vibropercutant considerat. Din aceste condiții trebuie să rezulte valori reale pentru  $t_k$ ,  $\bar{x}_c$  și  $\dot{\bar{x}}_c$ . De asemenea, dacă ciocnirile au loc între corpurile de masă  $m_i$  și  $m_j$ , trebuie să fie verificată relația:

$$\dot{x}_{ic} - \dot{x}_{jc} > 0 \quad (2.129)$$

corespunzătoare relației (2.48 a) pentru funcția legăturii unilaterale (2.38).

In cazul în care forțele perturbatoare sunt armonice, având expresiile (2.112), condițiile de existență ale mișcărilor periodice pentru sistemul vibropercutant considerat se exprimă prin:

$$2\ddot{\bar{x}}_c - (1+R)\underline{A} \frac{\partial f}{\partial \bar{x}} \left[ \left( \frac{\partial f}{\partial \bar{x}} \right)^T \dot{\bar{x}}_c \right] = 2\omega \underline{\mu} \bar{F} \cos \omega t_k \quad (2.130)$$

$$\underline{\mu} \underline{\sin} (\pi r \frac{\tilde{p}}{\omega}) \underline{\mu}^{-1} \bar{x}_c = \left\{ \underline{\mu} \underline{\sin} (\pi r \frac{\tilde{p}}{\omega}) \sin \omega t_k + \right.$$

$$+ \omega \cos(\pi r \frac{\tilde{p}}{\omega}) \cos \omega t_k \} \bar{G} = \cos(\pi r \frac{\tilde{p}}{\omega}) \underline{\mu}^{-1} \dot{\bar{x}}_c \quad (2.131)$$

în care s-a notat:

$$\bar{G} = \left\{ \underline{P}^2 - \omega^2 \underline{I} \right\}^{-1} \underline{M}^{-1} \underline{\mu}^T \bar{F}_o \quad (2.132)$$

Si în acest caz, din relațiile (2.130), (2.131) și (2.128), trebuie să rezulte valori reale pentru  $t_k$ ,  $\bar{x}_c$ ,  $\dot{\bar{x}}_c$  și să fie verificată relația (2.129).

Condițiile de existență ale mișcărilor periodice pentru sistemul vibropercutant considerat s-au exprimat astfel încât să se potă determina ușor parametrii mișcării. Deoarece matricea  $\underline{M}$  este diagonală și funcția legăturii unilaterale este de forma (2.38), matricea  $\underline{A}$  din (2.62) devine:

$$\underline{A} = \frac{\underline{M}^{-1}}{\left( \frac{\partial f}{\partial \dot{x}} \right)^T \underline{M}^{-1} \frac{\partial f}{\partial \dot{x}}} = \frac{\underline{M}^{-1}}{\frac{1}{m_i} + \frac{1}{m_j}}, \quad (2.133)$$

fiind matrice diagonală. Ecuația matricială (2.125) conduce la ecuațiile:

$$2\ddot{x}_{ic} = \sum_{h=1}^n \left\{ \sum_{s=1}^n \underline{\mu}_{hs} \underline{\mu}_{is} \frac{s_1^{hs}}{M_{ss} \sin(\frac{1}{2} p_s r T)} \right\}, \\ = 1, 2, \dots, i-1, i+1, \dots, j-1, j+1, \dots, n, \\ 2\ddot{x}_{ic} - \frac{(1+r)(\dot{x}_{ic} - \dot{x}_{jc})}{1 + \frac{m_i}{m_j}} = \sum_{h=1}^n \left\{ \sum_{s=1}^n \underline{\mu}_{hs} \underline{\mu}_{is} \frac{s_1^{hs}}{M_{ss} \sin(\frac{1}{2} p_s r T)} \right\}, \\ 2\ddot{x}_{jc} + \frac{(1+r)(\dot{x}_{ic} - \dot{x}_{jc})}{1 + \frac{m_j}{m_i}} = \sum_{h=1}^n \left\{ \sum_{s=1}^n \underline{\mu}_{hs} \underline{\mu}_{js} \frac{s_1^{hs}}{M_{ss} \sin(\frac{1}{2} p_s r T)} \right\} \quad (2.134)$$

iar din (2.126) rezultă:

$$\dot{x}_{ic} = \sum_{h=1}^n \left\{ \sum_{s=1}^n \underline{\mu}_{hs} \underline{\mu}_{is} \frac{s_1^{hs}}{2p_s M_{ss} \sin^2(\frac{1}{2} p_s r T)} \right\} -$$

$$- \sum_{h=1}^n \left\{ \sum_{s=1}^n \mu_{hs}^{(-1)} \mu_{ls} \frac{1}{p_s} \cot(\frac{1}{2} p_s r) \dot{x}_{hc} \right\}, \quad (2.135)$$

în care  $\mu_{hs}^{(-1)}$  reprezintă elementul cu indicii  $h$  și  $s$  din matricea  $\mu^{-1}$  și s-a notat:

$$s_1^{hs} = \int_{t_k}^{t_k + rT} \sin \left[ p_s (\gamma - t_k - \frac{1}{2} rT) \right] F_h(\gamma) d\gamma \quad (2.136)$$

$$s_2^{hs} = \int_{t_k}^{t_k + rT} \sin \left[ p_s (\gamma - t_k) \right] F_h(\gamma) d\gamma.$$

Dacă forțele perturbatoare sunt armonice, având expresiile (2.112), condițiile de existență ale mișcărilor periodice, date de (2.130) și (2.131), conduc la ecuațiile:

$$\dot{x}_{lc} = \left( \sum_{s=1}^n \mu_{ls} G_s \right) \omega \cos \omega t_k, \quad ,$$

$$l = 1, 2, \dots, i-1, i+1, \dots, j-1, j+1, \dots, n, \quad ,$$

$$2\dot{x}_{ic} - \frac{(1+R)(\dot{x}_{ic} - \dot{x}_{jc})}{1 + \frac{m_i}{m_j}} = 2\omega \left( \sum_{s=1}^n \mu_{is} G_s \right) \cos \omega t_k, \quad ,$$

$$2\dot{x}_{jc} + \frac{(1+R)(\dot{x}_{ic} - \dot{x}_{jc})}{1 + \frac{m_j}{m_i}} = 2\omega \left( \sum_{s=1}^n \mu_{js} G_s \right) \cos \omega t_k, \quad ,$$

(2.137)

$$x_{lc} = \left( \sum_{s=1}^n \mu_{ls} G_s \right) \sin \omega t_k + \omega \left[ \sum_{s=1}^n \mu_{ls} \frac{1}{p_s} \cot(p_s r \frac{\pi}{\omega}) G_s \right] \cos \omega t_k -$$

$$- \sum_{h=1}^n \left\{ \sum_{s=1}^n \mu_{hs}^{(-1)} \mu_{ls} \frac{1}{p_s} \cot(p_s r \frac{\pi}{\omega}) \dot{x}_{hc} \right\}.$$

În cazul în care cupla percutantă corespunde ciocnirii corpului de masă  $m_i$  cu un limitator fix, relația pentru legătura unilaterala este dată de (2.43), cu ajutorul căreia condi-

țiile de existență ale mișcărilor periodice ale sistemului vibropercutant se exprimă în mod analog, având expresiile matriciale (2.125) și (2.126), dacă forțele perturbatoare sunt periodice oarecare, sau expresiile (2.130) și (2.131), dacă forțele perturbatoare sunt armonice.

2.4.2. Sisteme vibropercutante liniare între ciocniri, cu amortizare viscoasă uniformă, cu o cuplă percutantă, având n grade de libertate.

In cazul în care forțele de amortizare viscoasă nu se pot neglija, ecuația diferențială matricială a mișcării sistemului vibropercutant între două ciocniri consecutive este dată de (2.36). Cu ajutorul matricii modale (2.93) corespunzătoare sistemului fără amortizare viscoasă, efectuind transformarea de coordinate (2.99), această ecuație se exprimă sub forma:

$$\ddot{\underline{x}} + \underline{M}^{-1} \underline{\mu}^T \underline{c} \underline{\mu} \dot{\underline{x}} + \underline{P}^2 \underline{x} = \underline{M}^{-1} \underline{\mu}^T \underline{F}(t) . \quad (2.138)$$

In general matricea  $\underline{\mu}^T \underline{c} \underline{\mu}$  nu rezultă diagonală, astfel încât, în acest caz, ecuațiile diferențiale ale mișcării nu se pot decupla, ele fiind cuplate prin forțele de amortizare viscoasă.

Există cazuri în care elementele matricii  $\underline{c}$  sunt proporționale cu elementele matricii  $\underline{k}$  sau cu elementele matricii  $\underline{m}$  și în aceste cazuri ecuațiile diferențiale ale mișcării se decouplează. În aceste cazuri se spune că sistemul are amortizare viscoasă uniformă. De exemplu, dacă amortizarea provine din proprietățile viscoase ale materialelor elementelor deformabile, se poate emite ipoteza unei similitudini între distribuția parametrilor caracterizînd elasticitatea și distribuția parametrilor ce caracterizează amortizarea, astfel încît rezultă:

$$c_1 = 2\alpha k \quad (2.139)$$

In mod asemănător, dacă amortizarea se datorează efectului forței-

lor rezistente în mișcarea maselor sistemului în mediul în care se deplasează, coeficienții de amortizare sunt proporționali cu mărimile maselor:

$$c_2 = 2\beta_m \quad (2.140)$$

În cele mai frecvente cazuri, cele două tipuri de amortizare se cunulează, astfel încât matricea de amortizare se exprimă sub forma:

$$\underline{c} = \underline{c}_1 + \underline{c}_2 \quad (2.141)$$

În aceste cazuri, rezultă:

$$\underline{M}^{-1} \underline{\mu}^T \underline{c} \underline{\mu} = 2E \quad (2.142)$$

unde  $E$  este matrice diagonală, dată de:

$$2E = \underline{M}^{-1} \underline{\mu}^T \underline{c}_1 \underline{\mu} + \underline{M}^{-1} \underline{\mu}^T \underline{c}_2 \underline{\mu} = 2\alpha_p^2 + 2\beta_m^2, \quad (2.143)$$

având elementele:

$$\varepsilon_s = \alpha_p^2 + \beta_m^2, \quad s = 1, 2, \dots, n. \quad (2.144)$$

Pentru sisteme cu amortizare viscoasă uniformă, ecuația diferențială matricială (2.133) devine:

$$\ddot{\underline{x}} + 2\underline{\xi} \dot{\underline{x}} + \underline{P}^2 \underline{x} = \underline{M}^{-1} \underline{\mu}^T \underline{F}(t), \quad (2.145)$$

în care ecuațiile diferențiale sunt decuplate. Notând:

$$\underline{\text{EXP}}(-\underline{\xi}t) = \begin{vmatrix} e^{-\xi_1 t} & 0 & 0 & \dots & 0 \\ 0 & e^{-\xi_2 t} & 0 & \dots & 0 \\ 0 & 0 & e^{-\xi_3 t} & \dots & 0 \\ \dots & \dots & \dots & \dots & \dots \\ 0 & 0 & 0 & \dots & e^{-\xi_n t} \end{vmatrix} \quad (2.146)$$

și efectuind transformarea de coordinate:

$$\bar{\underline{x}} = \underline{\text{EXP}}(-\underline{\xi}t)\underline{x}, \quad (2.147)$$

ecuația (2.145) rezultă de forma:

$$\ddot{\bar{\underline{x}}} + (\underline{P}^2 - \underline{\xi}^2)\bar{\underline{x}} = \underline{\text{EXP}}(-\underline{\xi}t)\underline{M}^{-1} \underline{\mu}^T \underline{F}(t) \quad (2.148)$$

La stabilirea expresiei (2.148), s-a ținut seama de relații evidente:

$$\frac{d}{dt} \left[ \underline{\text{EXP}}(-\tilde{\xi}t) \right] = -\underline{\xi} \underline{\text{EXP}}(-\tilde{\xi}t); \quad \underline{\text{EXP}}^{-1}(-\tilde{\xi}t) = \underline{\text{EXP}}(\tilde{\xi}t), \quad (2.149)$$

Deoarece, în general, forțele de amortizare vîscoasă ce acționează în sistemele vibropercuteante au valori mici, coeficientii  $\alpha$  și  $\beta$  din (2.144) sunt mici, astfel încât sunt îndeplinite relațiile  $p_s > \xi_s$  pentru toate valorile lui  $s$  de la 1 la  $n$ . Aceste relații sunt îndeplinite, dacă se verifică următoarele condiții:

$$\alpha < \frac{1}{p_1 + p_n}, \quad \beta < \alpha p_1 p_n, \quad (2.150)$$

unde  $p_1$  este pulsăția proprie cea mai mică și  $p_n$  este pulsăția proprie cea mai mare pentru sistemul fără amortizare.

Cu aceste condiții îndeplinite, se poate nota:

$$\underline{H}^2 = \underline{P}^2 - \underline{\xi}^2 \quad (2.151)$$

În cale matricea diagonală  $\underline{H}$  are elementele:

$$h_s = \sqrt{p_s^2 - \xi_s^2}, \quad s = 1, 2, \dots, n. \quad (2.152)$$

Inlocuind (2.151) în (2.148), se constată că această ecuație matricială este de forma (2.102), pentru care componenta forțată este dată de (2.111), iar componenta tranzitorie se exprimă prin (2.104). Prin urmare, se poate scrie:

$$\begin{aligned} \bar{u}(t) &= \underline{\cos}(\tilde{\xi}t)\bar{C}_1 + \underline{\sin}(\tilde{\xi}t)\bar{C}_2 + \\ &+ \underline{H}^{-1}\underline{M}^{-1} \int_0^t \underline{\text{EXP}}(\tilde{\xi}\tau) \underline{\sin}[\tilde{\eta}(t-\tau)] \underline{\mu}^T F(\tau) d\tau \end{aligned} \quad (2.153)$$

Înînd seama de transformările (2.147) și (2.99), rezultă:

$$\begin{aligned} \bar{x}(t) &= \underline{\mu} \underline{\text{EXP}}(-\tilde{\xi}t) \left\{ \underline{\cos}(\tilde{\xi}t)\bar{C}_1 + \underline{\sin}(\tilde{\xi}t)\bar{C}_2 \right\} + \\ &+ \underline{\mu} \underline{H}^{-1}\underline{M}^{-1} \int_0^t \underline{\text{EXP}}[-\tilde{\xi}(t-\tau)] \underline{\sin}[\tilde{\eta}(t-\tau)] \underline{\mu}^T F(\tau) d\tau \end{aligned} \quad (2.154)$$

Deoarece derivata în raport cu timpul a expresiei (2.154) este dată de:

$$\begin{aligned} \dot{\bar{x}} = & \mu \exp(-\tilde{\xi} t) \left\{ -E \left[ \cos(\tilde{h}t) \bar{C}_1 + \sin(\tilde{h}t) \bar{C}_2 \right] + \right. \\ & + H \left[ -\sin(\tilde{h}t) \bar{C}_1 + \cos(\tilde{h}t) \bar{C}_2 \right] \} + \\ & + \mu H^{-1} E^{-1} \left\{ -E \int_0^t \exp \left[ -\tilde{\xi}(t-\tau) \right] \sin \left[ \tilde{h}(t-\tau) \right] \mu^T \bar{F}(\tau) d\tau + \right. \\ & \left. + H \int_0^t \exp \left[ -\tilde{\xi}(t-\tau) \right] \cos \left[ \tilde{h}(t-\tau) \right] \mu^T \bar{F}(\tau) d\tau \right\}, \quad (2.155) \end{aligned}$$

împunând condițiile inițiale (2.118) se determină constantele arbitriare din  $\bar{C}_1$  și  $\bar{C}_2$ , corespunzătoare intervalului de timp  $(t_k, t_{k+1})$  dintre două ciocniri consecutive. Legea mișcării sistemului în acest interval de timp rezultă:

$$\begin{aligned} \bar{x} = & \mu \exp \left[ -\tilde{\xi}(t-t_k) \right] \cos \left[ \tilde{h}(t-t_k) \right] \mu^{-1}(\bar{x})_k + \\ & + H^{-1} E \sin \left[ \tilde{h}(t-t_k) \right] \mu^{-1}(\bar{x})_k + H^{-1} \sin \left[ \tilde{h}(t-t_k) \right] \mu^{-1}(\dot{\bar{x}})_k \} + \\ & + \mu H^{-1} E^{-1} \int_{t_k}^t \exp \left[ -\tilde{\xi}(t-\tau) \right] \sin \left[ \tilde{h}(t-\tau) \right] \mu^T \bar{F}(\tau) d\tau. \quad (2.156) \end{aligned}$$

Determinând din (2.156) parametrii  $(\bar{x})_{k+1}$  și  $(\dot{\bar{x}})_{k+1}$  de la începutul ciocnirii următoare și punând condițiile (2.124) de periodicitate a mișcării, se obțin condițiile de existență ale ciocnirilor periodice:

$$\begin{aligned} & \Re \left\{ \sin(\tilde{\xi} rf) - \cos(\tilde{h}rf) \right\} \mu^{-1} \bar{x}_c + (1+R) \left[ \left( -\frac{\partial f}{\partial \bar{x}} \right)^{-1} \bar{x} \right]_{k+1} \mu^{-1} \bar{x} - \frac{\partial f}{\partial \bar{x}} = \\ & = L_1 \bar{x}_3 + L_2 \bar{x}_4 \quad (2.157) \end{aligned}$$

$$L_1 \mu^{-1} \bar{x}_c = \sin(\tilde{\xi} rf) \mu^{-1} \bar{x}_c - \mu \Re(-\tilde{\xi} rf) \bar{x}_4, \quad (2.158)$$

în care s-au folosit notatiile:

$$\begin{aligned}
 \underline{\text{CH}}(\tilde{\epsilon} rT) &= \frac{1}{2} [\underline{\text{EXP}}(\tilde{\epsilon} rT) + \underline{\text{EXP}}(-\tilde{\epsilon} rT)] \\
 \underline{L}_1 &= \underline{H} [\underline{\text{COS}}(\tilde{h}rT) - \underline{\text{EXP}}(-\tilde{\epsilon} rT)] - \underline{E} \underline{\text{SIN}}(\tilde{h}rT) \\
 \underline{L}_2 &= \underline{H} \underline{\text{SIN}}(\tilde{h}rT) + \underline{E} [\underline{\text{COS}}(\tilde{h}rT) - \underline{\text{EXP}}(-\tilde{\epsilon} rT)] \\
 \underline{\bar{s}}_4 &= \underline{M}^{-1} \int_{t_k}^{t_k+rT} \underline{\text{EXP}}[\tilde{\epsilon}(t-t_k)] \underline{\text{SIN}}[\tilde{h}(t-t_k)] \underline{\mu}^T \underline{F}(t) dt \quad (2.159) \\
 \underline{\bar{s}}_3 &= \underline{M}^{-1} \int_{t_k}^{t_k+rT} \underline{\text{EXP}}[\tilde{\epsilon}(t-t_k)] \underline{\text{COS}}[\tilde{h}(t-t_k)] \underline{\mu}^T \underline{F}(t) dt
 \end{aligned}$$

Din (2.157) se determină vitezele la începutul ciocnirilor ca funcții de  $t_k$ , iar din (2.158) rezultă poziția sistemului în momentele în care au loc ciocnirile. Înlocuind elementele matricii  $\bar{x}_c$  în (2.128) se obține  $t_k$ , după care se pot exprima elementele matricilor  $\bar{x}_c$  și  $\dot{\bar{x}}_c$  numai în funcție de parametrii cunoscuți. Valorile astfel determinate trebuie să fie reale și să verifice relația (2.129).

Dacă forțele perturbatoare sunt armonice, având expresiile date de (2.112), componenta forțată corespunzătoare ecuației matriciale (2.143) rezultă:

$$\bar{u}_F = \underline{\text{EXP}}(\tilde{\epsilon} t) \left\{ (\underline{P}^2 - \omega_L^2 \underline{I}) \sin \omega t - 2\omega \underline{E} \cos \omega t \right\} \bar{G}_1, \quad (2.160)$$

în care s-a notat:

$$\bar{G}_1 = \left\{ (\underline{P}^2 - \omega_L^2 \underline{I})^2 + 4\omega^2 \underline{E}^2 \right\}^{-1} \underline{M}^{-1} \underline{\mu}^T \underline{F}_0 \quad (2.161)$$

Înînd seama de transformările (2.147) și (2.99), soluția generală a ecuației (2.36) între ciocnirile de ordinul  $k$  și  $k+1$  se poate scrie sub forma:

$$\begin{aligned}
 \bar{x} &= \underline{\mu} \underline{\text{EXP}}[-\tilde{\epsilon}(t-t_k)] \left\{ \underline{\text{COS}}[\tilde{h}(t-t_k)] \bar{C}_1 + \underline{\text{SIN}}[\tilde{h}(t-t_k)] \bar{C}_2 \right\} + \\
 &+ \underline{\mu} \left\{ (\underline{P}^2 - \omega_L^2 \underline{I}) \sin \omega t - 2\omega \underline{E} \cos \omega t \right\} \bar{G}_1. \quad (2.162)
 \end{aligned}$$

Pentru acest caz condițiile de existență ale mișcărilor pe-

riodice ale sistemului vibropercutant rezultă din relațiile:

$$2\bar{H} \left[ \underline{\text{CH}}(\tilde{\epsilon}_{RT}) - \underline{\text{COS}}(\tilde{h}_{RT}) \right] \underline{\mu}^{-1} \dot{\underline{x}}_c + (1+R) \left[ \left( \frac{\partial f}{\partial \underline{x}} \right)^T \dot{\underline{x}}_c \right] \underline{L}_1 \underline{\mu}^{-1} \underline{A} \frac{\partial f}{\partial \underline{x}} = \\ = 2\omega_E \left[ \underline{\text{CH}}(\tilde{\epsilon}_{RT}) - \underline{\text{COS}}(\tilde{h}_{RT}) \right] \left\{ 2\omega_E \sin \omega t_k + (\underline{P}^2 - \omega_I^2) \cos \omega t_k \right\} \bar{G}_1 \quad (2.163)$$

$$\underline{L}_1 \underline{\mu}^{-1} \dot{\underline{x}}_c = \underline{\text{SIN}}(\tilde{h}_{RT}) \underline{\mu}^{-1} \dot{\underline{x}}_c + \underline{L}_1 \left\{ (\underline{P}^2 - \omega_I^2) \sin \omega t_k - 2\omega_E \cos \omega t_k \right\} \bar{G}_1 - \omega \underline{\text{SIN}}(\tilde{h}_{RT}) \left\{ 2\omega_E \sin \omega t_k + (\underline{P}^2 - \omega_I^2) \cos \omega t_k \right\} \bar{G}_1 . \quad (2.164)$$

#### 2.4.3. Sisteme vibropercutante liniare între ciocniri, cuplate prin amortizare viscoasă, cu o cuplă percutantă, având n grade de libertate

Se vede, în acest caz, ecuațiile diferențiale ale mișcării, exprimate prin (2.36), nu se pot decupla, este necesar să se determine soluția generală a acestei ecuații matriciale între două ciocniri consecutive.

Pentru determinarea soluției tranzitorii, se consideră ecuația diferențială matricială omogenă:

$$\underline{\ddot{m}\underline{x}} + \underline{c}\dot{\underline{x}} + \underline{k}\underline{x} = \underline{0} , \quad (2.165)$$

la care se caută soluții de forma:

$$\underline{x}_t = \underline{A} e^{\lambda t} \quad (2.166)$$

Punind condiția ca (2.166) să verifice (2.165), după simplificarea cu  $e^{\lambda t} \neq 0$ , rezultă:

$$\{\lambda^2 \underline{m} + \lambda \underline{c} + \underline{k}\} \underline{A} = \underline{0} \quad (2.167)$$

Ecuația (2.167) corespunde unui sistem de ecuații algebrice, liniar și omogen. Pentru a avea soluții diferite de soluția banală, determinantul sistemului trebuie să fie nul. Se obține, astfel, ecuația caracteristică:

$$|\lambda^2 \underline{m} + \lambda \underline{c} + \underline{k}| = 0 , \quad (2.168)$$

de gradul  $2n$  în  $\lambda$ , din care se determină cele  $2n$  valori proprii  $\lambda_{s1}, \lambda_{s2}$  ( $s = 1, 2, \dots, n$ ). În cazul general al ecuațiilor diferențiale cuplate prin amortizare viscoasă, valorile proprii rezultă două cîte două complexe conjugate, de forma:

$$\lambda_{s1} = -\xi_s + i h_s , \quad (2.169)$$

$$\lambda_{s2} = -\xi_s - i h_s ,$$

unde  $i = \sqrt{-1}$  reprezintă simbolul imaginar.

Impărțind fiecare ecuație algebrică din (2.167) cu primul element  $\bar{A}_1$  al matricii  $\bar{A}$ , pentru valurile proprii  $\lambda_{s1}$  și  $\lambda_{s2}$  din (2.167) se obține:

$$\{\lambda_{s1}^2 \underline{m} + \lambda_{s1} \underline{c} + \underline{k}\} \bar{v}_{s1} = 0 , \quad (2.170)$$

$$\{\lambda_{s2}^2 \underline{m} + \lambda_{s2} \underline{c} + \underline{k}\} \bar{v}_{s2} = 0 .$$

Fiecare din ecuațiile matriciale (2.170) reprezintă un sistem de  $n$  ecuații algebrice liniar dependente cu  $n-1$  necunoscute, din care se determină elementele vectorilor proprii  $\bar{v}_{s1}$  și  $\bar{v}_{s2}$ , care au primul element egal cu 1.

Deoarece matricile  $\underline{m}$ ,  $\underline{c}$  și  $\underline{k}$  au elementele reale, rezultă că elementele corespunzătoare ale vectorilor proprii  $\bar{v}_{s1}$  și  $\bar{v}_{s2}$ , în afară de primul element, vor fi și ele complexe conjugate.

Pe baza acestei observații, se poate scrie:

$$\bar{v}_{s1} = \bar{v}_{sR} + i \bar{v}_{sI} , \quad (2.171)$$

$$\bar{v}_{s2} = \bar{v}_{sR} - i \bar{v}_{sI} ,$$

în care matricea  $\bar{v}_{sR}$  conține părțile reale ale elementelor vectorilor proprii considerați, avînd primul element egal cu 1, iar matricea  $\bar{v}_{sI}$  conține părțile imaginare ale acestora, avînd primul element egal cu 0.

Înlocuind (2.169) și (2.171) în (2.170) și separînd părțile reale și cele imaginare din ecuațiile matriciale care rezultă, se pot exprima relațiile:

$$\{(\varepsilon_s^2 - h_s^2) \underline{m} - \varepsilon_s \underline{c} + \underline{k}\} \bar{v}_{sR} - \{h_s \underline{c} - 2\varepsilon_s h_s \underline{m}\} \bar{v}_{sI} = 0 , \quad (2.172)$$

$$\{h_s \underline{c} - 2\varepsilon_s h_s \underline{m}\} \bar{v}_{sR} + \{(\varepsilon_s^2 - h_s^2) \underline{m} - \varepsilon_s \underline{c} + \underline{k}\} \bar{v}_{sI} = 0 ,$$

Care pot fi folosite pentru determinarea elementelor matricilor  $\bar{v}_{sR}$  și  $\bar{v}_{sI}$ .

Cu ajutorul vectorilor proprii, determinați ca mai sus pentru toate valorile proprii ale sistemului, se pot construi două matrici modale, avînd elementele corespunzătoare complex conjugate:

$$\underline{\Psi}_1 = \left\| \bar{v}_{11} \bar{v}_{21} \dots \bar{v}_{s1} \dots \bar{v}_{n1} \right\| = \underline{\Psi}_R + i\underline{\Psi}_I , \quad (2.173)$$

$$\underline{\Psi}_2 = \left\| \bar{v}_{12} \bar{v}_{22} \dots \bar{v}_{s2} \dots \bar{v}_{n2} \right\| = \underline{\Psi}_R - i\underline{\Psi}_I ,$$

unde s-au folosit notațiile:

$$\underline{\Psi}_R = \left\| \bar{v}_{1R} \bar{v}_{2R} \dots \bar{v}_{sR} \dots \bar{v}_{nR} \right\| , \quad (2.174)$$

$$\underline{\Psi}_I = \left\| \bar{v}_{1I} \bar{v}_{2I} \dots \bar{v}_{sI} \dots \bar{v}_{nI} \right\| .$$

Folosind matricile  $\underline{\Psi}_R$  și  $\underline{\Psi}_I$ , corespunzătoare părților reale și imaginare ale matricilor modale, pe baza relațiilor (2.172) se poate scrie:

$$\underline{m} \underline{\Psi}_R (\underline{E}^2 - \underline{H}^2) - \underline{c} \underline{\Psi}_R \underline{E} + \underline{k} \underline{\Psi}_R + 2\underline{m} \underline{\Psi}_I \underline{E} \underline{H} - \underline{c} \underline{\Psi}_I \underline{H} = 0 , \quad (2.175)$$

$$-2\underline{m} \underline{\Psi}_R \underline{E} \underline{H} + \underline{c} \underline{\Psi}_R \underline{H} + \underline{m} \underline{\Psi}_I (\underline{E}^2 - \underline{H}^2) - \underline{c} \underline{\Psi}_I \underline{E} + \underline{k} \underline{\Psi}_I = 0 ,$$

În care  $\underline{E}$  este matricea diagonală cu elementele  $\varepsilon_s$ , iar  $\underline{H}$  este matricea diagonală cu elementele  $h_s$  ( $s = 1, 2, \dots, n$ ).

Relațiile matriciale (2.175) înglobează toate relațiile de forma (2.172) pentru toate valorile proprii ale sistemului.

Utilizînd matricile modale (2.173) și matricile diagonale

EXP( $\tilde{\lambda}_1 t$ ) și EXP( $\tilde{\lambda}_2 t$ ), construite pe baza relației (2.146) cu elementele corespunzătoare valorilor proprii (2.169), soluția generală a ecuației (2.165) și, ca urmare, soluția tranzitorie corespunzătoare ecuației (2.36) se poate scrie sub forma:

$$\bar{x}_t = \underline{v}_1 \underline{\text{EXP}}(\tilde{\lambda}_1 t) \bar{A}_1 + \underline{v}_2 \underline{\text{EXP}}(\tilde{\lambda}_2 t) \bar{A}_2 , \quad (2.176)$$

în care matricile  $\bar{A}_1$  și  $\bar{A}_2$  au ca elemente constante arbitrale.

Tinând seama de faptul că pentru funcțiile matriciale de formă (2.146) sunt valabile formulele de transformare corespunzătoare funcțiilor exponențiale obișnuite, expresia (2.176) se poate scrie succesiv:

$$\begin{aligned} \bar{x}_t &= (\underline{v}_R + i\underline{v}_I) \underline{\text{EXP}}[(-\tilde{\xi} + i\tilde{h})t] \bar{A}_1 + \\ &+ (\underline{v}_R - i\underline{v}_I) \underline{\text{EXP}}[(-\tilde{\xi} - i\tilde{h})t] \bar{A}_2 = \\ &= \underline{v}_R \underline{\text{EXP}}(-\tilde{\xi} t) \left\{ [\underline{\cos}(\tilde{h}t) + i \underline{\sin}(\tilde{h}t)] \bar{A}_1 + \right. \\ &+ [\underline{\cos}(\tilde{h}t) - i \underline{\sin}(\tilde{h}t)] \bar{A}_2 \left. \right\} + \underline{v}_I \underline{\text{EXP}}(-\tilde{\xi} t) \left\{ i[\underline{\cos}(\tilde{h}t) + \right. \\ &\left. + i \underline{\sin}(\tilde{h}t)] \bar{A}_1 - i[\underline{\cos}(\tilde{h}t) - i \underline{\sin}(\tilde{h}t)] \bar{A}_2 \right\} = \\ &= \underline{v}_R \underline{\text{EXP}}(-\tilde{\xi} t) [\underline{\cos}(\tilde{h}t)(\bar{A}_1 + \bar{A}_2) + i \underline{\sin}(\tilde{h}t)(\bar{A}_1 - \bar{A}_2)] + \\ &+ \underline{v}_I \underline{\text{EXP}}(-\tilde{\xi} t) [i \underline{\cos}(\tilde{h}t)(\bar{A}_1 - \bar{A}_2) - \underline{\sin}(\tilde{h}t)(\bar{A}_1 + \bar{A}_2)] . \end{aligned} \quad (2.177)$$

Din (2.177) rezultă că matricile  $\bar{A}_1$  și  $\bar{A}_2$  trebuie să aibă elementele corespunzătoare complex conjugate, astfel încât se poate scrie:

$$\bar{A}_1 + \bar{A}_2 = \bar{C}_1 , \quad (2.178)$$

$$i(\bar{A}_1 - \bar{A}_2) = \bar{C}_2 ,$$

unde matricile  $\bar{C}_1$  și  $\bar{C}_2$  au ca elemente constante arbitrale reale.

Inlocuind (2.178) în (2.177), soluția tranzitorie a sistemului devine:

$$\begin{aligned} \bar{x}_t &= \underline{v}_R \underline{\text{EXP}}(-\tilde{\xi} t) [\underline{\cos}(\tilde{h}t) \bar{C}_1 + \underline{\sin}(\tilde{h}t) \bar{C}_2] + \\ &+ \underline{v}_I \underline{\text{EXP}}(-\tilde{\xi} t) [\underline{\cos}(\tilde{h}t) \bar{C}_2 - \underline{\sin}(\tilde{h}t) \bar{C}_1] . \end{aligned} \quad (2.179)$$

Pentru determinarea soluției forțate a sistemului, corespunzătoare soluției particulare a ecuației matriciale (2.36), în cazul general în care forțele perturbatoare sunt periodice cu aceeași perioadă  $T$  se va folosi metoda variației constantelor. Se cauță soluția forțată de forma:

$$\ddot{\bar{x}}_f = \underline{V}_R \underline{\text{EXP}}(-\tilde{\epsilon}t) [\underline{\cos}(\tilde{h}t)\bar{K}_1 + \underline{\sin}(\tilde{h}t)\bar{K}_2] + \\ + \underline{V}_I \underline{\text{EXP}}(-\tilde{\epsilon}t) [\underline{\cos}(\tilde{h}t)\bar{K}_2 - \underline{\sin}(\tilde{h}t)\bar{K}_1], \quad (2.180)$$

în care matricile  $\bar{K}_1$  și  $\bar{K}_2$  conțin funcții de timp, care urmează să fie determinate din condiția ca (2.180) să verifice ecuația diferențială matricială (2.36). Deoarece derivata în raport cu timpul a expresiei (2.180) este:

$$\dot{\bar{x}}_f = -(\underline{V}_R E + \underline{V}_I H) \underline{\text{EXP}}(-\tilde{\epsilon}t) [\underline{\cos}(\tilde{h}t)\bar{K}_1 + \underline{\sin}(\tilde{h}t)\bar{K}_2] + \\ + (\underline{V}_R H - \underline{V}_I E) \underline{\text{EXP}}(-\tilde{\epsilon}t) [\underline{\cos}(\tilde{h}t)\bar{K}_2 - \underline{\sin}(\tilde{h}t)\bar{K}_1] + \\ + \underline{V}_R \underline{\text{EXP}}(-\tilde{\epsilon}t) [\underline{\cos}(\tilde{h}t)\dot{\bar{K}}_1 + \underline{\sin}(\tilde{h}t)\dot{\bar{K}}_2] + \\ + \underline{V}_I \underline{\text{EXP}}(-\tilde{\epsilon}t) [\underline{\cos}(\tilde{h}t)\dot{\bar{K}}_2 - \underline{\sin}(\tilde{h}t)\dot{\bar{K}}_1], \quad (2.181)$$

se mai impune condiția:

$$\underline{V}_R \underline{\text{EXP}}(-\tilde{\epsilon}t) [\underline{\cos}(\tilde{h}t)\dot{\bar{K}}_1 + \underline{\sin}(\tilde{h}t)\dot{\bar{K}}_2] + \\ + \underline{V}_I \underline{\text{EXP}}(-\tilde{\epsilon}t) [\underline{\cos}(\tilde{h}t)\dot{\bar{K}}_2 - \underline{\sin}(\tilde{h}t)\dot{\bar{K}}_1] = \bar{0}. \quad (2.182)$$

Punând condiția ca (2.180) să verifice (2.36), după ce se calculează  $\ddot{\bar{x}}_f$  și ținând seama de (2.175), rezultă:

$$-(\underline{V}_R E + \underline{V}_I H) \underline{\text{EXP}}(-\tilde{\epsilon}t) [\underline{\cos}(\tilde{h}t)\dot{\bar{K}}_1 + \underline{\sin}(\tilde{h}t)\dot{\bar{K}}_2] + \\ + (\underline{V}_R H - \underline{V}_I E) \underline{\text{EXP}}(-\tilde{\epsilon}t) [\underline{\cos}(\tilde{h}t)\dot{\bar{K}}_2 - \underline{\sin}(\tilde{h}t)\dot{\bar{K}}_1] = m^{-1}\bar{F} \quad (2.183)$$

Având în vedere că matricea  $\underline{V}_R$  este nesingulară, din (2.182) și (2.183) se determină matricile cu deriveatele funcțiilor de timp necunoscute:

$$\dot{\bar{K}}_1 = -\underline{\text{EXP}}(\tilde{\epsilon}t) [\underline{\sin}(\tilde{h}t) + \underline{\cos}(\tilde{h}t) \underline{V}_R^{-1} \underline{V}_I] B^{-1} m^{-1} \bar{F},$$

(2.184)

$$\dot{\bar{K}}_2 = \underline{\text{EXP}}(-\tilde{\xi}t) [\underline{\cos}(\tilde{h}t) - \underline{\sin}(\tilde{h}t) \underline{\underline{V}}_R^{-1} \underline{\underline{V}}_I] \underline{\underline{B}}^{-1} \underline{\underline{m}}^{-1} \underline{\underline{F}} ,$$

în care s-a notat:

$$\underline{\underline{B}} = (\underline{\underline{V}}_R \underline{\underline{E}} + \underline{\underline{V}}_I \underline{\underline{H}}) \underline{\underline{V}}_R^{-1} \underline{\underline{V}}_I + \underline{\underline{V}}_R \underline{\underline{H}} - \underline{\underline{V}}_I \underline{\underline{E}} . \quad (2.185)$$

Din (2.184) se determină matricile  $\bar{K}_1$  și  $\bar{K}_2$ , având ca elemente funcțiile de timp necunoscute. Înlocuind aceste matrici în (2.180), se obține soluția forțată căutată, care se poate exprima sub forma:

$$\begin{aligned} \bar{x}_f = & \underline{\underline{V}}_R \left\{ \int_0^t \underline{\text{EXP}}[-\tilde{\xi}(t-\tau)] \underline{\sin}[\tilde{h}(t-\tau)] \underline{\underline{B}}^{-1} \underline{\underline{m}}^{-1} \underline{\underline{F}}(\tau) d\tau - \right. \\ & - \int_0^t \underline{\text{EXP}}[-\tilde{\xi}(t-\tau)] \underline{\cos}[\tilde{h}(t-\tau)] \underline{\underline{V}}_R^{-1} \underline{\underline{V}}_I \underline{\underline{B}}^{-1} \underline{\underline{m}}^{-1} \underline{\underline{F}}(\tau) d\tau \Big\} + \\ & + \underline{\underline{V}}_I \left\{ \int_0^t \underline{\text{EXP}}[-\tilde{\xi}(t-\tau)] \underline{\cos}[\tilde{h}(t-\tau)] \underline{\underline{B}}^{-1} \underline{\underline{m}}^{-1} \underline{\underline{F}}(\tau) d\tau + \right. \\ & \left. + \int_0^t \underline{\text{EXP}}[-\tilde{\xi}(t-\tau)] \underline{\sin}[\tilde{h}(t-\tau)] \underline{\underline{V}}_R^{-1} \underline{\underline{V}}_I \underline{\underline{B}}^{-1} \underline{\underline{m}}^{-1} \underline{\underline{F}}(\tau) d\tau \right\} . \end{aligned} \quad (2.186)$$

Fiind determinate soluția tranzitorie (2.179) și soluția forțată (2.186) pentru sistemul vibropercutant considerat, se poate face studiul mișcării sistemului între două ciocniri consecutive. Impunând condițiile inițiale (2.118), se determină constantele de integrare din matricile  $\bar{C}_1$  și  $\bar{C}_2$ , astfel încât legea mișcării sistemului vibropercutant între ciocnirile de ordinul  $k$  și  $k+1$  devine:

$$\begin{aligned} \bar{x} = & \underline{\underline{V}}_R \underline{\text{EXP}}[-\tilde{\xi}(t-t_k)] \left\{ \underline{\cos}[\tilde{h}(t-t_k)] \left[ \underline{\underline{B}}_1 \underline{\underline{V}}_R^{-1} (\bar{x})_k - \underline{\underline{V}}_R^{-1} \underline{\underline{V}}_I \underline{\underline{B}}^{-1} (\dot{\bar{x}}')_k \right] + \right. \\ & + \underline{\sin}[\tilde{h}(t-t_k)] \left[ \underline{\underline{B}}_2 \underline{\underline{V}}_R^{-1} (\bar{x})_k + \underline{\underline{B}}^{-1} (\dot{\bar{x}}')_k \right] + \\ & + \int_{t_k}^t \underline{\text{EXP}}[-\tilde{\xi}(t-\tau)] \underline{\sin}[\tilde{h}(t-\tau)] \underline{\underline{B}}^{-1} \underline{\underline{m}}^{-1} \underline{\underline{F}}(\tau) d\tau - \\ & \left. - \int_{t_k}^t \underline{\text{EXP}}[-\tilde{\xi}(t-\tau)] \underline{\cos}[\tilde{h}(t-\tau)] \underline{\underline{V}}_R^{-1} \underline{\underline{V}}_I \underline{\underline{B}}^{-1} \underline{\underline{m}}^{-1} \underline{\underline{F}}(\tau) d\tau \right\} + \end{aligned}$$

$$\begin{aligned}
 & + \underline{\nu}_I \underline{\text{EXP}}[-\tilde{\epsilon}(t-t_k)] \{ \underline{\cos}[\tilde{h}(t-t_k)] [\underline{B}_2 \underline{\nu}_R^{-1}(\bar{x})_k + \underline{B}^{-1}(\dot{\bar{x}}')_k] - \\
 & - \underline{\sin}[\tilde{h}(t-t_k)] [\underline{B}_1 \underline{\nu}_R^{-1}(x)_k - \underline{\nu}_R^{-1} \underline{\nu}_I \underline{B}^{-1}(\dot{\bar{x}}')_k] + \\
 & + \int_{t_k}^t \underline{\text{EXP}}[-\tilde{\epsilon}(t-\tau)] \underline{\cos}[\tilde{h}(t-\tau)] \underline{B}^{-1} \underline{m}^{-1} \bar{F}(\tau) d\tau + \\
 & + \int_{t_k}^t \underline{\text{EXP}}[-\tilde{\epsilon}(t-\tau)] \underline{\sin}[\tilde{h}(t-\tau)] \underline{\nu}_R^{-1} \underline{\nu}_I \underline{B}^{-1} \underline{m}^{-1} \bar{F}(\tau) d\tau \}, \quad (2.187)
 \end{aligned}$$

unde s-au folosit notațiile:

$$\underline{B}_1 = \underline{I} - \underline{\nu}_R^{-1} \underline{\nu}_I \underline{B}^{-1} (\underline{\nu}_R \underline{E} + \underline{\nu}_I \underline{H}), \quad (2.188)$$

$$\underline{B}_2 = \underline{B}^{-1} (\underline{\nu}_R \underline{E} + \underline{\nu}_I \underline{H}).$$

Determinind din (2.187) parametrii  $\bar{x}_{k+1}$  și  $\dot{\bar{x}}_{k+1}$  de la începutul ciclului următoare și impunind condițiile (2.124) de periodicitate a mișcării, se obțin condițiile de existență ale mișcărilor periodice pentru sistemul vibropercutant considerat:

$$\begin{aligned}
 & (\underline{L}_3 \underline{L}_4^{-1} \underline{L}_6 - \underline{L}_5) \underline{B}^{-1} \dot{\bar{x}}_c + (\underline{I} - \underline{L}_3 \underline{L}_4^{-1} \underline{\nu}_R^{-1} \underline{\nu}_I) \underline{B}^{-1} \left\{ \dot{\bar{x}}_c - \right. \\
 & \left. - (1+R) \left[ \left( \frac{\partial f}{\partial \bar{x}} \right)^T \dot{\bar{x}}_c \right] A - \frac{\partial f}{\partial \bar{x}} \right\} = \underline{L}_3 \underline{L}_4^{-1} (\bar{s}_5 + \bar{s}_8) - \bar{s}_6 + \bar{s}_7, \quad (2.189)
 \end{aligned}$$

$$\begin{aligned}
 & (\underline{L}_4 - \underline{\nu}_R^{-1} \underline{\nu}_I \underline{L}_3) \underline{\nu}_R^{-1} \bar{x}_c = (\underline{\nu}_R^{-1} \underline{\nu}_I \underline{L}_5 - \underline{L}_6) \underline{B}^{-1} \dot{\bar{x}}_c + \bar{s}_5 + \bar{s}_8 - \\
 & - \underline{\nu}_R^{-1} \underline{\nu}_I (\bar{s}_6 - \bar{s}_7), \quad (2.190)
 \end{aligned}$$

în care s-au făcut notațiile:

$$\begin{aligned}
 \underline{L}_3 &= \underline{\text{EXP}}(\tilde{\epsilon} rT) [\underline{\sin}(\tilde{h}rT) \underline{B}_1 + \underline{\cos}(\tilde{h}rT) \underline{B}_2] - \underline{B}_2 \\
 \underline{L}_4 &= \underline{\text{EXP}}(\tilde{\epsilon} rT) [\underline{\sin}(\tilde{h}rT) \underline{B}_2 - \underline{\cos}(\tilde{h}rT) \underline{B}_1] + \underline{B}_1 \\
 \underline{L}_5 &= \underline{\text{EXP}}(\tilde{\epsilon} rT) [\underline{\cos}(\tilde{h}rT) - \underline{\sin}(\tilde{h}rT) \underline{\nu}_R^{-1} \underline{\nu}_I] \\
 \underline{L}_6 &= \underline{\text{EXP}}(\tilde{\epsilon} rT) [\underline{\sin}(\tilde{h}rT) + \underline{\cos}(\tilde{h}rT) \underline{\nu}_R^{-1} \underline{\nu}_I] \quad (2.191) \\
 \bar{s}_5 &= \int_{t_k}^{t_k+rT} \underline{\text{EXP}}[\tilde{\epsilon}(\tau-t_k)] \underline{\sin}[\tilde{h}(\tau-t_k)] \underline{B}^{-1} \underline{m}^{-1} \bar{F}(\tau) d\tau
 \end{aligned}$$

$$\bar{s}_6 = \int_{t_k}^{t_k+rT} \underline{\text{EXP}}[\tilde{\epsilon}(\gamma - t_k)] \underline{\cos}[\tilde{h}(\gamma - t_k)] \underline{B}^{-1} \underline{m}^{-1} \bar{F}(\gamma) d\gamma$$

$$s_7 = \int_{t_k}^{t_k+rT} \underline{\text{EXP}}[\tilde{\epsilon}(\gamma - t_k)] \underline{\sin}[\tilde{h}(\gamma - t_k)] \underline{v_R}^{-1} \underline{v_I} \underline{B}^{-1} \underline{m}^{-1} \bar{F}(\gamma) d\gamma$$

$$\bar{s}_8 = \int_{t_k}^{t_k+rT} \underline{\text{EXP}}[\tilde{\epsilon}(\gamma - t_k)] \underline{\cos}[\tilde{h}(\gamma - t_k)] \underline{v_R}^{-1} \underline{v_I} \underline{B}^{-1} \underline{m}^{-1} \bar{F}(\gamma) d\gamma.$$

Dacă forțele perturbatoare sunt armonice, având expresii date de (2.112), componenta forțată a soluției ecuației diferențiale a mișcării sistemului este de forma:

$$\ddot{x}_f = \bar{K}_1 \cos \omega t + \bar{K}_2 \sin \omega t. \quad (2.192)$$

Punind condiția ca (2.192) să verifice (2.36) și efectuând identificarea coeficienților lui  $\cos \omega t$  și  $\sin \omega t$  rezultă:

$$(\underline{k} - \omega^2 \underline{m}) \bar{K}_1 + \omega \underline{c} \bar{K}_2 = \bar{F}_0 \quad (2.193)$$

$$-\omega \underline{c} \bar{K}_1 + (\underline{k} - \omega^2 \underline{m}) \bar{K}_2 = \bar{F}_0$$

În relațiile (2.193) cel puțin una din matricile  $\underline{c}$  și  $(\underline{k} - \omega^2 \underline{m})$  este nesingulară. În general, în cazul considerat în care ecuațiile diferențiale ale mișcării sistemului sunt cuplate prin forțele de amortizare vîscoasă, matricea de amortizare  $\underline{c}$  este nesingulară și nu depinde de pulsării forțelor perturbatoare, astfel încît din (2.193) se obține:

$$\bar{K}_1 = -\left\{ \omega \underline{c} + \frac{1}{\omega} (\underline{k} - \omega^2 \underline{m}) \underline{c}^{-1} (\underline{k} - \omega^2 \underline{m}) \right\}^{-1} \bar{F}_0 \quad (2.194)$$

$$\bar{K}_2 = \frac{1}{\omega} \underline{c}^{-1} (\underline{k} - \omega^2 \underline{m}) \left\{ \omega \underline{c} + \frac{1}{\omega} (\underline{k} - \omega^2 \underline{m}) \underline{c}^{-1} (\underline{k} - \omega^2 \underline{m}) \right\}^{-1} \bar{F}_0.$$

După determinarea soluției forțate, se efectuează în mod analog studiul mișcării sistemului vibropercutant între două ciocniri consecutive. Condițiile de existență ale mișcărilor vibropercutante periodice pentru acest caz rezultă din relațiile:

$$(\underline{L}_3 \underline{L}_4^{-1} \underline{L}_6 - \underline{L}_5) \underline{B}^{-1} \dot{\underline{x}}_c + (\underline{I} - \underline{L}_3 \underline{L}_4^{-1} \underline{v}_R^{-1} \underline{v}_I) \underline{B}^{-1} \left\{ \dot{\underline{x}}_c - \right.$$

$$-(1+R) \left[ \left( \frac{\partial f}{\partial \bar{x}} \right)^T \ddot{\bar{x}}_c \right] A \frac{\partial f}{\partial \bar{x}} \} = \omega \left[ L_3 L_4^{-1} (L_6 - \underline{v}_R^{-1} \underline{v}_I) - L_5 + I \right] B^{-1} (\bar{K}_2 \cos \omega t_k - \\ - \bar{K}_1 \sin \omega t_k) \quad (2.195)$$

$$(L_4 - \underline{v}_R^{-1} \underline{v}_I L_3) \underline{v}_R^{-1} \ddot{\bar{x}}_c = (\underline{v}_R^{-1} \underline{v}_I L_5 - L_6) B^{-1} \ddot{\bar{x}}_c + \\ + (L_4 - \underline{v}_R^{-1} \underline{v}_I L_3) \underline{v}_R^{-1} (\bar{K}_1 \cos \omega t_k + \bar{K}_2 \sin \omega t_k) + \\ + \omega (L_6 - \underline{v}_R^{-1} \underline{v}_I L_5) B^{-1} (\bar{K}_2 \cos \omega t_k - \bar{K}_1 \sin \omega t_k) . \quad (2.196)$$

2.4.4. Sisteme vibropercutante liniare între ciocniri, neamortizate, cu două couple percutante, având n grade de libertate

Pentru sistemele vibropercutante cu mai multe grade de libertate, având două sau mai multe couple percutante, analiza mișcărilor vibropercutante periodice și, prin urmare, stabilirea condițiilor de existență ale acestor mișcări prezintă dificultăți sporite față de studiul sistemelor vibropercutante cu o singură cuplă percutantă, datorită posibilității existenței unor tipuri diferite de mișcări vibropercutante periodice, care conduc la condiții de existență diferite. Astfel, în cazul sistemelor vibropercutante cu două couple percutante, pot să apară mișcări vibropercutante periodice cu ciocniri numai între corpurile corespunzătoare uneia din cele două couple percutante, pentru care studiul se efectuează analog studiului sistemelor cu o singură cuplă percutantă. De asemenea, pot apărea mișcări vibropercutante periodice la care într-o perioadă a mișcării să existe ciocniri successive multiple între corpurile corespunzătoare uneia din couplele percutante, urmărite de ciocniri simple sau multiple între corpurile corespunzătoare celeilalte couple percutante. Condițiile de existență ale acestor tipuri de mișcări vibropercutante periodice depind de ordinile de

multiplicitate ale ciocnirilor successive dintre corpurile corespunzătoare fiecărei din cele două couple percutante.

În mod obișnuit, în cazul sistemelor vibropercutante cu mai multe couple percutante, se face studiul pentru un anumit tip de mișcare periodică, care prezintă interes pentru aplicații.

În cadrul acestui paragraf, se consideră un sistem vibropercutant cu două couple percutante, caracterizat printr-un model de translație, la care prima cuplă percutantă corespunde ciocnirilor dintre corpurile de mase  $m_i$  și  $m_j$ , iar a doua cuplă percutantă corespunde ciocnirilor dintre corpurile  $m_j$  și  $m_l$  (fig. 2.4). Prima cuplă percutantă este caracterizată de funcția

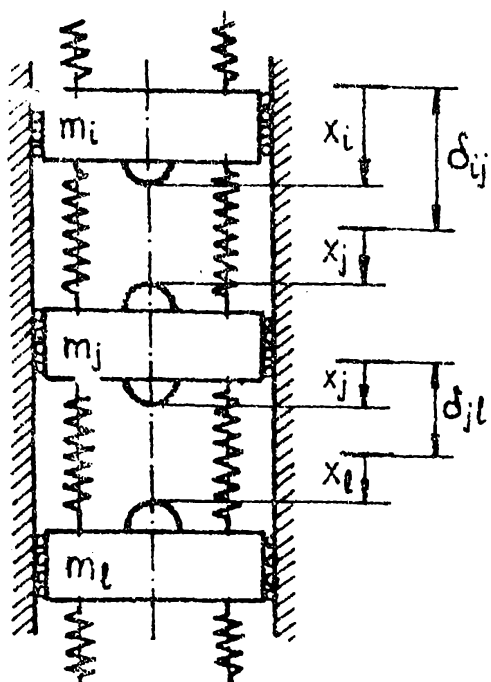


Fig. 2.4

legăturii unilaterale  $f_1$ , pentru care este îndeplinită relația:

$$f_1 = x_j + \delta_{ij} - x_i \geq 0, \quad (2.197)$$

iar a doua cuplă percutantă este caracterizată de funcția legăturii unilaterale  $f_2$ , pentru care este îndeplinită relația:

$$f_2 = x_l + \delta_{jl} - x_j \geq 0. \quad (2.198)$$

În relațiile (2.197) și (2.198) sînt îndeplinite egalitățile în momentele în care au loc ciocniriile. Pentru sistemul vibropercu-

tant considerat se caută mișările vibropercutante periodice pentru care într-o perioadă a mișării apar ciocniri successive între corpurile corespunzătoare couplelor percutante diferite.

Pentru studiul acestui tip de mișări vibropercutante periodice, se consideră, în primul rînd, cazul general în care forțele perturbatoare sînt periodice oarecare, avînd aceeași perioadă  $T$ . Se presupune că ciocnirea de ordinul  $k$  are loc în-

tre corporile corespunzătoare primei cuple percutante. Deoarece între două ciocniri consecutive legea mișcării sistemului este de forma (2.117) și condițiile inițiale ale mișcării după ciocnirea de ordinul  $k$  sint (2.118), mișcarea sistemului vibropercutant între ciocnirile de ordinul  $k$  și  $k+1$  este caracterizată prin:

$$\bar{x} = \underline{\mu} \cos[\tilde{p}(t-t_k)] \underline{\mu}^{-1}(\bar{x})_k + \underline{\sin}[\tilde{p}(t-t_k)] \underline{\mu}^{-1} \underline{\mu}^{-1}(\dot{\bar{x}}')_k + \\ + \underline{\mu}^{-1} \underline{M}^{-1} \int_{t_k}^t \underline{\sin}[\tilde{p}(t-\tau)] \underline{\mu}^T \bar{F}(\tau) d\tau , \quad (2.199)$$

$$\dot{\bar{x}} = \underline{\mu} \left\{ - \underline{\mu} \underline{\sin}[\tilde{p}(t-t_k)] \underline{\mu}^{-1}(\bar{x})_k + \underline{\cos}[\tilde{p}(t-t_k)] \underline{\mu}^{-1}(\dot{\bar{x}}')_k + \right. \\ \left. + \underline{M}^{-1} \int_{t_k}^t \underline{\cos}[\tilde{p}(t-\tau)] \underline{\mu}^T \bar{F}(\tau) d\tau \right\} ,$$

unde vitezele la sfîrșitul ciocnirii de ordinul  $k$  se exprimă în funcție de vitezele de la începutul ciocnirii prin relațiile:

$$(\dot{\bar{x}})_k' = (\dot{\bar{x}})_k - (1+R_1) \left[ \left( \frac{\partial f_1}{\partial \bar{x}} \right)^T (\dot{\bar{x}})_k \right] A_1 \frac{\partial f_1}{\partial \bar{x}} \quad (2.200)$$

Conform considerațiilor anterioare, ciocnirea următoare, având ordinul  $k+1$ , are loc între corporile corespunzătoare celei de a doua cuplă percutantă. Momentul  $t_{k+1}$  în care are loc această ciocnire se determină ca valoarea variabilei  $t$  imediat superioară momentului  $t_k$  pentru care este îndeplinită egalitatea din (2.198) cu valorile  $\bar{x}_i$  și  $x_j$  din  $\bar{x}$  date de prima relație (2.199). După determinarea momentului  $t_{k+1}$ , rezultă parametrii finali ai intervalului de timp dintre cele două ciocniri consecutive:

$$(\bar{x})_{k+1} = \underline{\mu} \left\{ \underline{\cos}[\tilde{p}(t_{k+1}-t_k)] \underline{\mu}^{-1}(\bar{x})_k + \underline{\sin}[\tilde{p}(t_{k+1}-t_k)] \underline{\mu}^{-1} \underline{\mu}^{-1}(\dot{\bar{x}})_k' + \right. \\ \left. + \underline{\mu}^{-1} \underline{M}^{-1} \int_{t_k}^{t_{k+1}} \underline{\sin}[\tilde{p}(t_{k+1}-\tau)] \underline{\mu}^T \bar{F}(\tau) d\tau \right\} ,$$

$$(\dot{\bar{x}})_{k+1} = \underline{\mu} \left\{ - \underline{\mu} \underline{\sin}[\tilde{p}(t_{k+1}-t_k)] \underline{\mu}^{-1}(\bar{x})_k + \underline{\cos}[\tilde{p}(t_{k+1}-t_k)] \underline{\mu}^{-1}(\dot{\bar{x}})_k' + \right.$$

$$+ M^{-1} \int_{t_k}^{t_{k+1}} \cos [\tilde{p}(t_{k+1}-\tau)] U^T F(\tau) d\tau . \quad (2.201)$$

Condițiile initiale pentru următorul interval de timp al mișcării între două ciocniri consecutive sunt:

$$t = t_{k+1}, \bar{x} = (\bar{x})_{k+1}, \dot{\bar{x}} = (\dot{\bar{x}})_{k+1}, \quad (2.202)$$

unde vitezele la sfârșitul ciocnirii de ordinul  $k+1$  se exprimă în funcție de vitezele la începutul ciocnirii prin relațiile:

$$(\dot{\bar{x}})_{k+1} = (\dot{\bar{x}})_{k+1} - (I + R_2) \left[ \left( \frac{\partial f_2}{\partial \bar{x}} \right)^T (\dot{\bar{x}})_{k+1} \right] A_2 \frac{\partial f_2}{\partial \bar{x}} \quad (2.203)$$

Impunând (2.202) pentru determinarea constantelor de integrare din (2.117), rezultă:

$$\begin{aligned} \bar{x} &= U \left\{ \cos [\tilde{p}(t-t_{k+1})] U^{-1} (\bar{x})_{k+1} + \sin [\tilde{p}(t-t_{k+1})] P^{-1} U^{-1} (\dot{\bar{x}})_{k+1} + \right. \\ &\quad \left. + P^{-1} M^{-1} \int_{t_{k+1}}^t \sin [\tilde{p}(t-\tau)] U^T F(\tau) d\tau \right\} , \end{aligned} \quad (2.204)$$

$$\begin{aligned} \dot{\bar{x}} &= U \left\{ -P \sin [\tilde{p}(t-t_{k+1})] U^{-1} (\bar{x})_{k+1} + \cos [\tilde{p}(t-t_{k+1})] U^{-1} (\dot{\bar{x}})_{k+1} + \right. \\ &\quad \left. + M^{-1} \int_{t_{k+1}}^t \cos [\tilde{p}(t-\tau)] U^T F(\tau) d\tau \right\} . \end{aligned}$$

Deoarece ciocnirea următoare, de ordinul  $k+2$ , are loc între corpurile corespunzătoare primei couple percutante, momentul  $t_{k+2}$  se determină ca valoarea imediat superioară momentului  $t_{k+1}$  a timpului pentru care este îndeplinită egalitatea din (2.197) cu valorile  $x_i$  și  $x_j$  din  $\bar{x}$  date de prima relație (2.204). Cu această valoare determinată, din (2.204) se obțin parametrii finali ai mișcării în intervalul de timp dintre ciocnirile de ordinul  $k+1$  și  $k+2$ :

$$\begin{aligned} (\bar{x})_{k+2} &= U \left\{ \cos [\tilde{p}(t_{k+2}-t_{k+1})] U^{-1} (\bar{x})_{k+1} + \right. \\ &\quad \left. + \sin [\tilde{p}(t_{k+2}-t_{k+1})] P^{-1} U^{-1} (\dot{\bar{x}})_{k+1} + \right. \end{aligned}$$

$$+ \underline{P}^{-1} \underline{M}^{-1} \int_{t_{k+1}}^{t_{k+2}} \underline{\sin} [\tilde{p}(t_{k+2} - \tau)] \underline{U}^T \underline{F}(\tau) d\tau \} ,$$

$$\begin{aligned} (\dot{\bar{x}})_{k+2} = & \underline{U} \left\{ -\underline{P} \underline{\sin} [\tilde{p}(t_{k+2} - t_{k+1})] \underline{U}^{-1} (\bar{x})_{k+1} + \right. \\ & + \underline{\cos} [\tilde{p}(t_{k+2} - t_{k+1})] \underline{U}^{-1} (\dot{\bar{x}})_{k+1} + \\ & \left. + \underline{M}^{-1} \int_{t_{k+1}}^{t_{k+2}} \underline{\cos} [\tilde{p}(t_{k+2} - \tau)] \underline{U}^T \underline{F}(\tau) d\tau \right\} . \quad (2.205) \end{aligned}$$

Relațiile (2.201) și (2.205), împreună cu egalitățile din (2.197) și (2.198), ținând seama de (2.200) și (2.203), pot fi private ca relații de recurență pentru studiul mișcării sistemului pe intervalele de timp dintre două ciocniri consecutive, pornind de la condițiile initiale. Pentru ca mișcarea sistemului vibropercutant să fie periodică, având perioada un multiplu  $r$  al perioadei  $T$  a forțelor perturbatoare, trebuie să fie îndeplinite condițiile:

$$t_{k+2} = t_k + rT, \quad (\bar{x})_{k+2} = (\bar{x})_k = \bar{x}_{cl}, \quad (\dot{\bar{x}})_{k+2} = (\dot{\bar{x}})_k = \dot{\bar{x}}_{cl}, \quad (2.206)$$

$$t_{k+1} \in (t_k, t_k + rT), \quad (\bar{x})_{k+1} = \bar{x}_{c2}, \quad (\dot{\bar{x}})_{k+1} = \dot{\bar{x}}_{c2} .$$

Impunând condițiile de periodicitate ale mișcării (2.206) în (2.201) și (2.205), rezultă condițiile de existență ale mișcărilor periodice ale sistemului vibropercutant, de tipul căutat, care se pot exprima sub forma:

$$\begin{aligned} & [I - \underline{\cos}(\tilde{p}rT)] \underline{U}^{-1} \dot{\bar{x}}_{cl} - (1+R_1) \left[ \left( \frac{\partial f_1}{\partial \bar{x}} \right)^T \dot{\bar{x}}_{cl} \right] \underline{L}_7 \underline{U}^{-1} \underline{A}_1 \frac{\partial f_1}{\partial \bar{x}} + \\ & + \underline{L}_8 \underline{U}^{-1} \dot{\bar{x}}_{c2} - (1+R_2) \left[ \left( \frac{\partial f_2}{\partial \bar{x}} \right)^T \dot{\bar{x}}_{c2} \right] \underline{L}_8 \underline{U}^{-1} \underline{A}_2 \frac{\partial f_2}{\partial \bar{x}} = \\ & = \underline{M}^{-1} \left\{ \underline{\sin} [\tilde{p}(t_k + rT - t_{k+1})] \int_{t_k}^{t_k + rT} \underline{\sin} [\tilde{p}(\tau - t_{k+1})] \underline{U}^T \underline{F}(\tau) d\tau - \right. \\ & \left. - \underline{L}_8 \int_{t_{k+1}}^{t_k + rT} \underline{\cos} [\tilde{p}(\tau - t_{k+1})] \underline{U}^T \underline{F}(\tau) d\tau \right\} , \quad (2.207) \end{aligned}$$

$$\begin{aligned}
 & - L_8 \mu^{-1} \dot{\bar{x}}_{c1} + (1+R_1) \left[ \left( \frac{\partial f_1}{\partial \bar{x}} \right)^T \dot{\bar{x}}_{c1} \right] L_3 \mu^{-1} A_1 - \frac{\partial f_1}{\partial \bar{x}} + \\
 & + \left[ 1 - \cos(\tilde{p}rT) \right] \mu^{-1} \dot{\bar{x}}_{c2} - (1+R_2) \left[ \left( \frac{\partial f_2}{\partial \bar{x}} \right)^T \dot{\bar{x}}_{c2} \right] L_7 \mu^{-1} A_2 - \frac{\partial f_2}{\partial \bar{x}} = \\
 & = M^{-1} L_8 \int_{t_k}^{t_{k+1}} \cos \left[ \tilde{p}(\tau - t_k) \right] \mu^T \bar{F}(\tau) d\tau + \\
 & + M^{-1} \sin \left[ \tilde{p}(t_{k+1} - t_k) \right] \left\{ \int_{t_k}^{t_{k+1}} \sin \left[ \tilde{p}(\tau - t_k) \right] \mu^T \bar{F}(\tau) d\tau - \right. \\
 & \left. - \int_{t_{k+1}}^{t_k + rT} \sin \left[ \tilde{p}(t_k + rT - \tau) \right] \mu^T \bar{F}(\tau) d\tau \right\} , \quad (2.208)
 \end{aligned}$$

$$\begin{aligned}
 & - P \cos \left[ \tilde{p}(t_k + rT - t_{k+1}) \right] \mu^{-1} \bar{x}_{c1} + P \mu^{-1} \bar{x}_{c2} + \\
 & + \sin \left[ \tilde{p}(t_k + rT - t_{k+1}) \right] \mu^{-1} \dot{\bar{x}}_{c1} = \\
 & = M^{-1} \int_{t_{k+1}}^{t_k + rT} \sin \left[ \tilde{p}(\tau - t_{k+1}) \right] \mu^T \bar{F}(\tau) d\tau , \quad (2.209)
 \end{aligned}$$

$$\begin{aligned}
 & P \mu^{-1} \bar{x}_{c1} - P \cos \left[ \tilde{p}(t_{k+1} - t_k) \right] \mu^{-1} \bar{x}_{c2} + \sin \left[ \tilde{p}(t_{k+1} - t_k) \right] \mu^{-1} \dot{\bar{x}}_{c2} = \\
 & = M^{-1} \int_{t_k}^{t_{k+1}} \sin \left[ \tilde{p}(\tau - t_k) \right] \mu^T \bar{F}(\tau) d\tau , \quad (2.210)
 \end{aligned}$$

unde s-au folosit notațiile:

$$L_7 = \sin \left[ \tilde{p}(t_{k+1} - t_k) \right] \sin \left[ \tilde{p}(t_k + rT - t_{k+1}) \right] , \quad (2.211)$$

$$L_8 = \cos \left[ \tilde{p}(t_{k+1} - t_k) \right] - \cos \left[ \tilde{p}(t_k + rT - t_{k+1}) \right] .$$

Din relațiile (2.207) și (2.208), corespunzătoare unui sistem de  $2n$  ecuații algebrice liniare cu  $2n$  necunoscute, se determină  $\dot{\bar{x}}_{c1}$  și  $\dot{\bar{x}}_{c2}$  ca funcțiuni de  $t_k$  și  $t_{k+1}$ , iar din relațiile (2.209) și (2.210) rezultă  $\bar{x}_{c1}$  și  $\bar{x}_{c2}$  ca funcțiile de  $t_k$  și  $t_{k+1}$ . Valorile momentelor  $t_k$  și  $t_{k+1}$  în care au loc cîocnirile se determină din condițiile ca  $\bar{x}_{ci}$  să verifice

relația  $f_1 = 0$  și  $\dot{x}_{c2}$  să verifice relația  $f_2 = 0$ . Înlocuind valorile momentelor  $t_k$  și  $t_{k+1}$  în expresiile  $\dot{x}_{cl}$ ,  $\dot{x}_{c1}$ ,  $\dot{x}_{c2}$  și  $\dot{x}_{cl}$ , determinate anterior ca funcții de  $t_k$  și  $t_{k+1}$ , se determină parametrii caracteristici ai ciocnirilor. Pentru existența mișcărilor vibropercutante periodice de tipul considerat, este necesar ca pentru toți acești parametrii să rezulte valori reale și să fie verificate relațiile:

$$\begin{aligned} t_k &< t_{k+1} < t_k + rT \\ \dot{x}_{ic1} - \dot{x}_{jc1} &> 0 \\ \dot{x}_{jc2} - \dot{x}_{lc2} &> 0 \end{aligned} \quad (2.212)$$

In cazul în care toate forțele perturbatoare sunt armonice, având expresiile date de (2.112), în mod analog se pot exprima condițiile de existență ale mișcărilor vibropercutante periodice de tipul considerat sub forma:

$$\begin{aligned} & \left[ I - \cos(\tilde{p}rT) \right] \mu^{-1} \dot{x}_{cl} - (1+R_1) \left[ \left( \frac{\partial f_1}{\partial \dot{x}} \right)^T \dot{x}_{cl} \right] L_7 \mu^{-1} A_1 \frac{\partial f_1}{\partial \dot{x}} + \\ & + L_8 \mu^{-1} \dot{x}_{c2} - (1+R_2) \left[ \left( \frac{\partial f_2}{\partial \dot{x}} \right)^T \dot{x}_{c2} \right] L_8 \mu^{-1} A_2 \frac{\partial f_2}{\partial \dot{x}} = \\ & = \omega \left[ \left( I - \cos(\tilde{p}rT) \right) \bar{G} \cos \omega t_k + \omega L_8 \bar{G} \cos \omega t_{k+1} \right], \quad (2.213) \end{aligned}$$

$$\begin{aligned} & - L_8 \mu^{-1} \dot{x}_{cl} + (1+R_1) \left[ \left( \frac{\partial f_1}{\partial \dot{x}} \right)^T \dot{x}_{cl} \right] L_8 \mu^{-1} A_1 \frac{\partial f_1}{\partial \dot{x}} + \\ & + \left[ I - \cos(\tilde{p}rT) \right] \mu^{-1} \dot{x}_{c2} - (1+R_2) \left[ \left( \frac{\partial f_2}{\partial \dot{x}} \right)^T \dot{x}_{c2} \right] L_7 \mu^{-1} A_2 \frac{\partial f_2}{\partial \dot{x}} = \\ & = - \omega L_8 \bar{G} \cos \omega t_k + \omega \left[ I - \cos(\tilde{p}rT) \right] \bar{G} \cos \omega t_{k+1}, \quad (2.214) \end{aligned}$$

$$\begin{aligned} & - P \cos \left[ \tilde{p}(t_k + rT - t_{k+1}) \right] \mu^{-1} \dot{x}_{cl} + P \mu^{-1} \dot{x}_{c2} + \\ & + \sin \left[ \tilde{p}(t_k + rT - t_{k+1}) \right] \mu^{-1} \dot{x}_{cl} = - P \cos \left[ \tilde{p}(t_k + rT - t_{k+1}) \right] \bar{G} \sin \omega t_k + \\ & + \omega \sin \left[ \tilde{p}(t_k + rT - t_{k+1}) \right] \bar{G} \cos \omega t_k + P \bar{G} \sin \omega t_{k+1}, \quad (2.215) \end{aligned}$$

$$P \mu^{-1} \dot{x}_{cl} - P \cos \left[ \tilde{p}(t_{k+1} - t_k) \right] \mu^{-1} \dot{x}_{c2} + \sin \left[ \tilde{p}(t_{k+1} - t_k) \right] \mu^{-1} \dot{x}_{c2} =$$

$$= \underline{P} \bar{G} \sin \omega t_k - \underline{P} \cos [\tilde{p}(t_{k+1}-t_k)] \bar{G} \sin \omega t_{k+1} + \\ + \omega \underline{\sin} [\tilde{p}(t_{k+1}-t_k)] \bar{G} \cos \omega t_{k+1}, \quad (2.216)$$

unde  $\bar{G}$  are expresia (2.132).

În unele aplicații, în special în cazul sistemelor de amortizare a vibrațiilor prin ciocniri, se întâlnesc sisteme vibropercutante cu două couple percutante la care ambele couple percutante corespund ciocnirilor între aceleasi corpurile ale sistemului. Un model pentru astfel de couple percutante este prezentat în fig.2.5. Pentru acest model, couplele percutante sunt caracteriza-

te de funcțiile legăturilor unilaterale  $f_1$  și  $f_2$ , care îndeplinesc relațiile:

$$f_1 = x_i + \delta_{ij} - x_j \geq 0, \quad (2.217)$$

$$f_2 = x_j - (x_i - \delta_{ij}) \geq 0, \quad (2.218)$$

unde egalitățile sunt îndeplinite în momen-

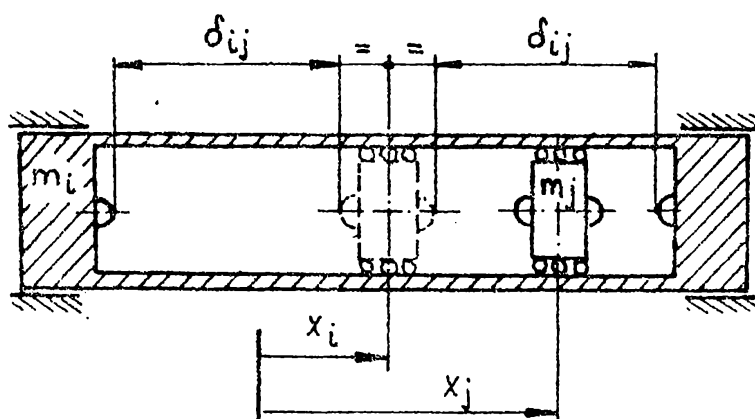


Fig. 2.5

tele în care au loc ciocnirile. Se presupune că pentru ambele couple percutante coeficienții de restituire la ciocnire sunt egali ( $R_1 = R_2 = R$ ). Tinând seama de expresiile (2.217) și (2.218) ale funcțiilor legăturilor unilaterale corespunzătoare celor două couple percutante, rezultă relațiile:

$$\underline{A}_1 = \underline{A}_2 = \underline{A}, \quad (2.219)$$

$$\frac{\partial f_2}{\partial \bar{x}} = - \frac{\partial f_1}{\partial \bar{x}}.$$

Studiul unui sistem vibropercutant conținînd astfel de couple percutante, la care se caută mișcări vibropercutante de tipul celor studiate anterior, se efectuează analog, obținîndu-se ace-

leași condiții de existență a mișcărilor vibropercutante periodice, cu particularizările date de expresiile (2.217) și (2.218) ale funcțiilor legăturilor unilaterale și ținând seama de relațiile (2.219) ce rezultă din aceste expresii. Pentru astfel de sisteme vibropercutante, prezintă interes pentru aplicații mișcările vibropercutante periodice de tipul considerat, care, spre deosebire de cazul general studiat, au mișcarea relativă a corpului de masă  $m_j$  față de corpul de masă  $m_i$  simetrică în cele două intervale de timp dintre trei ciocniri consecutive. Pentru a determina condițiile de existență ale acestor mișcări pentru sistemul vibropercutant considerat, pe lîngă condițiile de periodicitate (2.206) se impun condițiile de simetrie ale mișcării relative a corpului de masă  $m_j$  față de corpul de masă  $m_i$ :

$$t_{k+1} = t_k + \frac{1}{2} rT, \quad x_{jcl} - x_{icl} = x_{ic2} - x_{jc2} = \delta_{ij}, \quad (2.220)$$

$$\dot{x}_{jcl} - \dot{x}_{icl} = \dot{x}_{ic2} - \dot{x}_{jc2} > 0. \quad (2.221)$$

In cazul în care forțele perturbatoare sunt periodice oarecare, avînd aceeași perioadă  $T$ , condițiile de existență ale mișcărilor vibropercutante periodice, cu mișcarea relativă a corpului de masă  $m_j$  față de corpul de masă  $m_i$  simetrică, se exprimă sub forma:

$$\begin{aligned} \ddot{x}_{cl} &= (1+R) \left[ \left( \frac{\partial f_1}{\partial x} \right)^T \dot{x}_{cl} \right] A \frac{\partial f_1}{\partial x} = \\ &= \mu M^{-1} \underline{\sin}^{-1} \left( \frac{1}{2} \tilde{p} rT \right) \int_{t_k}^{t_k + rT} \underline{\sin} \left[ \tilde{p} (\tau - t_k - \frac{1}{2} rT) \right] \underline{\mu}^T \bar{F}(\tau) d\tau \end{aligned} \quad (2.222)$$

$$\begin{aligned} \ddot{x}_{c2} &= (1+R) \left[ \left( \frac{\partial f_1}{\partial x} \right)^T \dot{x}_{c2} \right] A \frac{\partial f_1}{\partial x} = \\ &= \mu M^{-1} \underline{\sin}^{-1} \left( \frac{1}{2} \tilde{p} rT \right) \left\{ \int_{t_k}^{t_k + \frac{1}{2} rT} \underline{\sin} \left[ \tilde{p} (\tau - t_k) \right] \underline{\mu}^T \bar{F}(\tau) d\tau - \right. \\ &\quad \left. - \int_{t_k + \frac{1}{2} rT}^{t_k + rT} \underline{\sin} \left[ \tilde{p} (t_k + rT - \tau) \right] \underline{\mu}^T \bar{F}(\tau) d\tau \right\} \end{aligned} \quad (2.223)$$

$$-\underline{P} \cos\left(\frac{1}{2}\tilde{p}rT\right) \underline{\mu}^{-1} \dot{\bar{x}}_{c1} + \underline{P} \underline{\mu}^{-1} \dot{\bar{x}}_{c2} + \underline{\sin}\left(\frac{1}{2}\tilde{p}rT\right) \underline{\mu}^{-1} \dot{\bar{x}}_{c1} = \\ = \underline{M}^{-1} \int_{t_k + \frac{1}{2}rT}^{t_k + rT} \underline{\sin}\left[\tilde{p}(t - t_k - \frac{1}{2}rT)\right] \underline{\mu}^T \underline{F}(t) dt \quad (2.224)$$

$$\underline{P} \underline{\mu}^{-1} \dot{\bar{x}}_{c1} - \underline{P} \cos\left(\frac{1}{2}\tilde{p}rT\right) \underline{\mu}^{-1} \dot{\bar{x}}_{c2} + \underline{\sin}\left(\frac{1}{2}\tilde{p}rT\right) \underline{\mu}^{-1} \dot{\bar{x}}_{c2} = \\ = \underline{M}^{-1} \int_{t_k}^{t_k + \frac{1}{2}rT} \underline{\sin}\left[\tilde{p}(t - t_k)\right] \underline{\mu}^T \underline{F}(t) dt \quad (2.225)$$

Din relațiile obținute, care corespund unor sisteme de ecuații algebrice liniare, se determină  $\dot{\bar{x}}_{c1}$ ,  $\dot{\bar{x}}_{c2}$ ,  $\bar{x}_{c1}$  și  $\bar{x}_{c2}$  ca funcții de  $t_k$ . Valorile momentului  $t_k$  pentru care există mișcări vibropercutante periodice de tipul considerat, se obțin din cele două ecuații (2.220), care reprezintă, pe lângă o condiție de simetrie a mișcării relative a corpului de masă  $m_j$ , și condițiile ca în momentele ciocnirilor să fie verificate egalitățile din relațiiile (2.217) și (2.218). Înlocuind  $t_k$  în expresiile  $\dot{\bar{x}}_{c1}$ ,  $\dot{\bar{x}}_{c2}$ ,  $\bar{x}_{c1}$  și  $\bar{x}_{c2}$  determinate ca funcții de  $t_k$ , rezultă parametrii ciocnirilor, care trebuie să verifice și relațiile (2.221).

Dacă forțele perturbatoare sunt armonice, avînd expresiile date de (2.112), condițiile de existență ale mișcărilor vibropercutante periodice de tipul considerat se pot exprima sub forma:

$$2\dot{\bar{x}}_{c1} - (1+R) \left[ \left( \frac{\partial f_1}{\partial \bar{x}} \right)^T \dot{\bar{x}}_{c1} \right] A \frac{\partial f_1}{\partial \bar{x}} = 2\omega \underline{\mu} \bar{G} \cos \omega t_k, \quad (2.226)$$

$$2\dot{\bar{x}}_{c2} - (1+R) \left[ \left( \frac{\partial f_1}{\partial \bar{x}} \right)^T \dot{\bar{x}}_{c2} \right] A \frac{\partial f_1}{\partial \bar{x}} = 2\omega \underline{\mu} \bar{G} \cos(\omega t_k + r\pi), \quad (2.227)$$

$$-\underline{P} \cos\left(\tilde{p} \frac{r\pi}{\omega}\right) \underline{\mu}^{-1} \dot{\bar{x}}_{c1} + \underline{P} \underline{\mu}^{-1} \dot{\bar{x}}_{c2} + \underline{\sin}\left(\tilde{p} \frac{r\pi}{\omega}\right) \underline{\mu}^{-1} \dot{\bar{x}}_{c1} = \\ \left\{ -\underline{P} \cos\left(\tilde{p} \frac{r\pi}{\omega}\right) \sin \omega t_k + \omega \underline{\sin}\left(\tilde{p} \frac{r\pi}{\omega}\right) \cos \omega t_k + \right. \\ \left. + \underline{P} \sin(\omega t_k + r\pi) \right\} \bar{G}, \quad (2.228)$$

$$\begin{aligned} \underline{P} \underline{\mu}^{-1} \underline{\dot{x}}_{c1} - \underline{P} \underline{\cos}(\tilde{p} \frac{r\pi}{\omega}) \underline{\mu}^{-1} \underline{\dot{x}}_{c2} + \underline{\sin}(\tilde{p} \frac{r\pi}{\omega}) \underline{\mu}^{-1} \underline{\ddot{x}}_{c2} = \\ = \left\{ \underline{P} \underline{\sin} \omega t_k - \underline{P} \underline{\cos}(\tilde{p} \frac{r\pi}{\omega}) \underline{\sin}(\omega t_k + r\pi) + \right. \\ \left. + \omega \underline{\sin}(\tilde{p} \frac{r\pi}{\omega}) \underline{\cos}(\omega t_k + r\pi) \right\} \underline{G} . \end{aligned} \quad (2.229)$$

Este de menționat faptul că determinarea mișcărilor periodice ale sistemelor vibropercutante având o singură cuplă percutantă, dar cu ciocniri duble sau multiple într-o perioadă a mișcării, se efectuează în mod analog cu cele prezentate mai sus.

## 2.5. Studiul stabilității mișcărilor periodice ale sistemelor vibropercutante

### 2.5.1. Prezentarea metodei de studiu a stabilității

Pentru studiul stabilității mișcării sistemelor mecanice liniare sau neliniare s-au elaborat o serie de metode, care, în majoritatea lor, pot fi aplicate și la studiul stabilității mișcărilor periodice ale sistemelor vibropercutante. Dintre metodele cele mai cunoscute și mai frecvent aplicate pentru studiul stabilității mișcărilor periodice ale sistemelor vibropercutante sunt metoda transformărilor punctuale [20] - [24] și metoda directă de studiu a stabilității [27]. De asemenea, în [131] și în alte lucrări, elaborate de membrii ai colectivului Catedrei de Mecanică și Rezistență Materialelor de la Institutul Politehnic "Traian Vuia" din Timișoara, s-a folosit o variantă a metodei de studiu a stabilității mișcării în primă aproximatie, bazată pe liniarizarea unor ecuații în perturbații. În fond, toate aceste metode sunt variante ale metodei generale de studiu a stabilității mișcării în prima aproximatie, la care, pornind de la perturbații inițiale mici ale parametrilor ciocnirilor se ajunge la ecuații algebrice liniarizate în perturbații.

de ordin superior ale parametrilor ciocnirilor.

In cele ce urmează se aplică ultima din metodele amintite, efectuindu-se generalizarea pentru sistemele vibropercutante cu mai multe grade de libertate și exprimarea matricială a ecuațiilor linearizate în perturbații.

Pentru precizarea metodei, se consideră, în primul rînd, un sistem vibropercutant cu  $n$  grade de libertate și o cuplă percutantă, la care se caută mișcările periodice avînd perioada un multiplu întreg  $r$  al perioadei  $T$  a forțelor perturbatoare și avînd o singură ciocnire într-o perioadă a mișcării. Pentru determinarea acestor mișcări periodice, ținînd seama de funcția  $f$  a legăturii unilaterale corespunzătoare cuplei percutante, așa cum s-a arătat în paragrafele precedente, se exprimă parametrii ciocnirii de ordinul  $k+1$  în funcție de parametrii ciocnirii de ordinul  $k$  sub forma:

$$\begin{aligned}\bar{\Psi}_1\left[\left(\bar{x}\right)_{k+1}, \left(\bar{x}\right)_k, \dot{\left(\bar{x}\right)}_k, t_k, t_{k+1}\right] &= 0, \\ \bar{\Psi}_2\left[\dot{\left(\bar{x}\right)}_{k+1}, \left(\bar{x}\right)_k, \dot{\left(\bar{x}\right)}_k, t_k, t_{k+1}\right] &= 0,\end{aligned}\quad (2.230)$$

unde  $\bar{\Psi}_1$  și  $\bar{\Psi}_2$  sunt funcții matriciale aplicate argumentelor precizate, avînd ca rezultat matrici coloană. Deoarece în momentele ciocnirilor trebuie să fie verificată egalitatea din relația de formă (2.46) corespunzătoare legăturii unilaterale, care se poate scrie sub forma:

$$f\left[\left(\bar{x}\right)_k\right] = f\left[\left(\bar{x}\right)_{k+1}\right] = 0, \quad (2.231)$$

împunînd condițiile de periodicitate a mișcării (2.124), relațiile matriciale (2.230) și (2.231) conduc la un sistem de  $2n+1$  ecuații algebrice, din care se determină parametrii ciocnirilor  $\bar{x}_c$ ,  $\dot{\bar{x}}_c$  și  $t_k$ .

In cadrul metodei considerate pentru studiul stabilității mișcărilor vibropercutante periodice, se presupune că la începutul mișcării apar perturbații mici ale parametrilor ciocnirilor.

Ca urmare, în mișcarea perturbată ciocnirea de ordinul  $k$  va avea loc la momentul  $t_k + \Delta t_k$ , în poziția  $\bar{x}_c + \Delta \bar{x}_k$  și având vitezele la începutul ciocnirii date de  $\dot{\bar{x}}_c + \Delta \dot{\bar{x}}_k$ , unde perturbațiile parametrilor ciocnirii  $\Delta t_k$ ,  $\Delta \bar{x}_k$  și  $\Delta \dot{\bar{x}}_k$  au valori mici, considerate infinitesimale. Ciocnirea următoare, de ordinul  $k+1$ , va avea loc la momentul  $t_k + rT + \Delta t_{k+1}$ , în poziția  $\bar{x}_c + \Delta \bar{x}_{k+1}$  și având vitezele la începutul ciocnirii date de  $\dot{\bar{x}}_c + \Delta \dot{\bar{x}}_{k+1}$ , unde noile perturbații ale parametrilor ciocnirii au, de asemenea, valori mici. Pentru mișcarea perturbată se exprimă relațiile matriciale dintre parametrii ciocnirilor de ordinul  $k$  și  $k+1$  sub forma:

$$\bar{\Psi}_1(\bar{x}_c + \Delta \bar{x}_{k+1}, \bar{x}_c + \Delta \bar{x}_k, \dot{\bar{x}}_c + \Delta \dot{\bar{x}}_k, t_k + \Delta t_k, t_k + rT + \Delta t_{k+1}) = 0 \quad (2.232)$$

$$\bar{\Psi}_2(\dot{\bar{x}}_c + \Delta \dot{\bar{x}}_{k+1}, \bar{x}_c + \Delta \bar{x}_k, \dot{\bar{x}}_c + \Delta \dot{\bar{x}}_k, t_k + \Delta t_k, t_k + rT + \Delta t_{k+1}) = 0$$

De asemenea, în momentele ciocnirilor și pentru mișcarea perturbată trebuie să fie verificate relațiile de forma (2.231).

$$f(\bar{x}_c + \Delta \bar{x}_k) = f(\bar{x}_c + \Delta \bar{x}_{k+1}) = 0 \quad (2.233)$$

Presupunind perturbațiile parametrilor ciocnirilor mici, relațiile (2.232) și (2.233) pot fi linearizate în raport cu perturbațiile. Pentru aceasta, funcțiile în care apar perturbațiile parametrilor ciocnirilor în relațiile (2.232) și (2.233) se dezvoltă în serie de puteri (Mac Laurin), păstrîndu-se numai termenii liniari în perturbații. Ca urmare, aceste relații linearizate se pot exprima sub forma:

$$\bar{\Psi}_1(\bar{x}_c, \bar{x}_c, \dot{\bar{x}}_c, t_k, t_k + rT) + \Delta \bar{\Psi}_1(\Delta \bar{x}_{k+1}, \Delta \bar{x}_k, \Delta \dot{\bar{x}}_k, \Delta t_k, \Delta t_{k+1}) = 0 \quad (2.234)$$

$$\bar{\Psi}_2(\dot{\bar{x}}_c, \bar{x}_c, \dot{\bar{x}}_c, t_k, t_k + rT) + \Delta \bar{\Psi}_2(\Delta \dot{\bar{x}}_{k+1}, \Delta \bar{x}_k, \Delta \dot{\bar{x}}_k, \Delta t_k, \Delta t_{k+1}) = 0$$

$$f(\bar{x}_c) + \Delta f(\Delta \bar{x}_k) = f(\bar{x}_c) + \Delta f(\Delta \bar{x}_{k+1}) = 0 ,$$

în care s-au făcut notațiile:

$$\begin{aligned}
 \Delta \bar{\Psi}_1 &= \left[ \frac{\partial}{\partial(\bar{x})_{k+1}} (\bar{\Psi}_1^T) \right]_0^T \Delta \bar{x}_{k+1} + \left[ \frac{\partial}{\partial(\bar{x})_k} (\bar{\Psi}_1^T) \right]_0^T \Delta \bar{x}_k + \\
 &+ \left[ \frac{\partial}{\partial(\dot{\bar{x}})_k} (\bar{\Psi}_1^T) \right]_0^T \Delta \dot{\bar{x}}_k + \left( \frac{\partial \bar{\Psi}_1}{\partial t_k} \right)_0 \Delta t_k + \left( \frac{\partial \bar{\Psi}_1}{\partial t_{k+1}} \right)_0 \Delta t_{k+1}, \\
 \Delta \bar{\Psi}_2 &= \left[ \frac{\partial}{\partial(\bar{x})_{k+1}} (\bar{\Psi}_2^T) \right]_0^T \Delta \dot{\bar{x}}_{k+1} + \left[ \frac{\partial}{\partial(\bar{x})_k} (\bar{\Psi}_2^T) \right]_0^T \Delta \bar{x}_k + \quad (2.235) \\
 &+ \left[ \frac{\partial}{\partial(\dot{\bar{x}})_k} (\bar{\Psi}_2^T) \right]_0^T \Delta \dot{\bar{x}}_k + \left( \frac{\partial \bar{\Psi}_2}{\partial t_k} \right)_0 \Delta t_k + \left( \frac{\partial \bar{\Psi}_2}{\partial t_{k+1}} \right)_0 \Delta t_{k+1}, \\
 \Delta f(\Delta \bar{x}_k) &= \left[ \frac{\partial}{\partial(\bar{x})_k} (f) \right]_0^T \Delta \bar{x}_k.
 \end{aligned}$$

In relațiile (2.235) derivatele parțiale ale matricilor liniș  $\bar{\Psi}_1^T$  și  $\bar{\Psi}_2^T$  în raport cu elementele unor matrici coloană se calculează după formula (2.5), iar indicele o arată că toate derivatele parțiale se calculează pentru valorile parametrilor ciclurilor corespunzători mișcării neperturbate, în care toate perturbațiile sunt nule.

Primii termeni din fiecare din relațiile (2.234) verifică relațiile (2.230) și (2.231) pentru mișcarea neperturbată, astfel încât rezultă:

$$\Delta \bar{\Psi}_1(\Delta \bar{x}_{k+1}, \Delta \bar{x}_k, \Delta \dot{\bar{x}}_k, \Delta t_k, \Delta t_{k+1}) = \bar{0} \quad (2.236)$$

$$\Delta \bar{\Psi}_2(\Delta \dot{\bar{x}}_{k+1}, \Delta \bar{x}_k, \Delta \dot{\bar{x}}_k, \Delta t_k, \Delta t_{k+1}) = \bar{0} \quad (2.237)$$

$$\Delta f(\Delta \bar{x}_k) = \Delta f(\Delta \bar{x}_{k+1}) = 0 \quad (2.238)$$

Pe baza relațiilor (2.233), perturbațiile de ordinul  $k$  și  $k+1$ , corespunzătoare uneia din coordonatele care apar explicit în funcția legăturii unilaterale  $f$ , se pot exprima în funcție de celelalte perturbații și se pot înlocui în (2.236) și (2.237). Ca urmare, relațiile matriciale (2.236) și (2.237) vor reprezenta un sistem liniar și omogen de  $2n$  ecuații algebrice în perturbații

dе ordinul  $k$  și  $k+1$  ale parametrilor ciocnirilor. Pentru acest sistem se caută soluții de forma:

$$\Delta \bar{x}_k = \bar{U} \beta^k, \quad \Delta \dot{\bar{x}}_k = \bar{V} \beta^k, \quad \Delta t_k = W \beta^k \quad (2.239)$$

Punind condiția ca soluțiile (2.239) să verifice sistemul de ecuații dat de relațiile matriciale (2.236) și (2.237) și simplificînd cu  $\beta^k \neq 0$ , se obține un sistem liniar și omogen de  $2n$  ecuații algebrice cu  $2n$  necunoscute și anume  $n$ -l coeficienți din matricea coloană  $\bar{U}$ ,  $n$  coeficienți din  $\bar{V}$  și  $W$ . Pentru ca acest sistem să aibă soluții diferite de soluția banală, este necesar ca determinantul sistemului să fie nul:

$$\Delta_1(\beta) = 0 \quad (2.240)$$

Ecuatia (2.240), avînd membrul stîng sub forma unui polinom de gradul  $2n$  în  $\beta$ , reprezintă ecuația caracteristică pentru sistemul de ecuații linearizate în perturbații reprezentat de ecuațiile matriciale (2.236) și (2.237). Înînd seama de forma (2.239) a soluțiilor, pentru ca valorile perturbațiilor să scadă în timp, este necesar ca rădăcinile ecuației caracteristice (2.240) să fie, toate, în modul subunitare. Aplicînd criteriul lui Schur coeficienților ecuației caracteristice, rezultă condițiile de stabilitate ale mișcărilor vibropercutante periodice de tipul considerat [105].

Dacă, pentru sistemul vibropercutant cu o cuplă percutantă, se consideră, în al doilea rînd, un alt tip de mișcări vibropercutante periodice și anume cu două ciocniri într-o perioadă a mișcării, pe lîngă relațiile matriciale (2.230), rezultate din studiul instabilității sistemului între ciocniri de ordinul  $k$  și  $k+1$ , obțin relațiile de forma:

$$\begin{aligned} \dot{\Psi}_3 & \left[ (\ddot{\bar{x}})_{k+2}, (\bar{x})_{k+1}, (\dot{\bar{x}})_{k+1}, t_{k+1}, t_{k+2} \right] = \bar{0} \\ \dot{\Psi}_4 & \left[ (\ddot{\bar{x}})_{k+2}, (\bar{x})_{k+1}, (\dot{\bar{x}})_{k+1}, t_{k+1}, t_{k+2} \right] = \bar{0} , \end{aligned} \quad (2.241)$$

care exprimă parametrii finali în funcție de cei inițiali în mișcarea sistemului între ciocnirile de ordinul  $k+1$  și  $k+2$ .

De asemenea, pe lîngă relațiile (2.231), mai trebuie să fie verificată relația:

$$f\left[\left(\bar{x}\right)_{k+2}\right] = 0 \quad (2.242)$$

corespunzătoare ciocnirii de ordinul  $k+2$ . Pentru acest tip de mișcare a sistemului vibropercutant, condițiile de periodicitate a mișcării se exprimă prin:

$$t_{k+2} = t_k + rT, \quad (\bar{x})_{k+2} = (\bar{x})_k = \bar{x}_{cl}, \quad (\dot{\bar{x}})_{k+2} = (\dot{\bar{x}})_k = \dot{\bar{x}}_{cl} \quad (2.243)$$

$$t_k < t_{k+1} < t_k + rT, \quad (\bar{x})_{k+1} = \bar{x}_{c2}, \quad (\dot{\bar{x}})_{k+1} = \dot{\bar{x}}_{c2}.$$

Parametrii ciocnirilor se determină impunind condițiile (2.243) în relațiile (2.230), (2.241), (2.231) și (2.242).

Pentru studiul stabilității acestor mișcări vibropercutante periodice, se consideră perturbații inițiale mici ale parametrilor ciocnirilor și se exprimă relațiile între parametrii ciocnirilor de ordinul  $k$ ,  $k+1$  și  $k+2$  în mișcarea perturbată a sistemului. După linearizarea acestor relații, pe lîngă ecuațiile (2.236), (2.237) și (2.238), se mai obțin ecuațiile:

$$\Delta \bar{\Psi}_3(\Delta \bar{x}_{k+2}, \Delta \bar{x}_{k+1}, \Delta \dot{\bar{x}}_{k+1}, \Delta t_{k+1}, \Delta t_{k+2}) = \bar{0} \quad (2.244)$$

$$\Delta \bar{\Psi}_4(\Delta \dot{\bar{x}}_{k+2}, \Delta \bar{x}_{k+1}, \Delta \dot{\bar{x}}_{k+1}, \Delta t_{k+1}, \Delta t_{k+2}) = \bar{0} \quad (2.245)$$

$$\Delta f(\Delta \bar{x}_{k+2}) = 0 \quad . \quad (2.246)$$

Eliminind perturbații de ordinul  $k$ ,  $k+1$  și  $k+2$ , corespunzătoare uneia din coordinatele generalizate care apare explicit în funcția legăturii unilaterale  $f$ , pe baza relațiilor (2.238) și (2.246), ecuațiile matriciale (2.236), (2.237), (2.244) și (2.245) formează un sistem liniar omogen de  $4n$  ecuații algebrice în perturbații de ordinul  $k$ ,  $k+1$  și  $k+2$  ale parametrilor ciocnirilor. Obținând soluții de forma (2.239), se ajunge la ecuația caracteristică:

$$\Delta_2(\beta) = 0 \quad , \quad (2.247)$$

care, în general, are membrul stîng sub forma unui polinom de gradul  $4n$  în  $\beta$ . Aplicînd criteriul lui Schur coeficienților ecuației caracteristice (2.247), astfel încît rădăcinile sale să fie în modul subunitare, se obțin condițiile de stabilitate ale mișcărilor vibropercutante periodice de tipul considerat.

Pentru un sistem vibropercutant cu două couple percutante, la care se studiază mișcările periodice cu două ciocniri într-o perioadă a mișcării, determinarea condițiilor de existență și de stabilitate ale mișcărilor periodice se efectuează în mod analog. Relațiile matriciale între parametrii ciocnirilor de ordinul  $k$ ,  $k+1$  și  $k+2$  sunt tot de forma (2.230) și (2.241), iar condițiile de periodicitate ale mișcării sunt (2.206), identice cu (2.243), astfel încît rezulta atât parametrii ciocnirilor, cît și ecuațiile linearizate în perturbații pentru studiul stabilității mișcărilor periodice, ca și în cazul precedent. Deosebirea față de sistemul vibropercutant cu o cuplă percutantă constă în faptul că în momentele ciocnirilor trebuie să se țină seama de două funcții ale legăturilor unilaterale, corespunzătoare celor două couple percutante.

Metoda prezentată se poate aplica pentru studiul stabilității diverselor tipuri de mișcări vibropercutante periodice (cu ciocniri simple sau multiple într-o perioadă a mișcării) și diverselor sisteme vibropercutante (cu una sau mai multe couple percutante, liniare sau neliniare între ciocniri, etc.).

#### 2.5.2. Studiul stabilității mișcărilor vibropercutante periodice cu o ciocnire într-o perioadă a mișcării

Se consideră un sistem vibropercutant cu  $n$  grade de libertate și o cuplă percutantă, liniar între ciocniri, care se reduce la un model de translație. Pentru studiul în primă aproximatie a mișcărilor periodice se neglijeză fortele de amortizare.

Dacă forțele perturbatoare sunt periodice oarecare, relațiile dintre parametrii ciocnirilor de ordinul  $k$  și  $k+1$  pentru mișcarea neperturbată sunt (2.123). În mod analog, se obțin relații de aceeași formă pentru mișcarea perturbată:

$$\begin{aligned} \bar{x}_c + \Delta \bar{x}_{k+1} &= \underline{\mu} \left\{ \cos [\tilde{p}(rT + \Delta t_{k+1} - \Delta t_k)] \underline{\mu}^{-1} (\bar{x}_c + \Delta \bar{x}_k) + \right. \\ &+ \underline{\sin} [\tilde{p}(rT + \Delta t_{k+1} - \Delta t_k)] \underline{\mu}^{-1} \underline{\mu}^{-1} (\dot{\bar{x}}_c + \Delta \dot{\bar{x}}_k) + \\ &+ \underline{\mu}^{-1} \underline{M}^{-1} \int_{t_k + \Delta t_k}^{t_k + rT + \Delta t_{k+1}} \underline{\sin} [\tilde{p}(t_k + rT + \Delta t_{k+1} - \tau)] \underline{\mu}^T \underline{F}(\tau) d\tau \left. \right\} \\ &\quad (2.248) \end{aligned}$$

$$\begin{aligned} \dot{\bar{x}}_c + \Delta \dot{\bar{x}}_{k+1} &= \underline{\mu} \left\{ -\underline{\mu} \underline{\sin} [\tilde{p}(rT + \Delta t_{k+1} - \Delta t_k)] \underline{\mu}^{-1} (\bar{x}_c + \Delta \bar{x}_k) + \right. \\ &+ \underline{\cos} [\tilde{p}(rT + \Delta t_{k+1} - \Delta t_k)] \underline{\mu}^{-1} (\dot{\bar{x}}_c + \Delta \dot{\bar{x}}_k) + \\ &+ \underline{M}^{-1} \int_{t_k + \Delta t_k}^{t_k + rT + \Delta t_{k+1}} \underline{\cos} [\tilde{p}(t_k + rT + \Delta t_{k+1} - \tau)] \underline{\mu}^T \underline{F}(\tau) d\tau \left. \right\}, \end{aligned}$$

în care relațiile dintre vitezele de la sfîrșitul ciocnirii de ordinul  $k$  ( $\dot{\bar{x}}_c + \dot{\bar{x}}_k$ ) și cele de la începutul ciocnirii ( $\dot{\bar{x}}_c + \Delta \dot{\bar{x}}_k$ ) se exprimă pe baza relațiilor de forma (2.62). Deoarece aceste relații sunt liniare în vitezele generalizate, rezultă:

$$\Delta \dot{\bar{x}}_k = \dot{\bar{x}}_k - (I + R) \left[ \left( \frac{\partial f}{\partial \bar{x}} \right)^T \Delta \dot{\bar{x}}_k \right] A - \frac{\partial f}{\partial \bar{x}} \quad . \quad (2.249)$$

Considerind perturbațiile parametrilor ciocnirilor de ordinul  $k$  și  $k+1$  ca fiind mici, relațiile (2.248) se pot lineariza în raport cu acestea. Dezvoltând în serie Mac Laurin funcțiile trigonometrice sinus și cosinus și păstrând termenii lineari în perturbații se obțin relațiile:

$$\begin{aligned} \underline{\sin}(\tilde{p} \Delta t_k) &= \underline{\mu} \Delta t_k, \quad \underline{\sin}(\tilde{p} \Delta t_{k+1}) = \underline{\mu} \Delta t_{k+1}, \\ \underline{\cos}(\tilde{p} \Delta t_k) &= \underline{\cos}(\tilde{p} \Delta t_{k+1}) = I. \quad . \quad (2.250) \end{aligned}$$

Pentru linearizarea integralelor din (2.248), acestea se descompun pe intervalele de timp, iar pe intervalele de timp infinit-

tesimale (de la  $t_k$  la  $t_k + \Delta t_k$  și de la  $t_k + rT$  la  $t_k + rT + \Delta t_{k+1}$ ) se aplică formula de calcul a mediei unei integrale. Înînd seama de periodicitatea forțelor perturbatoare și neglijînd produsele perturbațiilor și puterile perturbațiilor mai mari decît 1, rezultă:

$$\int_{t_k}^{t_k + \Delta t_k} \underline{\sin}[\tilde{p}(t_k + rT + \Delta t_{k+1} - \tau)] \underline{\mu}^T \bar{F}(\tau) d\tau = \\ = \Delta t_k \underline{\sin}(\tilde{p}rT) \underline{\mu}^T \bar{F}(t_k) ,$$

$$\int_{t_k + rT}^{t_k + rT + \Delta t_{k+1}} \underline{\sin}[\tilde{p}(t_k + rT + \Delta t_{k+1} - \tau)] \underline{\mu}^T \bar{F}(\tau) d\tau = 0, \quad (2.251)$$

$$\int_{t_k}^{t_k + \Delta t_k} \underline{\cos}[\tilde{p}(t_k + rT + \Delta t_{k+1} - \tau)] \underline{\mu}^T \bar{F}(\tau) d\tau = \\ = \Delta t_k \underline{\cos}(\tilde{p}rT) \underline{\mu}^T \bar{F}(t_k) ,$$

$$\int_{t_k + rT}^{t_k + rT + \Delta t_{k+1}} \underline{\cos}[\tilde{p}(t_k + rT + \Delta t_{k+1} - \tau)] \underline{\mu}^T \bar{F}(\tau) d\tau = \Delta t_{k+1} \underline{\mu}^T \bar{F}(t_k).$$

Inlocuind (2.249), (2.250) și (2.251) în (2.243), se obțin ecuațiile linearizate în perturbații ale parametrilor ciocnirilor, care se pot exprima sub forma:

$$\underline{P} \underline{\sin}(\tilde{p}rT) \underline{\mu}^{-1} \Delta \bar{x}_{k+1} + \underline{\cos}(\tilde{p}rT) \underline{\mu}^{-1} \Delta \dot{\bar{x}}_{k+1} - \underline{\mu}^{-1} \{ \Delta \dot{\bar{x}}_k - \\ - (1+R) \left[ (\frac{\partial f}{\partial \bar{x}})^T \Delta \dot{\bar{x}}_k \right] A \frac{\partial f}{\partial \bar{x}} \} + \left[ \underline{P}^2 \underline{\mu}^{-1} \bar{x}_c - \underline{P} \underline{M}^{-1} \bar{S}_2 - \right. \\ \left. - \underline{\cos}(\tilde{p}rT) \underline{M}^{-1} \underline{\mu}^T \bar{F}(t_k) \right] \Delta t_{k+1} + \left[ \underline{M}^{-1} \underline{\mu}^T \bar{F}(t_k) - \underline{P}^2 \underline{\mu}^{-1} \bar{x}_c \right] \Delta t_k = 0 , \quad (2.252)$$

$$\underline{P} \underline{\cos}(\tilde{p}rT) \underline{\mu}^{-1} \Delta \bar{x}_{k+1} - \underline{P} \underline{\mu}^{-1} \Delta \bar{x}_k - \underline{\sin}(\tilde{p}rT) \underline{\mu}^{-1} \Delta \dot{\bar{x}}_{k+1} + \\ + \left[ \underline{\sin}(\tilde{p}rT) \underline{M}^{-1} \underline{\mu}^T \bar{F}(t_k) - \underline{P} \underline{M}^{-1} \bar{S}'_2 - \underline{P} \underline{\mu}^{-1} \dot{\bar{x}}'_c \right] \Delta t_{k+1} + \underline{P} \underline{\mu}^{-1} \dot{\bar{x}}'_c \Delta t_k = 0 ,$$

unde  $\bar{S}'_2$  are expresia din a doua relație (2.127) și s-a notat:

$$\bar{S}'_2 = \int_{t_k}^{t_k + rT} \underline{\cos}[\tilde{p}(\tau - t_k)] \underline{\mu}^T \bar{F}(\tau) d\tau . \quad (2.253)$$

Pentru studiul stabilității mișcărilor vibropercutante perio-  
dice considerate, este necesar să se linearizeze și funcția legătu-

rii unilaterale în raport cu perturbațiile coordonatelor generalizate, pentru mișcarea perturbată, în momentele ciocnirilor de ordinul  $k$  și  $k+1$ .

Dacă funcția legăturii unilaterale este liniară, având expresia dată de (2.38), se obțin relațiile:

$$\Delta x_{jk} = \Delta x_{ik}, \quad \Delta x_{j k+1} = \Delta x_{i k+1} \quad (2.254)$$

Eliminînd în (2.252), de exemplu, perturbațiile coordonatei  $x_j$  pe baza relațiilor de forma (2.254), aceste ecuații matriciale constituie un sistem de  $2n$  ecuații algebrice, liniar și omogen în perturbații ale parametrilor ciocnirilor. Căutînd, pentru acest sistem, soluții de forma (2.239), se ajunge la ecuația caracteristică de forma (2.240), din care se determină condițiile de stabilitate ale mișcărilor vibropercutante periodice considerate.

În cazul în care forțele perturbatoare sunt armonice, având expresiile date de (2.112), ecuațiile linearizate în perturbații se pot exprima sub formă:

$$\begin{aligned} & \underline{P} \underline{\sin(\tilde{p}rT)} \underline{\mu^{-1}} \Delta \dot{\bar{x}}_{k+1} + \underline{\cos(\tilde{p}rT)} \underline{\mu^{-1}} \Delta \dot{\bar{x}}_{k+1} - \underline{\mu^{-1}} \left\{ \Delta \dot{\bar{x}}_k - \right. \\ & \left. -(1+R) \left[ \left( \frac{\partial f}{\partial \bar{x}} \right)^T \Delta \dot{\bar{x}}_k \right] A - \frac{\partial f}{\partial \bar{x}} \right\} + \left[ \underline{P^2} \underline{\mu^{-1}} \bar{x}_c - \underline{P^2} \bar{G} \sin \omega t_k - \right. \\ & \left. - \omega \underline{P} \underline{\sin(\tilde{p}rT)} \bar{G} \cos \omega t_k + \omega^2 \underline{\cos(\tilde{p}rT)} \bar{G} \sin \omega t_k \right] \Delta t_{k+1} + \\ & + \left[ (\underline{P}^2 - \omega^2 \underline{I}) \bar{G} \sin \omega t_k - \underline{P}^2 \underline{\mu^{-1}} \bar{x}_c \right] \Delta t_k = 0, \\ & \underline{P} \underline{\cos(\tilde{p}rT)} \underline{\mu^{-1}} \Delta \dot{\bar{x}}_{k+1} - \underline{P} \underline{\mu^{-1}} \Delta \bar{x}_k - \underline{\sin(\tilde{p}rT)} \underline{\mu^{-1}} \Delta \dot{\bar{x}}_{k+1} + \\ & + \left[ \omega \underline{P} \bar{G} \cos \omega t_k - \omega \underline{P} \underline{\cos(\tilde{p}rT)} \bar{G} \cos \omega t_k - \right. \\ & \left. - \omega^2 \underline{\sin(\tilde{p}rT)} \bar{G} \sin \omega t_k - \underline{P} \underline{\mu^{-1}} \bar{x}_c \right] \Delta t_{k+1} + \underline{P} \underline{\mu^{-1}} \bar{x}_c' \Delta t_k = 0, \end{aligned} \quad (2.255)$$

în care  $T = \frac{2\pi}{\omega}$  și  $\bar{G}$  are expresia (2.132).

Dacă sistemul vibropercutant considerat are amortizare viscoasă uniformă și forțele perturbatoare sunt periodice oarecare,

relațiile dintre parametrii ciocnirilor de ordinul  $k$  și  $k+1$  se exprimă, pe baza relațiilor (2.155) și (2.156), sub forma:

$$\begin{aligned} (\bar{x})_{k+1} = & \underline{\mu} \underline{\text{EXP}}[-\tilde{\epsilon}(t_{k+1}-t_k)] \{ \underline{\cos}[\tilde{h}(t_{k+1}-t_k)] \underline{\mu}^{-1}(\bar{x})_k + \\ & + \underline{H}^{-1} \underline{E} \underline{\sin}[\tilde{h}(t_{k+1}-t_k)] \underline{\mu}^{-1}(\bar{x})_k + \underline{H}^{-1} \underline{\sin}[\tilde{h}(t_{k+1}-t_k)] \underline{\mu}^{-1}(\dot{\bar{x}}')_k \} + \\ & + \underline{\mu} \underline{H}^{-1} \underline{M}^{-1} \int_{t_k}^{t_{k+1}} \underline{\text{EXP}}[-\tilde{\epsilon}(t_{k+1}-\tau)] \underline{\sin}[\tilde{h}(t_{k+1}-\tau)] \underline{\mu}^T \bar{F}(\tau) d\tau, \end{aligned} \quad (2.256)$$

$$\begin{aligned} (\dot{\bar{x}}')_{k+1} = & \underline{\mu} \underline{\text{EXP}}[-\tilde{\epsilon}(t_{k+1}-t_k)] \{ -\underline{H}^{-1}(\underline{E}^2 + \underline{H}^2) \underline{\sin}[\tilde{h}(t_{k+1}-t_k)] \underline{\mu}^{-1}(\bar{x})_k - \\ & - \underline{H}^{-1} \underline{E} \underline{\sin}[\tilde{h}(t_{k+1}-t_k)] \underline{\mu}^{-1}(\dot{\bar{x}}')_k + \underline{\cos}[\tilde{h}(t_{k+1}-t_k)] \underline{\mu}^{-1}(\dot{\bar{x}}')_k \} - \\ & - \underline{\mu} \underline{H}^{-1} \underline{M}^{-1} \underline{E} \int_{t_k}^{t_{k+1}} \underline{\text{EXP}}[-\tilde{\epsilon}(t_{k+1}-\tau)] \underline{\sin}[\tilde{h}(t_{k+1}-\tau)] \underline{\mu}^T \bar{F}(\tau) d\tau + \\ & + \underline{\mu} \underline{M}^{-1} \int_{t_k}^{t_{k+1}} \underline{\text{EXP}}[-\tilde{\epsilon}(t_{k+1}-\tau)] \underline{\cos}[\tilde{h}(t_{k+1}-\tau)] \underline{\mu}^T \bar{F}(\tau) d\tau. \end{aligned}$$

Pentru studiul stabilității mișcărilor vibropercutante periodice cu o ciocnire într-o perioadă a mișcării pentru sistemul vibropercutant considerat, se exprimă relațiile între parametrii ciocnirilor de ordinul  $k$  și  $k+1$  pe baza relațiilor (2.256) pentru mișcarea perturbată. Pentru linearizarea relațiilor care rezultă, pe lîngă formulele de aproximare de forma (2.250) și (2.251), este necesar să se linearizeze funcțiile exponențiale. Dezvoltînd în serie Mac Laurin în raport cu perturbațiile momentelor ciocnirilor aceste funcții exponențiale de timp și păstrînd numai termenii liniari, rezultă formulele de aproximare:

$$\underline{\text{EXP}}(\tilde{\epsilon} \Delta t_k) = \underline{I} + \underline{E} \Delta t_k, \quad \underline{\text{EXP}}(-\tilde{\epsilon} \Delta t_k) = \underline{I} - \underline{E} \Delta t_k, \quad (2.257)$$

$$\underline{\text{EXP}}(\tilde{\epsilon} \Delta t_{k+1}) = \underline{I} + \underline{E} \Delta t_{k+1}, \quad \underline{\text{EXP}}(-\tilde{\epsilon} \Delta t_{k+1}) = \underline{I} - \underline{E} \Delta t_{k+1}.$$

Tinînd seama și de relațiile (2.249), ecuațiile linearizate în perturbații pentru studiul stabilității mișcărilor vibropercutante periodice considerate se pot exprima sub forma:

$$\begin{aligned}
 & [(E L_2 - H L_1) \underline{\text{EXP}}(\tilde{\epsilon} rT) + E^2 - H^2] \underline{\mu}^{-1} \Delta \bar{x}_{k+1} - (E^2 - H^2) \underline{\mu}^{-1} \Delta \bar{x}_k + \\
 & + [L_2 \underline{\text{EXP}}(\tilde{\epsilon} rT) + E] \underline{\mu}^{-1} \Delta \dot{\bar{x}}_{k+1} - E \underline{\mu}^{-1} \{ \Delta \dot{\bar{x}}_k - \\
 & - (1+R) \left[ \left( \frac{\partial f}{\partial \bar{x}} \right)^T \Delta \dot{\bar{x}}_k \right] A - \frac{\partial f}{\partial \bar{x}} \} + \{ (E^2 + H^2) (E \underline{\mu}^{-1} \bar{x}_c + \underline{\mu}^{-1} \dot{\bar{x}}_c' + \bar{s}_3) - \\
 & - M^{-1} [L_2 \underline{\text{EXP}}(\tilde{\epsilon} rT) + E] \underline{\mu}^T \bar{F}(t_k) \} \Delta t_{k+1} - \{ (E^2 + H^2) (E \underline{\mu}^{-1} \bar{x}_c + \\
 & + \underline{\mu}^{-1} \dot{\bar{x}}_c') - M^{-1} E \underline{\mu}^T \bar{F}(t_k) \} \Delta t_k = 0 , \quad (2.258)
 \end{aligned}$$

$$\begin{aligned}
 & [(E L_1 + H L_2) \underline{\text{EXP}}(\tilde{\epsilon} rT) + 2E H] \underline{\mu}^{-1} \Delta \bar{x}_{k+1} - 2E H \underline{\mu}^{-1} \Delta \bar{x}_k + \\
 & + [L_1 \underline{\text{EXP}}(\tilde{\epsilon} rT) + H] \underline{\mu}^{-1} \Delta \dot{\bar{x}}_{k+1} - H \underline{\mu}^{-1} \{ \Delta \dot{\bar{x}}_k - \\
 & - (1+R) \left[ \left( \frac{\partial f}{\partial \bar{x}} \right)^T \Delta \dot{\bar{x}}_k \right] A - \frac{\partial f}{\partial \bar{x}} \} + \{ (E^2 + H^2) (H \underline{\mu}^{-1} \bar{x}_c + \bar{s}_4) - \\
 & - M^{-1} H \underline{\mu}^T \bar{F}(t_k) \} \Delta t_{k+1} - [H(E^2 + H^2) \underline{\mu}^{-1} \bar{x}_c - \\
 & - M^{-1} H \underline{\mu}^T \bar{F}(t_k)] \Delta t_k ,
 \end{aligned}$$

în care s-au folosit notatiile (2.159).

Dacă forțele perturbatoare sunt armonice, având expresiile date de (2.112), studiul stabilității mișcărilor vibropercutante periodice de tipul considerat se efectuează în mod analog.

Ecuațiile linearizate în perturbații se obțin de forma:

$$\begin{aligned}
 & [(E L_2 - H L_1) \underline{\text{EXP}}(\tilde{\epsilon} rT) + E^2 - H^2] \underline{\mu}^{-1} \Delta \bar{x}_{k+1} - (E^2 - H^2) \underline{\mu}^{-1} \Delta \bar{x}_k + \\
 & + [L_2 \underline{\text{EXP}}(\tilde{\epsilon} rT) + E] \underline{\mu}^{-1} \Delta \dot{\bar{x}}_{k+1} - E \underline{\mu}^{-1} \{ \Delta \dot{\bar{x}}_k - \\
 & - (1+R) \left[ \left( \frac{\partial f}{\partial \bar{x}} \right)^T \Delta \dot{\bar{x}}_k \right] A - \frac{\partial f}{\partial \bar{x}} \} + \{ (E^2 + H^2) (E \underline{\mu}^{-1} \bar{x}_c + \\
 & + \underline{\mu}^{-1} \dot{\bar{x}}_c') - \omega \left[ (E L_2 - H L_1) \underline{\text{EXP}}(\tilde{\epsilon} rT) + 2E^2 \right] \bar{G}_2 + [E(E^2 + H^2) - \\
 & - \omega^2 L_2 \underline{\text{EXP}}(\tilde{\epsilon} rT) - \omega^2 E] \bar{G}_3 \} \Delta t_{k+1} + \{ -(E^2 + H^2) (E \underline{\mu}^{-1} \bar{x}_c + \\
 & + \underline{\mu}^{-1} \dot{\bar{x}}_c') + 2\omega E^2 \bar{G}_2 + E \left[ \omega^2 I - (E^2 + H^2) \right] \bar{G}_3 \} \Delta t_k = 0 , \quad (2.259)
 \end{aligned}$$

$$\begin{aligned}
 & [(E L_1 + H L_2) \underline{\text{EXP}}(\tilde{\epsilon} rT) + 2E H] \underline{\mu}^{-1} \Delta \bar{x}_{k+1} - 2E H \underline{\mu}^{-1} \Delta \bar{x}_k + \\
 & + [L_1 \underline{\text{EXP}}(\tilde{\epsilon} rT) + H] \underline{\mu}^{-1} \Delta \dot{\bar{x}}_{k+1} - H \underline{\mu}^{-1} \{ \Delta \dot{\bar{x}}_k - \\
 & - (1+R) \left[ \left( \frac{\partial f}{\partial \bar{x}} \right)^T \Delta \dot{\bar{x}}_k \right] A - \frac{\partial f}{\partial \bar{x}} \} + \{ (E^2 + H^2) H \underline{\mu}^{-1} \bar{x}_c - \\
 & - M^{-1} H \underline{\mu}^T \bar{F}(t_k) \} \Delta t_{k+1} - [H(E^2 + H^2) \underline{\mu}^{-1} \bar{x}_c - \\
 & - M^{-1} H \underline{\mu}^T \bar{F}(t_k)] \Delta t_k ,
 \end{aligned}$$

$$\begin{aligned}
 & -\omega \left[ (\underline{E} \underline{L}_1 + \underline{H} \underline{L}_2) \underline{\text{EXP}}(\tilde{\epsilon} rT) + 2\underline{E} \underline{H} \right] \bar{G}_2 + \left[ \underline{H} (\underline{E}^2 + \underline{H}^2) - \omega^2 \underline{L}_1 \underline{\text{EXP}}(\tilde{\epsilon} rT) - \right. \\
 & \left. - \omega^2 \underline{H} \right] \bar{G}_3 \} \Delta t_{k+1} + \left\{ -(\underline{E}^2 + \underline{H}^2) \underline{H} \underline{\mu}^{-1} \dot{\underline{x}}_c + 2\omega \underline{E} \underline{H} \bar{G}_2 + \right. \\
 & \left. + \underline{H} [\omega^2 \underline{I} - (\underline{E}^2 + \underline{H}^2)] \bar{G}_3 \right\} \Delta t_k = 0
 \end{aligned}$$

în care, pe lîngă notatiile din paragraful 2.4.2, s-au mai folosit notatiile:

$$\begin{aligned}
 \bar{G}_2 &= [(\underline{P}^2 - \omega^2 \underline{I}) \cos \omega t_k + 2\omega \underline{E} \sin \omega t_k] \bar{G}_1 , \\
 \bar{G}_3 &= [2\omega \underline{E} \cos \omega t_k - (\underline{P}^2 - \omega^2 \underline{I}) \sin \omega t_k] \bar{G}_1 .
 \end{aligned} \quad (2.260)$$

## 2.6. Optimizarea sistemelor vibropercutante

Așa cum s-a arătat în paragraful 2.1, criteriul cel mai important după care se efectuează optimizarea sistemelor vibropercutante îl constituie realizarea unor pierderi mari de energie cinetică în timpul ciocnirilor. Pierderea de energie cinetică a unui sistem vibropercutant în timpul ciocnirilor se transformă în lucru mecanic de deformare (prese mecanice, mașini de matrițat, etc.), în lucru mecanic de deplasare a unor piese într-un mediu rezistent (mașini pentru infilarea pilonilor în pămînt, mașini pentru tasarea terenurilor, etc.), sau în alte forme de energie, de cele mai multe ori în energie termică și acustică (absorțioare de vibrații prin ciocniri). În toate aceste cazuri, pentru funcționarea în condiții optime a sistemelor vibropercutante, este necesar ca pierderile de energie cinetică în timpul ciocnirilor să fie maxime.

Optimizarea sistemelor vibropercutante, după criteriul considerat, conduce la două probleme, în funcție de mărimele mecanice asupra cărora se poate acționa pentru realizarea unor mișcări vibropercutante periodice optime. În mod obișnuit, atât la proiectare, cât și în exploatarea sistemelor vibropercutante, pot fi reglați anumiți parametrii dinamici, c., de exemplu, distanțele  $\delta_{ij}$

dintre corpurile care se ciocnesc în poziția de echilibru static a sistemului, sau unele constante elastice prin interschimbabilitatea elementelor elastice. Dă asemenea, în anumite condiții, se pot schimba mecanismele de acționare ale sistemelor vibropercutante, astfel încât se modifică structura și variația în timp a forțelor perturbatoare. Prin urmare, problemele care urmează să fie rezolvate pentru optimizarea sistemelor vibropercutante se pot formula în felul următor:

- a) Fiind date forțele perturbatoare periodice, în cele mai frecvente cazuri armonice, să se determine valorile optime ale parametrilor dinamici reglabili pentru sistemul vibropercutant, astfel încât pierderile de energie cinetică în timpul ciocnirilor să fie maxime.
- b) Să se determine forțele perturbatoare periodice optime, pentru care pierderile de energie cinetică în timpul ciocnirilor sunt maxime. Desigur, și în acest caz, parametrii dinamici reglabili ai sistemului vibropercutant vor avea anumite valori optime, care trebuie să fie determinate.

Pentru concretizare, se consideră un sistem vibropercutant cu  $n$  grade de libertate și o cuplă percutantă, care se reduce la un model de translație, având ciocnirii instantanee și ecuații de diferențiale ale mișcării liniare între ciocniri. Pierderea de energie cinetică a sistemului în timpul ciocnirii de ordinul  $k$  se exprimă prin:

$$\Delta(E_c)_k = E_c(t_k) - E_c(t'_k) = \frac{1}{2}(\dot{x})_k^T \underline{m} (\dot{x})_k - \frac{1}{2}(\dot{\bar{x}}')_k^T \underline{m} (\dot{\bar{x}}')_k, \quad (2.261)$$

unde matricea de inertie  $\underline{m}$  este simetrică, în majoritatea cazurilor fiind matrice diagonală. Tinând seama de relația matricială (2.62) dintre vitezele de la sfârșitul ciocnirii și cele de la începutul ciocnirii, expresia (2.261) se poate scrie sub forma:

$$\Delta(E_c)_k = \frac{1}{2}(1-R^2) \frac{\left[ \left( \frac{\partial f}{\partial \dot{x}} \right)^T \left( \frac{\dot{x}}{x} \right)_k \right]^2}{\left( \frac{\partial f}{\partial \dot{x}} \right)^T \underline{m}^{-1} \frac{\partial f}{\partial \dot{x}}} \quad (2.262)$$

Pentru cupla percutantă din fig.2.1, avind funcția legăturii unilaterale dată de relația (2.38), expresia pierderii de energie cinetică la ciocnirea de ordinul  $k$  devine:

$$\Delta(E_c)_k = \frac{1}{2}(1-R^2) \frac{\frac{m_i m_j}{m_i + m_j}}{\left( \frac{\partial f}{\partial \dot{x}} \right)^T \left( \frac{\dot{x}}{x} \right)_k} \left[ (\dot{x}_j)_k - (\dot{x}_i)_k \right]^2 \quad (2.263)$$

Se constată că pierderea de energie cinetică în timpul ciocnirii depinde de expresia  $\left( \frac{\partial f}{\partial \dot{x}} \right)^T \left( \frac{\dot{x}}{x} \right)_k$ , care, pentru existența ciocnirilor, conform relației (2.48a), trebuie să fie negativă. Valorile vitezelor de la începutul ciocnirilor din această expresie se determină în funcție de parametrii dinamici reglabili ai sistemului vibropercutant, pe baza condițiilor de existență și de stabilitate ale mișcărilor vibropercutante periodice. Rezolvarea primei probleme de optimizare a sistemului vibropercutant și, ca urmare, determinarea parametrilor dinamici reglabili optimi, constă în rezolvarea problemei de minim a expresiei  $\left( \frac{\partial f}{\partial \dot{x}} \right)^T \frac{\dot{x}}{x}_c$  în raport cu parametrii dinamici reglabili.

In cazul sistemului vibropercutant considerat, avind forțele de amortizare neglijabile și forțele perturbatoare armonice, parametrii ciocnirilor pentru mișcările vibropercutante periodice cu o ciocnire într-o perioadă a mișcării se determină din relațiile matriciale (2.130), (2.131) și din ecuația (2.123), corespunzătoare funcției legăturii unilaterale. Din ecuațiile (2.130) și (2.131) expresia  $\left( \frac{\partial f}{\partial \dot{x}} \right)^T \frac{\dot{x}}{x}_c$  se poate scrie sub forma:

$$\left( \frac{\partial f}{\partial \dot{x}} \right)^T \frac{\dot{x}}{x}_c = \frac{2\omega}{1-R} \left( \frac{\partial f}{\partial \dot{x}} \right)^T \underline{\mu} \bar{G} \cos \omega t_k \quad (2.264)$$

Momentele  $t_k$  ale ciocnirilor se determină din ecuația (2.128). Dacă funcția legăturii unilaterale are expresia (2.38), din con-

diția de minim a expresiei (2.264) rezultă valoarea optimă a parametrului  $\delta_{ij}$ .

Din expresia (2.264) se constată că valorile optime ale parametrilor ciocnirilor se obțin pentru condiția  $\cos \omega t_k = \pm 1$ , adică ciocnirile trebuie să aibă loc în momentele în care se schimbă sensul forțelor perturbatoare.

Pentru rezolvarea celei de a doua problemă se aplică teorema energiei cinetice sub formă diferențială într-un moment dintre două ciocniri consecutive ale sistemului vibropercutant:

$$dE_c = - dE_p + dL^P + dL^A , \quad (2.265)$$

în care  $dL^P$  este lucrul mecanic elementar al forțelor perturbatoare și are expresia:

$$dL^P = \bar{F}^T(t) \dot{\bar{x}} = \bar{F}^T(t) \dot{\bar{x}} dt , \quad (2.266)$$

iar  $dL^A$  este lucrul mecanic elementar al forțelor de amortizare viscoasă, având expresia de calcul:

$$dL^A = (- \underline{c}\dot{\bar{x}})^T \dot{\bar{x}} = - \dot{\bar{x}}^T \underline{c}\dot{\bar{x}} dt = - 2E_d dt . \quad (2.267)$$

Integrând ecuația (2.265) între momentele  $t'_k$  de la sfârșitul ciocnirii de ordinul  $k$  și  $t_{k+1}$  de la începutul ciocnirii următoare, rezultă:

$$\begin{aligned} E_c(t_{k+1}) - [E_c(t_k) - \Delta(E_c)_k] &= -E_p(t_{k+1}) + E_p(t'_k) + \\ &+ \int_{t'_k}^{t_{k+1}} \bar{F}^T(t) \dot{\bar{x}} dt - 2 \int_{t'_k}^{t_{k+1}} E_d(t) dt . \end{aligned} \quad (2.268)$$

Pentru mișcările periodice ale sistemului vibropercutant, cu ciocniri instantanee, energia potențială nu se modifică în timpul ciocnirilor, iar valoarea sa și cea a energiei cinetice este aceeași pentru toate ciocnirile, astfel încât ecuația (2.268) devine:

$$\Delta(E_c)_k + 2 \int_{t'_k}^{t_{k+1}} E_d(t) dt = \int_{t'_k}^{t_{k+1}} \bar{F}^T(t) \dot{\bar{x}} dt . \quad (2.269)$$

Relația (2.269) arată că lucrul mecanic pozitiv efectuat într-o perioadă a mișcării sistemului vibropercutant de forțele perturbatoare acoperă atât energia disipată de forțele de amortizare, cât și pierderea de energie la ciocnire. Pentru a avea pierderi de energie maxime în timpul ciocnirilor este necesar ca lucrul mecanic efectuat de forțele perturbatoare să aibă valori maxime. Dintre toate forțele perturbatoare periodice, având aceeași perioadă  $T$  și cu valorile extreme date de matricile coloană  $\bar{F}_0$  și  $-\bar{F}_0$ , lucrul mecanic maxim într-o perioadă a unei mișcări periodice cu perioada  $rT$  ( $r \in N$ ) este efectuat de forțele perturbatoare optime, cu variație dreptunghiulară în timp, având expresiile date de:

$$\bar{F}(t) = \bar{F}_0 \text{sign}(\sin \omega t), \quad (2.270)$$

unde  $\omega = \frac{2\pi}{T}$ . Si pentru aceste forțe perturbatoare optime, după determinarea parametrilor ciocnirilor ca funcții de parametrii dinamici reglabili ai sistemului vibropercutant, este necesar să se calculeze valorile lor optime din condiția de maxim a pierderii de energie cinetică la ciocnire.

In cazul sistemului vibropercutant considerat, fără amortizare și acționat de forțele perturbatoare optime (2.270), expresia  $(\frac{\partial f}{\partial x})^T \dot{x}_c$ , de care depinde pierderea de energie cinetică (2.262), se poate scrie sub forma:

$$(\frac{\partial f}{\partial x})^T \dot{x}_c = - \frac{2}{1-R} (\frac{\partial f}{\partial x})^T \mu M^{-1} P^{-1} \cos^{-1}(\frac{\pi}{2} \frac{\tilde{p}}{\omega}) \sin \left\{ \tilde{p} \left[ (k - \frac{3}{4}) \frac{2\pi}{\omega} - t_k \right] \right\} \mu^T \bar{F}_0 \quad (2.271)$$

La stabilirea expresiei (2.271) s-au considerat mișcările vibropercutante periodice având perioada egală cu perioada forțelor perturbatoare ( $r = 1$ ), la care ciocnirile au loc în prima semiperioadă de variație a forțelor perturbatoare, cind  $\text{sign}(\sin \omega t) = 1$ .

Prin urmare, momentul ciocnirii de ordinul  $k$  se poate determina

din expresia:

$$t_k = (k-1) \frac{2\pi}{\omega} + \gamma, \quad \gamma \in [0, \frac{\pi}{\omega}] \quad . \quad (2.272)$$

Tinând seama de (2.272), se constată că expresia (2.271) are valori extreme pentru  $\gamma = 0$  sau  $\gamma = \frac{\pi}{\omega}$ , pentru care se obține:

$$(\frac{\partial f}{\partial x})^T \dot{x}_c = \pm \frac{2}{1-R} (\frac{\partial f}{\partial x})^T \mu M^{-1} P^{-1} T G (\frac{\pi}{2} \frac{\tilde{\omega}}{\omega}) \mu^T F_0 . \quad (2.273)$$

În (2.273) se ia semnul + sau - astfel încât această expresie să fie pozitivă. Rezultă că și în acest caz sistemul are mișcări vibropercutante periodice optime dacă ciocnirile au loc în momentele în care se schimbă sensul forțelor perturbatoare.

### 2.7. Considerații privind studiul sistemelor vibropercutante nelineare între ciocniri și cu ciocniri neinstantane

Pentru sistemele mecanice vibropercutante având caracteristici elastice sau de amortizare nelineare, nu se poate determina o soluție exactă pentru descrierea mișcării între două ciocniri consecutive. De asemenea, dacă ciocnirile nu pot fi considerate instantane, trebuie să se țină seama de caracterul profund nelinier al interacțiunilor percutante în timpul ciocnirilor, astfel încât nici studiul ciocnirilor nu poate fi tratat matematic prin metode exacte. Ca urmare în aceste cazuri este necesar să se aplique metode aproximative de studiu teoretic, apelîndu-se la metodele teoriei vibrațiilor nelineare.

O metodă folosită frecvent în studiul vibrațiilor nelineare este constituită de liniarizarea pe porțiuni (prin segmente de dreaptă) a caracteristicilor nelineare. Această metodă se poate utiliza cu bune rezultate și în studiul sistemelor vibropercutante, atât pentru exprimarea caracteristicii dinamice a jupilelor percutante, cât și pentru aproximarea caracteristicilor elastice și de amortizare ale elementelor nelineare prin caracteristici

poligonale. Erorile de calcul la folosirea acestei metode pot fi micșorate oricât de mult prin alegerea unui număr cît mai mare de laturi ale caracteristicii poligonale. Deoarece alegerea unui număr mare de laturi ale caracteristicilor poligonale implică un volum mare de calcul, metoda se folosește la modelarea sistemelor vibropercutante pe calculatoare analogice, numerice sau hibride. Numărul de laturi ale unei caracteristici poligonale poate fi redus, fără a afecta precizia de calcul, prin alegerea unor metode speciale de aproximare poligonală, ca, de exemplu, metoda bazată pe condiția de minim a erorii pătratice ponderate [100], [131], [165], [176].

Atât din studiile teoretice, cît și din cele experimentale pe modele electrice și mecanice, s-a constatat că, asupra caracterului mișcărilor vibropercutante, au o influență mai mare caracteristicile elastice și de amortizare neliniare față de caracteristici-le dinamice neliniare ale cuplelor percutante. Chiar și în cazul ciocnirilor neinstantanee, durata unei ciocniri este mult mai mică decât perioada mișcărilor vibropercutante periodice, astfel încât erorile de calcul datorită aproximării caracteristicii dinamice a cuplei percutante sunt mult mai mici decât erorile de calcul datorită aproximării caracteristicilor elastice și de amortizare între două ciocniri consecutive. Prin urmare, în marea majoritate a cazurilor, modelarea matematică a ciocnirilor neinstantanee se poate efectua analog cu cea a ciocnirilor instantanee, fără a afecta precizia de calcul, ținându-se seama de durata ciocnirilor, în care mișcarea sistemului vibropercutant rezultă considerind egalitatea din relația generală (2.46) corespunzătoare cuplei percutante și ținându-se seama de dependența coeficientului de restituire de viteză relativă a punctelor teoristice de contact la începutul ciocnirii pe baza relației (2.89). De altfel, se observă că valoarea coeficientului de restituire la ciocnire nu depinde de forma con-

creată de variație a forței percutante în timpul ciocnirii, ci de raportul percuțiilor din cele două faze ale ciocnirii.

În cele ce urmăiază se prezintă cîteva metode aproximative de studiu a unui sistem vibropercutant cu un grad de libertate, avînd caracteristica elastică neliniară.

Se consideră sistemul vibropercutant din fig. 2.6, pentru

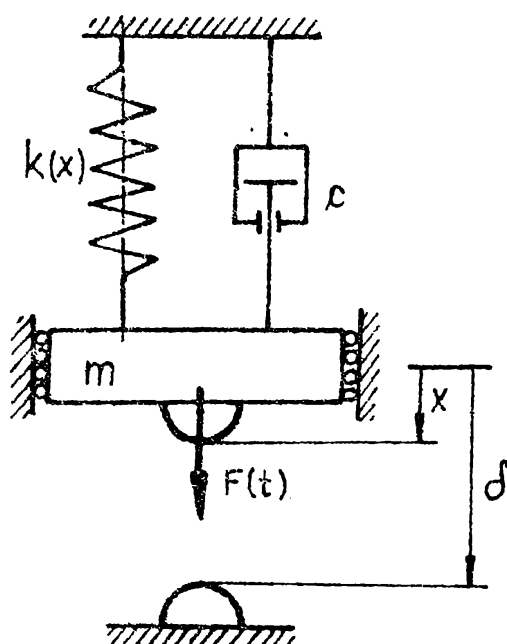


Fig. 2.6

care caracteristica elastică se exprimă sub forma:

$$F_e(x) = k_0 x + h x^3, \quad (2.274)$$

unde  $F_e$  este forța elastică,  $x$  se măsoară din poziția de echilibru static a sistemului, iar  $h$  se consideră un parametru mic.

Forța perturbatoare se consideră armonică, de forma:

$$F(t) = F_0 \sin \omega t. \quad (2.275)$$

În momentele în care  $x = \delta$ , corpul

de masă  $m$  se ciocnește cu un opritor fix, ciocnirile fiind considerate instantanee, caracterizate de coeficientul de restituire  $R$ .

Ecuatia diferențială a mișcării sistemului între două ciocniri consecutive este de forma:

$$m\ddot{x} + c\dot{x} + kx + hx^3 = F_0 \sin \omega t. \quad (2.276)$$

Atât pentru studiul teoretic, cât și pentru modelarea sistemului vibropercutant considerat, este avantajos să se exprime ecuația diferențială a mișcării sub formă adimensională. Pentru aceasta se folosesc notatiile:

$$\begin{aligned} \gamma &= \omega t; \quad \omega_n^2 = \frac{k_0}{m}; \quad \xi = \frac{c}{2m\omega_n}; \quad x_{st} = \frac{F_0}{k_0}; \quad \mu = \frac{hx^3}{F_0}; \\ \eta &= \frac{\omega}{\omega_n}; \quad z = \frac{x}{x_{st}}; \quad d = \frac{\delta}{x_{st}}. \end{aligned} \quad (2.277)$$

Ecuatia diferențială a mișcării sub formă adimensională devine:

$$\eta^2 z'' + 2\eta \xi z' + z + \mu z^3 = \sin \gamma , \quad (2.278)$$

în care  $z'$  și  $z''$  reprezintă prima și a doua derivată a variabilei  $z$  în raport cu variabila independentă  $\gamma$ , iar  $\mu$  este un parametru mic adimensional.

Pentru determinarea mișcărilor vibropercutante periodice, este necesar să se integreze ecuația diferențială (2.278) între două ciocniri consecutive. Ecuatia diferențială fiind neliniară, integrarea ei se poate efectua numai prin metode aproximative. Metoda liniarizării caracteristicii elastice s-a utilizat la modelarea sistemului vibropercutant considerat pe calculatorul analogic. În cele ce urmează se prezintă unele aspecte privind aplicarea metodei balanței armonice și a metodei parametrului mic pentru determinarea unor soluții aproximative a ecuației diferențiale (2.278) între două ciocniri consecutive ale sistemului vibropercutant.

Pentru aplicarea metodei balanței armonice, se neglijeză într-o primă aproximare efectul forței de amortizare viscoasă ( $\xi = 0$ ) și se consideră soluția ecuației diferențiale între două ciocniri consecutive de forma:

$$z = C_1 \cos \frac{\gamma - \gamma_k}{\eta} + C_2 \sin \frac{\gamma - \gamma_k}{\eta} + A \sin \gamma , \quad (2.279)$$

care aproximează foarte bine soluția exactă pentru valori mici ale parametrului  $\mu$ . În (2.279)  $\gamma_k$  este momentul adimensional al ciocnirii de ordinul  $k$ ,  $C_1$  și  $C_2$  sunt constante de integrare, iar  $A$  se determină din condiția ca  $A \sin \gamma$  să verifice ecuația diferențială și rezultă din ecuația:

$$A(1 - \eta^2) + \frac{3}{4} \mu A^3 = 1 . \quad (2.280)$$

Constantele de integrare  $C_1$  și  $C_2$  se determină din con-

condițiile initiale corespunzătoare sfîrșitului ciocnirii de ordinul k:

$$\theta = \theta_k ; \quad z = d ; \quad z' = -R(z')_k \quad (2.281)$$

Mișcarea sistemului vibropercutant între ciocnirile de ordinul k și k+1 se exprimă prin legea de mișcare:

$$z = (d - A \sin \theta_k) \cos \frac{\theta - \theta_k}{\eta} - \eta [R(z')_k + A \cos \theta_k] \sin \frac{\theta - \theta_k}{\eta} + A \sin \theta . \quad (2.282)$$

Condițiile ca mișcarea sistemului să fie periodică, având perioada egală cu un multiplu r al perioadei adimensionale  $2\pi$  a forței perturbatoare, sint date de:

$$\theta = \theta_{k+1} = \theta_k + 2\pi r ; \quad z = d ; \quad z' = (z')_{k+1} = (z')_k = z'_c . \quad (2.283)$$

Impunind condițiile de periodicitate (2.283) pentru legea de mișcare (2.282), rezultă:

$$A(\sin \theta_k - \frac{1+R}{1-R} \frac{\eta}{\pi r} \cos \theta_k) = d , \quad (2.284)$$

$$z'_c = \frac{2}{1-R} A \cos \theta_k .$$

Pentru existența mișcărilor vibropercutante periodice, din prima relație (2.284) trebuie să rezulte pentru  $\theta_k$  valori reale, iar din a doua pentru  $z'_c$  este necesar să rezulte valori pozitive. Dacă se caută mișcările vibropercutante periodice optime, din expresia vitezei de ciocnire  $z'_c$ , dată de (2.284), rezultă că ciocnirile trebuie să aibă loc în momentele în care se schimbă sensul forței perturbatoare. Prin urmare, parametrii optimi ai ciocnirilor se determină din relațiile:

$$(z'_c)_{\max} = \frac{2}{1-R} |A| , \quad (2.285)$$

$$i_{op} = - \frac{1+R}{1-R} \eta |A| \operatorname{ctg} \frac{\pi r}{\eta} ,$$

pentru care legea mișcării sistemului între ciocnirile de ordinul k și k+1 se exprimă prin:

$$z = A \sin \gamma - \frac{1+R}{1-R} \frac{\eta |A|}{\sin \frac{\pi r}{\eta}} \cos \frac{\gamma - (\gamma_k + \pi)}{\eta} \quad (2.286)$$

Studiul în primă aproximare al stabilității mișcărilor vibropercutante periodice optime, efectuat prin metoda prezentată, conduce la următoarele ecuații liniarizate în perturbații ale parametrilor ciocnirilor:

$$\begin{aligned} & \frac{1}{1-R} (1+\tan^2 \frac{\pi r}{\eta}) |A| \Delta \gamma_{k+1} - \frac{1}{1-R} (1+R \tan^2 \frac{\pi r}{\eta}) |A| \Delta \gamma_k - \\ & - \eta R \tan \frac{\pi r}{\eta} \Delta z'_k = 0 \\ & \frac{1+R}{1-R} \frac{1+\tan^2 \frac{\pi r}{\eta}}{\tan \frac{\pi r}{\eta}} |A| \Delta \gamma_{k+1} - \frac{1-\tan^2 \frac{\pi r}{\eta} + R(1+3\tan^2 \frac{\pi r}{\eta})}{(1-R)\tan \frac{\pi r}{\eta}} |A| \Delta \gamma_k - \\ & - \eta (1+\tan^2 \frac{\pi r}{\eta}) \Delta z'_{k+1} - \eta R (1-\tan^2 \frac{\pi r}{\eta}) \Delta z'_k = 0 \quad (2.287) \end{aligned}$$

Căutând soluții de forma (2.239) pentru aceste ecuații, se ajunge la ecuația caracteristică de forma (2.240). Dezvoltând determinantul sistemului obținut, ecuația sa caracteristică se poate exprima sub forma:

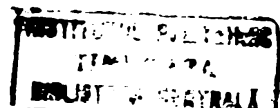
$$\beta^2 - \frac{1+R^2 + 2R \tan^2 \frac{\pi r}{\eta}}{1 + \tan^2 \frac{\pi r}{\eta}} \beta + R^2 = 0 \quad (2.288)$$

Aplicînd criteriul lui Schur, pentru ca ecuația caracteristică (2.288) să aibă rădăcinile în modul subunitate, rezultă condițiile de stabilitate ale mișcărilor vibropercutante periodice optime:

$$R^2 < 1 , \quad \tan^2 \frac{\pi r}{\eta} > 0 , \quad (2.289)$$

care sunt îndeplinite pentru toate mișcările determinate.

Sistemul vibropercutant considerat a fost studiat și prin modelare pe calculatoarele electronice analogice și numerice. S-a constatat că pentru valori mici ale parametrului  $\mu$  rezultatele studiului teoretic sunt în concordanță cu cele obținute prin



modelare, cu excepția valorilor mici ale pulsării forței perturbatoare ( $\eta < 0,35$ ) și a valorilor pulsării forței perturbatoare pentru care rezultă valori mari ale modulului parametrului  $d$  (valorile parametrului  $\eta$  din jurul valorilor  $\eta = 0,5$  și  $\eta = 1$ ). În aceste cazuri, prin modelare pe calculatoarele electronice s-a ajuns la concluzia că se obțin alte tipuri de mișcări periodice și anume mișcări vibratorii fără ciocniri sau mișcări vibropercutante cu ciocniri multiple într-o perioadă a mișcării.

În fig.2.7 s-a reprezentat caracteristica elastică a sistemului vibropercutant considerat pentru  $\mu = 0,01$ , iar în fig.2.8 este dată diagrama de rezonanță corespunzătoare. Pentru aceeași valoare a parametrului  $\mu$ , în fig.2.9 și 2.10 s-au reprezentat cu linii continue diagramale parametrilor ciocnirilor corespunzătoare mișcărilor vibropercutante periodice optime în cazul  $r = 1$ , pentru care sunt îndeplinite condițiile de existență și de stabilitate. Aceste diagrame s-au construit pentru valorile coeficientului de restituire la ciocnire  $R = 0,2$ ;  $R = 0,4$ ;  $R = 0,6$  și  $R = 0,8$ . Se constată că valorile vitezei la începutul ciocnirilor sunt mai mari pentru valori mari ale coeficientului de restituire, dar în aceste cazuri domeniile în care sunt îndeplinite condițiile de existență și de stabilitate ale mișcărilor vibropercutante periodice de tipul considerat sunt mai înguste.

Pentru studiul sistemului vibropercutant cu metoda parametrului mic, considerind parametrul  $\mu$  suficient de mic, astfel încât puterile sale începînd cu a doua să poată fi neglijate, se va căuta soluția ecuației diferențiale (2.278) între două ciocniri consecutive de forma:

$$z = z_0(\tau) + \mu z_1(\tau) + \dots \quad (2.290)$$

| De asemenea, se consideră:

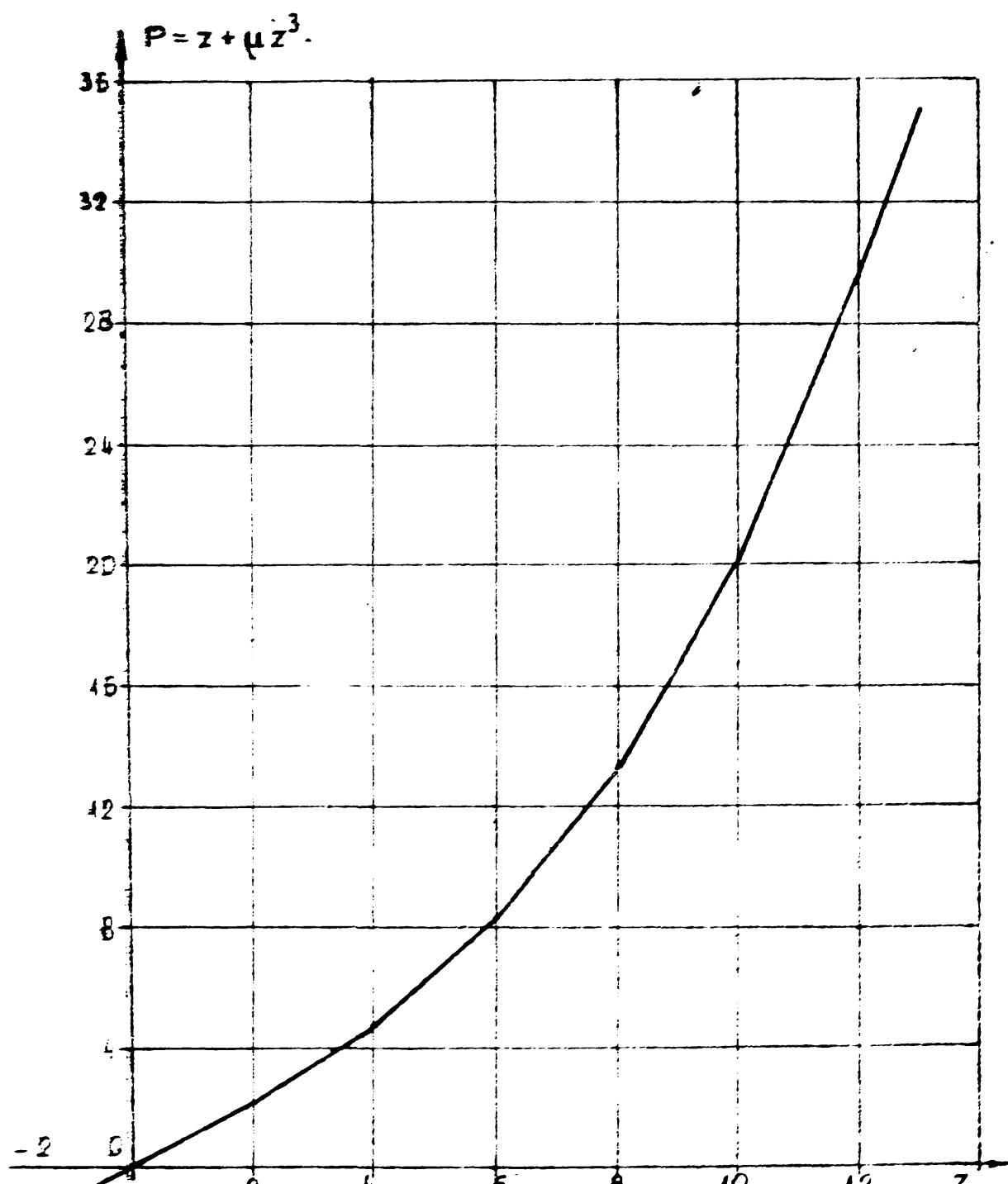


Fig. 27

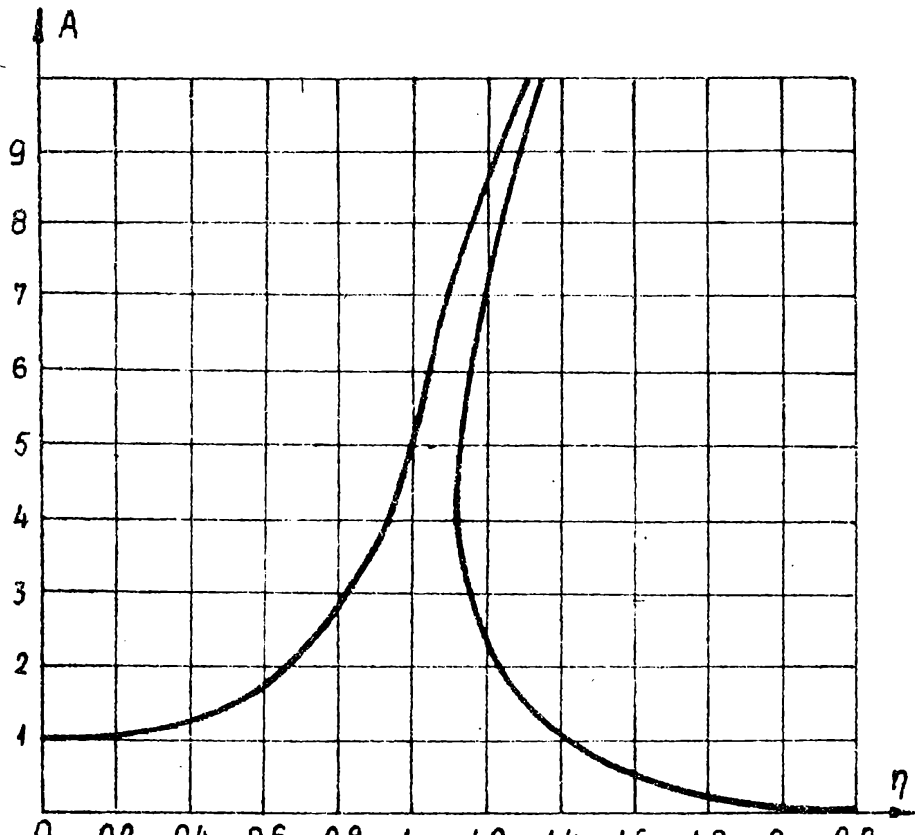


Fig. 2.8

$$-\frac{1}{\eta^2} = \frac{1}{\eta_0^2} - \mu a_1 - \dots ; \quad \eta^2 = \eta_0^2 + \eta_0^4 a_1 \mu + \dots , \quad (2.291)$$

unde  $a_1$  se determină astfel încât să se eliminate termenii seculari.

Inlocuind (2.290) și (2.291) în (2.278) și identificînd după puterile lui  $\mu$ , pentru  $\varepsilon = 0$  se obțin ecuațiile diferențiale necesare determinării soluției generatoare:

$$\eta_0^2 z_0'' + z_0 = \sin \gamma , \quad (2.292)$$

și a primei aproximății:

$$\eta_0^2 z_1'' + z_1 = -\eta_0^4 a_1 z_0'' - z_0^3 . \quad (2.293)$$

Soluția generală a ecuației diferențiale (2.292) este:

$$z_0 = A_0 \cos \frac{\gamma - \gamma_K}{\eta_0} + B_0 \sin \frac{\gamma - \gamma_K}{\eta_0} + \frac{1}{1 - \eta_0^2} \sin \gamma \quad (2.294)$$

Pentru condițiile initiale (2.281), rezultă:

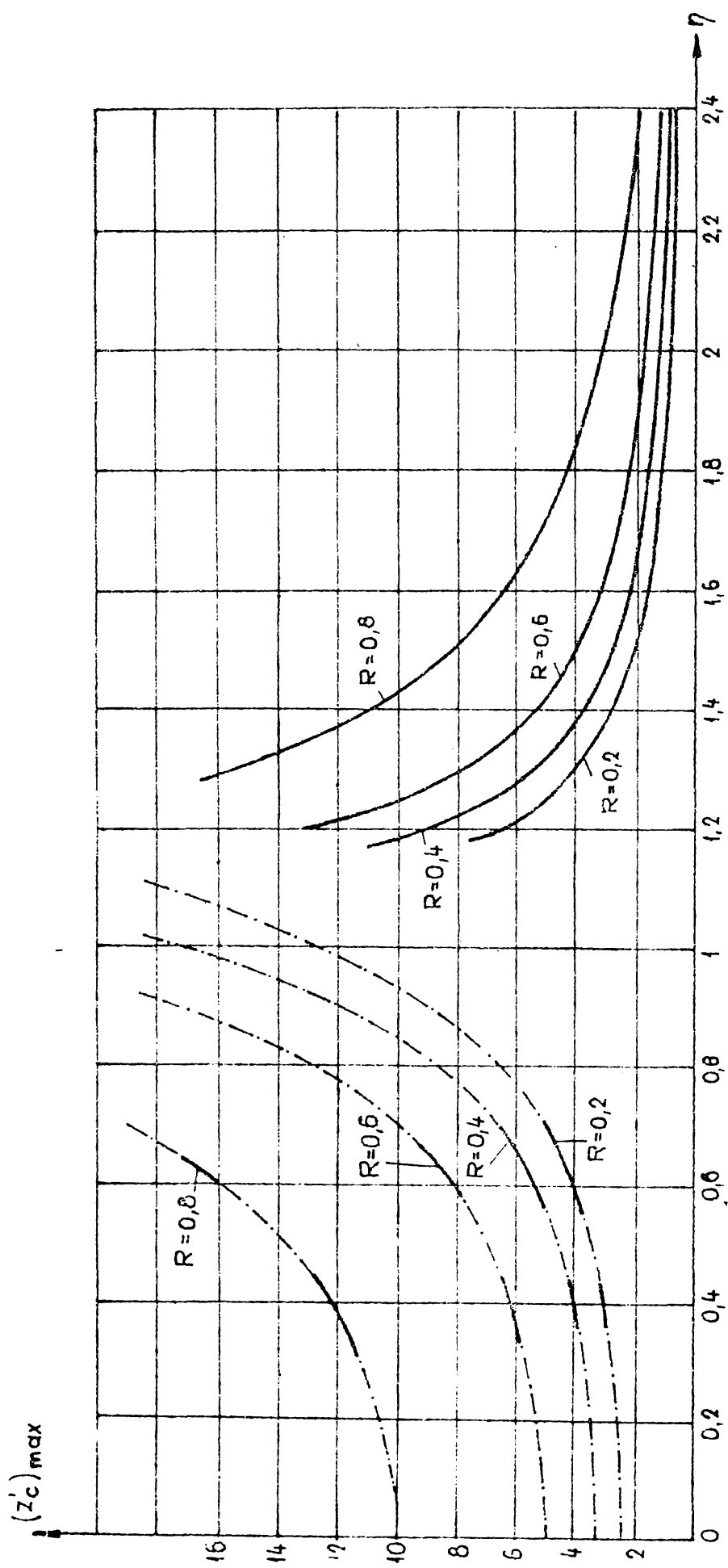


Fig. 2.9

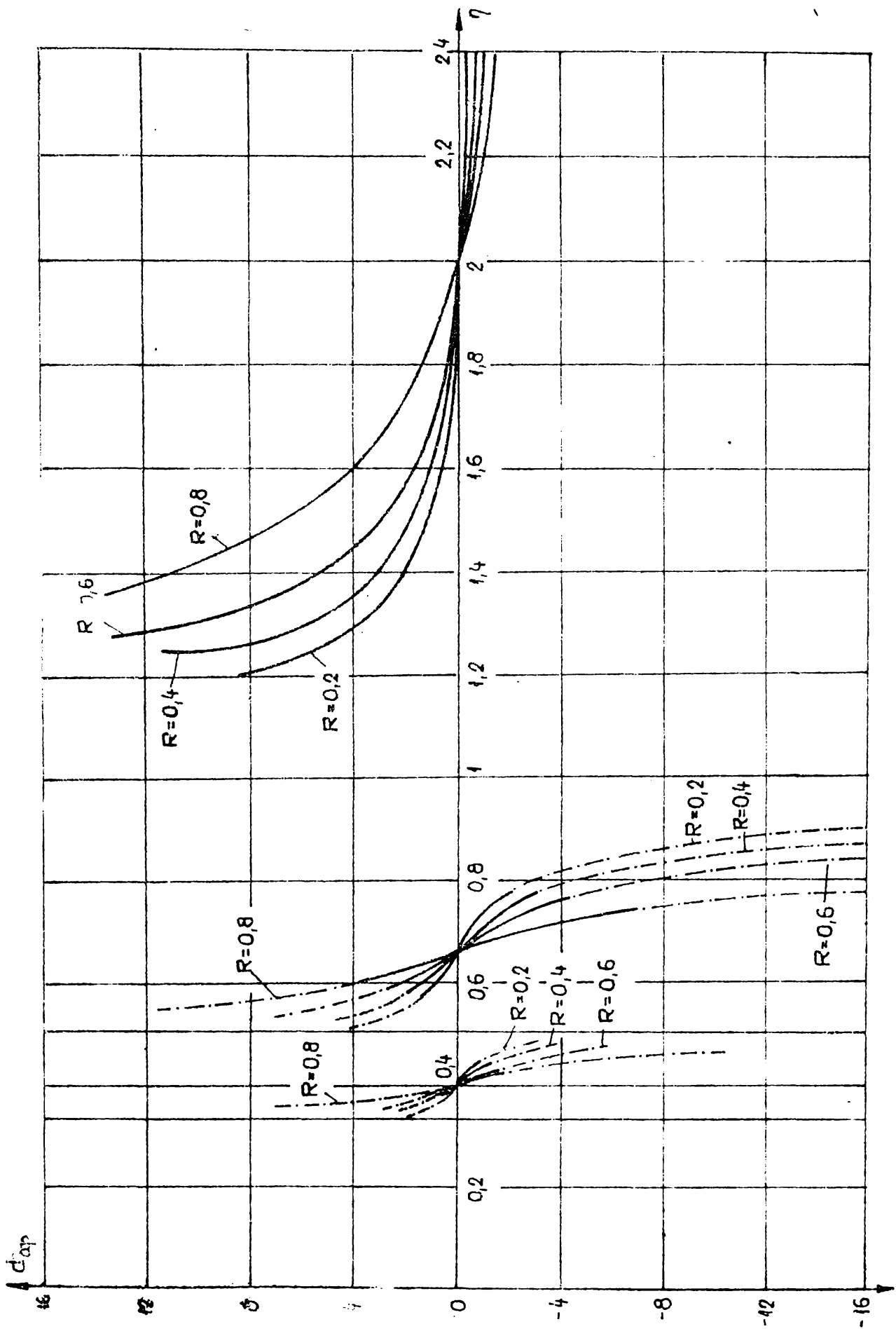


Fig. 2.40

$$A_0 = d - \frac{1}{1 - \eta_0^2} \sin \tau_k, \quad B_0 = - \frac{\eta_0}{1 - \eta_0^2} [\cos \tau_k + (1 - \eta_0^2) R(z')_k] \quad (2.295)$$

Inlocuind soluția (2.294) cu constantele de integrare date de (2.295) în (2.293), dezvoltând  $z_0^3$  și reducind toți termenii dezvoltării la funcții trigonometrice de gradul I, se obține valoarea coeficientului  $a_1$ :

$$a_1 = \frac{1}{\eta_0^2} \left[ \frac{3(A_0^2 + B_0^2)}{4} + \frac{1}{(1 - \eta_0^2)^2} \right], \quad (2.296)$$

iar ecuația diferențială (2.293) devine:

$$\begin{aligned} \eta_0^2 z_1'' + z_1' &= \frac{1}{4} \frac{1}{1 - \eta_0^2} \left[ 3(\eta_0^2 - 2)(A_0^2 + B_0^2) + \frac{4\eta_0^2 - 3}{(1 - \eta_0^2)^2} \right] \sin \tau + \\ &+ \frac{1}{4} \frac{1}{(1 - \eta_0^2)^3} \sin 3\tau + \frac{A_0}{4} (3B_0^2 - A_0^2) \cos \frac{3(\tau - \tau_k)}{\eta_0} + \\ &+ \frac{B_0}{4} (B_0^2 - 3A_0^2) \sin \frac{3(\tau - \tau_k)}{\eta_0} + \frac{3}{2} \frac{A_0 B_0}{1 - \eta_0^2} \left[ \cos \frac{(2 + \eta_0)\tau - 2\tau_k}{\eta_0} - \right. \\ &\left. - \cos \frac{(2 - \eta_0)\tau - 2\tau_k}{\eta_0} \right] - \frac{3}{4} \frac{A_0^2 - B_0^2}{1 - \eta_0^2} \left[ \sin \frac{(2 + \eta_0)\tau - 2\tau_k}{\eta_0} - \right. \\ &\left. - \sin \frac{(2 - \eta_0)\tau - 2\tau_k}{\eta_0} \right] + \frac{3}{4} \frac{A_0}{(1 - \eta_0^2)^2} \cos \frac{(2\eta_0 + 1)\tau - \tau_k}{\eta_0} + \\ &+ \cos \frac{(2\eta_0 - 1)\tau + \tau_k}{\eta_0} + \frac{3}{2} \frac{B_0}{(1 - \eta_0^2)^2} \left[ \sin \frac{(2\eta_0 + 1)\tau - \tau_k}{\eta_0} - \right. \\ &\left. - \sin \frac{(2\eta_0 - 1)\tau + \tau_k}{\eta_0} \right]. \end{aligned} \quad (2.297)$$

Soluția ecuației diferențiale (2.297) se determină pentru condițiile initiale nule, astfel încât rezultă din (2.290) și (2.291), cu o bună aproximare, mișcarea sistemului vibropercutant între două ciocniri consecutive. Parametrii ciocnirilor pentru mișcările vibropercutante periodice se determină impunând soluției

aproximativă determinată condițiile de periodicitate (2.283).

Deoarece soluția ecuației diferențiale (2.297) rezultă cu mulți termeni, parametrii ciocnirilor pentru mișcările vibropercutante periodice nu se pot determina analitic, decât pentru unele valori particulare ale parametrilor sistemului vibropercutant. Astfel, pentru  $\eta = 2$  și  $d = 0$ , căutând mișcările vibropercutante periodice la care ciocnirile au loc în momentele  $\gamma_k = (2k-1)\pi$ , pentru viteza adimensională de la începutul ciocnirilor rezultă expresia:

$$z_c' = \left| \frac{24\mu(2\eta_0^4 + 23\eta_0^2 + 1 - \frac{1}{1-9\eta_0^2}) - 32(1-\eta_0^2)^2}{[(1+R)(1-\eta_0^2)^2 + 24\mu R \eta_0^2](2\eta_0^4 + 21\eta_0^2 - 24) - 16(1-R)(1-\eta_0^2)^3} \right|, \quad (2.298)$$

unde  $\eta_0$  se determină din ecuația:

$$\eta_0^2 + \frac{\mu\eta_0^2}{(1-\eta_0^2)^2} + \frac{3}{4} \left( \frac{1}{24} \frac{1+R}{R} \right)^2 \frac{(1-\eta_0^2)^2}{\mu\eta_0^2} = \eta^2. \quad (2.299)$$

Pentru a determina rădăcinile supraunitare ale ecuației (2.299), este necesar să se reprezinte graficul funcției  $y = f(\eta_0^2)$  din membrul stîng, care se intersectează cu dreapta  $y = \eta^2 = 4$ . În fig.2.11 sunt reprezentate aceste grafice pentru  $\mu = 0,01$  și valorile coeficientului de restituire  $R$  folosite și la metoda precedentă. Cu valorile parametrului  $\eta_0^2$ , determinate cu ajutorul lor, din (2.299) se obțin valorile pentru viteza adimensională de la începutul ciocnirilor foarte apropiate de cele obținute cu metoda balanței armonice.

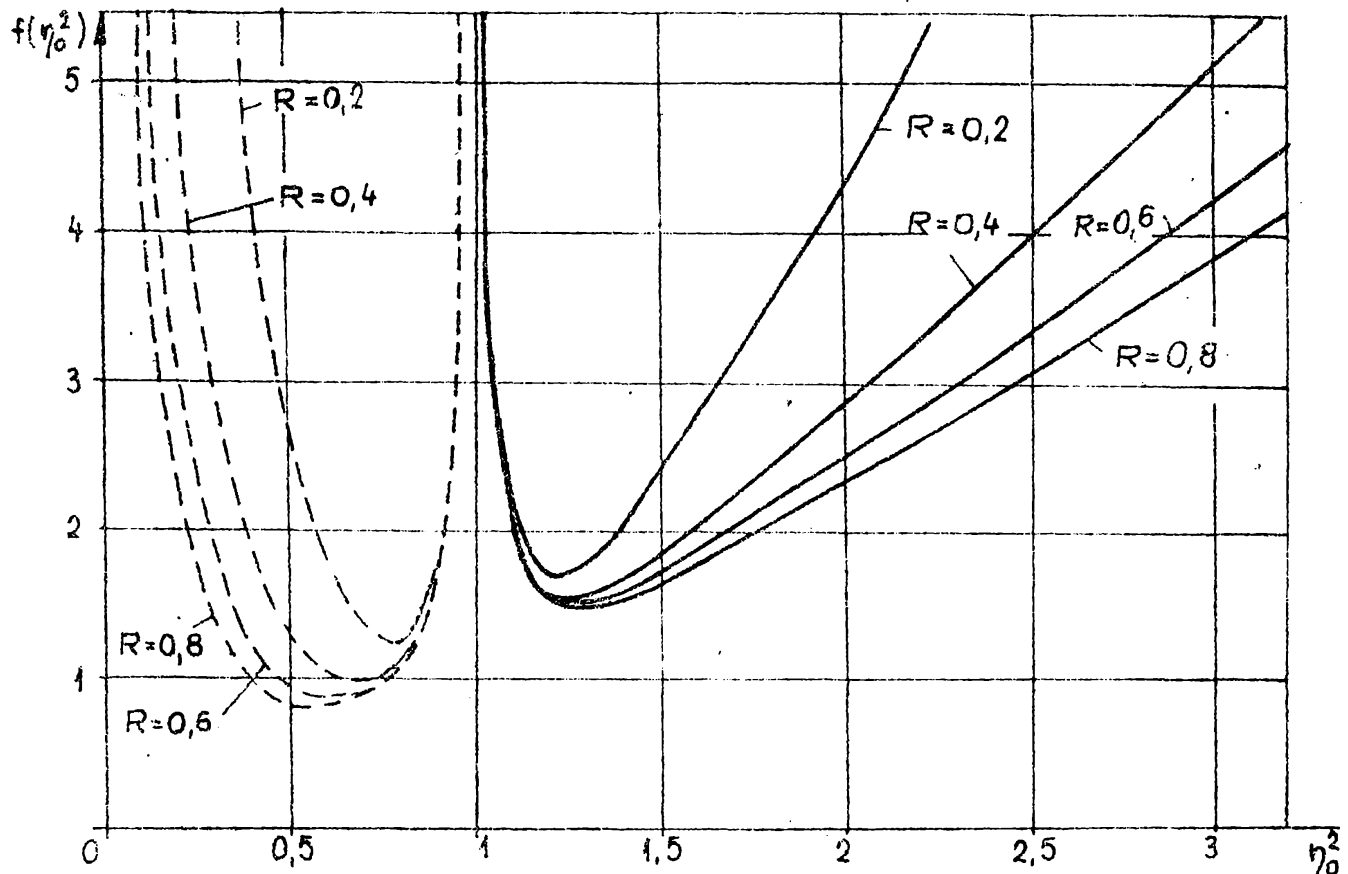


Fig. 2.11

2.8. Studiul mișcărilor vibropercutante periodice optime pentru un sistem vibropercutant cu două grade de libertate

Să considerăm sistemul vibropercutant din fig. 2.12, având două grade de libertate și o cuplă percutantă, pentru care ecuația diferențială matricială a mișcării între două ciocniri consecutive este de forma (2.37). Se neglijeaază toate forțele de amortizare și se consideră ciocnirile instantanee. Pentru determinarea efectivă a mișcărilor vibropercutante periodice optime, se presupun matricile de inertie și de rigiditate de formă:

$$\underline{m} = \begin{vmatrix} m_1 & 0 \\ 0 & m_2 \end{vmatrix}, \quad (2.30a)$$

$$\underline{k} = \begin{vmatrix} k_1 + k_2 & -k_2 \\ -k_2 & k_2 \end{vmatrix},$$

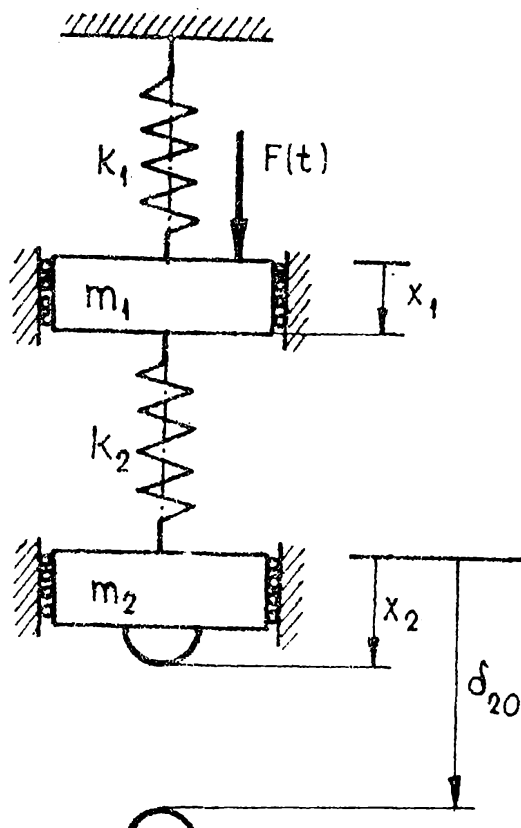


Fig. 2.12

mișcările periodice cu perioadă  $T = \frac{2\pi}{\omega}$  se determină cu relațiiile (2.130) și (2.131), în care avem:

$$\bar{G} = \frac{x_{st}}{5} \left| \begin{array}{c} \frac{3}{1-3\eta^2} \\ \hline \frac{4}{2-\eta^2} \end{array} \right|, \quad f(\bar{x}) = \delta_{20} - x_2 \geq 0, \quad (2.302)$$

unde s-au folosit notațiile:

$$x_{st} = \frac{F_0}{k} ; \quad \eta = \frac{\omega}{\omega_n}. \quad (2.303)$$

Deoarece prezintă interes mișcările vibropercutante periodice optime, se caută valorile parametrilor ciocnirilor pentru care expresia (2.264) are valori minime. Valorile optime ale parametrilor ciocnirilor rezultă sub forma:

unde  $m_1 = m_2 = m$ ,

$k_1 = k$  și  $k_2 = \frac{2}{3} k$ .

Notând  $\omega_n^2 = \frac{k}{m}$ , rezultă valorile pulsăriilor proprii  $p_1 = \frac{1}{\sqrt{3}} \omega_n$  și  $p_2 = \sqrt{2} \omega_n$ , iar ma-

tricile  $\underline{\mu}$  și  $\underline{M}$  devin:

$$\underline{\mu} = \left| \begin{array}{cc} 1 & 1 \\ 2 & -\frac{1}{2} \end{array} \right|, \quad (2.301)$$

$$\underline{M} = \left| \begin{array}{cc} 5m & 0 \\ 0 & \frac{5}{4}m \end{array} \right|.$$

Dacă se consideră forța perturbatoare armonică, avind amplitudinea  $F_0$  și pulsărea  $\omega$ , parametrii ciocnirilor

$$\left\| \frac{\dot{x}_{lc}}{(\dot{x}_{2c})_{max}} \right\| = \frac{\omega_n x_{st} \eta}{|(1-3\eta^2)(2-\eta^2)|} \left\| \frac{2-3\eta^2}{\frac{4}{1-R}} \right\| , \quad (2.304)$$

$$\left\| \frac{x_{lc}}{(\delta_{2c})_{op}} \right\| = - \frac{2}{5\alpha r} \frac{1+R}{1-R} \frac{\frac{x_{st} \eta}{|(1-3\eta^2)(2-\eta^2)|}}{\left\| \frac{2(r-\alpha)}{\alpha+4r} \right\|},$$

în care s-a notat:

$$\alpha = \frac{1}{\sqrt{3}} \operatorname{tg} \frac{\pi r}{\sqrt{3}\eta} ; \quad r = \sqrt{2} \operatorname{tg} \frac{\sqrt{2}\pi r}{\eta} . \quad (2.305)$$

Pentru studiul stabilității mișcărilor vibropercutante perio-  
dice optime determinate se folosesc relațiile (2.255), care consti-  
tue ecuațiile liniarizate în perturbații pentru acest caz. Căutând  
pentru aceste ecuații soluția de forma (2.239), se ajunge la ecuația  
caracteristică;

$$\beta^4 + a_1 \beta^3 + a_2 \beta^2 + a_3 \beta + a_4 = 0 , \quad (2.306)$$

în care coeficienții ecuației au expresiile:

$$a_1 = (1-R)(1,5 + 0,3R - \frac{3,6-0,4R}{r^2+2} - \frac{1,2}{3\alpha^2+1}) + (1+R) \left[ 0,5(1-R) - \right. \\ \left. - \frac{2,4-0,8R}{r^2+2} - \frac{0,2(1-R)}{3\alpha^2+1} \right] - \frac{(1+R)^2}{(3\alpha^2+1)(r^2+2)} \left[ 0,4(3+4\alpha r) + \right. \\ \left. + \frac{(4+3\alpha r)(6\alpha - r)^2}{75\alpha r} \right] , \\ a_2 = (1-R)(1,5 - 3,9R - \frac{2-4,4R}{3\alpha^2+1}) + (1-R)^2 \left[ \frac{8}{(3\alpha^2+1)(r^2+2)} - \right. \\ \left. - \frac{4}{r^2+2} \right] - (1+R)^2 \left[ 0,5 - \frac{2,8}{r^2+2} - \frac{0,1}{3\alpha^2+1} - \frac{1+2\alpha r}{(3\alpha^2+1)(r^2+2)} - \right. \\ \left. - \frac{(16-3\alpha r)(6\alpha - r)^2}{150\alpha r(3\alpha^2+1)(r^2+2)} \right] , \quad (2.307)$$

$$a_3 = (1-R)(0,5+0,1R + \frac{3,6 R-0,4}{r^2+2} - \frac{0,3+0,4R}{3\alpha^2+1}) - (1+R) \left[ 0,5(1-R) + \right.$$

$$+ \frac{2,4R-0,8}{\gamma^2 + 2} - \frac{0,2(1-R)}{3\alpha^2 + 1} \Big] - \frac{(1+R)^2}{(3\alpha^2 + 1)(\gamma^2 + 2)} [0,4(3+4\alpha\gamma) + \\ + \frac{(4+3\alpha\gamma)(6\alpha-\gamma)^2}{75\alpha\gamma}] , \quad a_4 = R^2 .$$

Pe baza criteriului lui Schur, condițiile ca rădăcinile ecuației caracteristice (2.306) să fie în modul subunitare, care reprezintă condițiile de stabilitate ale mișcărilor vibropercutante periodice optime determinate, sunt:

$$\left| a_4 \right| < 1 , \quad \left| \frac{a_2(1-a_4^2)(1-a_4)-(a_1-a_3a_4)(a_3-a_1a_4)}{(1-a_4^2)^2 - (a_3-a_1a_4)^2} \right| < 1 , \\ \left| \frac{a_3-a_1a_4}{1-a_4^2} \right| < 1 , \quad \left| \frac{(1+a_4)(a_1-a_3a_4)-a_2(a_3-a_1a_4)}{(1-a_4^2)(1+a_2+a_4)-(a_1+a_3)(a_3-a_1a_4)} \right| < 1 . \quad (2.308)$$

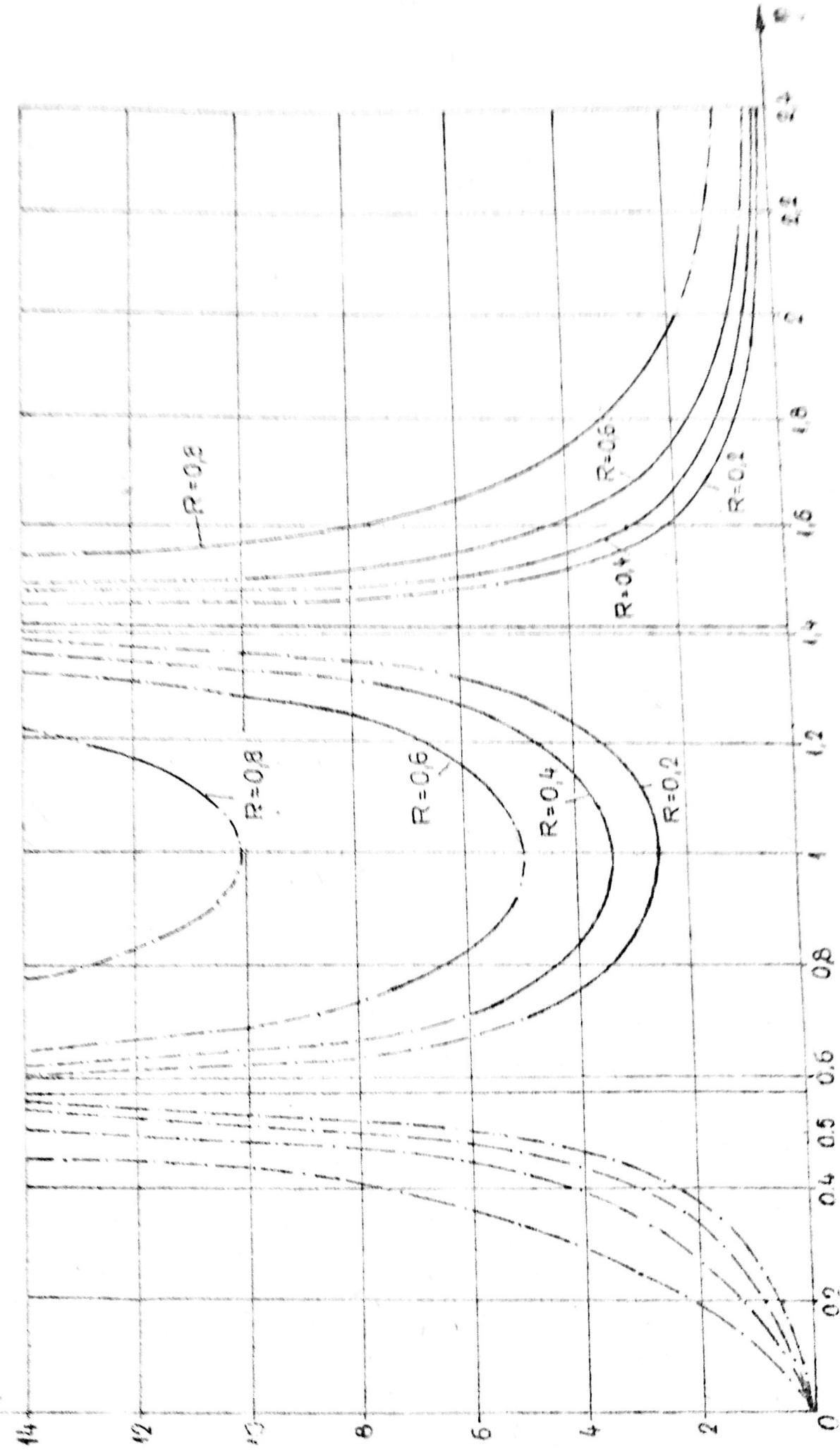
In fig.2.13 și 2.14 s-au reprezentat cu linie continuă parametrii optimi ai ciocnirilor în funcție de  $\eta$ , pentru care sunt îndeplinite condițiile de existență și de stabilitate ale mișcărilor vibropercutante periodice optime, având perioada egală cu perioada forței perturbatoare ( $r = 1$ ). Aceste diagrame s-au reprezentat pentru patru valori ale coeficientului de restituire  $R$ . Se constată că pentru valori mai mici ale parametrului  $\eta$  decât  $\eta_1 = \frac{p_1}{\omega_n} = \frac{1}{\sqrt{3}}$  nu sunt îndeplinite condițiile de existență și de stabilitate ale mișcărilor vibropercutante periodice optime, iar pentru valori mari ale coeficientului de restituire domeniile de stabilitate ale acestor mișcări sunt mai înguste.

Dacă forța perturbatoare este optimă, având expresia dată de (2.270), din relația (2.273) rezultă:

$$(x_{2c})_{\max} = \frac{4}{5} \frac{x_{st} \omega_n}{1-R} \left| \sqrt{3} \operatorname{tg} \frac{\pi}{2\sqrt{3}\eta} - \frac{1}{\sqrt{2}} \operatorname{tg} \frac{\sqrt{2}\pi}{2\eta} \right| . \quad (2.309)$$

Pentru compararea eficienței forței perturbatoare optime față de forța perturbatoare armonică, s-a determinat raportul

$$\left( \frac{\dot{x}_2 c}{\omega_n / st} \right)_{\max}$$



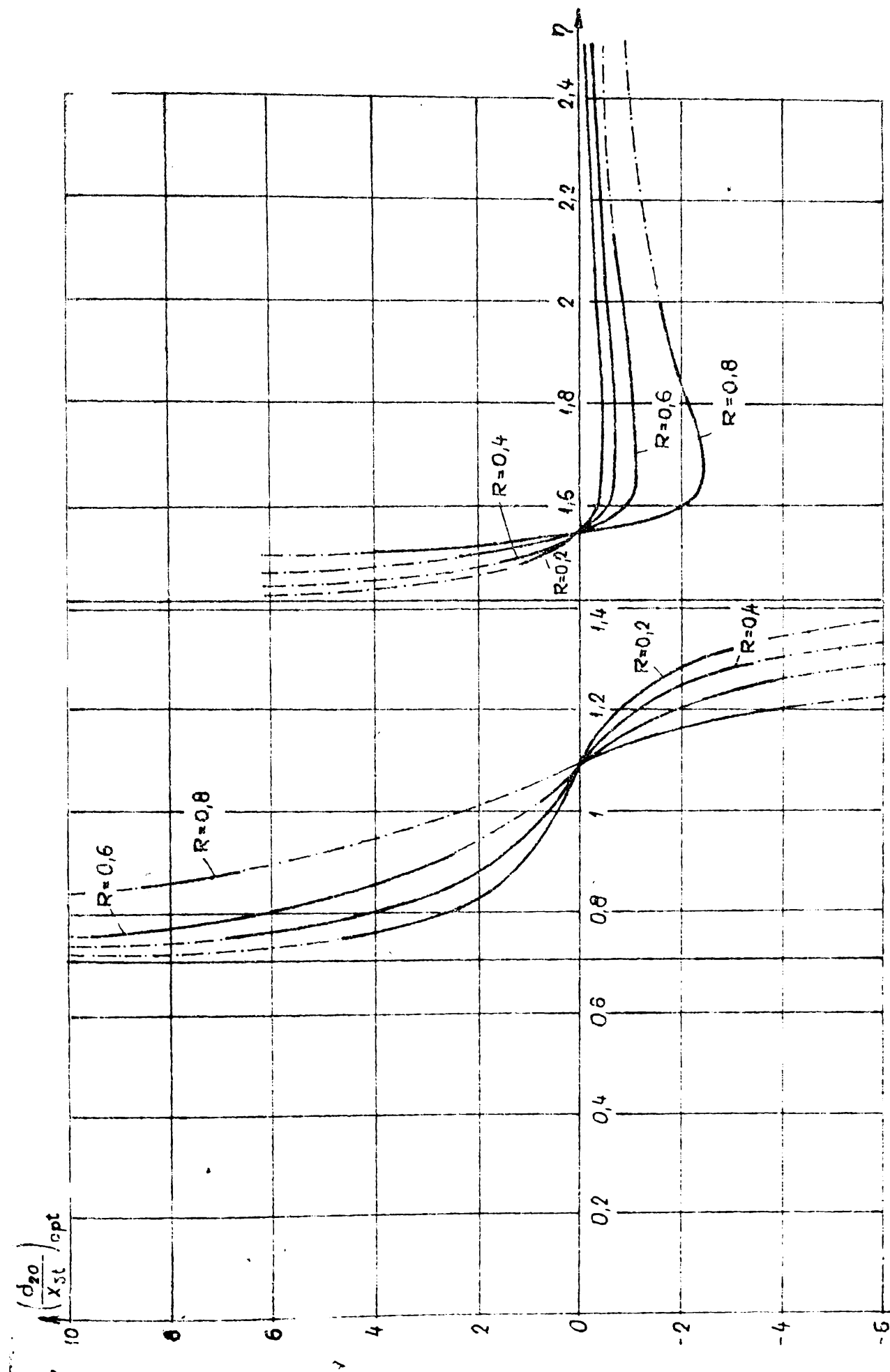


Fig. 2.44

dintre vitezele maxime de la începutul ciocnirilor, date de (2.309) și (2.304):

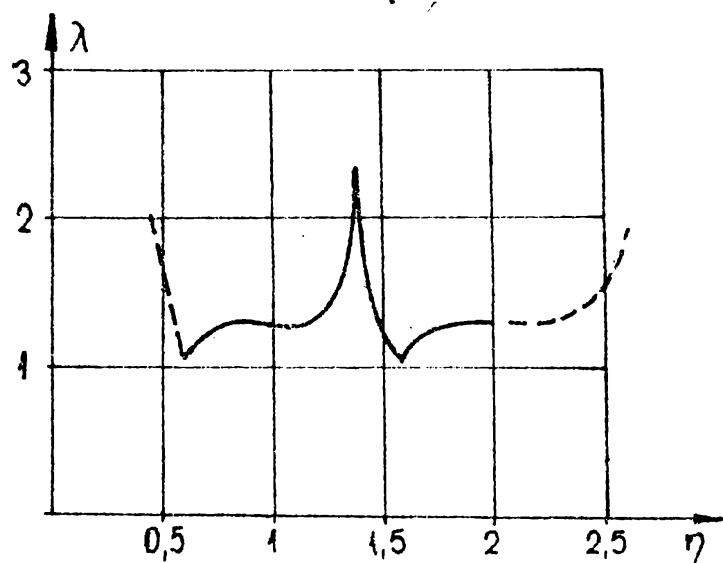


Fig. 2.15

$$\lambda = \frac{0.12}{\eta} \left| (1-3\eta^2)(2-\eta^2) \left( \sqrt{3} \operatorname{tg} \frac{\pi}{2\sqrt{3}\eta} - \frac{1}{\sqrt{2}} \operatorname{tg} \frac{\sqrt{3}\pi}{2\eta} \right) \right| \quad (2.310)$$

In fig.2.15 s-a reprezentat acest raport în funcție de  $\eta$ .

Se constată că în domeniile în care sunt îndeplinite condițiile de existență și de stabilitate ale mișcărilor vibropercutante periodice optime, raportul  $\lambda$  este supraunitar, deci forța perturbatoare optimă este mai eficientă.

## Cap.3. MODELAREA ELECTRICA A SISTEMELOR MECANICE VIBROPERCUTANTE

### 3.1. Consideratii generale

Așa cum s-a amintit și în paragraful 1.2, modelarea electrică a comportării dinamice a sistemelor mecanice se poate realiza în două moduri principal diferite: modelarea sistemelor dinamice pe baza unor analogii, numite analogii dinamice și modelarea pe calculatoare electronice. În ambele cazuri, pentru realizarea unei modelări exacte, este necesar ca ecuațiile diferențiale care exprimă comportarea modelului electric să conducă, prin efectuarea unor transformări de variabile, pe baza unor scări de modelare, la ecuațiile diferențiale ce descriu comportarea dinamică a prototipului. De asemenea, în ambele cazuri, modelarea electrică se realizează în două faze: modelarea calitativă, în care se stabilesc principial conexiunile între elementele modelului electric, astfel încât ecuațiile diferențiale ce descriu comportarea să să fie de aceeași formă ca cele diferențiale ce descriu comportarea dinamică a prototipului, și modelarea cantitativă, în care se aleg în mod corespunzător factorii de scară pentru mărimele fundamentale ale modelului, rezultând, pe baza analizei dimensionale, factorii de scară pentru mărimele derivate și valorile coeficientilor ecuațiilor diferențiale corespunzătoare modelului electric.

Modelarea sistemelor mecanice vibrante liniare prin analogii dinamice se bazează pe observația că ecuațiile diferențiale ale mișcării prototipului sunt de aceeași formă cu ecuațiile diferen-

țiale ce rezultă prin aplicarea legilor lui Kirchhoff în circuite electrice liniare. Ca urmare, modelul electric realizat prin analogii dinamice pentru un astfel de prototip va conține ca elemente pasive rezistori, condensatori și bobine, interconectate în circuite electrice reprezentate printr-o schemă de conexiuni plană cu ochiuri și noduri și caracterizate prin rezistență electrică, capacitate electrică respectiv inductanță constantă, iar elementele active vor fi constituite din generatoare electrice de curent sau de tensiune. Există posibilitatea de a stabili două categorii de analogii dinamice pentru sistemele mecanice vibrante liniare, după cum se aplică prima sau a doua din legile lui Kirchhoff pentru modelul electric. Dacă forțele generalizate ce acționează asupra prototipului au drept corespondent în modelul electric tensiunile electromotoare ale generatoarelor de tensiune și căderile de tensiune pe elementele pasive, prin aplicarea legii a doua a lui Kirchhoff în bucle inchise se obține analogia "forță - tensiune" sau "directă". Un circuit electric ce constă din bucle inchise, că buclele alăturate având ramuri comune, poate constitui analogul unui sistem vibrant mecanic cu un număr de grade de libertate egal cu numărul buclelor. Dacă forțele generalizate ce acționează asupra prototipului au drept corespondent în modelul electric intensitățile curentilor electrici generați de generatoarele de curent și intensitățile curentilor electrici ce parcurg elementele pasive, prin aplicarea primei legi a lui Kirchhoff pentru noduri se obține analogia "forță - curent" sau "inversă". Un circuit electric ce constă din noduri, nodurile alăturate având elemente comune, poate constitui analogul unui sistem mecanic vibrant cu un număr de grade de libertate egal cu numărul nodurilor.

Pentru stabilirea relațiilor de analogie, se consideră un sistem mecanic vibrant liniar cu un singur grad de libertate.

In fig.3.1.a s-a reprezentat modelul mecanic de translație pentru un astfel de sistem, iar în fig.3.1.b și 3.1.c s-au reprezentat modelele sale electrice realizate prin analogiile forță - tensiune, respectiv forță - curent.

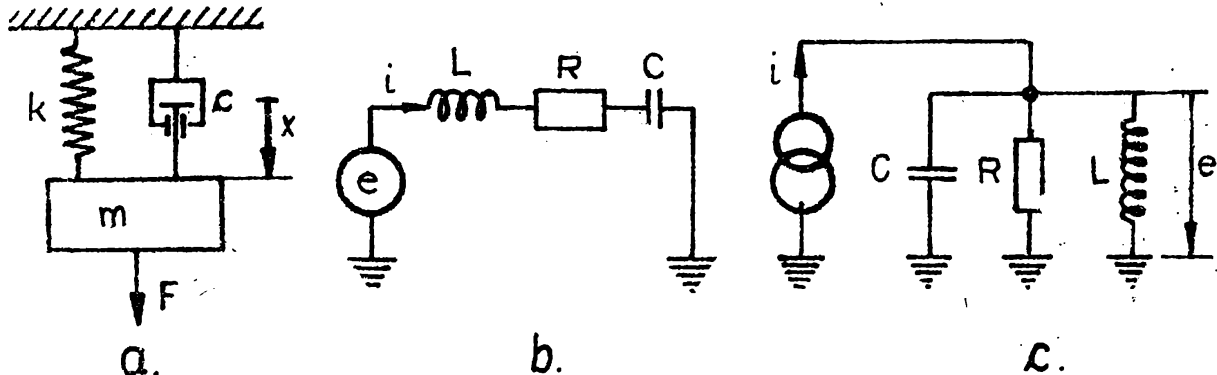


Fig.3.1

Considerind pentru modelul mecanic din fig.3.1.a ca parametru de poziție deplasarea  $x$  a masei  $m$  din poziția de echilibru static, aplicînd principiul lui d'Alembert, rezultă ecuația diferențială a mișcării prototipului:

$$F - m\ddot{x} - cx - kx = 0 \quad (3.1)$$

Aplicînd a doua lege a lui Kirchhoff pentru modelul electric din fig.3.1.b, se obține ecuația diferențială ce descrie comportarea modelului electric realizat pe baza analogiei forță - tensiune:

$$e - L \frac{d^2q}{dt^2} - R \frac{dq}{dt} - \frac{1}{C} q = 0 \quad (3.2)$$

în care  $q = q_0 + \int_0^t i dt$  este sarcina electrică momentană a condensatorului,  $q_0$  fiind sarcina electrică la momentul  $t_0 = 0$ .

Aplicînd prima lege a lui Kirchhoff pentru modelul electric din fig.3.1.c, se obține ecuația diferențială ce descrie comportarea modelului electric realizat pe baza analogiei forță - curent:

$$i - C \frac{d^2u}{dt^2} - \frac{1}{R} \frac{du}{dt} - \frac{1}{L} u = 0 \quad (3.3)$$

în care s-a notat  $u = u_0 + \int_0^t e dt$ .

Tabelul 3.1

Prototip mecanic				Model mecanic de rotație				Analogue forță - tensiune			
Nr. crt.	Denumire	Simbol	Denumire	Moment perturbator	Simbol	Denumire	Tensiunea electromotoră a generatorului de tensiune	Intensității de curent a gener. de curent	Simbol	Denumire	Analogie forță - curent
1	Forță perturbatoare	F		M					e		
2	Masă	m	Moment de inertie axial	J		Inductanță	L			C	Capacitate electrică
3	Coefficient de amortizare	$\zeta$	Coeficient de amortizare la forсиune	$\zeta_c$		Rezistență electrică	R	Conducțătoare electrică		G	$G = \frac{1}{R}$
4	Constantă elastică	k	Constantă elastică la forсиune	k		Inversul capacitatii	$\frac{1}{C}$	Inversul inducțantei		$\frac{1}{L}$	
5	Flexibilitate (complianță)	$\frac{1}{k}$	Flexibilitate la forсиune	$\frac{1}{k}$		Capacitate electrică	C	Inductanță	L		
6	Deplasare	x	Deplasare unghiulară	$\varphi$		Sarcina electrică	q			u	
7	Viteză	$\dot{x}$	Viteză unghiulară	$\dot{\varphi}$		Intensitatea curentului	i	Tensiune electrică		e	
8	Forță elastică	$kx$	Moment elastic.	$k\varphi$		Cădereea de tensiune pe condensator	$\frac{1}{C} q$	Intensitatea curentului în bobină		$\frac{1}{L} u$	
9	Forță de amortizare	$c\dot{x}$	Moment de amortizare	$c\dot{\varphi}$		Cădereea de tensiune pe rezistor	R i	Intensitatea curentului prin rezistor		Ge	
10	Forță de inerie	$m\ddot{x}$	Momentul forțelor de inerie	$J\ddot{\varphi}$		Tensiunea electromagnetică indușă	$L \frac{di}{dt}$	Intensitatea cuurent. în condensat		$C \frac{de}{dt}$	
11	Energie potențială	$\frac{1}{2} kx^2$	Energie potențială	$\frac{1}{2} k\varphi^2$		Energia electrostatică	$\frac{1}{2C} q^2$	-		-	
12	Energie cinetică	$\frac{1}{2} m\dot{x}^2$	Energie cinetică	$\frac{1}{2} J\dot{\varphi}^2$		Energia electromagnetică	$\frac{1}{2} L i^2$	-		-	

Se constată că ecuațiile diferențiale (3.2) și (3.3) sunt de aceeași formă cu ecuația diferențială (3.1) a mișcării prototipului. Relațiile de analogie ce rezultă sunt date în tabelul 3.1.

Sistemele mecanice vibrante liniare cu mai multe grade de libertate conduc la modele mecanice obținute prin legarea în serie sau în paralel a mai multor modele simple ca cel reprezentat în fig. 3.1.a. Modelarea calitativă a acestora pe baza analogiilor dinamice prezентate se poate face direct după modelul lor mecanic. Pentru aceasta, modelul mecanic se va reprezenta în așa fel, încât să se pună în evidență legăturile dintre elementele modelului, precum și legăturile dintre aceste elemente și exteriorul său, considerat imobil. Punctele în care sunt aplicate forțele exterioare perturbatoare, forțele elastice, de amortizare și forțele de inerție se numesc noduri în modelul mecanic, unul din aceste noduri fiind exteriorul modelului. Fiecare element din modelul mecanic va deveni, în această reprezentare să, un element de legătură între două noduri. Elementele modelului mecanic legate în paralel între două noduri se exprimă în analogia forță - tensiune prin legarea în serie a elementelor analoage într-o ramură a modelului electric, iar în analogia forță - curent se exprimă prin legarea în paralel a elementelor analoage între nodurile corespunzătoare ale modelului electric.

Pentru modelarea electrică pe baza analogiilor dinamice a sistemelor mecanice vibrante liniare se folosește de preferință analogi. forță - tensiune, deoarece generatoarele de tensiune sunt mai ușor de realizat și măsurătorile în modelul electric corespunzător se pot face mai ușor. În acest caz, la fiecare nod din modelul mecanic va corespunde o buclă închisă în modelul electric. În cele ce urmează se vor lua în considerare numai modelele electrice realizate pe baza acestei analogii.

Pentru modelarea electrică pe baza analogiilor dinamice a sistemelor mecanice nliniare, cu discontinuități în legea de mișcare sau parametrii variabili în timp, problema se complică.

Dificultatea întâmpinată în încercarea de a reprezenta o caracteristică particulară nliniară sau discontinuă printr-o analogie dinamică se datorează faptului că rar este posibil să se găsească un element electric nliniar a cărui caracteristică să o aproximeze pe cea cerută. În aceste cazuri este nevoie să se recurgă la dispozitive auxiliare cu diode și relee cu diferite grade de complexitate pentru a realiza analogia cu nliniaritatea sau discontinuitatea dorită. Pentru astfel de sisteme mecanice, în care categorie intră și sistemele mecanice vibropercutante de orice tip, modelarea electrică se poate realiza mai ușor și mai precis pe calculatoare electronice. Ca urmare, în cele ce urmează se vor lua în considerare modele electrice realizate pe baza analogiei forță - tensiune pentru sistemele mecanice vibropercutante liniare între ciocniri, având parametrii dinamici precizați. Aceste modele electrice se folosesc pentru verificarea existenței și stabilității unor tipuri concrete de mișcări vibropercutante periodice, determinate prin studii teoretice.

Pentru modelarea ciocnirilor în aceste modele electrice, este necesar ca, pe lîngă generatoarele de tensiune, care modelează forțele perturbatoare, să se realizeze ca elemente active și generatoare de impulsuri de tensiune, care să aibă în modelul electric efect analog cu efectul forțelor percutante asupra prototipului mecanic.

Pentru modelarea cantitativă pe bază analogiilor dinamice a sistemelor mecanice vibrante liniare sau vibropercutante liniare între ciocniri, este necesar să se proiecteze modelul electric, determinînd valorile parametrilor elementelor pasive și active din circuitul electric corespunzător. În acest scop, în primul rînd, se aleg factorii de scară pentru mărimele fundamentale ale modelului

mecanic. Pentru analogia forță - tensiune, factorii de scară se exprimă pe baza relațiilor de forma:

$$(t)_p = S_1(t)_m, \quad (x)_p = S_2(q)_m, \quad (u)_p = S_3(L)_m, \quad (3.4)$$

în care indicele  $p$  se referă la prototip, iar indicele  $m$  se referă la modelul electric. În al doilea rînd, înlocuind relațiile de forma (3.4) în ecuațiile diferențiale ale mișcării prototipului, în urma analizei dimensionale rezultă factorii de scară pentru mărurile derivate ale prototipului și, implicit, valorile parametrilor elementelor pasive și active ale modelului electric.

Extragerea datelor din modelul electric se efectuează prin măsurarea și înregistrarea unor măruri electrice variabile în timp. În cazul analogiei forță - tensiune, aceste măruri sunt intensitățile curentilor electrici în diferite ramuri de circuit și căderile de tensiune pe anumite elemente pasive. Este foarte important ca aparatul folosit pentru măsurarea și înregistrarea datelor să nu reacționeze cu circuitul electric. Ca urmare, aparatul folosit pentru măsurarea curentilor electrici trebuie să introducă o impedanță neglijabilă în circuit (oscilografe cu buclă), iar cele folosite pentru măsurarea tensiunilor electrice trebuie să aibă o impedanță de intrare foarte mare (volmetre electronice, osciloscoape catodice, etc.).

Pentru o modelare cât mai bună a unui sistem mechanic vibrant sau vibropercutant pe baza analogiilor dinamice, este necesar să se aleagă în aşa fel factorii de scară pentru mărurile fundamentale ale prototipului, încît modelul electric ce rezultă să îndeplinească următoarele condiții:

- Parametrii caracteristici pentru elementele active să poată fi reprodusi la generatoarele existente în comerț sau la generezări ușor de proiectat și de realizat.

- Valorile parametrilor electrici ale elementelor pasive

(rezistențe, capacitate, inductanțe) să fie, pe cît posibil, standardizate, sau să se poată realiza ușor, cu mare precizie.

- Valourile inductanțelor să fie relativ mici, iar rezistența electrică a bobinelor care le realizează să fie neglijabilă. Nu se poate mări inductanța bobinelor prin realizarea bobinelor cu miez de fier, deoarece apar nelinearități nedoreite în circuit, iar bobinele fără miez de fier cu inductanță mare (cu multe spire) și de rezistență electrică mică (secțiune mare a spirelor) rezultă foarte voluminoase.

- Impedanțele corespunzătoare elementelor pasive din circuitul electric nu pot fi niște exagerat de mari, nici foarte mici, pentru a permite extragerea datelor cu aparatelor de măsură și de înregistrare de care se dispune.

- Căderile de tensiune pe elementele pasive nu trebuie să depășească tensiunea lor nominală tot timpul încercărilor experimentale pe modelul electric, pentru a evita distrugerea lor. Pentru îndeplinirea acestei condiții este necesar să se țină seama și de supratensiunile ce apar în procesele tranzitorii.

Modelarea sistemelor mecanice pe calculatoarele electronice se poate realiza pe calculatoare analogice, numerice sau hibride.

Calculatoarele electronice analogice sunt destinate să simuleze ecuații diferențiale, efectuind integrări, derivări, adunări, scăderi, înmulțiri, împărțiri, generând funcții nelineare sau cu parametrii variabili, după cum rezultă din ecuațiile diferențiale simulate. Toate variabilele în calculatoarele electronice analogice, numite variabile de mașină, sunt reprezentate printr-un singur tip de mărime electrică și anume de tensiunea electrică, iar derivările și integrările se fac în raport cu timpul de mașină.

Modelarea cu ajutorul calculatoarelor analogice se bazează pe folosirea unui număr limitat de tipuri de elemente de calcul analogic. S-a constatat că următoarele elemente permit o modelare

ugoară:

- a) Elemente ce permit înmulțirea unei variabile de mașină cu o constantă. Deoarece această operație se realizează cu ajutorul unor potențiometrii elicoidali de precizie, aceste elemente se mai numesc potențiometrii.
- b) Dispozitive care realizează sumă a două sau mai multe variabile de mașină, numite sumatori.
- c) Dispozitive care realizează integrarea unor variabile de mașină în raport cu timpul de mașină, numite integratori.
- d) Dispozitive ce realizează produsul a două variabile de mașină, numite multiplicatori.
- e) Dispozitive care generează o dependență neliniară între două variabile de mașină, numite generațoare de funcții.
- f) Dispozitive ce realizează anumite decizii logice, pentru modelarea ecuațiilor diferențiale cu discontinuități. Cele mai răspândite dispozitive logice sunt comparatoarele, care realizează comutarea calculatorului de pe o buclă de calcul pe alta, în funcție de valoarea pozitivă sau negativă a unei variabile de mașină sau a sumei sau diferenței a două variabile de mașină.

Derivarea în raport cu timpul de mașină și împărțirea a două variabile de mașină nu se pot realiza cu precizie ridicată și cu dispozitive electronice stabile, dar aceasta nu afectează posibilitățile de modelare ale calculatoarelor electronice analogice.

Toate aceste tipuri de elemente de calcul analogic se pot realiza cu elemente electrice pasive (bobine, condensatori, rezistori) sau cu elemente active, ce conțin amplificatoare de curent continuu stabilizate cu reacție negativă, numite amplificatoare operaționale. Elementele pasive de calcul realizează operațiile de calcul analogic cu erori mari, de aceea în calculatoarele electronice analogice moderne se folosesc elemente active de calcul, având ca element de bază amplificatorul operational. În aceste

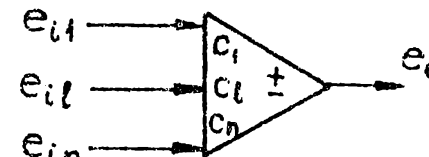
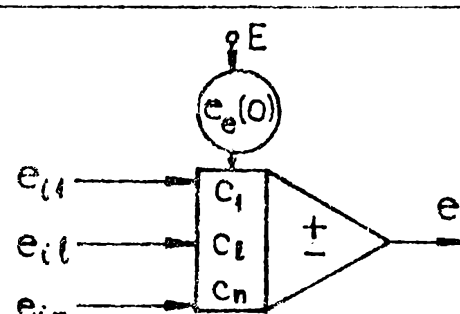
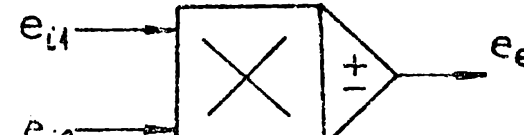
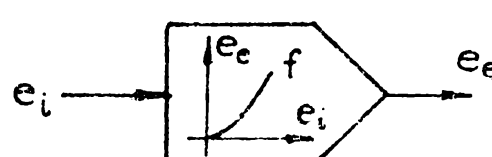
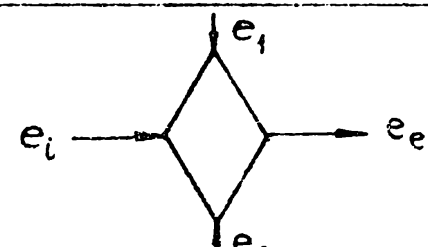
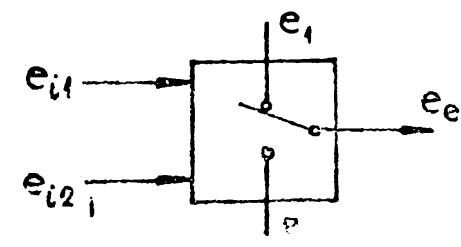
calculatoare numai operația de înmulțire cu o constantă a unei variabile de mașină se realizează cu elemente de calcul pasiv și anume cu potențiometrii.

Modelarea calitativă pe calculatorul analogic a unei ecuații diferențiale sau a unui sistem de ecuații diferențiale se realizează prin interconectarea elementelor de calcul analogic într-o sau mai multe bucle de calcul, care efectuează operațiile cerute de ecuațiile diferențiale. Utilizând simbolurile elementelor de calcul analogic din tabelul 3.2, se obține, astfel, o schemă de modelare calitativă, care poate fi simplificată (de principiu) sau detaliată, în funcție de detaliile de modelare pe care le conține.

La modelarea calitativă pe calculatorul analogic, pe schemele de modelare se notează direct variabilele corespunzătoare prototipului și nu variabilele de mașină de intrare (notate cu indicele i) sau de ieșire (notate cu indicele e) ale elementelor de calcul analogic. La o modelare calitativă simplificată se poate considera că elementele de calcul analogic operează cu matrici cu elemente constante sau variabile. De asemenea, nu se ține seama de coeficienții constanți de intrare la sumatoare și integratoare și nici de condițiile inițiale la integratoare.

Pentru modelarea cantitativă pe calculatorul analogic se întocmește o schemă de modelare detaliată, conținând toate detaliile necesare pentru realizarea conexiunilor între elementele de calcul pe calculatorul analogic și pentru fixarea coeficienților constanți și a condițiilor inițiale cu ajutorul potențiometrilor, operații care se încadrează în programarea calculatorului. Pe aceste scheme de modelare se notează variabilele de mașină corespunzătoare variabilelor prototipului și valorile coeficienților și a condițiilor inițiale care rezultă pe baza factorilor de scară aleși pentru mărimile fundamentale ale prototipului. În modelarea cantitativă trebuie să se țină secol că sumatoarele și integratoarele, care se

Tabelul 3.2

Nr. crt	Denumire	Simbol	Operatia de calcul
1	Potentiometru		$e_e = c e_i$
2	Sumator		$e_e = \pm \sum_{l=1}^n c_l e_{il}$
3	Integrator		$e_e = e_e(0) \pm \int_0^t \sum_{l=1}^n c_l e_{il} dt$
4	Multiplicator		$e_e = \pm e_{il} \times e_{il}$
5	Generator de functii		$e_e = f(e_i)$
6	Comparator		$e_e = \begin{cases} e_1 & \text{pt. } e_i > 0 \\ e_2 & \text{pt. } e_i < 0 \end{cases}$
7	Comparator		$e_e = \begin{cases} e_1 & \text{pt. } e_{il} - e_{il} > 0 \\ e_2 & \text{pt. } e_{il} - e_{il} < 0 \end{cases}$

realizează cu cîte un singur amplificator operational avînd reacție negativă, efectuează operațiile corespunzătoare cu schimbarea semnului și, în acest caz, nu se mai notează semnul "-". Prin urmare în orice schemă de modelare pe calculatoare analogice, dacă la sumatoare și la integratoare nu se indică semnul, se înțelege că acestea operează cu schimbarea semnului. De asemenea, în orice schemă de modelare, nu se mai notează coeficienții de intrare avînd valoarea 1.

Toate mărimele constante sau variabile ale modelului electric realizat prin modelare pe calculatorul analogic se exprimă prin tensiuni electrice raportate la tensiunea de referință a calculatorului, notată cu  $E$ . În modelarea cantitativă se întâlnesc dificultăți la alegerea factorilor de scară, deoarece, calculatoarele analogice lucrînd în curent continuu, viteza de variație a tuturor variabilelor de mașină trebuie să fie mică și, pentru o bună funcționare a elementelor de calcul analogic, este necesar ca toate variabilele de mașină să fie subunitare tot timpul calculului analogic. Ca urmare, pentru o bună modelare cantitativă este necesar să fie cunoscute valorile extreme ale variabilelor prototipului și factorii de scară să se determine din condiția ca valorile extreme ale variabilelor corespunzătoare de mașină să nu depășească valorile 1 sau -1. În probleme complexe, acest lucru este foarte dificil și de multe ori trebuie să fie făcute multe încercări experimentale pentru determinarea factorilor de scară pentru care sunt îndeplinite aceste condiții.

Modelarea sistemelor mecanice pe calculatoare electronice numerice se realizează tot pe baza ecuațiilor diferențiale ce descriu comportarea dinamică a prototipului. Calculatoarele numéricice oferă posibilități mai largi de modelare față de calculatoarele analogice sau față de modelele realizate pe baza analogiilor dinamice, iar eroarele de calcul pot fi făcute oricăr de mici, prin

alegerea unor metode adecvate de calcul numeric. La calculatoarele numerice nu trebuie să se țină seama de factorii de scară, de limitările impuse de condiția ca variabilele de mașină să nu depășească anumite valori și există metode numerice pentru integrarea ecuațiilor diferențiale de diferite tipuri, liniare sau neliniare, cu coeficienti constanti sau variabili, cu sau fără discontinuități, etc. Pentru modelarea calitativă pe calculatoarele numerice, după stabilirea algoritmului de calcul pe baza metodei numerice considerate, se întocmește schema logică, ce conține succesiunea operațiilor pe care trebuie să le efectueze calculatorul. Modelarea cantitativă constă în realizarea efectivă a programului, exprimat într-un limbaj de programare accesibil calculatorului, conținind programul principal, subrutele și datele numerice. Singurul dezavantaj al calculatoarelor electronice numerice față de cele analogice constă în faptul că intervalele de timp necesare pentru întocmirea programelor și, mai ales, intervalele de timp necesare efectuării calculului numeric cu precizie ridicată, extragerii datelor sub formă de grafice sau tabele, prelucrării acestora, etc., sunt mult mai mari decât în cazul folosirii calculatoarelor analogice. De asemenea, pentru urmărirea influenței unor parametrii dinamici asupra comportării dinamice a prototipului, în cazul folosirii calculatoarelor numerice este necesar să se schimbe cel puțin datele numerice, uneori chiar programul principal, și să fie rulat din nou programul.

La calculatoarele analogice modificările anumitor parametrii se realizează simplu, prin schimbarea valorii constantelor unor potențiometrii, dacă la modelarea cantitativă s-a ținut seama de aceste modificări. Ca urmare, pentru modelarea pe calculatoare electronice a sistemelor mecanice complexe, a căror comportare dinamică depinde de mulți parametrii, cum este și cazul sistemelor mecanice vibropercutante de orice tip, este mai avantajoas, mai economic, să se

studieze comportarea prototipului pe modele electrice realizate pe calculatoare analogice, folosindu-se calculatoarele numerice numai în cazurile în care este necesară o precizie ridicată.

La modelarea sistemelor mecanice pe calculatoare electronice numerice, precizia de calcul la integrarea numerică a ecuațiilor diferențiale ale mișcării depinde de metoda numerică folosită, care trebuie să fie cît mai rapid convergentă, și de mărimea pasului de integrare folosit, care trebuie să fie cît mai mic.. Rezultă că pentru o precizie ridicată, timpul de calcul necesar integrării ecuațiilor diferențiale este foarte mare, mult mai mare deci, timpul necesar efectuării oricăror alte operații de calculator. Se poate reduce substanțial timpul de rulare a unui program corespunzător modelării pe calculatorul numeric a unui sistem dinamic, dacă se cunoaște soluția sistemului de ecuații diferențiale ale mișcării pe baza unui studiu teoretic. De aici rezultă importanța exprimării analitice, sub formă matricială, a condițiilor de existență și de stabilitate ale mișcărilor vibropercutante periodice ale sistemelor cu mai multe grade de libertate, așa cum s-a arătat în capitolul precedent. Calculatoarele numerice operează comod și rapid cu matrici și se pot extrage ușor toate datele care interesează sub formă de grafice și diagrame.

Cele mai largi posibilități de modelare electrică ale sistemelor dinamice le oferă calculatoarele electronice hibride, constituite din interconectarea calculatoarelor numerice și analogice prin convertoare analog-numerice și numeric-analogice. În aceste sisteme hibride calculatoarele numerice au rol de comandă și de control a funcționării dispozitivelor analogice, având posibilitatea să realizeze stabilirea optimă a factorilor de scară pentru modelele pe calculatoarele analogice și să urmărească precizia calculului analogic. Partea analogică este destinată în exclusivitate

integrării ecuațiilor diferențiale ale mișcării, operație pe care o poate efectua ușor, rapid și cu o precizie comparabilă cu cea a calculatoarelor numerice.

### 3.2. Modelarea sistemelor mecanice vibropercutante pe calculatoare analogice

#### 3.2.1. Modelarea calitativă pe calculatoare analogice

##### 3.2.1.1. Schema de modelare calitativă simplificată pentru sisteme vibropercutante generale cu mai multe grade de libertate

Se consideră un sistem mecanic vibropercutant, având  $n$ , grade de libertate. În cazul cel mai general, ecuațiile diferențiale ale mișcării între două ciocniri consecutive sunt neliniare și se pot exprima sub forma (2.27), corespunzător unui model mecanic de sistem supus la  $\ell$  ( $\ell < n$ ) legături neolonomne scleronome date de (2.18). Pentru eliminarea multiplicatorilor din matricea  $\bar{\lambda}$ , se separă  $\ell$  ecuații diferențiale astfel încât matricea  $\underline{a}_\ell^T$  să fie nesingulară, obținindu-se sistemele de ecuații diferențiale de forma (2.28) și (2.29). Din sistemul (2.28) se determină matricea  $\bar{\lambda}$ , care înlocuită în (2.29) conduce la un sistem de  $m = n - \ell$  ecuații diferențiale în care nu mai apar multiplicatorii lui Lagrange. Acest sistem împreună cu cele  $\ell$  ecuații ale legăturilor neolonomne (2.18) formează un sistem de  $n$  ecuații diferențiale neliniare, care determină mișcarea sistemului vibropercutant între două ciocniri consecutive și este de formă:

$$\underline{\mathfrak{B}} \ddot{\underline{\mathfrak{q}}} + \underline{\mathfrak{C}} \dot{\underline{\mathfrak{q}}} + \underline{\mathfrak{D}} \underline{\mathfrak{q}} = \bar{\mathfrak{Q}} . \quad (3.5)$$

Pentru modelul mecanic considerat, elementele matricilor  $\underline{\mathfrak{B}}$  și  $\underline{\mathfrak{D}}$  depind numai de coordonatele generalizate, elementele matricii  $\underline{\mathfrak{C}}$  depind de coordonatele generalizate și de vitezele generalizate, iar forțele perturbatoare generalizate din matricea  $\bar{\mathfrak{Q}}$  depind de coordonatele generalizate și de timp.

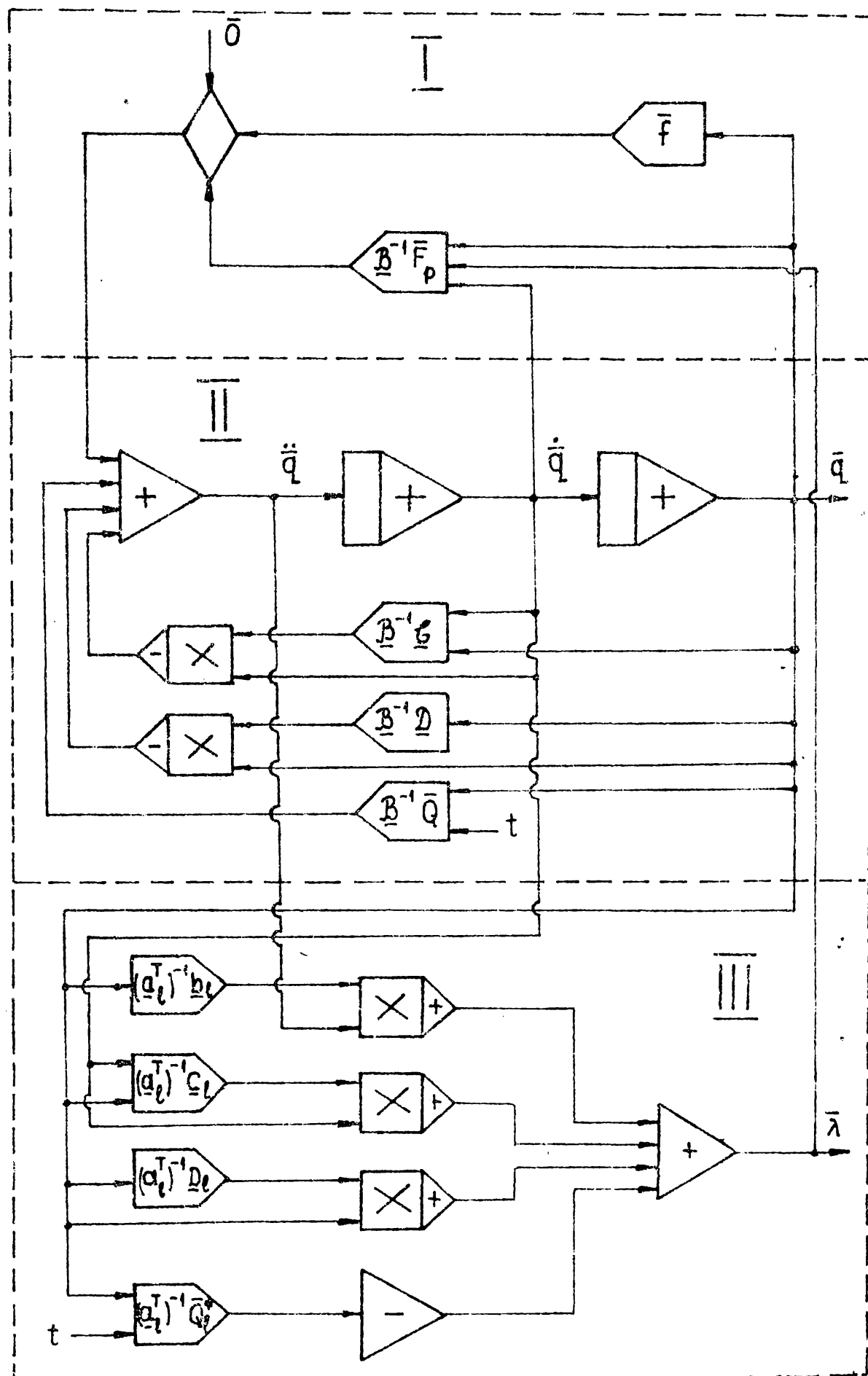


Fig. 3.2

In cazul cel mai general, sistemul vibropercutant poate să conțină mai multe couple percutante, fiecare din ele putind fi caracterizată de funcția legăturii unilaterale de forma generală (2.46) sau particulară (2.38), ceea de a doua formă fiind întâlnită cel mai frecvent în aplicații. De asemenea, pentru caracterizarea interacțiunilor percutante în timpul ciocnirilor, pentru fiecare cuplă percutantă este necesar să se exprime forțele percutante din zonele locale de contact prin relații de forma generală (2.65). Pentru toate couplele percutante, aceste relații caracteristice pentru modelarea matematică a ciocnirilor se pot exprima matricial sub forma:

$$\bar{F}(\bar{q}) \geq \bar{0} , \quad \bar{F}_p = \Psi(\bar{q}, \dot{\bar{q}}) , \quad (3.6)$$

în care matricea coloană  $\bar{F}$  are un număr de elemente egal cu numărul couplelor percutante, iar matricea coloană  $\bar{F}_p$  are un număr de elemente egal cu numărul gradelor de libertate al sistemului vibropercutant. În unele cazuri, atunci cînd printre corpurile care participă la ciocniri în unele couple percutante se află și unele cor puri supuse la legături neolonom, pentru exprimarea forțelor percutante din zonele locale de contact este necesar să se țină seama și de interacțiunile corpurilor corespunzătoare cu aceste legături, și elementele matricii  $\bar{F}_p$  pot să depindă și de valorile momentelor ale multiplicatorilor lui Lagrange din matricea  $\bar{\lambda}$ , corespunzători legăturilor neolonom considerate.

Pentru modelarea pe calculatoarele analogice a sistemelor mecanice vibropercutante generale, în primul rînd este necesar să se efectueze integrarea ecuațiilor diferențiale de forma (3.5), care determină mișcarea sistemului vibropercutant între două ciocniri consecutive. Pentru aceasta, presupunînd matricea  $\underline{B}$  nesingulară, se separă matricea coloană ce conține derivatele de cel

mai mare ordin ale funcțiilor necunoscute, aici matricea  $\ddot{\underline{q}}$  :

$$\ddot{\underline{q}} = \underline{B}^{-1} \ddot{\underline{Q}} - \underline{B}^{-1} \ddot{\underline{G}} \dot{\underline{q}} - \underline{B}^{-1} \ddot{\underline{U}} \underline{q} \quad (3.7)$$

Se constată că, pe baza ecuațiilor diferențiale ale mișcării scrise sub forma (3.7), folosind simbolurile elementelor de calcul analogic din tabelul 3.2, se poate construi ușor bucla de calcul analogic pentru determinarea mișcării între două ciocniri consecutive ale sistemului vibropercutant.

In al doilea rînd, pentru modelarea pe calculatoarele analogice a acestor sisteme vibropercutante generale, este necesar să se realizeze modelarea ciocnirilor. Aceasta se poate realiza în două moduri principial diferite, după cum ciocnirile pot fi considerate instantanee sau nu. Modelarea ciocnirilor instantanee se face mai simplu, cu ajutorul unor scheme de comutare realizate cu comparatoare care schimbă condițiile inițiale la integratoare pentru următorul interval dintre ciocniri, înlocuind vitezele de la începutul ciocnirilor cu cele care rezultă pe baza relațiilor de formă (2.62) pentru sfîrșitul ciocnirilor. In cazul cel mai general al ciocnirilor neinstantanee, pentru modelarea ciocnirilor se folosesc comparatoare, care delimită intervalele de timp în care au loc ciocnirile, și generatoare de funcții, care construiesc forțele percutante ce acionează suplimentar asupra corpurilor aflate în contact în timpul ciocnirilor. Dacă printre corpurile aflate în contact în timpul ciocnirilor se află și unele corperi supuse la legături neolonomice, pentru modelarea forțelor percutante este necesar să se țină seama și de multiplicatorii lui Lagrange corespunzători legăturilor neolonomice.

In fig.3.2 este reprezentată schema de modelare simplificată pentru un sistem vibropercutant general cu mai multe grade de libertate, la care ciocnirile sunt neinstantanee. In această schemă de modelare sunt delimitate cu linie intreruptă trei părți distincte, care rezolvă cîte una din problemele care se pun pentru mode-

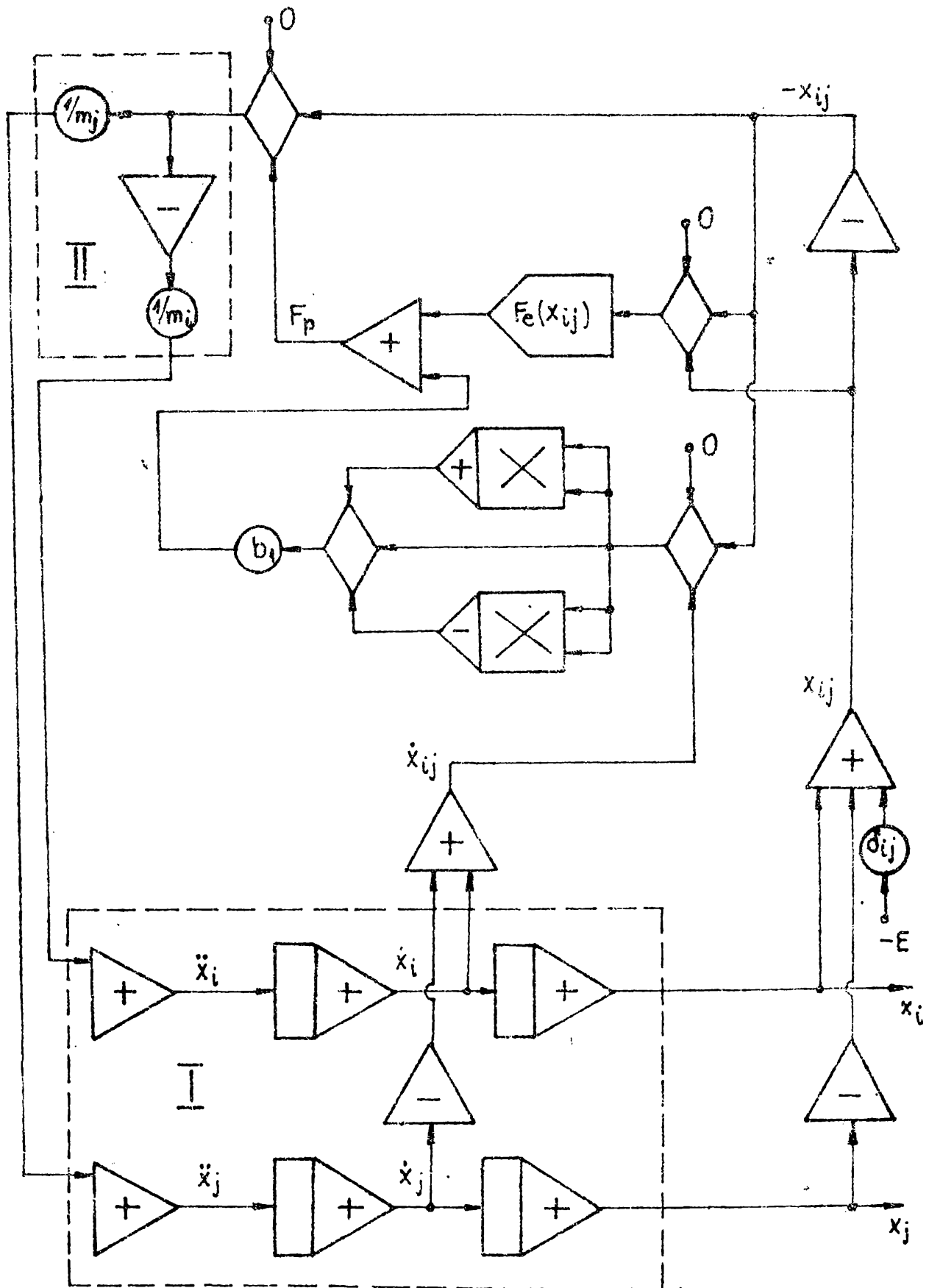


Fig. 3.3

lare. Partea II realizează integrarea ecuațiilor diferențiale ale mișcării, între ciocniri pe baza ecuației matriciale (3.7), iar în timpul ciocnirilor sub acțiunea suplimentară a accelerărilor corespunzătoare forțelor percutante. În timpul ciocnirilor, ecuația diferențială matricială a mișcării sistemului, exprimată sub forma accesibilă modelării, se poate scrie:

$$\ddot{\underline{q}} = \underline{B}^{-1} \underline{F}_p - \underline{B}^{-1} \underline{\epsilon} \dot{\underline{q}} - \underline{B}^{-1} \underline{\alpha} \ddot{\underline{q}} + \underline{B}^{-1} \underline{\zeta} \quad (3.8)$$

în care accelerările suplimentare corespunzătoare forțelor percutante au expresia matricială  $\underline{B}^{-1} \underline{F}_p$ . Partea I din schema de modelare realizează modelarea ciocnirilor neinstantanee, iar partea III furnizează multiplicatorii lui Lagrange corespunzători legăturilor neolonomice.

### 3.2.1.2. Modelarea calitativă a ciocnirilor neinstantanee

Se consideră cupla percutantă din fig.2.1, pentru care relația corespunzătoare funcției legăturii unilaterale între două ciocniri consecutive este (2.38). Cu notația (2.36), relația (2.38) se mai poate scrie:

$$-x_{ij} \geq 0 \quad (3.9)$$

În timpul ciocnirii centrice a maselor  $m_i$  și  $m_j$ , apropierea relativă  $x_{ij}$  a centrelor celor două mase, care reprezintă și deformarea totală în zona de contact, devine pozitivă. Momentele  $t_{k0}$  și  $t_k$ , corespunzătoare începutului și sfârșitului ciocnirii rezultă ca momentele successive pentru care  $x_{ij} = 0$ . Cele două faze ale ciocnirii sunt delimitate de momentul  $t_k''$  în care viteza relativă  $\dot{x}_{ij}$  a celor două mase devine nulă.

În modelarea pe calculatoarele analogice a ciocnirilor neinstantanee, delimitarea intervalelor de timp în care au loc ciocnirile și a fazelor ciocnirilor se realizează cu ajutorul comparatoarelor pe baza relației (3.9) și a condițiilor:

$$\begin{aligned}\dot{x}_{ij} &\geq 0 \text{ pentru } t \in [t_{k^0}, t_{k''}], \\ \dot{x}_{ij} &\leq 0 \text{ pentru } t \in [t_{k''}, t_{k'}].\end{aligned}\quad (3.10)$$

Modelarea forțelor percutante ce acționează asupra celor două mase în timpul ciocnirilor se efectuează pe baza expresiei generale (2.66), în care coeficienții  $d_1$  și  $b_1$  se determină experimental, depinzând de geometria corpurilor și de proprietățile materialelor, iar pentru parametrul  $m$ , în cele mai frecvente cazuri, se poate considera valoarea 1, corespunzător relației lui Hertz între componenta elastică  $F_e$  a forței percutante și deformația elastică a corpurilor aflate în contact. Deoarece coeficientul  $d_1$  are valori mari, ciocnirile sunt caracterizate prin deformații mici și forțe percutante de valori foarte mari. Ca urmare, în schemele de modelare pe calculatoarele analogice a ciocnirilor neinstantanee, este necesar ca părțile care modelează forțele percutante să fie protejate prin comparatoare, astfel încât nemai în intervalele scurte de timp în care au loc ciocnirile să genereze impulsuri de tensiune corespunzătoare forțelor percutante. De asemenea, la modelarea cantitativă a sistemelor vibropercutante, condiția de bază care trebuie să fie impusă pentru determinarea factorilor de scară este ca valoarea maximă a variabilei de mașină corespunzătoare forței percutante să nu depășească valoarea 1.

In fig.3.3 este reprezentată schema de modelare calitativă detaliată a ciocnirilor neinstantanee pentru cupla percutantă din fig.2.1, la care modelarea forțelor percutante s-a efectuat pe baza expresiei (2.66). Partea din schema de modelare delimitată prin linie întreruptă și notată cu 1 reprezintă sectoarele din buclele de calcul analogic care realizează integrarea ecuațiilor diferențiale ale mișcării pentru coordonatele  $x_i$  și  $x_j$ .

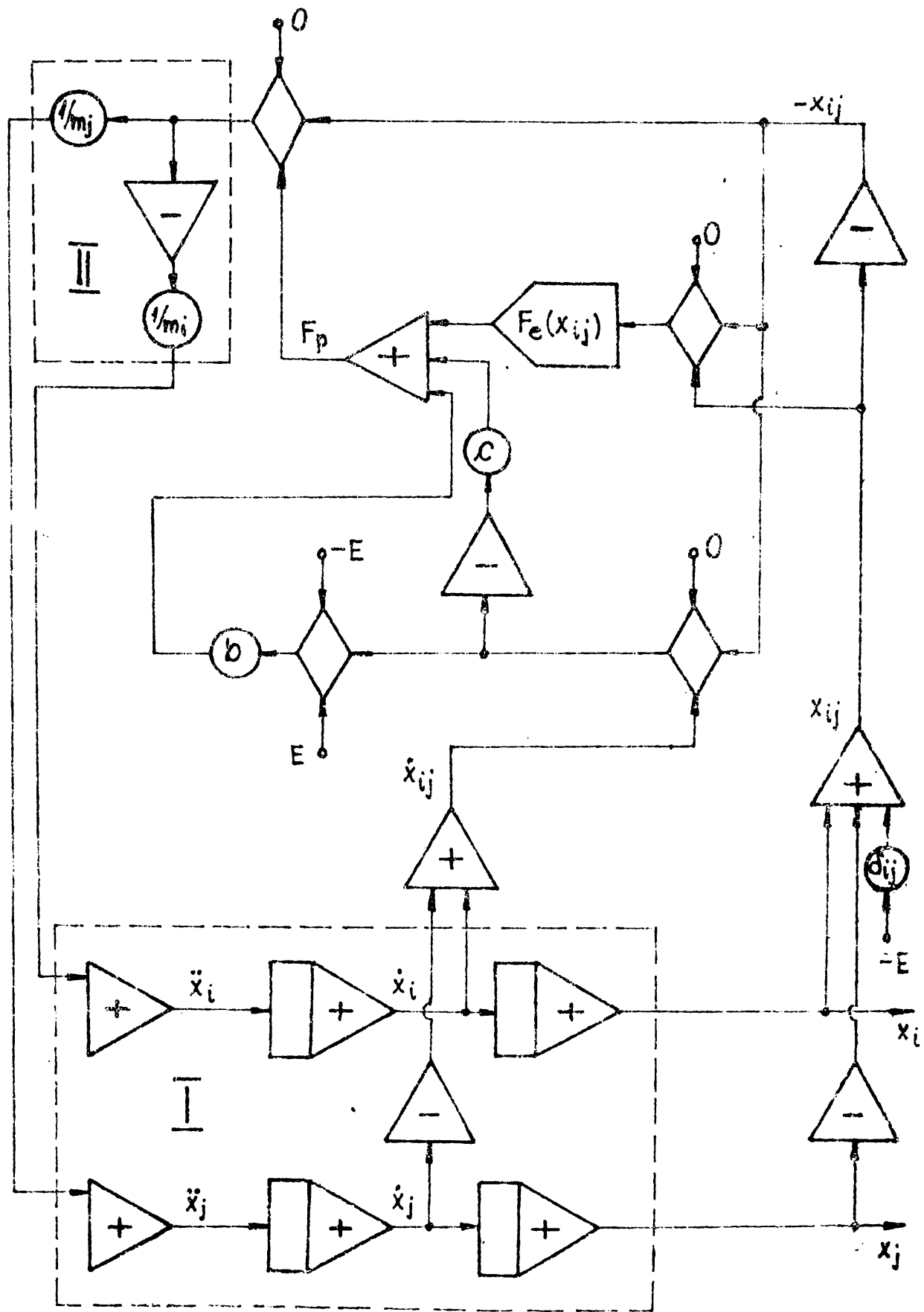


Fig. 3.4

Partea delimitată prin linie întreruptă și netată cu II efectuează repartizarea accelerărilor suplimentare datorită forțelor percutante, în timpul ciocnirilor la sectoarele din buclele de calcul analogic care realizează integrarea ecuațiilor diferențiale ale mișcării pentru coordonatele  $x_i$  și  $x_j$ . La această parte din schema de modelare s-a considerat că sistemul vibropercutant se reduce la un model de translație, astfel încât, din produsul matricial  $\underline{\underline{m}}^{-1} \underline{F}_p$ , pentru sectorul corespunzător coordonatei  $x_i$  se repartizează accelerarea suplimentară  $-\frac{1}{m_i} F_p$ , iar pentru cel corespunzător coordonatei  $x_j$  rezultă accelerarea suplimentară  $\frac{1}{m_j} F_p$ .

In literatura de specialitate, legată de modelarea matematică și pe calculatoare electronice a sistemelor vibropercutante, există unele lucrări în care la studiul ciocnirilor centrice se ține seama mai puțin de geometria corpurilor care se ciocnesc, avându-se în vedere în mod special proprietățile materialelor folosite în construcția de mașini. Aceste proprietăți sunt redată deținut de complet, în ceea ce privește modelarea ciocnirilor, prin modelele reologice ale diferitelor medii. În aceste modele reologice, corpurile care se ciocnesc se consideră ca fiind compuse dintr-o mulțime de elemente de volum de mase elementare, legate între ele prin elemente elastice, de fricare uscată și vîscoasă. Proprietățile modelelor reologice astfel obținute definește proprietățile mediilor vîsco-elasto-plastice, care sunt cele mai complexe din punctul de vedere al distribuției stărilor de tensiune și a deformațiilor în volumele corpurilor. Deoarece în studiul sistemelor vibropercutante starea de deformație a corpurilor nu prezintă interes, starea de tensiune a corpurilor în timpul ciocnirilor se poate aprecia global printr-un model al legăturii rigide de contact, în care sunt cuprinse integral proprietățile visco-elasto-plastice ale materialelor. Pe baza acestora

considerații, pentru cupla percutantă din fig.2.1, expresia forței percutante rezultă de forma:

$$F_p = F_e(x_{ij}) - c \dot{x}_{ij} - b \operatorname{sign} \dot{x}_{ij}, \quad (3.11)$$

în care  $b$  și  $c$  sunt constante ce se determină experimental.

Primul termen din (3.11) reprezintă componenta elastică a forței percutante și are expresia generală dată de primul termen din (2.66), iar celelalte două componente exprimă global influența frecărilor interne de natură uscată și vîscoasă asupra stării de tensiune dintre corporile aflate în contact în timpul ciocnirilor.

În lucrările [89], [102], [122] se prezintă unele modele pentru calculatoarele analogice ale unor sisteme vibropercutante particulare, la care modelarea ciocnirilor s-a realizat pe baza expresiei forței percutante de forma (3.11). În majoritatea modelelor din lucrările [89] și [122], precum și în modelarea amortizorului cu șocuri din lucrarea [102], componenta elastică a forței percutante se consideră liniară și se neglijeză influența frecărilor interne de natură uscată. În fig.3.4 este dată o schemă de modelare calitativă generală a ciocnirilor neinstantanee pentru cupla percutantă din fig.2.1, la care modelarea forței percutante se realizează pe baza expresiei generale (3.11). Părțile delimitate prin linie întreruptă și notate cu I, respectiv II, au aceleasi semnificații ca și în fig.3.3.

Metoda de modelare a ciocnirilor prezentată mai sus, fost folosită pentru studiul comportării dinamice a unor scule rotopercutante pentru construcții prin modelare pe calculatorul analogic, în cadrul unui contract de cercetare științifică cu Intreprinderea "6 Martie" din Timișoara, care produce utilaje pentru construcții. În fig.3.5 este prezentat modelul mecanic pentru astfel de scule rotopercutante. Acționarea sculei se realizează printr-un mecanism bielă-manivelă, având biela AB de lungime  $l$  mult mai mare decât lungimea  $r$  a manivei. Presupunând viteza unghiulară  $\omega$  a manivelei constantă,

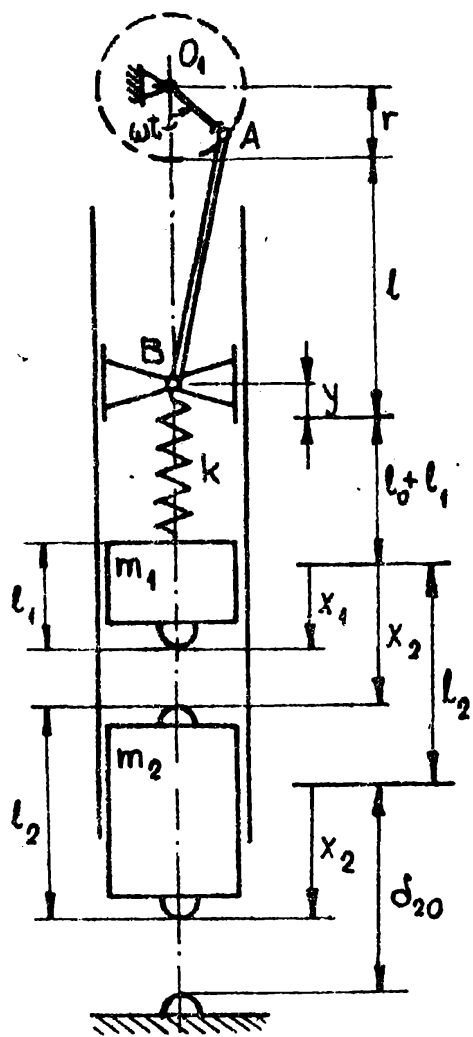


Fig. 3.5

deplasarea  $y$  a capătului B al bielei față de poziția considerată inițială, în care biela și manivela se află în prelungire, se poate exprima prin relația:

$$y = r(1 + \frac{1}{4} \frac{r}{l}) - r \cos \omega t - \frac{1}{4} \frac{r^2}{l} \cos 2\omega t. \quad (3.12)$$

Măsurînd parametrii de poziție  $x_1$  și  $x_2$  din poziția în care se află capătul arcului nedeformat cînd biela și manivela se află în prelungire, ecuațiile diferențiale ale mișcării sistemului între două ciocniri consecutive sînt:

$$\begin{aligned} m_1 \ddot{x}_1 &= m_1 g - k(x_1 + y) , \\ m_2 \ddot{x}_2 &= m_2 g . \end{aligned} \quad (3.13)$$

Folosind notațiile:

$$\omega_n^2 = \frac{k}{m_1} ; \quad \lambda = \frac{1}{4} \frac{r}{l} ; \quad g_1 = g - \omega_n^2 r(1 + \lambda) ; \quad g_2 = g , \quad (3.14)$$

ecuațiile diferențiale (3.13), ținînd seama și de expresia (3.12), se pot exprima sub forma:

$$\ddot{x}_1 + \omega_n^2 x_1 = g_1 + r \omega_n^2 \cos \omega t + \lambda r \omega_n^2 \cos 2\omega t , \quad (3.15)$$

$$\ddot{x}_2 = g_2 .$$

Relațiile îndeplinite între ciocniri de funcțiile legăturilor unilaterale corespunzătoare celor două couple percutante sînt:

$$x_2 - x_1 \geq 0 , \quad (3.16)$$

$$\delta_{20} - x_2 \geq 0 .$$

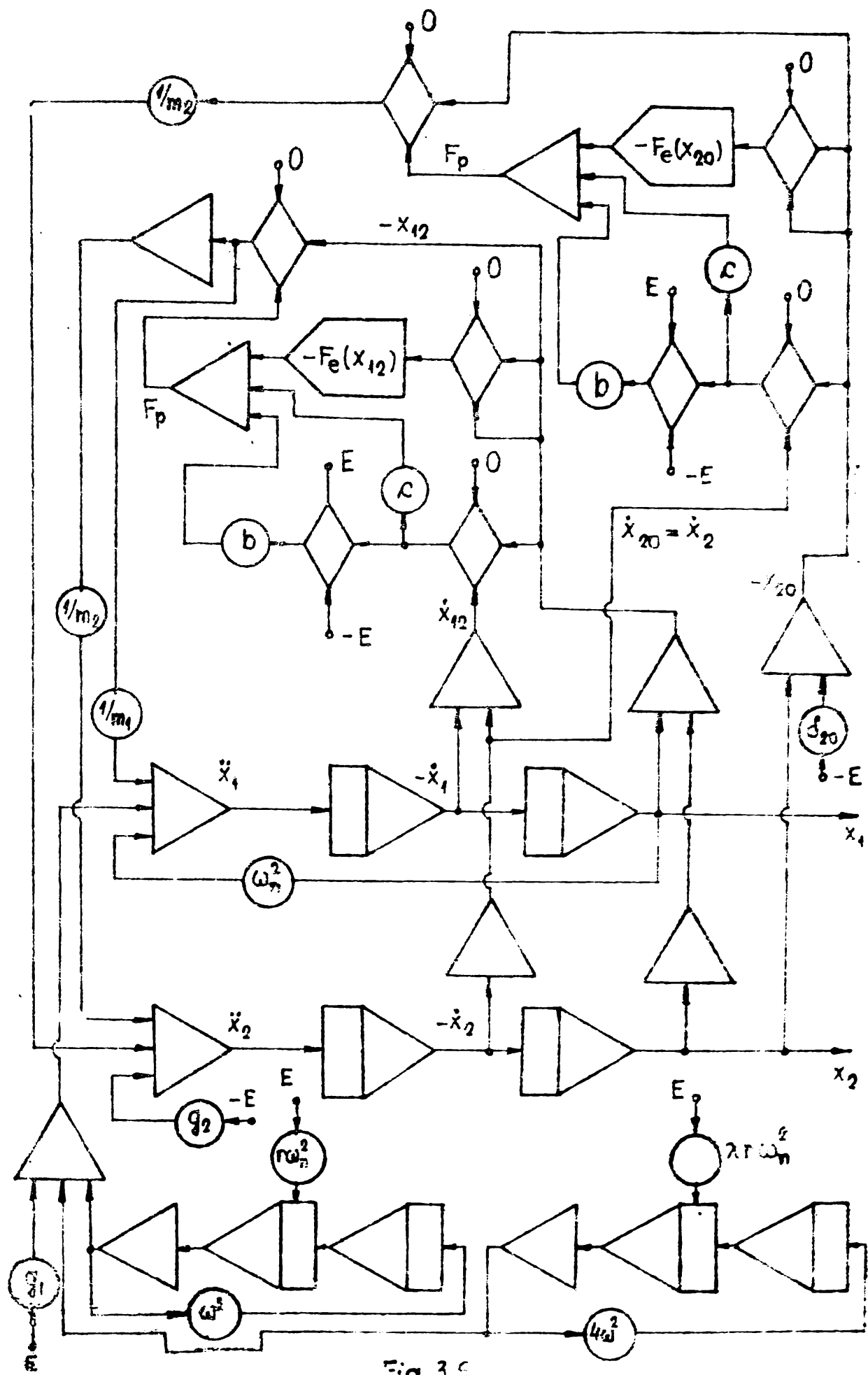


Fig. 3 c

Modelarea pe calculatorul analogic a sistemului vibropercutant considerat s-a efectuat pe baza ecuațiilor diferențiale (3.15), a relațiilor (3.16) și a expresiilor pentru forțele percutante de forma (3.11). În fig.3.6 este dată schema de modelare calitativă corespunzătoare. În această schemă de modelare s-a ținut seama că sumatoarele și integratoarele efectuează operațiile cu schimbarea semnului. În partea de jos a schemei de modelare sunt reprezentate sectoarele care realizează modelarea componentelor armonice din membrul drept al primei ecuații (3.15). Aceste sectoare s-au realizat pe baza observației că ecuația diferențială de forma:

$$\ddot{z} + \omega^2 z = 0 \quad (3.17)$$

cu condițiile initiale  $t = 0$ ,  $z = z_0$ ,  $\dot{z} = 0$ , are soluția armonică  $z = z_0 \cos \omega t$ .

În fig.3.7 sunt reprezentate diagrama mișcării și diagrama vitezei pentru masa  $m_2$  într-unul din regimurile vibropercutante periodice optime ale sistemului modelat, care se realizează cind ciocnirile dintre cele două mase au loc în momentele în care masa  $m_2$  are viteză nulă.

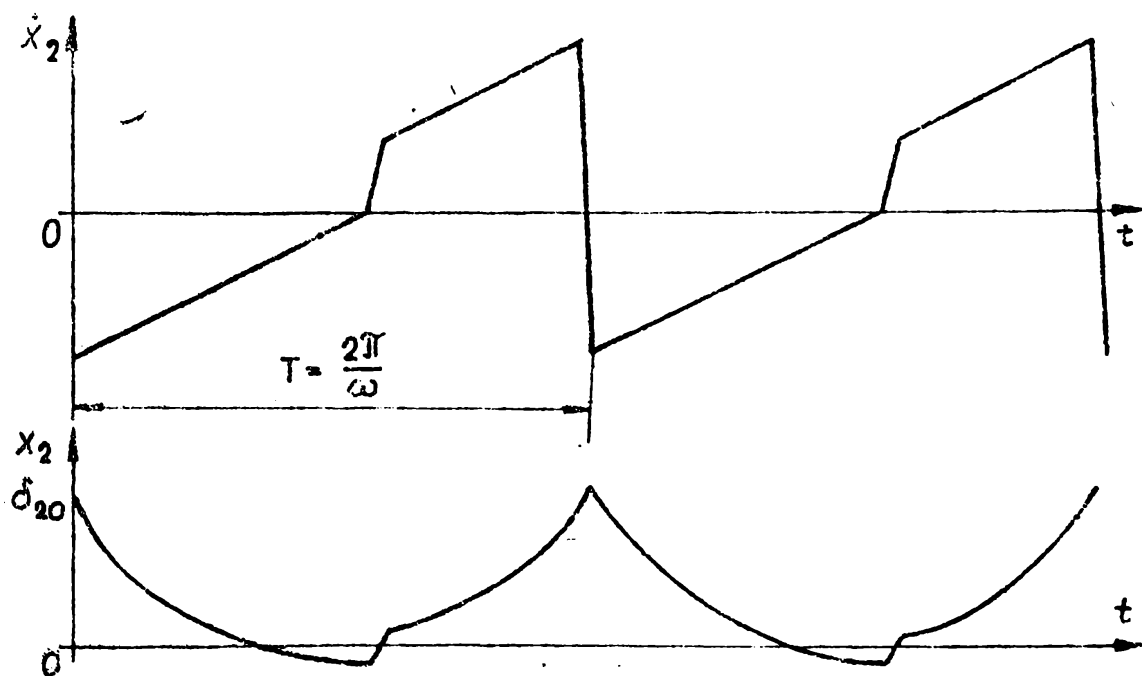


Fig. 3.7

### 3.2.1.3. Modelarea calitativă a ciocnirilor instantanee

Se consideră cupla percutantă din fig.2.1, pentru care este valabilă relația (2.38), la care ciocnirile se presupun instantanee. Prin urmare, se neglijeză efectul forțelor nepercutante în timpul ciocnirilor, astfel încât ciocnirile sunt caracterizate numai prin coeficientul de restituire  $K$ , cu ajutorul căruia se exprimă vitezele de translație ale corpurielor de mase  $m_i$  și  $m_j$  de la sfîrșitul ciocnirilor în funcție de vitezele de la începutul ciocnirilor pe baza relațiilor de formă (2.42). Rezultă că, în schemele de modelare pe calculatoarele analogice ale ciocnirilor instantanee, este necesar să se asigure în momentele ciocnirilor, cind este îndeplinită egalitatea în relația (2.38), schimbarea rapidă a condițiilor inițiale, la prizele integratoare din buclele de calcul analogic care realizează integrarea ecuațiilor diferențiale ale mișcării corpurielor de mase  $m_i$  și  $m_j$ , conform relațiilor (2.42). Pentru acesta, în circuitele de reacție negativă ale acestor integratoare trebuie să existe cîte doi condensatori identici, de precizie ridicată, care să fie conectați succesiv, în momentele ciocnirilor, la buclele de calcul analogic care realizează integrarea ecuațiilor diferențiale ale mișcării între două ciocniri consecutive. Astfel, dacă unul din acești condensatori intr-unul din intervalele de timp dintre două ciocniri consecutive este operant, fiind conectat între punctul sună de la intrarea integratorului corespunzător și ieșirea acestuia, cel de al doilea condensator trebuie să fie inoperant și să pregătească schimbarea condițiilor inițiale în momentul ciocnirii următoare, pentru care este necesar să fie conectat între mănu calculatorului și ieșirea circuitului analogic care calculează vitezele la sfîrșitul ciocnirilor în funcție de vitezele de la începutul ciocnirilor conform relațiilor (2.42). În momentul ciocnirii următoare, rolul celor doi condensatori se schimbă, primul devinând inop-

perant și al doilea operant pentru următorul interval de timp dintr două ciocniri consecutive.

Calculatoarele analogice MEDA-421A oferă posibilități largi de comutare comodă și rapidă de pe o buclă de calcul analogic pe alta, datorită existenței comparatoarelor cu comutare rapidă și datorită separării circuitelor de reacție și de intrare față de amplificatoarele operaționale cu care se realizează elementele active de calcul analogic. Astfel, comparatoarele conțin amplificatoare cu factor mare de amplificare a diferenței celor două variabile de intrare (dintre care una poate să fie nulă) și limitatoare de nivel de intrare, comutarea realizându-se rapid, în momentul în care diferența devine nulă, cu ajutorul unor relee polarizate. De asemenea, pentru realizarea integratoarelor este necesar să se conecteze intrarea și ieșirea amplificatoarelor operaționale respectiv la punctul sumă al circuitelor de intrare și la ieșirea circuitelor de reacție (care conțin condensatori cu ceealetă bornă conectată la punctul sumă), aceste circuite fiind dispuse separat, în așa numitele "cimpuri de integrare". În acest fel, pentru același integrator se pot folosi două cimpuri de integrare, care se conectează succesiv, cu ajutorul comparatoarelor, în buclele de calcul analogic.

În fig.3.8 este reprezentată schema de modelare analogică a ciocnirilor instantanee pentru cupla percutantă din fig.2.1. În partea centrală a schemei de modelare sunt dispuse buclele de calcul analogic care realizează integrarea ecuațiilor diferențiale ale mișcării pentru corporile de mase  $m_i$  și  $m_j$ , circuitele care prejătesc schimbarea condițiilor initiale, calculând expresiile vitezelor de la sfîrșitul ciocnirilor în funcție de cele corespunzătoare începutului ciocnirilor pe baza relațiilor (2.42), precum și circuitul care calculează funcția legăturii unilaterale  $f = -x_{ij} \geq 0$ . Aici valorile coeficientilor  $\lambda_i$  și  $\lambda_j$ , stabiliți cu ajuto-

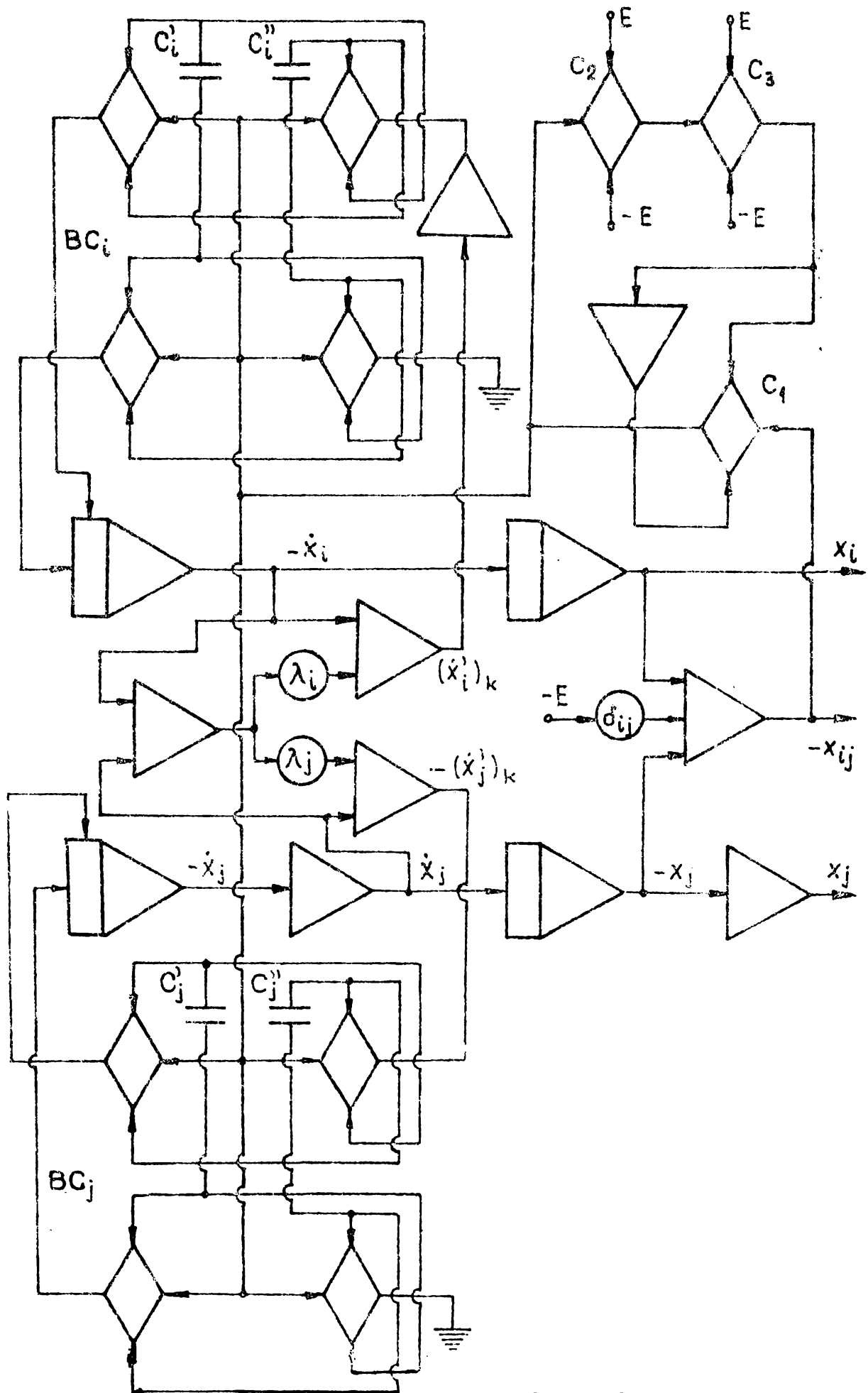


Fig. 3.8

rul r potențiometrii, au valorile:

$$\lambda_i = \frac{1 + R}{1 + \frac{m_i}{m_j}}, \quad \lambda_j = \frac{1 + R}{1 + \frac{m_j}{m_i}}. \quad (3.18)$$

Schimbarea condițiilor inițiale în timpul ciocnirilor se realizează cu ajutorul comparatoarelor  $C_1$ ,  $C_2$ ,  $C_3$  și a blocurilor de comparatoare  $BC_i$ , respectiv  $BC_j$ . În momentul în care  $-x_{ij}$  devine nul, se produce comutarea comparatorului  $C_1$ , care comandă comutarea comparatorului  $C_2$  și a blocurilor de comparatoare  $BC_i$ , respectiv  $BC_j$ . După comutarea blocurilor de comparatoare, se schimbă condițiile inițiale la primele integratoare din buclele de calcul analogic care realizează integrarea ecuațiilor diferențiale ale mișcării pentru corpurile de masă  $m_i$  și  $m_j$ , astfel încât  $-x_{ij}$  tinde să devină din nou pozitiv. Aceasta conduce la comutarea comparatorului  $C_1$  în poziția inițială, în același timp cu comutarea comparatorului  $C_3$ , comandată de  $C_2$ , care schimbă polaritățile bornelor de comandă ale comparatorului  $C_1$ . Se observă că rolul comparatorului  $C_2$  este de a întîrzi comutarea comparatorului  $C_3$ , astfel încât schimbarea polarităților bornelor de comandă ale comparatorului  $C_1$  să se realizeze după schimbarea condițiilor inițiale, în timp ce acesta revine la poziția inițială. În acest mod se evită apariția unor instabilități în funcționarea blocurilor de comparatoare care comandă schimbarea condițiilor inițiale, ceea ce ar putea duce la scurtcircuite.

Dăsi la calculatoarele analogice moderne se iau toate măsurile ca să se realizeze o comutare rapidă a comparatoarelor, totuși acestea au un timp de comutare finit, de ordinul zecimilor de secundă. Pentru acoperirea timpului de comutare a comparatorului  $C_1$ , în schema de modelare analogică se poate introduce un circuit de corecție, care să comande comutarea acestuia înaintea momentului ciocnirii cu un interval de timp egal cu timpul de comutare al comparato-

rului. Acest circuit de corecție trebuie să aducă la cealaltă intrare a comparatorului  $C_1$  o tensiune de corecție pozitivă, în general dependentă de  $-x_{ij}$  și de  $\dot{x}_{ij}$ , astfel încât comutarea acestuia să se producă la anularea diferenței dintre tensiunea  $-x_{ij}$  și tensiunea de corecție, înaintea momentului ciocnirii. Realizarea acestui circuit de corecție se poate face numai experimental, prin încercări pe calculatorul analogic.

Se constată că pentru modelarea ciocnirilor instantanee este nevoie de multe comparatoare, dar se evită utilizarea multipli-catoarelor și a generatoarelor de funcții neliniare, care operează cu erori mai mari decât elementele liniare de calcul analogic. Pentru o cuplă percutantă la care ciocnirile au loc între un corp și simbolul vibropercutant și un limitator rigid fix, pentru modelarea ciocnirilor instantanee este nevoie de un singur bloc de comparatoare pentru schimbarea condițiilor inițiale în timpul ciocnirilor. Pentru un sistem vibropercutant cu două sau mai multe couple percutante, pentru modelarea ciocnirilor instantanee la fiecare cuplă percutantă este necesar să se utilizeze 11 comparatoare, dacă ciocnirile au loc între două corpuri ale sistemului vibropercutant, sau 7 comparatoare, dacă ciocnirile au loc între un corp apartinând sistemului vibropercutant și un limitator rigid fix. Dacă sistemul vibropercutant conține două couple percutante la care ciocnirile au loc între aceleasi două corpuri ale sistemului, ca în cazul modelului din fig.2.5, modelarea pe calculatoare analogice a ciocnirilor instantanee se poate realiza numai cu 12 comparatoare. Pentru aceasta, schema de modelare analogică este asemănătoare cu cea reprezentată în fig.3.8, cu singura deosebire că înaintea comparatorului  $C_1$  este necesar să se plaseze un alt comparator  $C_0$ , care are rolul de a selecta cupla percutantă în care se va produce ciocnirea următoare (fig.3.9).

Această selectare se realizează în funcție de viteza relativă de la începutul ciocnirii următoare, presupusă de ordinul  $k$ , având

valoarea  $(\dot{x}_{ij})_k = (\dot{x}_i)_k - (\dot{x}_j)_k$  negativă, dacă ciocnirea următoare corespunde funcției legăturii unilaterale  $f_1$ , pentru care este îndeplinită relația (2.217), sau pozitivă, dacă ciocnirea următoare corespunde funcției legăturii unilaterale  $f_2$ , pentru

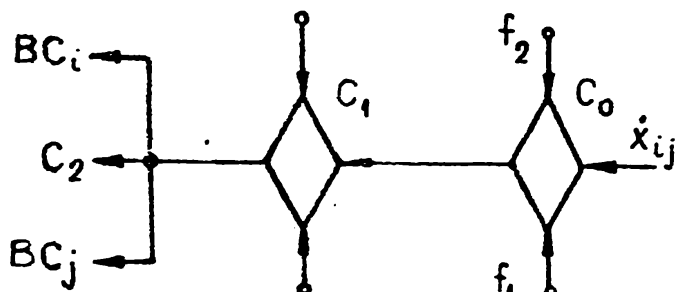


Fig. 3.9

care este îndeplinită relația (2.213). Prin urmare, la intrarea comparatorului  $C_0$  trebuie să se aducă tensiunea  $\dot{x}_{ij} = \dot{x}_i - \dot{x}_j$ , iar la bornele sale de comandă  $f_1$  și  $f_2$ . Tinind seama de relațiile (2.219), circuitele care calculează expresiile vitezelor de la sfîrșitul ciocnirilor în funcție de cele de la începutul ciocnirilor și conexiunile din blocurile de comparatoare  $BC_i$  și  $BC_j$  vor fi asemănătoare celor din schema de modelare din fig.3.3, cu deosebitarea că trebuie să se schimbe între ei indicii  $i$  și  $j$ , deoarece funcția legăturii unilaterale  $f_1$  corespunzătoare cuplei percutante din fig.2.1 este identică cu funcția legăturii unilaterale  $f_2$ , corespunzătoare celei de a doua cuplă percutantă din fig.2.5.

Pe baza principiilor de modelare pe calculatoarele analogice a ciocnirilor instantanee, care au fost prezentate mai sus, se pot construi scheme de modelare analogică pentru orice sisteme vibropercutante, la care ciocnirile se pot considera instantanee. Autorul a realizat și a studiat numeroase modele pentru calculatoare analogice, corespunzătoare unor sisteme viscopercutante cu

unul, două sau mai multe grade de libertate, liniare sau neliniare între ciocniri, având aplicații în diverse domenii ale tehnicii și producției. Astfel, în cadrul contractului de cercetare științifică cu Intreprinderea "6 Martie" din Timișoara, pentru modelul mecanic al sculelor rotopercurtante din fig.3.5 s-au realizat și studiat scheme de modelare analogică corespunzătoare ciocnirilor instantanee, obținându-se rezultate foarte apropiate de cele obținute pe modelul corespondator ciocnirilor neinstantanee. De asemenea, în cadrul unui contract de cercetare științifică cu I.C.M. Reșița, în care s-au studiat posibilitățile de îmbunătățire a procesului tehnologic de formare folosind vibrațiile și vibropercuțiile, s-a studiat experimental și pe calculatorul analogic influența parametrilor diferitelor regimuri de mișcare vibropercutantă asupra calității măsurilor, determinându-se valorile optime ale acestor parametrii [48], [139], [194]. În lucrarea [136] se prezintă un model pentru calculatoarele analogice pentru un sistem vibropercutant cu un grad de libertate cu două couple percutante și cu ciocniri instantanee, corespondator unui model mecanic de amortizor cu șocuri, care a fost studiat teoretic anterior [173].

În cele ce urmăzează, se prezintă schema de modelare analogică pentru un model mecanic de sistem vibropercutant cu două grade de libertate și o cuplă percutantă, liniar între ciocniri, având ciocniri instantanee (fig.3.10). La un astfel de model mecanic se pot reduce, de exemplu, mașinile și instalațiile folosite pentru baterea pilonilor în pămînt, mașinile vibropercutante pentru tasa-re terenurilor, etc. Schema de modelare pe calculatoarele analogice pentru acest model mecanic este dată în fig.3.11, fiind realizată prin particularizarea schemei de modelare analogică din fig.3.8. Aici este reprezentat și circuitul de corecție necesar pentru acoperirea timpului de comutare al comparatoarelor, care

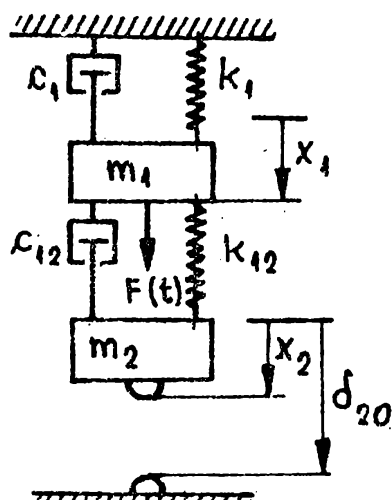


Fig.3.10

trebuie să comande comutarea comparotorului  $C_1$  cu o fracție de secundă înaintea momentului ciocnirii următoare. Pentru aceasta, la cea de a doua intrare a comparatorului  $C_1$  se aduce o tensiune mică pozitivă, aici proporțională cu viteza de translație a corpului de masă  $m_2$ , valoarea coeficientului  $\alpha$  fiind mică și determinându-se experimental, prin încercări pe calculatorul analogic.

In partea superioară a schemei de modelare din fig.3.11 este reprezentată bucla de calcul analogic, care realizează generarea forței perturbatoare  $F(t)$ . S-a considerat că această forță perturbatoare are variația optimă în timp, de forma (2.27o). Pentru generarea ei, fără a folosi generatoare de funcții neliniare, s-a ținut seama de faptul că ecuația diferențială (3.17), cu condițiile inițiale  $t = 0$ ,  $z = 0$ ,  $\dot{z} = v_0$ , are soluția armonică  $z = \frac{v_0}{\omega} \sin \omega t$ , iar comparatorul  $C_4$  realizează funcția neliniară  $= \text{sign}(\sin \omega t)$ .

#### 3.2.1.4. Modelarea calitativă a semicuplelor percutante

Modelarea pe calculatoarele analogice a semicuplelor percutante, a jocurilor și a caracteristicilor neliniare se poate realiza ușor cu ajutorul generatoarelor de funcții neliniare.

Deoarece acestea, în general, operează cu erori mari, se caută scheme de modelare pe calculatoarele analogice a funcțiilor neliniare cu ajutorul comparatoarelor, la care se pot realiza ușor circuite de compensare a erorilor care se datorează timpului finit

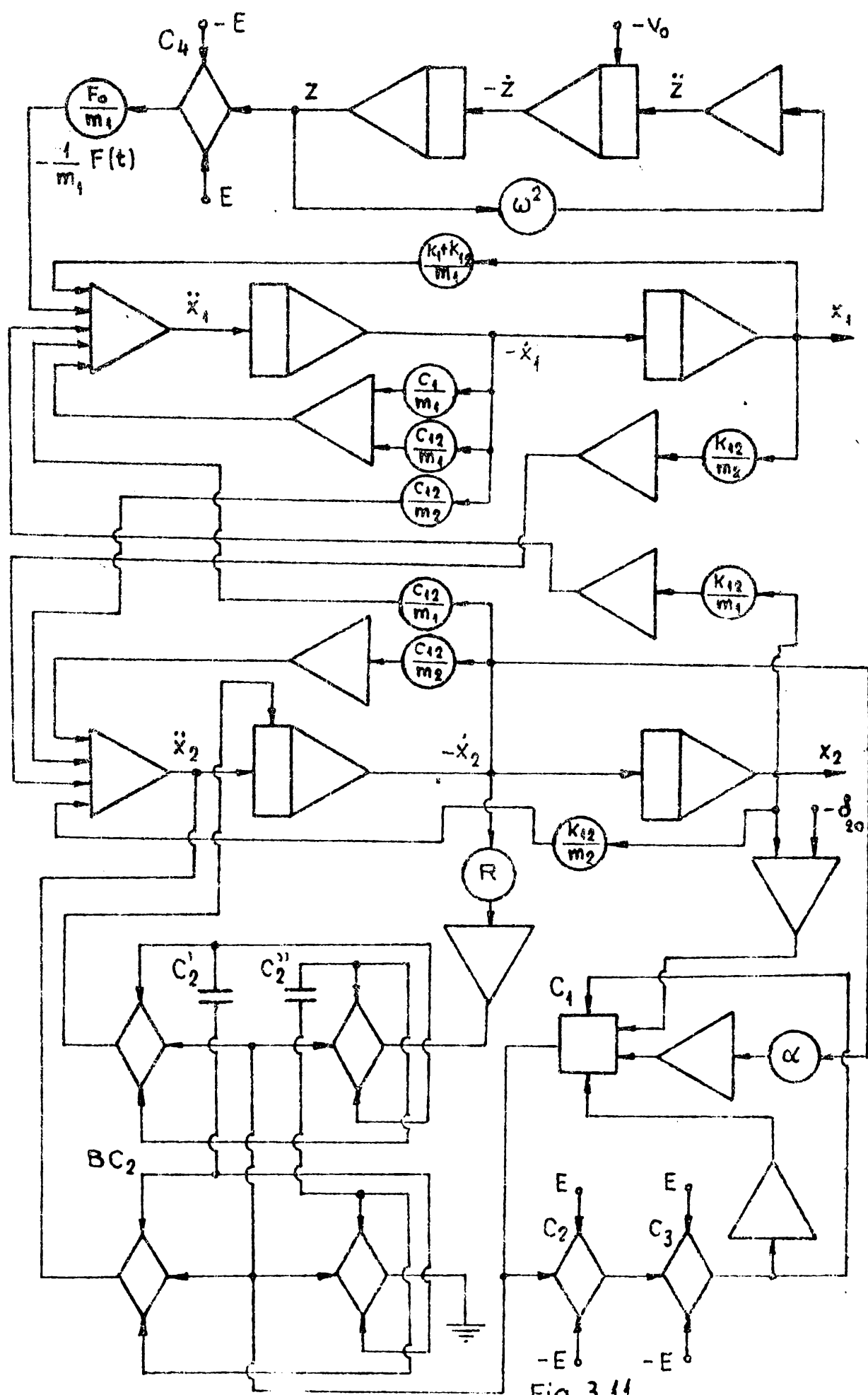


Fig. 3.11

de comutare al comparatoarelor, aşa cum s-a arătat în paragraful precedent. În aplicațiile practice, caracteristicile de amortizare neliniare se modelează, în mod obișnuit, cu ajutorul generatoarelor de funcții neliniare, în timp ce pentru modelarea caracteristicilor elastice neliniare se apelează, tot mai frecvent, la utilizarea comparatoarelor. Astfel, dacă între corpurile de mase  $m_i$  și  $m_j$  ale unui sistem vibrant sau vibropercutant redus la un model mecanic de translație se află un element elastic neliniar, modelarea pe calculatoarele analogice a caracteristicii sale elastice se poate realiza cu ajutorul generatoarelor de funcții neliniare sau cu ajutorul comparatoarelor. În ambele cazuri, caracteristica elastică neliniară se liniarizează pe porțiuni, folosind una din metodele analitice de liniarizare, astfel încât caracteristica elastică liniarizată să aproximeze cât mai bine caracteristica neliniară. În cazul folosirii generatoarelor de funcții neliniare, trecerea de pe o latură a liniei poligonale ce aproximează caracteristica elastică neliniară pe alta alăturată se realizează cu ajutorul diodelor polarizate, care pot introduce erori de modelare, datorită curentilor de polarizare inversă diferenți de zero și datorită modificării caracteristicilor de funcționare ale diodelor în timp și cu temperatura. De asemenea, potențiometrii cu care se regleză coordonatele punctelor de frângere ale liniei poligonale au o precizie mai scăzută decât potențiometrii folosite pentru stabilirea coeficientilor ecuațiilor diferențiale, care sunt potențiometrii elicoidali cu mai multe începuturi, asigurînd o variație continuă a rezistenței lor. Din aceste considerente, în schemele de modelare analogică a caracteristicilor neliniare, a jocurilor, a cuprelor și a semicuplelor percutante se evită, dacă este posibil, utilizarea generatoarelor de funcții neliniare.

In fig.3.12 este reprezentată o astfel de linie poligonala, corespunzătoare unei caracteristici elastice neliniare, liniarizată pe porțiuni. Caracteristica elastică fiind simetrică față de origine, pentru fiecare polaritate a forței elastice  $F_e$ , respectiv a deformației elementului elastic  $x_j - x_i$ , s-au considerat cîte trei laturi ale liniei poligonale. Pentru modelarea cu ajutorul comparatoarelor a acestei caracteristici elastice neliniare, se observă că liniarizarea pe porțiuni a caracteristicii neliniare este echivalentă cu introducerea între corpurile de mase  $m_i$  și  $m_j$ , în locul elementului elastic neliniar, a unor semicuple percutante, dispuse simetric față de corpul de masă  $m_j$ , constituite din limitatori elastici legați de corpul de masă  $m_j$ , așa cum se arată în fig.3.13. În cazul considerat, modelul din fig.3.13 conține două perochi de semicuple percutante, pentru care se pot exprima funcții ale unor legături unilaterale ca și în cazul couplelor percutante, cu ajutorul cărora se pot stabili relații de aceasi formă:

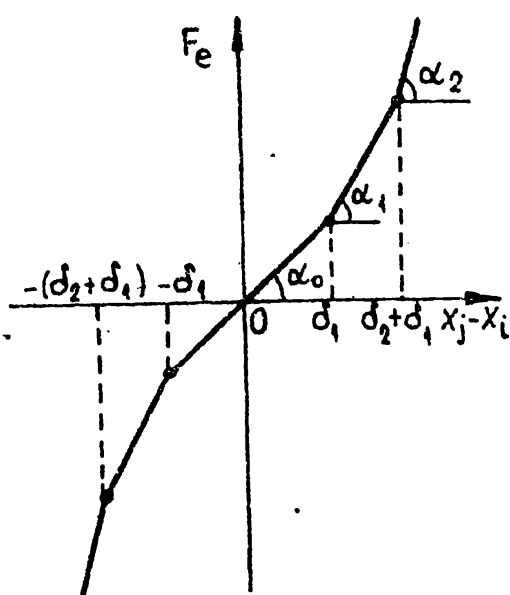


Fig. 3.12

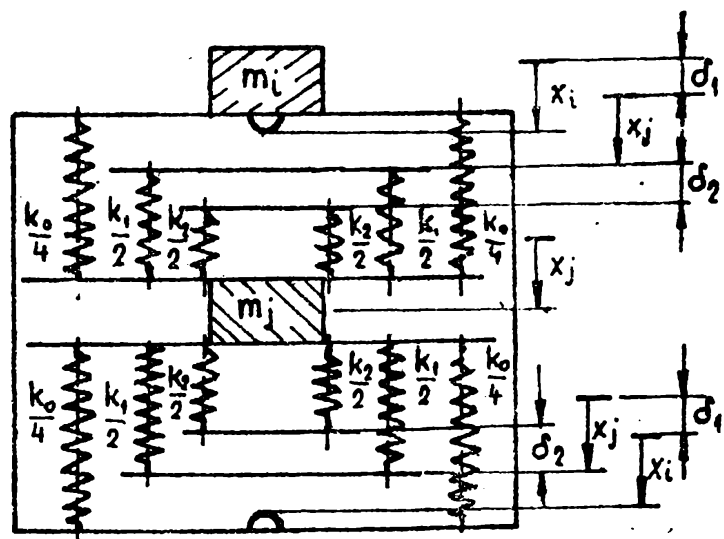


Fig. 3.13

$$f_1^l = \delta_1 - x_i + x_j \geq 0, \quad f_1^u = \delta_1 - (x_j - x_i) \geq 0, \quad (3.19)$$

$$f_2^l = \delta_1 + \delta_2 - x_i + x_j \geq 0, \quad f_2^u = \delta_1 + \delta_2 - (x_j - x_i) \geq 0,$$

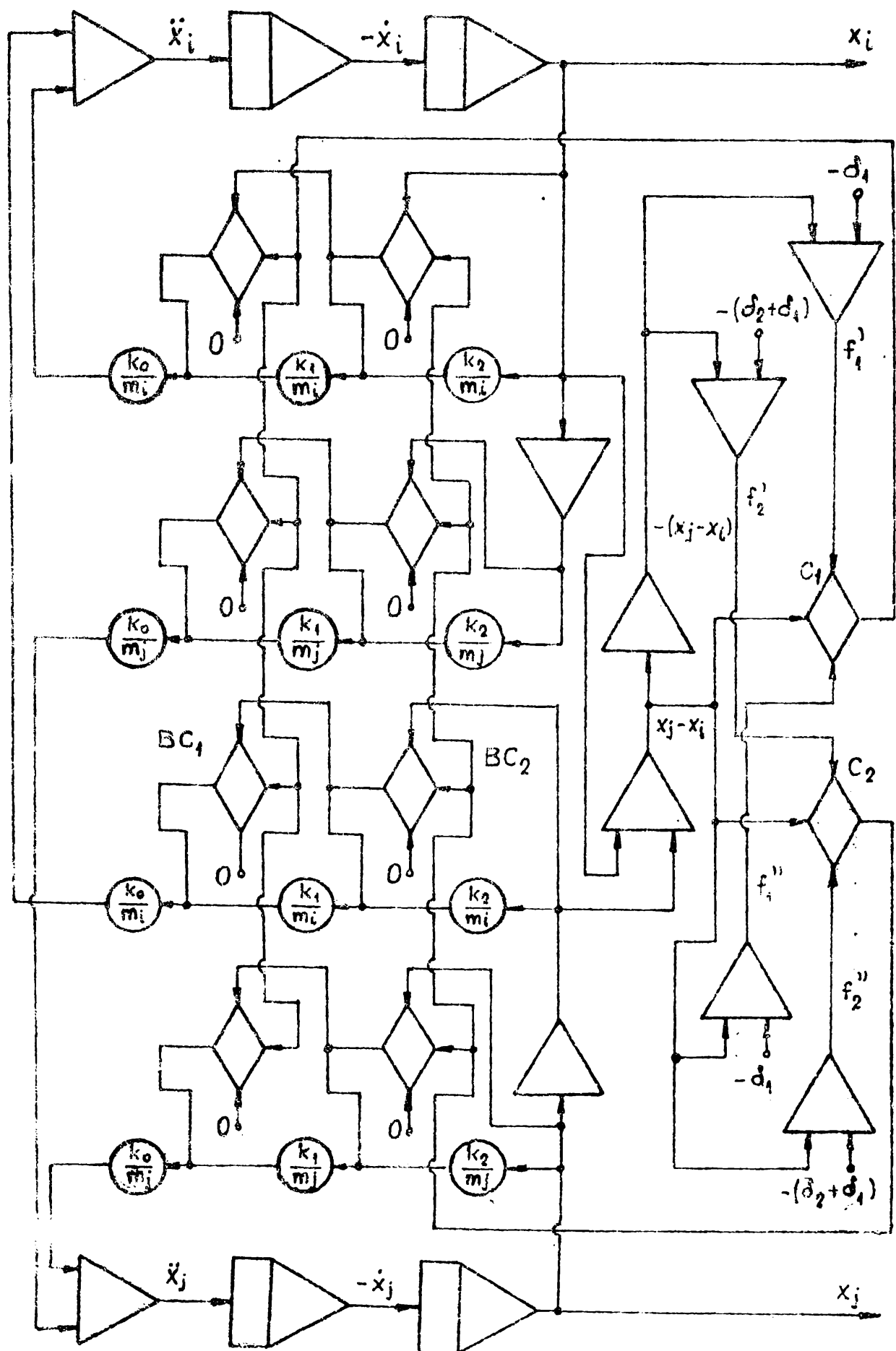
valabile în intervalele de timp ale mișcării sistemului între cele două semicuple percutante simetrice corespunzătoare unei perechi.

Valorile pentru constanta elastică  $k_0$  și constantele elastice ale semicupelor percutante rezultă din fig.3.12:

$$k_0 = \operatorname{tg} \alpha_0, \quad k_1 = \operatorname{tg} \alpha_1 - \operatorname{tg} \alpha_0, \quad k_2 = \operatorname{tg} \alpha_2 - \operatorname{tg} \alpha_1. \quad (3.20)$$

In fig.3.14 este reprezentată schema de modelare pe calculatoarele analogice a caracteristicii elastice neliniare considerate, liniarizată pe porțiuni cu ajutorul celor două perechi de semicuple percutante. Comparatoarele  $C_1$  și  $C_2$  selecteză semicupla percutantă din fiecare pereche, la care urmează să fie îndeplinită egalitatea în relațiile (3.19), în funcție de sensul deformației elementului elastic  $x_j - x_i$ . Blocurile de comparatoare  $BC_1$  și  $BC_2$  scurtează potențometrii corespunzători în intervalele de timp ale mișcării sistemului în care sunt verificate relațiile (3.19) și fi introduc pe rînd în buclele de calcul analogic, după cum funcțiile legăturilor unilaterale (3.19) devin pe rînd negative. Compensarea erorilor datorită timpului finit de comutare al comparatoarelor se poate realiza ușor, considerind pe lângă  $\delta_1$  și  $\delta_2$  valori mai mici decât cele care rezultă din liniarizarea pe porțiuni a caracteristicii neliniare din fig.3.12, pentru aceasta luîndu-se valoarele  $\delta_1 - \beta_1$ , respectiv  $\delta_2 - \beta_2$ , unde  $\beta_1$  și  $\beta_2$  au valori nici și se determină experimental, prin încercări pe calculatorul analogic.

Jocurile între anumite elemente constructive ale unui sistem mecanic vibrant sau vibropercutant corespund în modelul mecanic unor couple sau semicouple percutante, având, în general, caracter visco-elasto-plastic. La rîndul lor, componentele elastice neliniare ale forțelor percutante din cupluri percutante din timpul cioc-



nirilor se pot liniariza conducind la semicuple percutante, aşa cum s-a arătat mai sus. În cazul unei caracteristici vîsco-elastice neliniară, aceasta se poate liniariza pe porțiuni, în general pe subdomenii ale deformației elastice, ceea ce conduce la modele mecanice cu semicuple percutante constituite din limitatori cu caracteristici vîsco-elastice liniare, dar la care se determină mai greu momentele și pozițiile contactelor inițiale și desprinderilor de legăturile unilaterale corespunzătoare semicuprelor percutante. Ca urmare, în schemele de modelare pe calculatoarele analogice a jocurilor, a cuprelor percutante, a semicuprelor percutante și a caracteristicilor neliniare, componentele elastice ale forțelor se modelează cu ajutorul comparatoarelor, așa cum s-a arătat mai sus, în timp ce pentru modelarea caracteristicilor de amortisare uscată sau vîscoasă și a componentelor plastice ale forțelor se apelează la generatoarele de funcții neliniare.

### 3.2.2. Modelarea cantitativă pe calculatoare analogice

Pentru modelarea cantitativă pe calculatoarele analogice a sistemelor vibropercutante trebuie să se țină seama de limitele impuse de funcționarea elementelor de calcul analogice și a dispozitivelor auxiliare. Așa cum s-a arătat și în paragraful 3.1, elementele de calcul analogic asigură o precizie ridicată și stabilitatea buclelor de calcul analogic, dacă tot timpul calculului analogic toate variabilele de mașină nu valori cuprinse între -1 și 1, iar frecvențele maxime ale acestor tensiuni variabile nu depășesc anumite limite, ce depind de calculator, unele dispozitive auxiliare, cum sunt înregistratoarele coordonate, folosite frecvent pentru extragerea datelor din calculatoarele analogice, limitând și mai mult frecvențele mici ale variabilelor de mașină, datorită benzilor lor de frecvență de funcționare foarte înguste și de frecvență mică.

Pentru modelarea cantitativă pe calculatoarele analogice a sistemelor dinamice, este necesar să se aleagă factorii de scară, astfel încât să fie respectate aceste limite. În primul rînd, trebuie să se aleagă factorul de scară pentru variabilele independente, care sunt timpul real ( $t$ ) pentru modelul mecanic și timpul de mașină ( $t_m$ ), din condiția de a nu se depăși frecvența maximă admisibilă  $\nu_a$  la calculatorul analogic. Dacă se cunoaște frecvența maximă  $\nu_{max}$  pentru variabilele modelului mecanic, factorul de scară corespunzător ( $S_o$ ) rezultă din egalarea argumentelor funcțiilor armonice ale variabilelor reale și de mașină:

$$t = S_o t_m; \quad 2\pi\nu_{max} t = 2\pi\nu_a t_m; \quad S_o = \frac{\nu_a}{\nu_{max}}. \quad (3.21)$$

In cazul sistemelor vibropercutante, pentru stabilirea acestui factor de scară se poate considera ca frecvență maximă frecvența cunoscută a forțelor perturbatoare. În orice caz, pentru  $S_o$  se aleagă o valoare de  $2\div 5$  ori mai mică decît cea care rezultă pe baza relațiilor (3.21).

In al doilea rînd, este necesar să se stabilească factorii de scară pentru variabilele dependente, din condiția că toate variabilele de mașină să aibă valori cuprinse între -1 și 1 tot timpul calculului analogic. Dacă pentru variabila reală  $x_i$ , la care îi corespunde în modelul electric pe calculatorul analogic variabila de mașină  $X_i$ , se cunoaște valoarea maximă  $|x_i|_{max}$ , factorul de scară corespunzător ( $S_i$ ) se poate exprima sub forma:

$$x_i = S_i X_i; \quad |x_i|_{max} = S_i \cdot 1; \quad S_i = \frac{1}{|x_i|_{max}}. \quad (3.22)$$

Relațiile de forma (3.22) trebuie să fie verificate pentru toate variabilele dependente, dar, pe lîngă  $S_o$ , numai doi factori de scară (de exemplu  $S_1$  și  $S_2$ ) mai pot fi aleși, toți ceilalți putîndu-se exprima în funcție de  $S_o$ ,  $S_1$  și  $S_2$  pe baza analizei dimensionale. Ca urmare, după alegerea acestor trei factori de scară independente, se determină, pe baza analizei dimensionale,

ceilalți factori de scară pentru toate celelalte variabile, iar pentru variabilele reale la care se cunosc valorile maxime se determină valorile maxime ale variabilelor de mașină corespunzătoare din prima relație (3.22). Dacă pentru unele dintre aceste variabile de mașină rezultă valori maxime mai mari decât 1, factorii de scară aleși trebuie micșorați și procesul de stabilire a factorilor de scară se repetă, pînă cînd se verifică pentru toate variabilele de mașină condiția de a avea valoarea maximă mai mică decât 1.

Deoarece stabilirea factorilor de scară dependenții se realizează pe baza analizei dimensionale, rezultă că toate variabilele reale și parametrii sistemului dinamic, care au aceeași unitate de măsură, vor avea aceeași factor de scară în modelul pe calculatoarele analogice. Ca urmare, pentru alegerea factorilor de scară independenții, cunoscîndu-se condițiile inițiale, valorile maxime ale forțelor perturbatoare și pulsațiile acestora, se pot stabili, cu oarecare aproximativ, valorile maxime pentru frecvențe, pentru deplasările și pentru forțele din sistem, cu care se începe acest proces. Practic, stabilirea tuturor factorilor de scară se definitivază prin încercări pe calculatorul analogic, începînd cu valori ale condițiilor inițiale și ale variabilelor de mașină corespunzătoare forțelor perturbatoare mai mici decât valorile ce rezultă pe baza modelării cantitative preliminare.

Modelarea cantitativă a sistemelor dinamice se poate realiza mai ușor, dacă ecuațiile diferențiale ale mișcării se exprimă sub formă adimensională, ceea ce se poate face întotdeauna prin transformări de variabile. Dacă, prin aceste transformări de variabile, toate variabilele adimensionale rezultă ca raportul dintre variabila reală corespunzătoare și o mărime fizică constantă cu aceeași unitate de măsură și avînd valoarea mai mare sau egală cu valoarea maximă a variabilei reale corespunzătoare, ecuațiile diferențiale

ale mișcării se pot transpune direct pe calculator, nefiind nevoie de modelare cantitativă.

Pentru exemplificare, se consideră sistemul vibropercutant din fig.2.6, având ciocniri instantanee și ecuația diferențială a mișcării între două ciocniri consecutive (2.273), scrisă sub formă adimensională. Modelarea calitativă pe calculatoarele analogice, în acest caz, se realizează ușor, prin particularizarea schemei de modelare analogică din fig.3.11 la un sistem cu un singur grad de libertate. Modelarea caracteristicii elastice neliniare se poate realiza cu ajutorul comparatoarelor, prin particularizarea schemei de modelare analogică din fig.3.14, sau cu ajutorul unui generator de funcții nelineare. În fig.2.7 este reprezentată și o liniarizare a acestei caracteristici nelineare, folosită pentru modelarea sa pe calculatoarele analogice.

Pentru modelarea cantitativă a ecuației diferențiale adimensionale (2.273), este suficient să se considere un factor de scară  $S_0$  pentru variabila independentă  $\theta$  și un factor de scară  $S_1$  pentru variabila  $z$ . Factorul de scară  $S_0$  poate fi luat egal cu unitatea, deoarece, chiar dacă apar componente armonice cu pulsații mai mari decât pulsația forței perturbatoare, așa cum rezultă din studiul teoretic efectuat cu metoda parametrului mic, frecvențele corespunzătoare din modelul electric pentru calculatoarele analogice nu depășesc frecvența admisibilă a calculatorului, frecvenței forței perturbatoare corespunzîndu-i valoarea  $\frac{1}{2\pi} = 0,16$  Hz. Ca urmare, făcînd în (2.273) transformările de variabile:

$$\theta = \theta_m, \quad z = S_1 Z \quad (3.23)$$

rezultă ecuația diferențială a modelului electric de forma:

$$Z'' + a_1 Z' + a_2 Z + a_3 Z^3 = a_4 \sin \theta_m, \quad (3.24)$$

unde s-a notat:

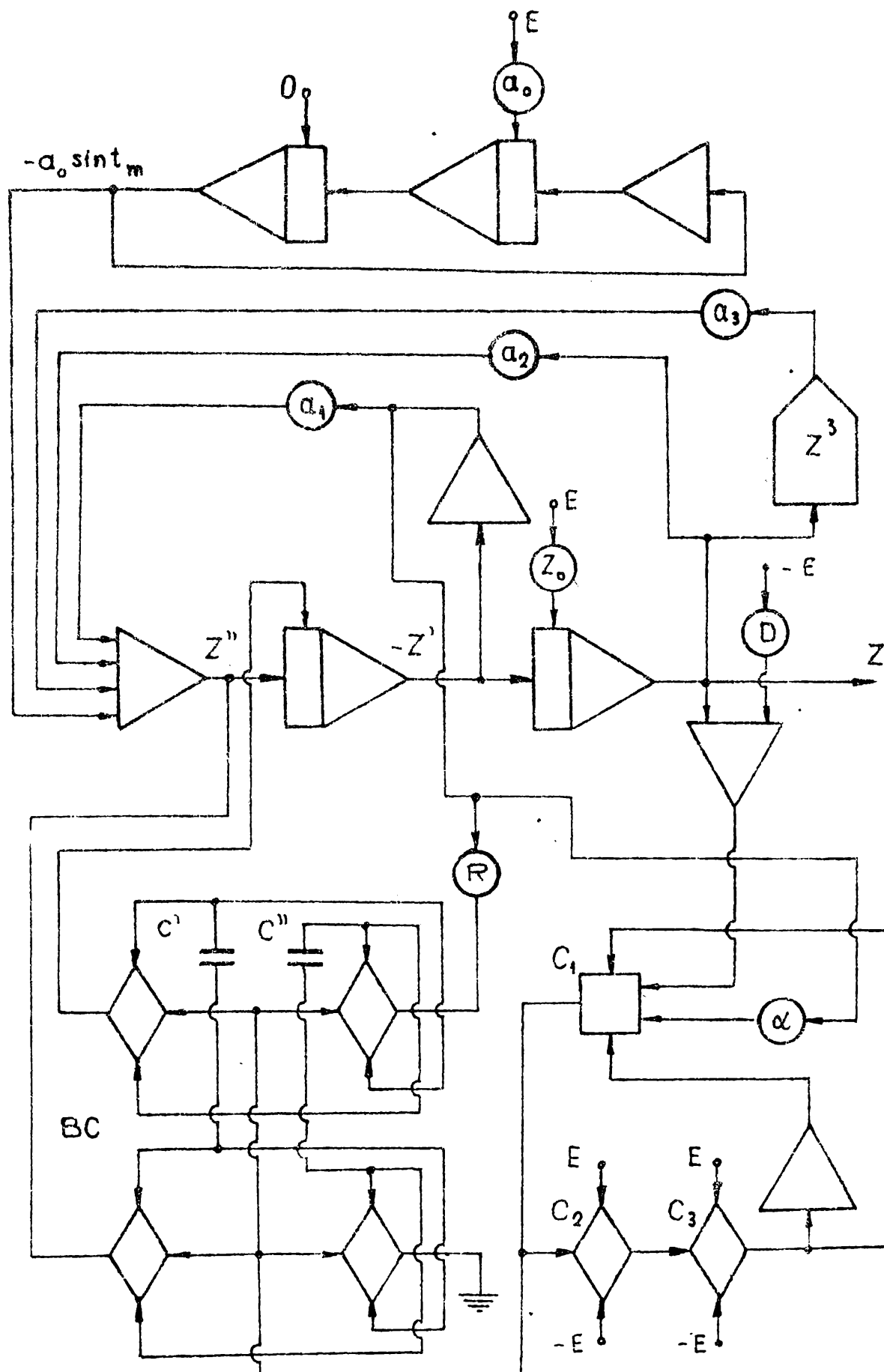


Fig 3.45

$$a_0 = \frac{1}{\eta^2 S_1} ; a_1 = \frac{2\epsilon}{\eta} ; a_2 = \frac{1}{\eta^2} ; a_3 = \frac{\mu S_1^2}{\eta^2} ; D = \frac{d}{S_1} . \quad (3.25)$$

Luind pentru  $S_1$  o valoare supraunitară convenabilă, care se definează experimental, prin încercări pe calculatorul analogic, pentru  $a_0$  și pentru condițiile inițiale ale modelului electric:

$$t_m = 0 , Z = Z_0 = \frac{z_0}{S_1} , Z' = Z'_0 = \frac{z'_0}{S_1} \quad (3.26)$$

se obțin valori mici, astfel încât se asigură îndeplinirea condiției ca tot timpul calculului analogic toate variabilele de masină să aibă valori în modul subunitare (desigur, numai dacă mișcarea corespunzătoare a sistemului este stabilă). Valorile momentane ale variabilelor și parametrilor sistemului vibropercutant real rezultă pe baza transformărilor de variabile și a notațiilor efectuate, exprimate prin relațiile (3.25), (3.23) și (2.277).

In fig.3.15 este prezentată schema de modelare cantitativă pentru sistemul vibropercutant considerat. Aici modelarea funcției neliniare  $Z^3$  s-a făcut cu ajutorul unui generator de funcții neliniare, pe baza liniarizării sale printr-o linie poligonala cu multe laturi (11 pentru o polaritate), astfel încât, printr-o aproximare analitică mai bună a acestei funcții neliniare, se compensează erorile de calcul ale generatorului de funcții neliniare.

In fig.3.16 sunt reprezentate cîteva diagrame în planul fazelor pentru sistemul vibropercutant considerat, fără amortizare viscoasă ( $\epsilon = 0$ ), pentru  $\mu = 0,01$ , obținute în urma studiilor experimentale efectuate pe modelul electric pentru calculatoarele analogice din fig.3.15.

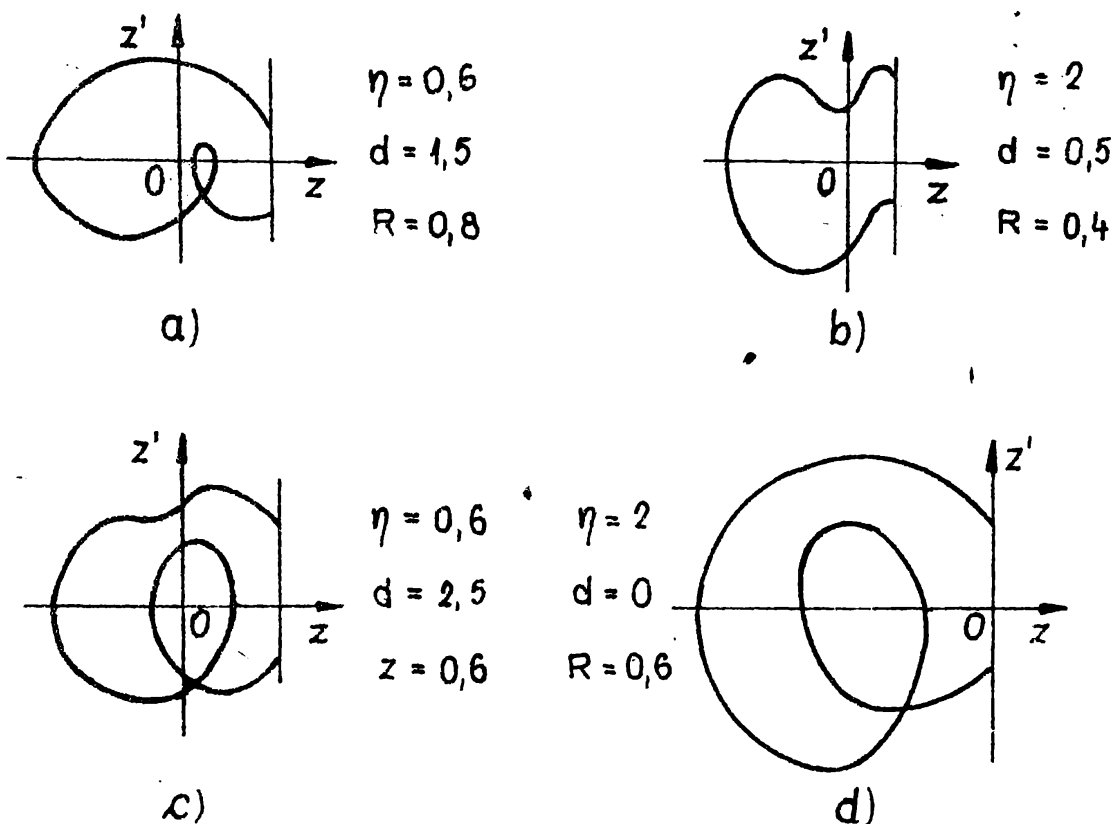


Fig. 3.16

### 3.3. Modelarea electrică a sistemelor vibropercutante pe calculatoare numerice

Rezultatele studiului teoretic al sistemelor vibropercutante cu mai multe grade de libertate, liniare între ciocniri și cu ciocniri instantanee, efectuat sub formă matricială în capitolul precedent, se pot transpune foarte ușor pe calculatoarele numerice. Cu ajutorul calculatoarelor electronice numerice se asigură, prin programe și subprograme adecvate, o prelucrare rapidă a acestor rezultate. Astfel, pentru toate cazurile studiate teoretic în care apar mișcări vibropercutante periodice cu o ciocnire într-o perioadă a mișcării, dând valori numerice momentului  $t_k$  într-o perioadă a mișcării cu un pas ales adecvat, se pot determina ușor parametrii corespunzitori ai ciocnirilor pentru mișcarea vibropercutantă periodică de tipul considerat (ecuațiile fiind liniare în

elementele matricilor  $\bar{x}_c$  și  $\dot{\bar{x}}_c$  și, cu aceștia, se pot verifica condițiile de existență și de stabilitate ale mișcărilor vibropercutante periodice, între aceste condiții fiind necesar să se incerce și verificarea egalității în relația corespunzătoare funcției legăturii unilaterale în momentele ciocnirilor. Ca urmare, calculatoarele numerice pot să furnizeze, sub formă de tabele sau grafice, domeniile în care sunt îndeplinite condițiile de existență și de stabilitate ale mișcărilor vibropercutante periodice de tipul considerat pentru toate valorile parametrilor dinamici reglabili ai sistemului vibropercutant. De asemenea, se pot selecta valorile acestor parametrii dinamici reglabili pentru care mișcările vibropercutante periodice corespunzătoare sunt optime, considerînd criteriul de optimizare din paragraful 2.6 sau alte criterii. Dar, pentru a efectua toate aceste operații, în primul rînd calculatoarele numerice trebuie să determine valoările proprii și vectorii proprii normați, pentru a construi matricea modală normată, ceea ce în cazul unui sistem cu mai multe grade de libertate nu este prea simplu. Pentru aceasta, s-a realizat un subprogram pentru determinarea acestor elemente, bazat pe metoda iterației matriciale. Conform acestei metode, pentru pulsăția proprie  $p_s$  a sistemului vibropercutant se consideră o matrice patrată de iterație  $L_s$ , pentru care trebuie să fie verificată relația matricială:

$$L_s \bar{\mu}_s = \lambda_s \bar{\mu}_s , \quad (3.27)$$

care rezultă din (2.95) prin înmulțire la stînga cu  $m^{-1}$  sau cu  $k^{-1}$ . Se începe iterația cu un vector normat  $\bar{\mu}_s^{(0)}$  ales convenabil, de obicei elementele sale avînd valorile +1 și -1 cu alternanță semnelor corespunzătoare modului natural de vibrație, se calculează valorile  $\lambda_s^{(j)}$  din relația:

$$\lambda_s^{(j)} \bar{\mu}_s^{(j)} = L_s \bar{\mu}_s^{(j-1)} , \quad (3.28)$$

astfel încît vectorul  $\bar{\mu}_s^{(j)}$  să fie normat și se verifice:

$$\bar{\mu}_s^{(j)} = \bar{\mu}_s^{(j-1)} \quad (3.29)$$

Se demonstrează că, pentru o matrice de iterare  $\underline{L}_s$  construită adecvat, prin acest proces de iterare vectorii  $\bar{\mu}_s^{(j)}$  converg spre  $\bar{\mu}_s$  și produsele valorilor  $\lambda_s^{(j)}$  converg spre valoarea proprie  $\lambda_s$ , din care se determină pulsăria proprie corespunzătoare.

Pentru pulsăria proprie maximă  $p_n$  și pentru cea minimă  $p_1$  matricile de iterare sunt matricea dinamică  $\underline{L}_n = \underline{m}^{-1} \underline{k}$ , respectiv inversa sa  $\underline{L}_1 = \underline{k}^{-1} \underline{m}$ , cu ajutorul cărora, prin iterare matricială, se obțin sirurile  $\bar{\mu}_n^{(j)}, \bar{\mu}_1^{(j)}, \lambda_n^{(1)}, \lambda_n^{(2)}, \dots, \lambda_n^{(j)}$  și  $\lambda_1^{(1)}, \lambda_1^{(2)}, \dots, \lambda_1^{(j)}$  rapid convergente. Pulsăriile proprii corespunzătoare, ținând seama de (2.95), rezultă:

$$p_n = \sqrt{\lambda_n}, \quad p_1 = \frac{1}{\sqrt{\lambda_1}}. \quad (3.30)$$

Pentru celelalte pulsării proprii se construiesc matrici de iterare pe baza relațiilor de ortogonalitate (2.96) a vectorilor proprii normați, astfel încât procesul de iterare să fie rapid convergent. De exemplu, pentru pulsăriile proprii  $p_{n-1}$  și  $p_2$ , după determinarea vectorilor proprii  $\bar{\mu}_n$  și  $\bar{\mu}_1$ , se pot scrie relații de ortogonalitate:

$$\bar{\mu}_{n-1}^T \underline{m} \bar{\mu}_n = 0, \quad \bar{\mu}_1^T \underline{k} \bar{\mu}_2 = 0 \quad (3.31)$$

Care sunt de forma:

$$\| \bar{\mu}_{n-1}^{(2)} \bar{\mu}_{n-1}^{(3)} \dots \bar{\mu}_{n-1}^{(n)} \| \cdot \| \underline{m}_1^{(n)} \underline{m}_2^{(n)} \dots \underline{m}_n^{(n)} \| ^T = 0 \quad (3.32)$$

$$\| \underline{k}_1^{(1)} \underline{k}_2^{(1)} \dots \underline{k}_n^{(1)} \| \cdot \| \bar{\mu}_2^{(2)} \bar{\mu}_2^{(3)} \dots \bar{\mu}_2^{(n)} \| ^T = 0$$

și se pot exprima sub forma:

$$1 = 0 \cdot \bar{\mu}_{n-1}^{(1)} - A_2^{(n)} \bar{\mu}_{n-1}^{(2)} - \dots - A_n^{(n)} \bar{\mu}_{n-1}^{(n)}, \quad A_i^{(n)} = \frac{\underline{m}_i^{(n)}}{\underline{m}_1^{(n)}}, \quad i=2, \dots, n \quad (3.33)$$

$$1 = 0 \cdot \bar{\mu}_2^{(1)} - A_2^{(1)} \bar{\mu}_2^{(2)} - \dots - A_n^{(1)} \bar{\mu}_2^{(n)}, \quad A_i^{(1)} = \frac{\underline{k}_i^{(1)}}{\underline{k}_1^{(1)}}, \quad i=2, \dots, n.$$

Se demonstrează că, făcind iterările cu matricile:

$$\underline{L}_{n-1} = \underline{S}_n \underline{L}_n, \quad \underline{L}_2 = \underline{S}_1 \underline{L}_1, \quad (3.34)$$

unde:

$$S_i = \begin{vmatrix} 0 & -A_2^{(i)} & -A_3^{(i)} & \dots & -A_n^{(i)} \\ 0 & 1 & 0 & \dots & 0 \\ 0 & 0 & 1 & \dots & 0 \\ \dots & \dots & \dots & \dots & \dots \\ 0 & 0 & 0 & \dots & 1 \end{vmatrix}, \quad i=1,n, \quad (3.35)$$

procesul iterativ este convergent spre valorile proprii și vectorii proprii normați ce corespund pulsăriilor proprii  $p_{n-1}$  și  $p_2$ .

Procesul iterativ este cu atât mai rapid convergent, cu cât matricile de iterare  $L_s$  se construiesc pe baza mai multor relații de ortogonalitate, în funcție de vectorii proprii determinați anterior.

In fig.3.17 este dată organizarea unui program pentru calculatoarele electronice numerice, realizată pe baza succesiunii de operații prezentată mai sus. Programul realizat permite și studiul sistemelor vibropercutante cu amortizare viscoasă uniformă, având o cuplă percutantă și o ciocnire într-o perioadă a mișcării, aceasta fiind egală cu perioada forțelor perturbatoare ( $r=1$ ). La începutul programului se determină pulsăriile proprii și vectorii proprii normați cu ajutorul unui subprogram realizat în conformitate cu metoda iterativă matricială prezentată anterior, pornind de la valoarea proprie și vectorul propriu ce corespund pulsării proprii fundamentale  $p_1$ . In continuare se inițializează ciclurile pentru parametrii dinamici reglăbili, aici considerați coeficientul de restituire  $R$  și jocul  $\delta$  corespunzător couplei percutante. Determinarea parametrilor ciocnirilor pentru mișcările vibropercutante periodice de tipul considerat, verificarea condițiilor de existență și de stabilitate ale acestora, precum și optimizarea sistemului vibropercutant se realizează în cadrul programului pe baza relațiilor matriciale state în capitolul 2.

Pentru sistemele vibropercutante neliniare între ciocniri sau cu ciocniri neinstantane, problemă modelării pe calculatoarele numerice este mult mai dificilă, datorită necesității de a integra

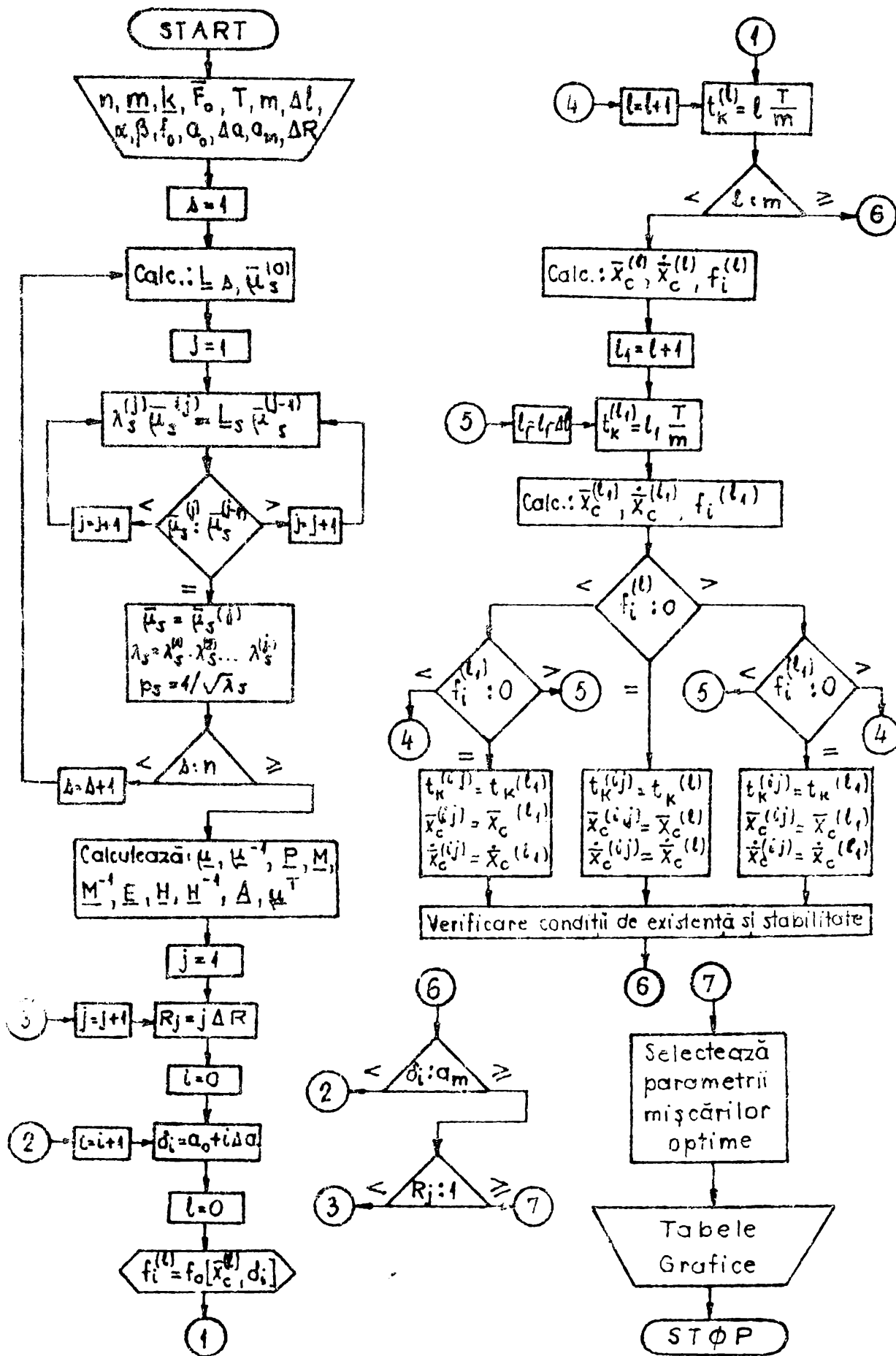


Fig. 3.17

ecuații diferențiale neliniare. Programele pentru calculatoarele numerice, în aceste cazuri, trebuie să se bazeze pe metode de integrare numerică, care să fie rapid convergente, depinzînd de tipul neliarităților din ecuațiile diferențiale. O problemă dificilă o constituie și alegerea pasului de integrare. Ca urmare, pentru tipuri diferite de ecuații diferențiale neliniare, sunt mai convenabile, din punct de vedere al programării pe calculatoarele numerice, metode diferite de integrare numerică, iar metoda cea mai convenabilă pentru un anumit tip se poate determina numai experimental, prin calcul numeric efectiv, dacă nu există experiențe anterioare în acest caz. Chiar și convergența spre zero a erorilor metodelor de integrare numerică, care se integrează în timp, depinde de tipul ecuațiilor diferențiale și foarte mult de pasul de integrare, astfel încât metodele de corecție a erorilor (metode predictor-corrector) nu au în totdeauna eficiență.

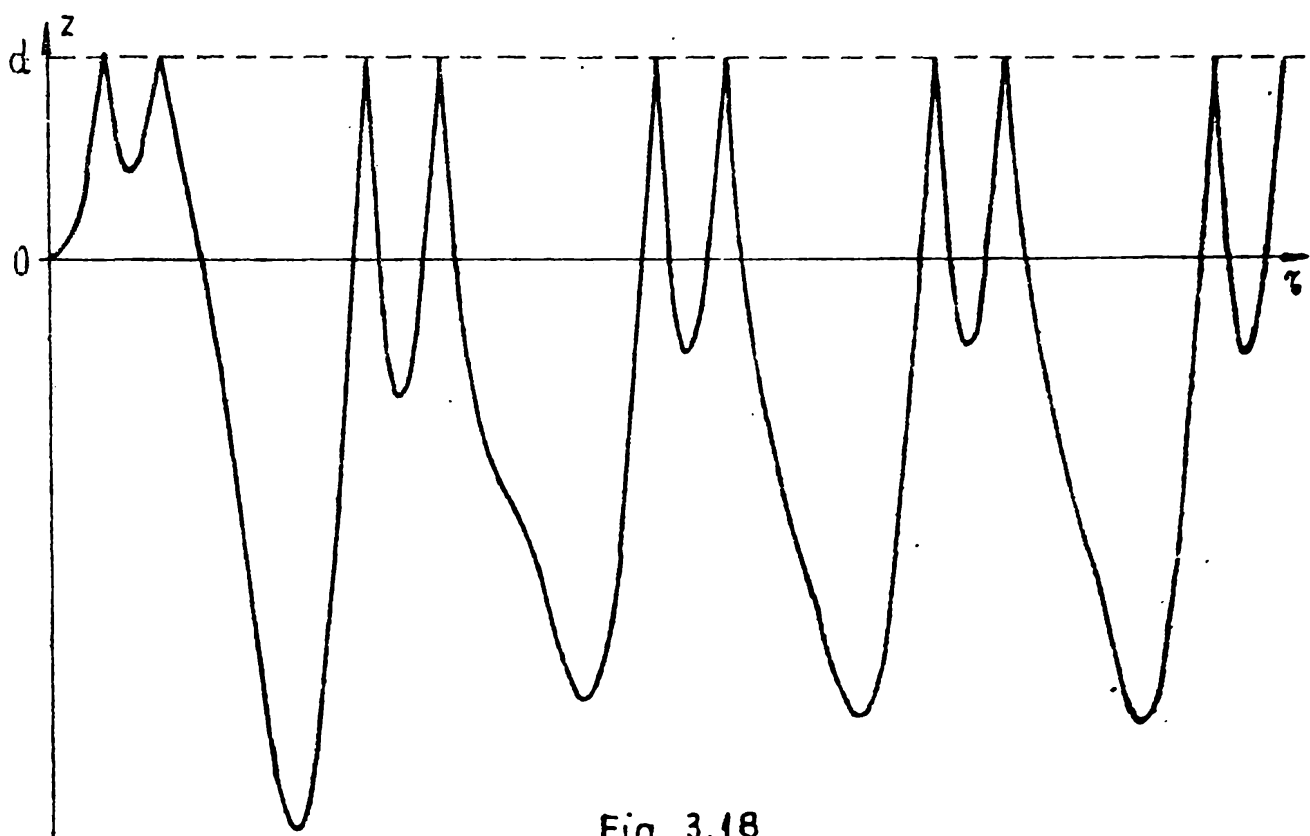


Fig. 3.18

Pentru sistemul vibropercutant din fig.2.6, avînd ecuația diferențială a mișcării între două ciocniri consecutive (2.278), cu ciocniri instantane, s-a realizat un program pentru calculatoarele numerice bazat pe metoda diferențelor finite cu interpolare, în vederea verificării rezultatelor studiului teoretic din paragraful 2.7, precum și a rezultatelor modelării electrice pe calculatoarele analogice din paragraful 3.2.2. Fără a intra în detaliu asupra realizării programului, în fig.3.18 se dă diagrama mișcării sistemului vibropercutant considerat, obținută prin acest program, pentru  $\eta = 0,66$ ,  $\varepsilon = 0,1$ ,  $\mu = 0,025$ ,  $d = 0,5$ ,  $R = 0,6$ , din care rezultă că pentru sistemele vibropercutante neliniare între ciocniri, cu caracteristică elastică neliniară tare, apar frecvențe mișcării vibropercutante periodice instabile cu ciocniri multiple într-o perioadă a mișcării.

#### 3.4. Modelarea electrică a sistemelor vibropercutante pe baza analogiilor dinamice

Modelarea electrică pe baza analogiilor dinamice a sistemelor vibropercutante liniare între ciocniri se face în conformitate cu principiile prezentate în paragraful 3.1. Pentru verificarea rezultatelor obținute prin modelare pe calculatoarele analogice a sistemului vibropercutant cu două grade de libertate din fig.3.10, precum și a studiului teoretic efectuat pentru sistemul din fig.2.12, s-a proiectat și realizat un model electric bazat pe analogia forță-tensiune, a cărui schema electrică este dată în fig.3.19.

Inductanțele  $L_1$  și  $L_2$ , corespunzătoare maselor  $m_1$  și  $m_2$  din modelul mecanic, s-au realizat cu ajutorul unor bobine, fără miez de fier, pentru a nu introduce neliniarități în modelul electric, cu secțiunea mare a conductorului electric, pentru a avea rezistențele electrice neglijabile. La modelul electric realizat, inductanțele  $L_1$  și  $L_2$  nu sunt reglabilă, avînd ambele valoarea  $L_1 =$

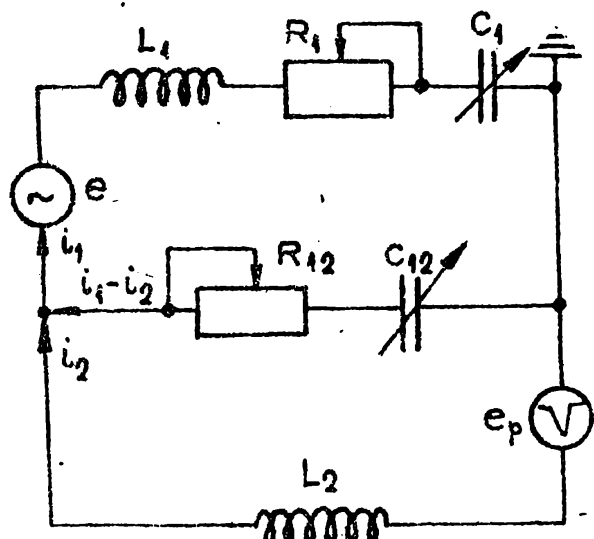


Fig. 3.19

$= L_2 = 2,1 \cdot 10^{-3} \text{ H}$ , astfel încât pentru modelarea cantitativă și stabilirea factorilor de scară se regleză valorile rezistențelor  $R_1$  și  $R_{12}$  cu ajutorul unor potențiometri elicoidali de precizie, valorile capacitaților  $C_1$  și  $C_{12}$  cu ajutorul unor baterii de condensatoare variabile, precum și amplitudinea și frecvența tensiunii electrice  $e$ ,

corespunzătoare forței perturbatoare în modelul mecanic. Ca generator de tensiune alternativă s-a folosit unul din generatoarele electronice produse de Intreprinderea "Electronica" București, care permite reglarea amplitudinii și frecvenței între limite largi.

Deoarece aceste generatoare oferă și posibilitatea furnizării unei tensiuni cu variație dreptunghiulară în timp, cu ajutorul modelului electric realizat se pot studia și mișcările vibropercutante care rezultă sub acțiunea forței perturbatoare optime.

Pentru modelarea ciocnirilor, s-au proiectat și realizat generatoare electronice de impulsuri, având forma de variație în timp a impulsurilor, durata lor și perioada lor de repetiție reglabile. Forma de variație în timp a acestor impulsuri este constituită dintr-un front crescător liniar în timp, urmat de un front descrescător exponențial, așa cum este reprezentat un astfel de impuls în fig. 3.19 (aici fiind necesar să fie aplicat cu polaritate negativă), la simbolizarea generatorului de impulsuri ce furnizează tensiunea  $e_p$ , corespunzătoare forței percutante. Un astfel de impuls se realizează într-un circuit electronic în care, după apariția unui im-

puls de sincronizare, se încarcă liniar în timp un condensator cu capacitatea  $C$  reglabilă și, după un interval de timp  $\Delta t_1$  reglabil, condensatorul se descarcă peste un rezistor cu rezistență fixă. În acest mod, prin reglarea intervalelor de timp de încărcare  $\Delta t_1$  și de descărcare  $\Delta t_2$  (ultimul fiind reglat prin modificarea capacității  $C$  a condensatorului, care modifică constanta de timp a circuitului de descărcare), se asigură modelarea duratei ciocnirilor și a coeficientului de restituire pentru cupla percutantă din modelul mecanic. Perioada de repetiție a impulsurilor se reglează prin sincronizarea acestor generațoare de impulsuri de la generatorul care modelează forța perturbatoare, eventual prin divizoare de frecvență, dacă se studiază mișările vibropercutante periodice cu perioada egală cu un multiplu întreag al perioadei forței perturbatoare. Valoarea maximă a impulsurilor se asigură prin amplificarea semnalului de la ieșirea generatorului de impulsuri printr-un amplificator de tensiune cu factor de amplificare reglabil și cu bandă de frecvență de trecere largă. Pentru reglarea momentului  $t_{k_0}$ , corespunzător începutului ciocnirilor, semnalul de la ieșirea amplificatorului este trecut printr-un circuit de întârziere, având timpul de întârziere reglabil.

În fig.3.20 este reprezentată schema de principiu pentru un alt generator de impulsuri proiectat și realizat, a cărui funcționare se bazează pe efectul fotoelectric. Motorul electric de curent continuu 1, având turăția reglabilă prin modificarea continuă a tensiunii de alimentare de la sursa 2, antrenează în mișcare de rotație uniformă discul 5, din care este ocupată o porțiune de formă impulsului de realizat. La o distanță corespunzătoare față de axul discului este plasat becul cu lupă 4, care proiectează pe suprafața discului un fascicol luminos cu intensitatea luminosă constantă, asigurată prin alimentarea becului de la sursa stabilizată 3.

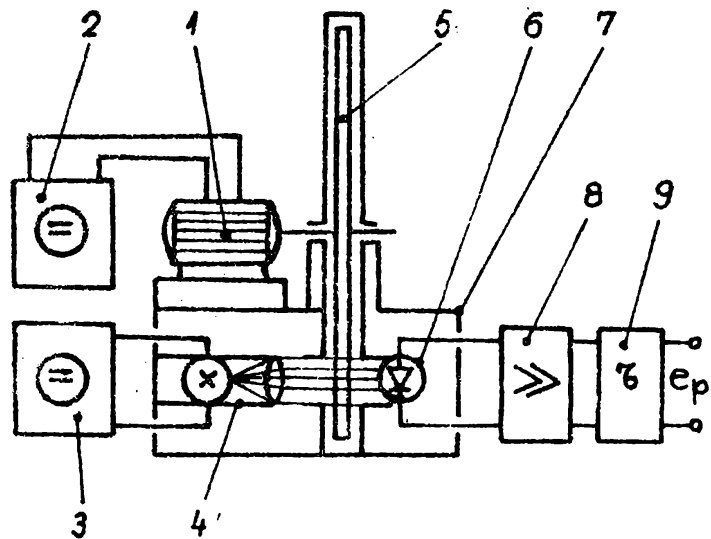


Fig. 3.20

Fascicolul luminos are secțiunea dreptunghulară cu baza foarte mică și cu înălțimea egală cu înălțimea maximă, măsurată radial, a porțiunii decupate din disc. Forma și dimensiunile secțiunii fasciculu lui luminos sunt asigurate prin practicarea corespunzătoare a unei fante în peretele corespunzător al cutiei 7,

în care sătăcăse elementele constructive care trebuie să fie protejate împotriva fluxului luminos exterior. De cealaltă parte a discului este plasată fotodioda 6, astfel încât, atunci cind porțiunea decupată din disc ajunge în dreptul fantei, fotodioda să capteze fluxul luminos ce trece prin fanta și prin porțiunea decupată. Ca urmare, în circuitul electric în care este legată fotodioda, situat la intrarea amplificatorului de tensiune 8, apare un curent electric de intensitate proporțională cu fluxul luminos captat, deci semnalul de la intrarea amplificatorului de tensiune va avea o variație în timp ce urmărește forma și dimensiunile geometrice ale porțiunii decupate din disc. Sincronizarea funcționării generatorului de impulsuri cu a generatorului care modelează forța perturbatoare se realizează prin reglarea turării motorului electric 1, comparând semnalele de la ieșirile celor două generațoare pe ecranul unui osciloscop cu două spoturi, înainte de cuplarea simultană a lor la modelul electric. Reglarea momentului

$t_k$  se realizează prin modificarea timpului de întârziere  $\tau$  al circuitului de întârziere 9, pentru aceasta vizualizând la fel pe ecranul osciloscopului semnalul de ieșire de la circuitul de întârziere ( $e_p$ ) comparativ cu semnalul generatorului care modelază forța perturbatoare. La acest generator de impulsuri, modificarea unor parametrii caracteristici ai ciocnirilor în modelul mecanic implică modificarea formei și dimensiunilor geometrice a porțiunii decupate din disc, astfel încât trebuie să se realizeze mai multe discuri interschimbabile. La realizarea lor este necesar să se țină seama și de turăția motorului electric pentru reglarea duratei impulsurilor, dar întotdeauna, în cadrul modelării cantitative, se poate alege astfel factorul de scară pentru timp, încât să rezulte aceeași turăție a motorului electric, oricare ar fi pulsăria forței perturbatoare.

Din numeroasele încercări experimentale pe acest model electric, a rezultat o concordanță deplină cu rezultatele studiului teoretic și cu cele obținute prin modelare pe calculatoare analogice.

## Cap.4. INCERCARI EXPERIMENTALE PE MODELE MECANICE

### 4.1. Model mecanic distorsionat pentru studiul sistemelor vibropercutante cu unul sau două grade de libertate, cu una sau două couple percutante.

Pentru verificarea rezultatelor studiului teoretic și ale modelării electrice pentru sistemele mecanice vibropercutante cu unul sau două grade de libertate, având una sau două couple percutante, s-a proiectat și realizat un model mecanic experimental, prezentat împreună cu unele aparate de măsură în fig.4.1. Pe acest model mecanic distorsionat s-au efectuat încercări experimentale pentru sistemele vibropercutante din fig.2.12 și fig.3.1o, pentru care s-au făcut studii teoretice și pe modelele electrice. De asemenea, pe acest model experimental se pot modela o gamă largă de sisteme vibropercutante reale, reductibile la modelele mecanice din fig.2.12, din fig.3.1o și la alte modele mecanice, corespunzătoare unor sisteme vibropercutante liniare între ciocniri, cu unul sau două grade de libertate, având una sau două couple percutante. Pentru ca modelul realizat să poată oferi aceste posibilități largi de modelare, s-a ținut seama la proiectare de îndeplinirea a trei condiții impuse:

- a) Modificarea valorilor maselor modelului, prin adăugarea unor greutăți suplimentare calibrate.
- b) Modificarea constantelor elastice ale elementelor elastice

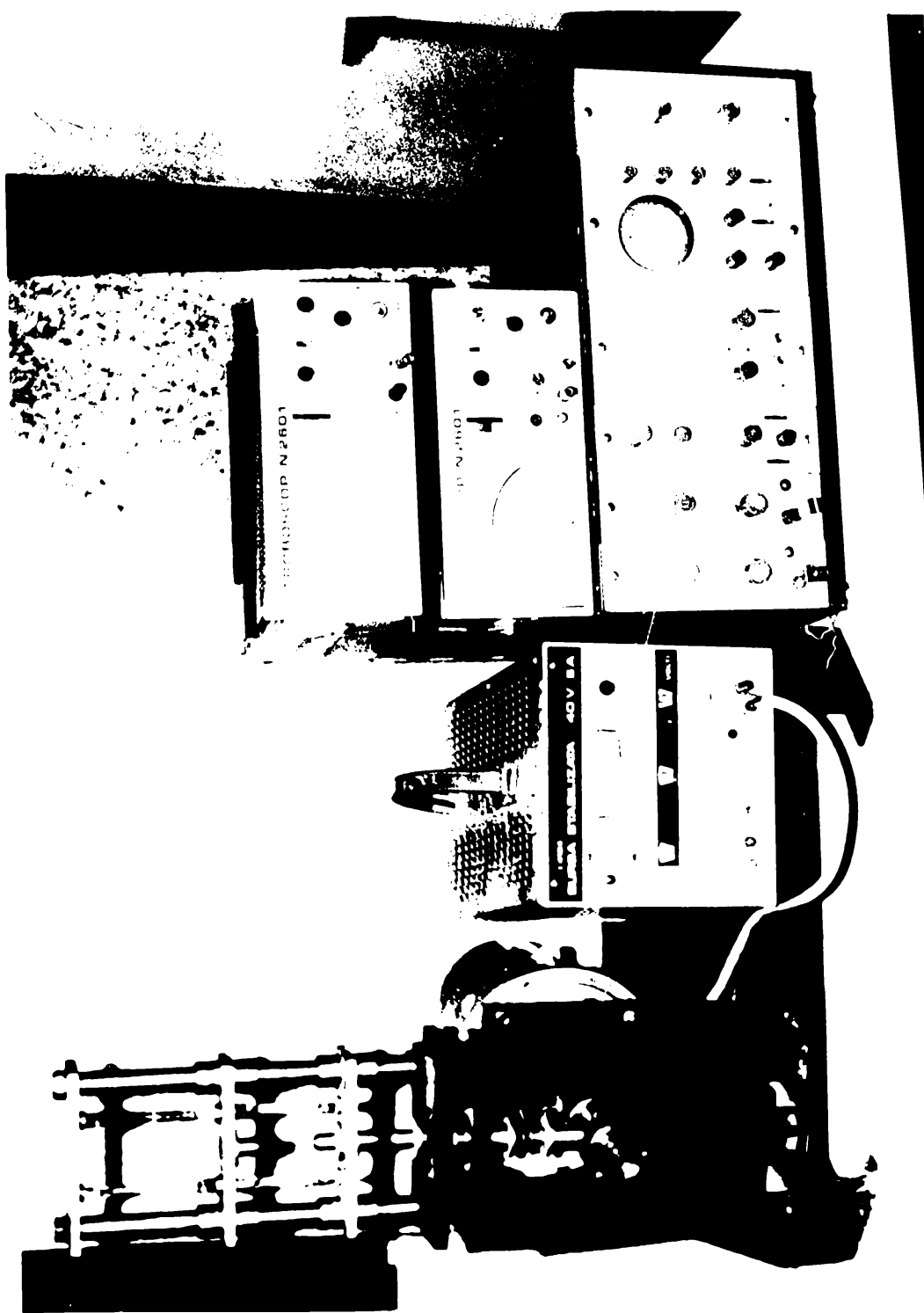


Fig. 4.4

și a jocurilor  $\delta_{12}$  și  $\delta_{20}$ , prin interschimbabilitatea arcurilor cu lungimi în stare nedeformată și constante elastice diferite.

c) Modificarea amplitudinii și pulsării forței perturbatoare armonice ce acționează asupra masei  $m_1$ .

Pentru asigurarea îndeplinirii ultimei condiții impuse, s-a ales ca sursă a forței perturbatoare mișcarea vibratorie armonică de forma  $f(t) = r \sin(\omega t + \phi)$  a suportului de care este legată masa  $m_1$  prin intermediul unor arcuri cu constantă elastică echivalentă  $k_1$ . În această soluție constructivă, se poate studia atât mișcarea absolută a sistemului vibropercutant, în care forța perturbatoare are valoarea momentană  $F_a(t) = k_1 f(t)$ , cît și mișcarea sa relativă față de suport, în care forța perturbatoare are valoarea momentană  $F_r(t) = -m_1 \ddot{f}(t)$ . În acest mod se pot regla între limite largi atât amplitudinea forței perturbatoare, prin modificarea amplitudinii  $r$  a vibrației suportului și a constantei elastice echivalente  $k_1$ , respectiv a masei  $m_1$ , cît și pulsăria forței perturbatoare, prin modificarea pulsării vibrației suportului. În soluția constructivă aleasă, suportul, sub formă de ramă dreptunghiulară, care servește și de ghidaj pentru masele sistemului vibropercutant, este pus în mișcare vibratorie armonică pe verticală prin intermediul unei lame, al cărei profil este astfel realizat, încit să asigure suportului o vibrație armonică avind o anumită amplitudine  $r$ , lama fiind antrenată în mișcare de rotație uniformă de un motor electric cu rotorul bobinat, produs într-o serie specială de întreprinderea "Electromotor" Timișoara. Ca urmare, modificarea amplitudinii  $r$  a vibrației suportului se realizează în trepte, prin intereschimbabilitatea camelor, proiectate și realizate pentru diferențe valori ale acestei amplitudini, iar modificarea pulsării vibrației suportului se realizează continuu, prin modificarea turării motorului electric, schimbând tensiunea sa de alimentare de la o sursă stabilizată de tensiune electrică.

La modelul experimental proiectat și realizat nu se pot modifica valorile coeficienților de amortizare viscoasă, dar s-au luat măsuri ca aceste valori să fie neglijabile, prin diminuarea frecărilor în ghidaje și a altor forțe rezistente. La modelarea unor sisteme vibropercutante concrete, s-au determinat experimental unele valori echivalente pentru acești coeficienți de amortizare viscoasă, de care s-a ținut seama la stabilirea factorilor de scară în faza de modelare cantitativă.

Modelul mecanic a fost astfel proiectat și realizat, încât să permită atâzarea unei perechi sau a două perechi de ciocane percutante, și anume între cele două mase ale sistemului vibropercutant sau între una din acestea și suportul mobil sau cadrul sudat fix al aparatului. De asemenea, prin înlocuirea arcurilor dintre masa  $m_1$  și suport sau a celor dintre cele două mase cu bare rigide, se poate realiza modelarea pe același model experimental a sistemelor vibropercutante cu un grad de libertate.

#### 4.2. Stand pentru încercarea la socuri repetitive a aparatelor electrice și electronice

In anumite condiții de exploatare a aparatelor electrice și electronice, în hale industriale, pe standuri de probă sau la transportul acestora, în timpul funcționării aparatelor sau în starea lor de preambalare, pot să apară solicitări mecanice prin socuri repetitive, care au efecte negative mai pronunțate asupra acestor apărate decât solicitările prin vibratii. Ca urmare, pe plan mondial există de mult timp preocupări pentru studiul experimental al efectelor solicitărilor prin socuri repetitive a aparatelor electrice și electronice. În acest scop s-au construit diverse standuri de încercare, cu diferite grade de complexitate, care asigură efectuarea încercărilor experimentale în regimurile reglementate de normele ISO.

In țara noastră ocupările în această direcție cînt de dată

relativ recentă. S-au proiectat și realizat diferite tipuri de instalații și standuri de încercare la socuri repetitive cu diverse destinații, dar care, în general, nu țin seama de particularitățiile încercărilor la aceste solicitări ale aparatelor electrice și electronice. De asemenea, încă nu au fost standardizate toate regimurile de încercare la socuri repetitive a acestor aparete. Astfel, una din aceste instalații, denumită "scuturător" și folosită frecvent în turnătorii pentru dezbaterea formelor, produsă în serie de INCERC București, ar putea fi utilizată pentru încercări la socuri repetitive a aparatelor electrice și electronice, dar numai pentru un singur regim de încercare.

Având în vedere că majoritatea întreprinderilor din țară, producătoare de aparataj electric și electronic, sunt interesate la procurarea unor instalații specializate pentru încercarea produselor lor la socuri repetitive în diferite regimuri de încercare, în prezent disponind de astfel de instalații din import, s-a realizat un stand de încercare la socuri repetitive a acestor aparete, prevăzut să fie produs în serie mică la Sectorul de Prototipuri și Microproducție (S.P.M) din Institutul Politehnic "Traian Vuia" din Timișoara. În fig.4.2 este reprezentată o schemă bloc a standului,

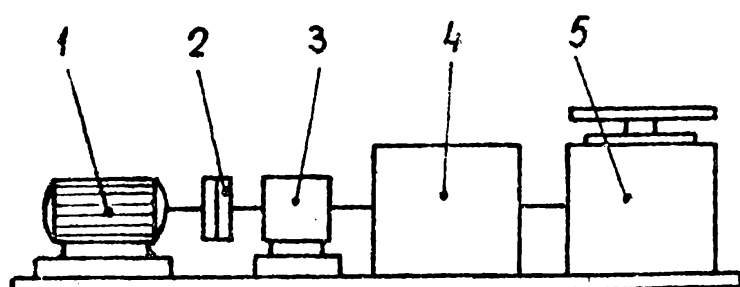


Fig.4.2

în care 1 reprezintă un motor electric asincron trifazat, seria AT Bo-19B-4, produs la Intreprinderea "Electromotor" Timișoara, 2 este un cuplaj elastic, 3

reprezintă un reductor melcat cu raportul de transmisie 63, seria IML, produs la Intreprinderea "Neptun" Câmpina, 4 reprezintă un variator cu roți conice și curea trapezoidală lată, produs în serie și cu reductor, iar 5 este masa de soc. intercalarea variatorului

de turătie în lanțul cinematic de transmitere a mișcării de la motorul electric la căma mecanică de soc permite reglarea între limite suficiente de largi a perioadei de repetiție a șocurilor de accelerare, transmise sub formă unor forțe percutante elementelor constructive ale aparatului supus încercărilor, prin intermediul elementelor elastice cu care sunt legate de carcasa aparatului.

Masa de soc a fost astfel proiectată și realizată, încât să permită reglarea între limite largi a parametrilor acestor forțe percutante. În fig.4.3 este reprezentat un detaliu din masa de soc,

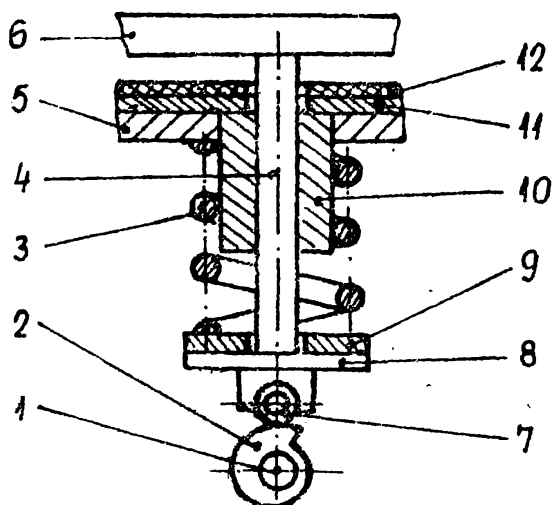


Fig. 4.3

din care se poate vedea principiul de funcționare al acestia. Arborele principal 1, de la ieșirea variatorului de turătie, astrenează în mișcare de rotație uniformă căma 2. Profilul cămei este urmărit de rola 7, care transmite suportului mobil 6, pe care se fixează aparatul de încercat, o mișcare de translatăie după

direcția verticală, prin intermediul unei portlagsări 8 și a arborelui canelat 4, având mișcarea de rotație impiedicată de ghidajul 10. Datorită profilului cămei din fig.4.3, suportul mobil este ridicat, după care urmează o cădere forțată de arcul pretenzionat 3. Ciocnirea are loc între suportul mobil 6 și placa 12, montată împreună cu placa distanțieră 11 pe placa superioară 5 a mecanicii de soc, astfel încât rola 7 și portlagsărul 8 nu sunt solicitate în timpul ciocnirilor. Prin interschimbabilitatea plăcilor distanțiere 9 și 11 se pot regla înălțimea de cădere a suportului mobil și pretenzionarea arcului, iar prin interschimbabilitatea plăcilor 12, confectionate din materiale diferite, se poate modifica coeficientul

de restituire la ciocnire și caracterul ciocnirilor, rezultând posibilități largi de reglare a parametrilor jocurilor de acceleratie, și, implicit, a parametrilor forțelor percutante transmise elementelor constructive ale aparatelor incercate.

Masa de soc a fost proiectată și realizată în construcție su-dată, având în vedere posibilitățile de asimilare în producție de serie mică la S.P.M. Elementele sale constructive au fost dimensiionate și verificate la solicitări variabile în condiții de durabilitate nelimitată, dar coeficienții de siguranță au fost adoptați cît mai mici, astfel încît să rezulte economie de material.

#### 4.3. Aparate de măsură folosite la efectuarea încercărilor experimentale pe modele mecanice.

Atât pentru modelul mecanic distorsionat, prezentat în paragraful 4.1, cît și pentru prototipul prezentat în paragraful 4.2, în cadrul încercărilor experimentale s-a urmărit măsurarea și înregistarea mișcărilor vibropercutante periodice, a vitezelor și accelerărilor acestor mișcări, astfel încît să se poată determina parametrii caracteristici pentru aceste mișcări în funcție de parametrii dinamici reglabilii ai sistemului vibropercutant. În acest scop, aparatul de bază folosit este SDM 132, un aparat universal de măsurat vibrații, cu două canale, utilizând traductoare piezoelectrici de acceleratie, produs împreună cu traductorii de VEB Metra Radebeul, R.D.G. Aparatul oferă largi posibilități de măsurat vibrații și mișcări vibropercutante, avind o bandă largă de frecvențe de trecere începînd cu frecvențe foarte joase, o gamă largă de domenii de măsură și permitînd măsurarea accelerărilor, a vitezelor sau deplasărilor, prin intercalarea în circuitul de măsură a uneia sau a două integratoare în timp. De asemenea, cu ajutorul acestui aparat se poate realiza într-o primă fază analiza spectrală a semnalului măsurat, prin trecerea lui printr-un bloc incorporat cu filtre de bandă de frecvență. Prin urmare, semnalul captat de traductor este adus prin cabluri

ecranate la intrarea unuia din cele două canale, unde este amplificat și integrat în timp, după care este transmis direct sau prin blocul de filtrare la blocurile de măsură, care indică valoările extreme ale semnalului pe instrumentul de măsură și îl vizualizează pe ecranul osciloscopului încorporat. De la ieșirile pentru înregistrare ale aparatului, semnalul măsurat este aplicat unui înregistrator cu bază de timp, iar în cazul folosirii blocului de filtrare, pentru precizarea frecvenței în cadrul benzii de frecvență de trecere a filtrului, acest semnal este aplicat și la bornele de sincronizare exterioară ale unui stroboscop, folosit aici ca frecvențmetru. Pentru a se asigura o precizie ridicată a determinărilor experimentale cantitative, întregul lanț de măsură și înregistrare a fost etalonat, pentru fiecare canal de măsură și pentru fiecare regim de funcționare a aparatului de măsură, cu ajutorul unei mese vibrante etalon. Având în vedere că la măsurarea mișcărilor vibropercutante apar șocuri de accelerare în timpul ciocnirilor, ca traductor s-a folosit de preferință tipul KD 34, capabil să capteze accelerării de valori mari.

Cu ajutorul acestor apărate de măsură și înregistrare s-au efectuat numeroase încercări experimentale pe ambele modele mecanice prezentate. Pentru modelul mecanic distorsionat, încercările experimentale au avut ca scop verificarea studiilor teoretice din capitolul 2, a rezultatelor modelării electrice din capitolul 3, precum și a unor rezultate obținute în urma studiilor teoretice și experimentale efectuate în cadrul unor contracte de cercetare științifică, rezultînd o bună concordanță între aceste rezultate. În cazul prototipului proiectat și realizat, corespondator standului de încercare la șocuri repetitive a aparatelor electrice și electronice, încercările experimentale au urmărit corelarea parametrilor șocurilor de accelerare reproduse pe stand cu valorile caracteristice ale elementelor constructive interschimbabile ale mesei

de soc, și anume cu grosimile plăcilor distanțiere 9 și 11, precum și cu materialele din care au fost confecționate plăcile 12.

Pentru exemplificare, în fig.4.4 sînt reprezentate diagrama vitezei și diagrama mișcării masei  $m_2$ , înregistrate în urma în-

cercărilor experimentale pe modelul mecanic distorsionat pentru sistemul vibropercutant din fig.2.1., corespunzătoare unei mișcări vibropercutante optime produsă de o forță perturbatoare armonică.

Din diagramele din fig.4.4, în urma determinărilor canticative pe baza factorilor de scară

stabilități la modelare, pentru valorile parametrilor dinamici reglabilii:  $\eta = 0,9$ ,  $\kappa = 0,6$ ,  $\frac{\delta_{20}}{x_{st}} = 3$ , valoarea adimensională a vitezei de la începutul ciocnirilor a rezultat  $\frac{\dot{x}_{2c}}{\omega_{n,st}^x} = 4,275$ ,

ceea ce atestă o bună concordanță între rezultatele studiului teoretic din paragraful 2.3 și rezultatele încercărilor experimentale. Totuși, valoarea acestei viteze este mai mică decât valoare corespunzătoare din fig.2.13, datorită nelijării în cadrul studiului teoretic a forțelor de amortizare viscoasă și a altor forțe rezistențe.

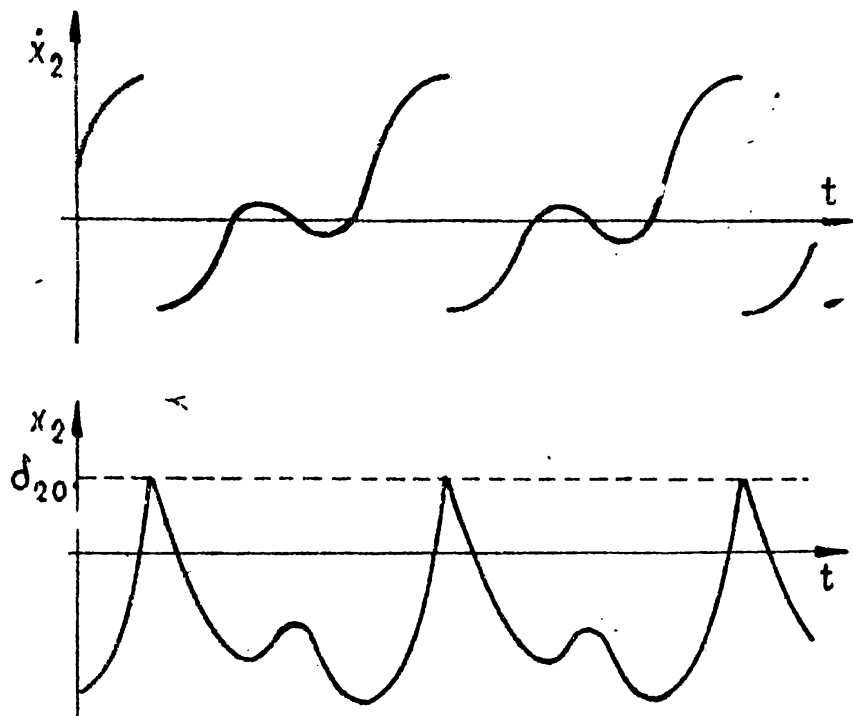


Fig. 4.4

## Cap.5. CONCLUZII

In capitolele 2, 3 și 4 s-au prezentat metodele folosite și rezultatele obținute în studiul teoretic și experimental, pe modele electrice și mecanice, a sistemelor mecanice vibropercutante generale cu mai multe grade de libertate. Toate aceste metode de studiu sunt originale și prezintă un grad ridicat de generalizare, multe din metodele de studiu cunoscute din literatura de specialitate obținându-se prin particularizarea lor. De asemenea, pentru exemplificarea metodelor prezentate, s-au considerat probleme concrete, de un larg interes pentru aplicații, care nu au mai fost studiate.

Principalele rezultate obținute în studiul teoretic și experimental al sistemelor mecanice vibropercutante pot fi sintetizate în considerațiile ce urmează.

1. S-a definit un operator matricial de derivare parțială, ale cărui proprietăți au fost studiate, cu ajutorul căruia se stabilesc ecuațiile diferențiale ale mișcării între două ciocniri consecutive pentru orice sisteme vibropercutante cu mai multe grade de libertate, liniare sau neliniare între ciocniri, folosind ecuațiile lui Lagrange cu multiplicatori, exprimate sub formă matricială.

2. Pentru modelarea matematică a ciocnirilor, s-a efectuat o analiză profundată a influenței parametrilor dinamici corespunzători unei couple percutante și a proprietăților visco-elasto-plastice ale materialelor din zonele de contact asupra caracterului ciocnirilor.

3. În cazul ciocnirilor instantanee, s-au stabilit expresiile

matriciale ale vitezelor generalizate de la sfîrșitul ciocnirilor în funcție de cele de la începutul ciocnirilor pentru o cuplă percutantă generală, avînd o formă generală a funcției legăturii unilaterale corespunzătoare.

4. Pentru studiul mișcării unui sistem vibropercutant liniar între ciocniri, între două ciocniri consecutive, s-au introdus operatori matriciali avînd ca elemente funcții trigonometrice sau exponentiale, cu ajutorul căror se poate exprima compact legea mișcării sistemului, chiar și în cazul unor forțe perturbatoare periodice carecare, nearmonice. Forma matricială a legii de mișcare pentru sistemele vibropercutante cu mai multe grade de libertate a rezultat asemănătoare cu legea mișcării între două ciocniri consecutive a unor sisteme vibropercutante corespunzătoare cu un singur grad de libertate, ceea ce permite stabilirea unor analogii în studiul acestor sisteme.

5. În vederea stabilirii condițiilor de existență a mișcărilor vibropercutante periodice de diferite tipuri, întîlnite frecvent în aplicații, impunînd condițiile de periodicitate a mișcării sau anumite condiții de periodicitate și simetrie, s-au exprimat sub formă matricială relațiile dintre parametrii ciocnirilor, din care rezultă valoările acestora în funcție de parametrii dinamici ai sistemului vibropercutant. Relațiile matriciale obținute generalizează toate rezultatele cunoscute în literatura de specialitate, corespunzătoare studiului unor sisteme vibropercutante particolare, liniare între ciocniri, avînd unul sau mai multe grade de libertate, cu una sau două couple percutante, neamortizate sau cu amortizare viscoasă, sub acțiunea unor forțe perturbatoare armonice sau periodice carecare.

6. Pentru studiul stabilității mișcărilor vibropercutante periodice determinate, s-a prezentat o metodă generală de liniari-

zare în raport cu perturbațiile parametrilor ciocnirilor a relațiilor dintre acești parametrii, corespunzătoare mișcării perturbate. Condițiile de stabilitate rezultă aplicînd criteriul lui Schur coeficienților ecuației caracteristice a sistemului de ecuații algebrice liniarizate în perturbații.

7. S-a acordat o atenție deosebită problemelor de optimizare a sistemelor vibropercutante generale, cu mai multe grade de libertate. Mișările vibropercutante periodice optime se determină din condițiile de minim a unor expresii depinzînd de parametrii dinamici reglabilii ai sistemului vibropercutant. În cazurile analizate au rezultat unele concluzii asemănătoare cu cele cunoscute din literatura de specialitate, privind optimizarea sistemelor vibropercutante cu un grad de libertate.

8. S-au prezentat unele considerații proprii privind studiul teoretic al sistemelor vibropercutante cu ciocniri neinstantanee și al celor neliniare între ciocniri.

9. Pe baza metodelor general de studiu teoretic a sistemelor vibropercutante cu mai multe grade de libertate, s-au determinat complet mișările vibropercutante periodice optime stabile pentru un model mecanic particular, la care se pot reduce o categorie largă de sisteme vibropercutante concrete.

10. S-a efectuat o analiză completă a posibilităților de modelare electrică a sistemelor mecanice viorante și vibropercutante, prezentîndu-se principiile generale de modelare electrică pe baza analogiilor dinamice și pe calculatoarele electronice.

11. S-a pus accent pe modelarea sistemelor vibropercutante pe calculatoarele analogice, care oferă unele avantaje față de alte modele electrice pentru aceste sisteme mecanice. În acest sens, s-au prezentat numeroase scheme de modelare culativă și cantitativă pentru diverse categorii de sisteme vibropercutante generale, cu mai multe grade de libertate, avînd una sau mai multe cupluri percutante,

întâlnite frecvent în aplicații. De asemenea, se dă unele rezultate obținute în urma modelării pe calculatorul analogic MEDA-42 TA a unor sisteme vibropercutante concrete, în cadrul activității de cercetare științifică pe bază de contracte cu unități economice din țară.

12. Se prezintă schema logică de modelare pe calculatoarele electronice numerice a sistemelor vibropercutante generale, cu mai multe grade de libertate, liniare între ciocniri și cu ciocniri instantane, realizată pe baza studiului teoretic efectuat sub formă matricială. Deoarece în cadrul programului corespunzător modelării cantitative se evită integrarea ecuațiilor diferențiale ale mișcării între două ciocniri consecutive, timpul de rulare al programului se reduce substanțial.

13. Pentru verificarea studiului teoretic și a rezultatelor modelării pe calculatoarele analogice în cazul modelului mecanic particular considerat, s-a proiectat și realizat un model electric pe baza analogiei forță-tensiune. În acest model electric s-au folosit, ca elemente active, generatori de tensiune alternativă sau cu variație dreptunghiulară în timp pentru modelarea forțelor perturbatoare și generatoare de impulsuri de tensiune pentru modelarea forțelor percutante în timpul ciocnirilor.

14. Tot pentru verificări experimentale, s-a proiectat și realizat un model mecanic distorsionat, pe căre se pot modela o clasă largă de sisteme vibropercutante cu două grade de libertate, având una sau două couple percutante. Rezultatele încercărilor experimentale pe acest model mecanic distorsionat au confirmat judecțea ipotezelor simplificatoare adoptate în studiul teoretic și pe modelele electrice al sistemelor vibropercutante.

15. În vederea largirii domeniului de utilizare al mașinilor și standurilor de încercare la scopuri repetate realizate în țară, s-a proiectat și realizat un prototip, care oferă multiple posibilități de reglare a diferitelor regiunuri de încercare.

Acest prototip a fost proiectat pentru încercarea la șocuri reperate a aparatelor electrice și electronice, în scopul realizării regimurilor de încercare specifice acestor aparate, dar poate fi adaptat și pentru efectuarea altor încercări.

16. Se poate concluziona că metodele generale prezentate, fundamentate științific, privind studiul teoretic și modelarea electrică a sistemelor vibropercutante, aduc unele contribuții importante la dezvoltarea teoriei sistemelor vibropercutante, iar rezultatele studiilor teoretice și experimentale pe modelele electrice și mecanice prezintă interes pentru aplicații în diverse domenii ale tehnicii și producției, contribuind la îmbogățirea literaturii de specialitate în aceste domenii.

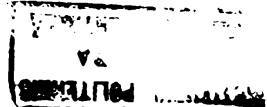
## BIBLIOGRAFIE

1. ABRAMOV V.M.: Kolebania priamozubih zubciatih koles. Izd.Harkovskogo Universiteta. Harkov, 1968.
2. ABRAMOV V.M.: Ob odnom ciastnom metode otiscania ustoicivogo periodiceskogo dvijenia vibroudarnih sistem. Teoria meh.i masin, Vip.13, 1972.
3. AKSENOV P.N.: Nekotorie voprosi teorii masin liteinogo proizvodstva. Masghiz. Moskva, 1962.
4. ANDRONOV A.A., VITT A.A., HAIKIN S.E.: Teoria kolebanii. G.I.F. M.L. Moskva, 1959.
5. ARJANIN I.S.: O novih neravenstvah ustoicivosti. Avtomatika i telemehanika, Tom 22, Nr.4, 1961.
6. ASAVSKI A.M.: Sintez optimalinih vibroudarnih mehanizmov. Vibrotehnika, Nr.3(20), 1973.
7. ASTASEV V.K.: K dinamike oszilliatora, udariaiusciosia ob ograniciteli. Masinovedenie, Nr.2, 1971.
8. BABAKOV I.M.: Teoria kolebanii. Izd.Nauka. Moskva, 1968.
9. BABITKI V.I.: K voprosu o sucestvovanii visokociastotnih kolebanii bol'soi amplitudi v lineinih sistemah s ograniciteliami. Masinovedenie, Nr.1, 1966.
10. BABITKI V.I.: Teoria vibroudarnih sistem. Izd.Nauka. Moskva, 1978.
11. BABITKI V.I., BKUNSTEIN R.E., KOBRINSKI A.E.: Dinamika i ustoicivosti uprughih sistem, soderjacych zazorov. Teoria masin i mehanizmov, Vip.105-106, 1965.
12. BABITKI V.I., IZRAILOVICI M.Ia.: Ob optimalinih dvijenia vibrodarnih sistem. Masinovedenie, Nr.3, 1968.
13. BARKAN D.D.: Vibrometod v stroitelstve. Gosstroizdat, Moskva, 1959.

14. BECHERESCU D.: Contribuții privind studiul mișcărilor periodice cu ciocniri la vibrotransport. Teză de doctorat. Universitatea din București, 1973.
15. BECHERESCU D., SMICALA I., DANOIU AL.: Studiul unor mișcări periodice ale unui sistem vibropercutant. Ses. de comunic. tehn. și cadrelor didactice și stud., Timișoara, 1977
16. BECHERESCU D., SMICALA I., DANOIU AL.: Studiul mișcărilor periodice ale unui sistem vibropercutant cu două grade de libertate. Lucrările celei de a III-a Conferințe "Vibrări în construcția de mașini", Timișoara, 1980.
17. BECHERESCU D., SMICALA I., CIORA M.: Die Bestimmung der periodischen Bewegungen eines Stoßschwingungssystems mit elastischen Begrenzer und einem Stoßpaar. Proceedings of the V-th Conference "Vibration in Mechanical Engineering", Timișoara, 1985.
18. BECHERESCU D., SMICALA I., CIORA M.: Studium der Stabilität der periodischen Bewegungen eines Stoßschwingungssystems mit elastischen Begrenzer und einem Stoßpaar. Proceedings of the V-th Conference "Vibration in Mechanical Engineering", Timișoara, 1985.
19. BELEA C., VARTOLOMEI M.: Metode algebrice și algoritmi de sinteză optimă a sistemelor dinamice. Ed. Acad. R.S.R., București, 1985.
20. BESPALOVA L.V.: K teorii vibroudarnogo mechanizma. Izv. Akad. SSSR, OTN, Nr. 5, 1957.
21. BESPALOVA L.V.: Rezultati modelirovania zadaci o vibracionom i vibroudarnom poigrumenii. Izv. viss. ucebn. zavedenii. Radiofizika, T.3, Nr.1, 1960.
22. BESPALOVA L.V., METRIKIN V.S.: A teorii dvuhmassovoi modeli vibroudarnika. Izv. viss. ucebn. zavedenii. Radiofizika, T.9, Nr.2, 1965.

23. BESPALOVA L.V., METRIKIN V.S.: Vlianie viazkogo trenia na ustoinostivibroudarnika. Mehanika tverdogo tela, №r.2, 1969.
24. BESPALOVA L.V., NEIMARK IU.I., FEIGIN M.I.: Dinamiceskie sistemi s udarnimi vzaimodeistviami i teoria nelineinikh kolebanii. Injenerniy jurnal. Mehanika tverdogo tela, №r.1, 1966.
25. BLEHMAN I.I., DJANELIDZE G.IU.: Vibratyonnoe peremeschenie. Izd. Nauka, Moskva, 1964.
26. BOGOLIUBOV N.N., MITROPOLSKI IU.A.: Asimptoticeskie metodii teorii nelineinikh kolebanii. G.I.T.T.L., Moskva, 1955.
27. BRINDEU L.: Contribuții privind studiul mișcărilor periodice ale sistemelor vibropercutante. Teză de doctorat. Institutul Politehnic Timișoara, 1970.
28. BRINDEU L.: Über die Bestimmung der Stabilitätsbedingungen der periodischen Bewegungen eines Stossenschwingers mit einem Freiheitsgrad. Bul.Inst.Polit.Iași, Secția IV, Mecanică tehnică, XVII, 3-4, 1971.
29. BRINDEU L.: Metodă directă folosită pentru determinarea condițiilor de stabilitate a mișcărilor periodice în cazul sistemelor vibropercutante. Bul.științ. și Tehnic al Inst.Polit. Timișoara, Seria Mat.-Fiz.-Iec., Tom 17(31), 1, 1972.
30. BRINDEU L.: The Direct Method Used for the Determination of Stability Conditions of Periodical Movements in the Case of Shock Vibration Systems. Rev.Roum.Math.Pures et Appl., XIX, 6, 1974.
31. BRINDEU L.: Methode Directe Employée pour Determiner les Conditions de Stabilité des Mouvements Periodiques du Système Vibropercutant. Bul.științ. și Tehnic al Inst.Polit.Timișoara, Seria Mat.-Fiz.-Iec., 19(33), 1, 1974.
32. BRINDEU L.: Generalizarea noțiunii de legătură unilaterala în studiul sistemelor vibropercutante. St.Cerc.Mat., 24, 4, 1974.

33. BRINDEU L.: Die Anwendung der LaplaceTransformation beim Studium der periodischen Bewegungen von Stoßschwingern.  
Strojnický časopis; 27, 3, 1976.
34. BRINDEU L.: Considerații privind studiul mișcării mecanismelor vibropercutante. Lucrări șt., Seria A, Inst.de Inv. Sup., Oradea, 1976-1977.
35. BRINDEU L.: Studiul stabilității mișcărilor periodice ale unui sistem vibropercutant cu două grade de libertate. Second IFToMM International Symposium on Linkages and Computer-Aided Design Methods - SYROM 77, Bucharest, 1977.
36. BRINDEU L.: The Stability of the Periodic Motions of the Shock Vibration Systems, Rev.Roum.des Sciences Techn., Serie de Mec.Appl., T.30, Nr.5, 1985.
37. BRINDEU L., BERETEU L., SMECALA I.: Die Berechnung der Eigenarten und der Eigenfrequenz der Schwingungen des Schaufelmodells mit diskreter Verteilung der Parametern. Proceedings of the V-th Conference "Vibration in Mechanical Engineering" Timișoara, 1985.
38. BRUNSTEIN R.E., KOBRIINSKI A.E.: Ob ustoicivosti periodičeskikh dvijenii vibroudarnih sistem. Izv.AN SSSR, OTN, Mekhanika i maginostroenie, Nr.5, 1960.
39. BRUNSTEIN R.E., KOBRIINSKI A.E.: K issledovanie dinamiki i ustoicivosti vibroudarnih sistem. Trudî Instituta Mašinovedenia. Seminar po teorii mašin i mehanizmov, T.21, Vip.83-84, 1961.
40. BRUNSTEIN R.E., KOBRIINSKI A.E.: Dinamika i ustoicivosti dvuh massovîh vibroudarnîh sistem. Izv.AN SSSR, Mekhanika i maginostroenie, Nr.5, 1964.
41. BUTENIN N.V.: Elementi teorii nelineinîh kolebanii. Sudpromgiz, Leningrad, 1962.



42. BUZDUGAN GH.: Măsurarea vibrațiilor mecanice. Ed. tehnică, București, 1964.
43. BUZDUGAN GH., FETCU L., RADES M.: Vibrațiile sistemelor mecanice. Ed. Acad.R.S.R., București, 1975.
44. CHIRIAC A.: Studiul interacțiunii dintre sistemele vibrante și motoarele de acționare electrice cu putere limitată. Teză de doctorat. Institutul Politehnic "Traian Vuia" Timișoara, 1981.
45. CIOARA T.GH.: Metode experimentale pentru determinarea caracteristicilor dinamice ale sistemelor vibrante. Teză de doctorat. Inst.Politehnic "Tr.Vuia" Timisoara, 1985.
46. CRAFTON P.A.: Shock and Vibration in Linear Systems, Harper and Brothers Publishers, New-York, 1961.
47. CARANDALL S.: Random Vibration. Vol.I, II. Massachusetts Institute of Technology Press, Cambridge, Mass., 1964.
48. CRIVACUȚEA O., DANOIU AL., GROSANU I., SMICALA I.: Studii teoretice și experimentale privind formarea măsurilor prin vibrații și vibropercuții. Lucr.Ses.de comunic.tehn.șt.a cadrelor didactice și stud., Timisoara, 1977.
49. DANOIU AL., SMICALA I.: Mecanică. Partea I. Statica. Lit.Inst. Polit."Tr.Vuia" Timișoara, 1932.
50. DIETRICH H.: Bewegungsformen und Dämpfungseigenschaften eines unstetig arbeitenden Stoßschwingungsdampfers. ZAMM, 46, Sonderheft, 1966.
51. DINCA F., TEODOSIU C.: Vibrații neliniare și aleatoare. Ed. Acad.R.S.R., București, 1969.
52. DUNAEV P.A.: Pnevmaticheskie molotki. Magazin, Moskva, 1959.
53. EGLE D.M.: An Investigation of an Impact Vibration Absorber. Trans.of the ASME, Journal of Engineering for Industry, Special Vibration Issue, Series B, Vol.89, Nr.4, 1967.

54. ERLIH L.B.: Vibrogasiteli udarnogo deistvia i ego primenenie v stankah. Stanki i instrument, №.7, 1952.
55. FEIGHIN M.I.: O vînûjdennih kolebaniah dvuh mass, s ocilenennîh s zazorom. Izv.AN SSSR, OTN, Mehanika i mašinostroienie, №.5, 1960.
56. FEIGHIN M.I.: K teorii udarnogo dempfera. Izv.vîss.ucebn. zavedeni. Radiofizika, T.4, №.3, 1961.
57. FU C.C.: Dinamic Stability of an Impact System connected with Rock Drilling. Trans.of the ASME, Journal of Applied Mechanics, Vol.36, Series E, №.4, 1969.
58. FU C.C., PAUL B.: Dinamic Stability of a Vibrating Hammer. Trans.of the ASME, Journal of Engineering for Industry, November 1969.
59. FUNG Y.C., BARTON M.V.: Shock Response of a Nonlinear System. Trans.of the ASME, Journal of Applied Mechanics, Vol.29, №.3, 1962.
60. GABOS Z., MANGERON D., STAN I.: Fundamentele mecanicii. Ed. Acad.R.S.R., Bucureşti, 1962.
61. GLIGOR TR.: Studiul vibraţiilor laterale ale locomotivei Diesel-electrice 060 DA de 2100 CP. Teză de doctorat. Inst. Politehnic "Tr.Vuia" Timișoara, 1974.
62. GOLDSMITH W.: Impact.The Theory and Physical Behaviour of Colliding Solids. Edward Arnold, London, 1960.
63. GROSANU I.: Contribuţii privind studiul mişcărilor staţionare şi nestaţionare ale sistemelor mecanice excitate inertial, acŃionate cu motoare electrice. Teză de doctorat. Inst. Politehnic, Timișoara, 1970.
64. GROSANU I., SMICALA I.: Modelarea sistemelor mecanice supuse la legături neolonomice. Lucrările celei de a IV-a ConferinŃe "VibraŃii în construcŃia de maşini", Timisoara, 1982.

65. GROSANU I., SMICALA I.: Modellierung von mechanischen Systemen mit nichtholonomen Verbindungen. Proceedings of the IV-th Conference "Vibration in Mechanical Engineering", Timișoara, 1982.
66. GRUBIN C.: On the Theory of the Acceleration Damper. Trans.of the ASME, Journal of Applied Mechanics, Vol.23, Nr.3, 1956.
67. GULBE A.K.: Optimalnīi zakon dvijenia lotka s zadaniimi prede-lami uskorenia pri vibrotransportirovke v rejime s etapami poleta pri nalicii sil suhogo i viazkogo trenia. Voprosi dinamiki i prochnosti, Vip.21, Izd."Zinatne", Riga, 1971.
68. HALANAY A.: Teoria calitativă a ecuațiilor diferențiale. Ed. Acad.R.P.R., București, 1963.
69. HALE I.K.: Oscillations in Nonlinear Systems. Mc.Graw-Hill Book Company, New-York, 1963.
70. HAMBURGER L., BUZDUGAN GH.: Teoria vibrațiilor și aplicațiile ei în construcția mașinilor. Ed.Tehnică, București, 1953.
71. HARRIS C.M., CREDE CH.E.: Shock and Vibration Handbook. Vol.I, II, III. Mc.Graw-Hill Book Company, New-York, Toronto, London, 1961.
72. HARTOG DEN J.P.: Mechanical Vibrations. Fourth Edition. Mc. Graw-Hill Book Company, Inc., New-York, Toronto, London, 1956.
73. HAYASHI C.: Nonlinear Oscillations in Physical Systems. Mc. Graw-Hill Book Company, New-York, San Francisco, Toronto, London, 1964.
74. HEGEDÜS A.: Contribuții privind mișcările vibropercutante op-time în sisteme mecanice și electromecanice. Teză de doctorat. Inst.Politehnic "Tr.Vuia" Timișoara, 1971.
75. HEGEDÜS A., PETERKA F.: Dvijenie vibroudarnoi sistemi s odnoi stepenu svobodi pri preamougolnom vozbujsenii. VII Konferencja Dinamiki Moszyn, Polska-Gliwice, 1971.
76. HEMAMI H., WEIMER F.C.: Modeling of Nonholonomic Dynamic Systems

- with Applications. Trans.of the ASME, Journal of Applied Mechanics, Vol.48, 1981.
77. IACOB C.: Mecanică teoretică. Ed.Didactică și Pedagogică, București, 1971.
78. IORIS IU.I.: Vibrometria. Izmerenie vibračii i udarov. Obsčiaia teoria, metodî i priborî. Mašghiz, Moskva, 1963.
79. IZRAILOVICI M.IA.: Optimalnii zakon periodiceskogo dvijenia odnomasssovoi vibroudarnoi sistemî. Maginovedenie, Nr.1, 1969.
80. JURAVLEV V.F.: Metod analiza vibroudarnih sistem pri pomočci spetialnih funkcii. Izv.An SSSR, Mekhanika Tverdogo Tela, Nr.2, 1976.
81. KAUDERER H.: Nichtlineare Mechanik. Springer Verlag, Berlin, Göttingen, Heidelberg, 1958.
82. KLOTTER K.: Technische Schwingungslehre. Springer Verlag, Berlin, Göttingen, Heidelberg, 1960.
83. KOBRINSKI A.E.: Mekanizmi s uprugimi sviazami. Izd.Nauka, Moskva, 1964.
84. KOBRINSKI A.E., TIVES L.I.: Dinamika i ustocivosti sistem so-soderjasciim dve udarnie parî. Maginovedenie, Nr.4, 1965.
85. KOPITOV V.I.: Vinujdenne kolebania sistemî s dvumia stepeniami svobodi pri udare ob organiciteli odnoi iz masa. Izv.viss. ucebn.zavedenii. Gornii jurnal, Nr.3, 1953.
86. KOWALCZYK B.: Stabilnosć układu vibro-uderzeniowego o wymuszeniu kinematycznym. Miech.teori i stoso, 4, Nr.2, 1966.
87. KUPHAL K.: Über die Beeinflussung von Schwingungen durch einen Stosskorper. II. Das Vertikal-System. ZAMM, Band 45, Heft.6, 1965.
88. LAVENDEL E.S.: Optimalnii zakon dvijenia lotka s zadannimi predelami uskorenia pri vibrotransportirovke v rejime s podbrasivaniem. Izv.An SSSR, Mekhanika i Maginostrojenie, Nr.6, 1964.

89. LENSKI A.N., LÓBODA V.M., FABRIKA L.P.: Issledovanie udarnih i vibroudarnih sistem na analogovih modeliah. Dinamika mašin, Izd.Nauka, Moskva, 1974.
90. LIVSIT P.S.: K voprosu o vînujdennih kolebaniah sistem udraiušcihsia ob organiciteli. Jurnal tehniceskoi fiziki, T.22, Vip.6, 1952.
91. LOITIANSKI L.G.: Svobodnîe i vînujdennîe kolebania pri nalicii kvadratichinogo i promejutichinogo mejdu lineinim i kvadratichinim zakonov soproтивlenia. Injenernii sbornik, Vip.18, 1954.
92. LUDVIG GY.: Utközesi feledatak modellezese elektronikus analog szamologeppel. Jársmüvek, Mezögazdasagi gepek, 17 evfolyam, 5 szám, 1970.
93. LUDVIG GY., NAHLIK G.: Analogue Simulation of Stochastic Excited Non-Linear Vibration Systems. Periodica Polytechnica, Mechanical Engineering, Vol.20, Nr.3, Budapest, 1976.
94. MAGNUS K.: Erzwungene Schwingungen des linearen Schwingers bei nichtharmonischer Erregung. ZAMM, Band 31, Berlin, 1951.
95. MAHRENHOLZ O.: Analogrechnen in Maschinenbau und Mechanik. Hochschultaschenbücher - Verlag, Bibliographisches Institut, Mannheim, Zürich, 1968.
96. MALKIN I.G.: Nekotorie zadaci teorii nelineinîh kolebanii. Gostehizdat, Moskva, 1956.
97. MANGERON D.: Metod integralnih uravnenii v nelineinoi mehanike. Trudi mejunarodnogo simp.po nelineinim kolebaniam. T.1, Izd. AN SSSR, Kiev, 1963.
98. MANGERON D., CHALEAT R.: Approximations d'ordre superieur dans l'étude des mouvements perturbés des oscillateurs. Rev. Roum.des Sc.Techn., Serie Mec.Appl., Tome 10, 4, 1965.
99. MANGERON D., IRIMICIUC N.: Mecanica rigidelor cu aplicații în inginerie. Vol.I, II, lili. Ed.tehnică, București, 1978-1981.

100. MANGERON D., SILAS GH., BRINDEU L.: Metod mnogougolnogo priблиjenia v issledovanii sistem s nelineinimi harakteristikami. Bul.Inst.Polit.din Iasi, Tom XII(XVI), Fasc.1-2, 1966.
101. MANGERON D., SILAS GH., BRINDEU L., HEGEDUS A., BNACHESCU C.: Dinamica sistemelor vibropercutante. I. Problema in care ciocnirea nu se consideră instantanee. Bul.Inst.Polit.din Iasi, Tom XII(XVI), Fasc.3-4, 1966.
102. MASRI S.F.: Electric - analog Studies of Impact Dampers. Trans. of the ASME, Journal of Applied Mechanics, Series E, Vol.34, Nr.2, 1967.
103. MOSKVITIN A.I.: Elektriceskie mašinî vozvratno-postupatelnogo dvijenia (Elektriceskie molotki, vibratori bistro hodnii elektromagnitnii privod). Izd.AN SSSR, Moskva, Leningrad, 1950.
104. NEIMARK IU.I.: Metod tocecinih otobrajenii v teorii nelineinikh kolebanii. Trudi mejdunarodnogo simp.po nelineinim kolebaniam, T.2, Izd.AN SSSR, Kiev, 1963.
105. NEIMARK IU.I.: Metod tocecinih otobrajenii v teorii nelineinikh kolebaii. Izd.Nauka, Moskva, 1972.
106. USTAPENKO V.A.: Mechaniceskie vibroudarnie sistemi. Naukova Dumka, Kiev, 1966.
107. PANOVKO IA.G.: Sposob priamoi linearizatsii v nelineinikh zadachах teorii uprughih kolebanii. Injenerniy sbornik, T.13, 1952.
108. PARK W.H.: Mass-Spring-Damper Response to Repetitive Impact. Trans.of.the ASME, Journal of Engineering for Industry, November 1967.
109. PAUNESCU M.: Folosirea vibratiilor la executarea unor lucrări de fundații. Ed.Tehnică, București, 1966.

110. PENESCU C., IONESCU VL., ROSINGER EL.: Procese optimale. Ed. Acad.R.S.R., Bucureşti, 1970.
111. PETERKA F.: Modelovani kmitajicich soustav s razu na analogem pocitaci. Strojnický Casopis, XVI, Nr.6, 1965.
112. PETERKA F.: Teorie pohybu dvouhmotove mechanické soustavy s vnitrnimi razy a jejii aplikace na dynamicky razovy tlumic: ACADEMIA, Praha, 1970.
113. PETERKA F.: Uvod do kmitani mechanickych soustav s vnitrnimi razy. ACADEMIA, Praha, 1981.
114. PETERKA F., KOTERA T.: Izbrannie problemi osnovnoi vibroudar- noj sistemi. Proceedings of the IV-th Conference "Vibration in Mechanical Engineering", Timișoara, 1982.
115. PFEIFER T.: Behrührungsloser elektromagnetischer Schwingung- serreger für dynamische Untersuchungen an Werkzeugma- schinen. Dissertation, Aachen, 1968.
116. PODCIUFAROV B.M.: Dinamika tříkliceskoi avtomatiki s malim vremenem.čikia. Izv.ucebn.zavedenii, Mašinostroenie, Nr. 12, 1961.
117. PONOMARIEV S.D., BIDERMAN V.L., LIHAREV K.K., MAKUSIN V.M., MALININ N.W., TEODOSIEV V.E.; Calculul modern de rezis- tență în construcția de mașini. Vol.III (trad.din lb. rusă). Ed.Tehnică, Bucureşti, 1964.
118. POPOV G.I.: K rascetu nelineinih kolebanii sistemii s odnoi stepeniu svobodî na deistvie mgnovennih i kratkovre- mennih sil. Issledovania po teorii soorujenii, Vip.VIII, Moskva, 1959.
119. RADES M.: Metode dinamice pentru identificarea sistemelor mecanice. Ed.Acad.R.S.R., Bucureşti; 1979.
120. RAGULSKENE V.L.: Udarno-ciastotniye harakteristiki vibrou- darmnih sistem. Trudi AN Lit.SSR, seria B, 4(35), 1963.

121. RGULSKIS K.M., VITKUS I.I., RAGULSKENE V.L.: Samosinhronizacija mehaniceskikh sistem. 1. Samosinhronnije i vibroudaniye sistem. Izd. Mintis, Vilnius, 1965.
122. RAGULSKIS K.M., KAVOLELIS A.P.K., BALTRUSAITIS I.D., SATKIAVICIUS E.B.: Samosinhronizacija mehaniceskikh sistem. 2. Samosinhronizacija modelirovaniye. Izd. Mintis, Vilnius, 1967.
123. RIPIANU A.: Mișcările vibratorii ale arborilor drepti și cotiți. Ed. Acad. R.S.R., București, 1969.
124. RUSAKOV I.G., MARKEVICI A.A.: Vînudennie kolebania sistemî udariaiuchiesia ob ograniciteli. Jurnal tehniceskoi fiziki, T.12, Vip.11-12, 1952.
125. SAAL C., HEGEDÜS A.: Mouvements vibropercutants periodiques de l'oscillomoteur biphasé synchrone reactif. Bul. Inst. Polit. Iași, Tom XVI (XX), F.3-4, 1970.
126. SACHSE R., REUM G.: Beiträge zur Theorie des Kurbel-Meder-Hammers. Wiss. Zeitschrift der Techn. Hochschule Karl-Marx-Stadt, Jahrgang VII, Heft 2, 1965.
127. SELARIU M.: Metodă pentru determinarea relației exacte de calcul a pulsării proprii a unui sistem oscilant liber, conservativ cu caracteristica neliniară. Lucr. Conf. "Vibrări în construcția de mașini", Timișoara, 1975.
128. SENATOR M.: Existence and stability of periodic motions of a harmonical forced impacting system. Journal of Acoust. Soc. Amer., 47, Nr. 5, Part 2, 1970.
129. SILAS GH.: Mecanică. Vibrării mecanice. Ed. Didactică și Pedagogică, București, 1968.
130. SILAS GH.: O nouă metodă de studiu a sistemelor vibropercutive liniare cu un grad de libertate și o cuplă percutantă. Bul. pt. și Tehn. al I.P. Timișoara, Seria Mat.-Fiz.-Mec. teoretică și aplic., Tom 16(30), Fasc. 1, 1971.

131. SILAS GH.: Metode și rezultate noi în studiul sistemelor vibropercutante generale cu un grad de libertate și a vibrațiilor cu caracteristici neliniare. Teză de doctorat. Inst. Politehnic Iași, 1971.
132. SILAS GH.: Sisteme dinamice cu interacțiuni percutante. Bul. St. și Tehn. al I.P.Timisoara, Seria Mat.-Fiz.-Mec. teoret. și aplic., Tom 18(32), Fasc.2, 1973.
133. SILAS GH.: Determinarea mișcărilor periodice ale unui sistem cu un grad de libertate și o cuplă percutantă. Lucr. Conf. "Vibrății în construcția de mașini", Timișoara, 1975.
134. SILAS GH., BECHERESCU D., SNIHALA I.: Studiul stabilității mișcărilor periodice ale unui sistem vibropercutant cu limitator elastic și o cuplă percutantă. Lucr. celei de a IV-a Conferințe "Vib. în constr. de mașini", Timișoara, 1982.
135. SILAS GH., BRINDEU L.: Regimurile periodice staționare ale mecanismelor vibropercutante cu amortizare viscoasă având un grad de libertate. Bul. St. și Tehn. al I.P.Timisoara, Tom 11 (25), Fasc.1, 1966.
136. SILAS GH., BRINDEU L.: Stabilitatea mișcărilor periodice ale unui sistem vibropercutant cu un grad de libertate. Ses. anuală a Soc. de Mat. din RDG, Rostock, 1968.
137. SILAS GH., BRINDEU L.: Studiul mișcărilor periodice ale unui sistem vibropercutant cu un grad de libertate. Conf. naț. de mec.aplic.a R.S.F.Jugoslavia, Split, 1968.
138. SILAS GH., BRINDEU L.: Mișcările periodice ale unui sistem vibropercutant cu un grad de libertate în cazul ciocnirilor elastice instantanee. Bul. St. și Tehn. al I.P.Timisoara, Tom 14(28), Fasc.1, 1969.
139. SILAS GH., BRINDEU L.: Behandlung periodischer Bewegungen von Kättelsystemen mit den Lagrangeschen Gleichungen. VDI Berichte, Nr.135, Frühjahr, 1969.

140. SILAS GH., BRINDEU L.: Studiul mișcărilor periodice și a stabilității acestora pentru sisteme vibropercutante generale, libere sau supuse la legături, cu ajutorul ecuațiilor lui Lagrange. Conf.națională de mecanică aplicată, București, iunie 1969.
141. SILAS GH., BRINDEU L.: Stabilitatea mișcărilor periodice ale unui sistem vibropercutant cu două grade de libertate. Bul.St.și Tehn.al I.P.Timișoara, Seria Mat.-Fiz.-Mec.teoretică și aplic., Tom 15 (29), Fasc.2, 1970
142. SILAS GH., BRINDEU L.: Das Studium der Stoßschwingungen einer freien Masse zwischen zwei Limitatoren mit kinematischer Erregung. VII Konferencji Dinamiki Maszyn, Politechnika Ślaska, Gliwice, Poland, 1971.
143. SILAS GH., BRINDEU L.: Studiul mișcării sistemelor vibropercutante cu ajutorul ecuațiilor lui Lagrange. Bul.St.și Tehn.al Inst.Polit.Timișoara, Seria Mat.-Fiz.-Mec., Tom 17(31), Fasc.2, 1972.
144. SILAS GH., BRINDEU L.: Folosirea ecuațiilor lui Lagrange la studiul mișcărilor periodice ale sistemelor vibropercutante. Bul.St.și Tehn.al Inst.Polit.Timișoara, Seria Mat.-Fiz.-Mec., Tom 18(32), Fasc.1, 1973.
145. SILAS GH., BRINDEU L.: Asupra folosirii variabilei complexe în studiul mișcării sistemelor vibropercutante. Bul.St.și Tehn.al Inst.Polit.Timișoara, Seria Mat.-Fiz.-Mec., Tom 20 (34), Fasc.2, 1975..
146. SILAS GH., BRINDEU L.: Mișcări periodice ale unui sistem vibropercutant în cazul ciocnirilor plastice. Lucr.Conf. "Vibrății în construcția de mașini", Timișoara, 1975.
147. SILAS GH., BRINDEU L.: Die Verwendung der einseitigen Bindungen für das Studium der Stöße. Bul.St.și Tehn.al Inst. Polit.Timișoara, Seria Mec., Tom 23(37), Fasc.2, 1978.

148. SILAS GH., BRINDEU L.: Studiul efectului cionirii asupra generatorului de vibrații la un sistem vibropercutant. Lucr.celei de a III-a Conferințe "Vibrații în construcția de mașini", Timișoara, 1980.
149. SILAS GH., BRINDEU L.: Considerații privind folosirea funcției legăturii unilaterale în studiul cionirii. Lucr. celei de a IV-a Conferințe "Vibrații în construcția de mașini", Timișoara, 1982.
150. SILAS GH., BRINDEU L.: Metoda reprezentărilor complexe în studiul sistemelor vibropercutante. Lucr.celei de a IV-a Conferințe "Vibrații în construcția de mașini", Timișoara, 1982.
151. SILAS GH., BRINDEU L.: Sisteme vibropercutante. Ed.technică, București, 1986.
152. SILAS GH., BRINDEU L., BACRIA V.: Studiul mișcărilor periodice ale unui vibrator cu limitatori elasticici. Ses.de comunic.științifice a I.F.Iași, 1967.
153. SILAS GH., BRINDEU L., BACRIA V.: Mișcările periodice ale unei mase libere pe un limitator elastic ce are o mișcare periodică. Bul.St. și Tehn.al Inst.Polit.Timișoara, Seria Mat.-Fiz.-Mec.teor. și aplic., Tom 15(29), Fasc.1, 1970.
154. SILAS GH., BRINDEU L., BACRIA V.: Studiul mișcării unui vibrator între limitatori elasticici. Lucr.Conf."Vibrații în construcția de mașini", Timișoara, 1975.
155. SILAS GH., BRINDEU L., GROSANU I.: Sisteme de percuții aplicate corpurilor rigide în rotație. Bul.St. și Tehn.al Inst. Polit.Timișoara, Tom 9(23), Fasc.1, 1964.
156. SILAS GH., BRINDEU L., GROSANU I., CIOARA T., BACRIA V., DEDU ST.: Cercetări privind comportarea dinamioă a unui hidroagregat în regim de sarcini variabile. Lucr.Conf."Vibrații în construcția de mașini", Timișoara, 1975.

157. SILAS GH., BRINDEU L., GROSANU I., CIOARA T., PITZER I., VAZORCA B.: Studiul comportării dinamice a unui vibrator de adâncime pentru lucrări de construcții. Lucr.Conf."Vibrării în construcția de mașini", Timișoara, 1975.
158. SILAS GH., BRINDEU L., HEGEDUS A.: Mișcări periodice cu ciocniri ale vibratorului liber. Bul.St.și Tehn.al Inst.Polit. Timișoara, Tom 12(26), Fasc.1, 1967.
159. SILAS GH., BRINDEU L., HEGEDUS A.: Determinarea coeficientului de restituire la ciocnire pe baza deformațiilor locale. Bul.St.și Tehn.al Inst.Polit.Timișoara, Tom 12(26), Fasc.2, 1967.
160. SILAS GH., BRINDEU L., HEGEDUS A.: Studiul mișcărilor periodice ale unui mecanism vibropercutant cu masă liberă și excitare periodică. Sesiunea șt.jubiliară a Inst.Polit. Cluj, 1968.
161. SILAS GH., BRINDEU L., HEGEDUS A.: Studiul mișcărilor vibropercutante ale unei mase libere cu excitare periodică. St.Cerc.Mec.Apl., Tom 29, Nr.5, 1970.
162. SILAS GH., BRINDEU L., KLEPP H.: Percutii aplicate corpului rigid liber. Bul.St.și Tehn.al Inst.Polit.Timișoara, Tom 9(23), Fasc.2, 1964.
163. SILAS GH., BRINDEU L., SMICALA I.: Eine matrzielle Methode für das Stabilitätsstudium der periodischen Bewegungen der mechanischen Stoßschwingungssystemen mit mehreren Freiheitsgraden. Proceedings of the V-th Conference "Vibration in Mechanical Engineering", Timișoara, 1985.
164. SILAS GH., BRINDEU L., TOADER M.: Asupra mișcărilor periodice verticale cu ciocniri ale unui sistem cu două mase legate elastic. Conf.de mecanică tehnică CNIT, București, 1967.
165. SILAS GH., GROSANU I.: Analiza regimurilor nestationare ale unor sisteme, nice folosind metoda de aproximare poli-

gonală. Sesiunea de comunic.științifice a Inst.Polit.Iași,  
1967.

166. SILAS GH., GROSANU I.: Mecanica. Ed.Didactică și Pedagogică,  
București, 1981.
167. SILAS GH., GROSANU I., BRINDEU L., CIOARA T.: Studiu teoretic  
și experimental al unei plăci vibrante cu gabarit redus. Lucr.  
Conf."Vibratii în construcția de mașini", Timișoara, 1975.
168. SILAS GH., HEGEDUS A.: Studiu mișcărilor periodice ale unui  
mecanism vibropercutant cu un grad de libertate. Bul.St.ști  
Tehn.al Inst.Polit.Timișoara, Tom 11(25), Fasc.2, 1966.
169. SILAS GH., HEGEDUS A.: Contribuții la studiu mișcărilor pe-  
riodice ale unui sistem vibropercutant cu un grad de liber-  
tate. St.Cerc.Mec.Apl., Tom 29, Nr.6, 1970.
170. SILAS GH.,HEGEDUS A.: Contribuții privind studiu mișcărilor  
periodice optime ale sistemelor vibropercutante cu un grad  
de libertate. Bul.St.ști Tehn.al Inst.Polit.Timișoara, Seria  
Mat.-Fiz.-Mec.teoret. și aplic., Tom 16(30), Fasc.2, 1970.
171. SILAS GH., HEGEDUS A.: Contribuții la studiu dinamic al unor  
sisteme vibropercutante cu două couple percutante. Lucr.celei  
de a IV-a Conferințe "Vibratii în construcția de mașini",  
Timișoara, 1982.
172. SILAS GH., HEGEDUS A.; BECHERESCU D.: Mișcările vibropercutan-  
te ale particulei materiale excitate de o platformă mobilă.  
Bul.St.ști Tehn.al Inst.Polit.Timișoara, Seria Mat.-Fiz.-Mec..  
teoret. și aplic., Tom 15(29), Fasc.1, 1970.
173. SILAS GH., HEGEDUS A., SMICALA I.: Studiu mișcărilor periodice  
optime ale unui sistem vibropercutant cu un grad de libertate  
având două couple percutante. Lucr.Conf."Vibratii în construc-  
ția de mașini", Timișoara, 1975.
174. SILAS GH., KLEPP H.: Asupra vibratiilor sistemelor având carac-  
teristici neliニアre cu excitație prin impulsuri periodice.

- Conf.de Mecanică Tehnică, Bucureşti, 1967. .
175. SILAS GH., KLEPP H., CIOARA T., MARCUS A.: Asupra determinării diagramei forței percutante la prese. Lucr.Conf."Vibrății în construcția de mașini", Timișoara, 1975.
176. SILAS GH., MANGERON D., BRINDEU L., HEGEDUS A.: Über die stationäre Bewegung eines Schlagschwingssystems, wenn der Zusammenstoss nicht als momentan betrachtet wird. Rev. Roum.Scient.Techn.Mec.Appl., Tome T2, Nr.2, 1967.
177. SILAS GH., PAUNESCU M., GROSANU I., BRINDEU L.: Contribuții la studiul și proiectarea mașinilor vibropercutante folosite la înfigerea piloților. Bul.St.și Tehn.al Inst.Polit. Timișoara, Tom 7(21), Fasc.2, 1962.
178. SILAS GH., PAUNESCU M., GROSANU I., BRINDEU L., GLIGOR T.: Vibropercutor pentru înfigerea elementelor în pămînt. Bul. St.și Tehn.al Inst.Polit.Timișoara, Tom 9(23), Fasc.2, 1964.
179. SILAS GH., RADOI M., BRINDEU L., KLEPP H., HEGEDUS A.: Culegere de probleme de vibrății mecanice. Vol.I, II. Editura Tehnică, Bucureşti, 1967, 1972.
180. SILAS GH., RADOI M., BRINDEU L., SMICALA I.: Folosirea modelării analogice în studiul unui izolator neliniar. Bul.St. și Tehn.al Inst.Polit."Tr.Vuia" Timișoara, Tom 25(39), Fasc.1, 1980.
181. SILAS GH., RADOI M., GROSANU I., BRINDEU : Pozițiile centrelui de percuție a unui corp în mișcare de rotație. Bul. St.și Tehn.al Inst.Polit.Timișoara, Tom 6(20), Fasc.1, 1961
182. SILAS GH., SMICALA I.: Der matrizielle Ausdruck der Beziehungen zwischen den Allgemeingeschwindigkeiten vom Anfang und vom Ende des Zusammenstoßes im Falle der augenblicklichen Zusammenstoße eines mechanischen Systems mit mehreren Freiheitsgraden, Proceedings of the V-th Conference "Vibration in Mechanical Engineering", Timișoara,

183. SILAS GH., SMICALA I.: Die Bestimmung der periodischen Bewegungen der linearen ungedämpften Stoßschwingungssystemen mit einem Stoßpaar und mehreren Freiheitsgraden. Proceedings of the V-th Conference "Vibration in Mechanical Engineering", Timișoara, 1985.
184. SILAS GH., SMICALA I.: Die Bestimmung der periodischen Bewegungen der linearen Stoßschwingungssystemen mit gleichförmiger zähflüssiger Dämpfung, mit einem Stoßpaar und mit mehreren Freiheitsgraden. Proceedings of the V-th Conference "Vibration in Mechanical Engineering", Timișoara, 1985.
185. SILAS GH., SMICALA I.: Die Bestimmung der periodischen Bewegungen der ungedämpften Stoßschwingungssystemen, die zwischen den Zusammenstößen linear sind, mit zwei Stoßpaaren und mehreren Freiheitsgraden. Proceedings of the V-th Conference "Vibration in Mechanical Engineering", Timișoara, 1985.
186. SMICALA I.: Studiul mișcărilor periodice optime ale unui sistem vibroperecutant cu un grad de libertate prin modelare pe calculatorul analogic. Lucr.Ses.de comunic.tehn.șt.a cadrelor didactice și stud., Timișoara, 1977.
187. SMICALA I.: Die analogische Modellierung von mechanischen Stoßschwingungssystemen mit mehreren Freiheitsgraden. Proceedings of the V-th Conference "Vibration in Mechanical Engineering", Timișoara, 1985.
188. SMICALA I.; DANOIU AL., BECHERESCU D.: Mecanică. Partea II-a. Cinematică. Lit.Inst.Polit."Tr.Vuia" Timișoara, 1984.
189. SMICALA I., DANOIU AL., GROSAU I., CRIWACUCEA O.: Studii teoretice privind confecționarea măsurilor de formare cu ajutorul vibrațiilor. Lucr.Com."Vibratii în construcția de mașini", Timișoara, 1975.

190. SMICALA I., GHEORGHIU A.: Studiul vibrațiilor forțate amortizate ale elementelor modulelor electronice formând sisteme cu mai multe grade de libertate cu ajutorul calculatoarelor numerice. Lucr.celei de a III-a Conf."Vibrații în construcția de mașini", Timișoara, 1978.
191. SMICALA I., GROSANU I.: Modelarea transmisiilor mecanice. Lucr.celei de a IV-a Conf."Vibrații în construcția de mașini", Timișoara, 1982.
192. SMICALA I., NICOARA I.: Modelarea electrică a sistemelor mecanice închise.. Lucr.celei de a II-a Conf."Vibrații în construcția de mașini", Timișoara; 1980.
193. SOCEANU AL., IRIMESCU D.: Tehnici numerice de simulare a sistemelor continue. Lit.Inst.Politehnic București, 1974.
194. SPOREA I., DANOIU AL., SMICALA I.; GROSANU I.; VIDA L., CRIVACUCEA O.: Influența vibrațiilor asupra caracteristicilor amestecurilor de formare cu liant răsină fenolică. Lucr.Conf."Vibrații în construcția de mașini", Timișoara, 1975.
195. STOENESCU AL., SILAS GH.: Mecanică teoretică. Ediția III. Ed. Didactică și Pedagogică, București, 1963.
196. TAPLIN A.: Vibroudarnie mehanizmî. Avtotransizdat, Moskva, 1953.
197. TIVES L.I.: Dinamika i ustoyivosti simetricinoi vibroudarnoi sistemî, soderjashcei dva zazora. Obšcie problemî mashinostroenia, Izd.Nauka, Moskva, 1967.
198. TOADER M.I.: Contribuții la aplicarea analizei funcționale în teoria oscilațiilor neliniare: Teză de doctorat. Inst. Polit."Tr.Vuia" Timișoara, 1932.
199. TOADER M., SMICALA I.: Asupra unui sistem dinamic cu histereză liniară. Lucr.Conf."Vibrații în construcția de mașini", Timișoara, 1975.

200. TOADER M., SMICALA I.: Asupra îmbunătățirii soluției aproximative a ecuației diferențiale a sistemelor mecanice nelineare cu un grad de libertate. Bul.St.ști Tehn.al Inst. Polit."Tr.Vuia" Timișoara, Seria Mec., Tom 25(39), Fasc.1, 1980.
201. TOADER M., SMICALA I.: Asupra unei metode iterative în studiul sistemelor mecanice nelineare cu un grad de libertate. Lucr.celei de a III-a Conf."Vibrății în construcția de mașini", Timișoara, 1980.
202. TOKACI E.: Contribuții la studiul sistemelor materiale percutante. Bul.Inst.Politehnic Iași, Tom 11(15), Nr.3-4, 1965.
203. TOKACI E.: Asupra ecuațiilor mecanicii analitice pentru cazul sistemelor materiale percutante. Studii și cercetări matematice, Acad.R.S.R., 18, Nr.3, 1966.
204. VAINKOF IA.F.: Ob ustoicivosti dvijenia tela na vibruiuscej platforme. Injenernii jurnal, Mehanika tverdogo tela, Nr.6, 1966.
205. VAINKOF IA.F.: Ob ustoicivosti dvijenia dvuhmassovoi vibrodarnoi sistemî s odnostoronnim vozbujsdeniem. Prikladnaja mehanika, Tom III, Vip.5, 1967.
206. VIBA IA.A.: Opredelenie parametrov realnogo zakona dvijenia odnoudarnogo vibrationnogo lotka. Sb.vopr.dinam.i proçin., Vip.21, Zinatne, Riga, 1971.
207. VIBA IA.A.: Sintez dvuhstoronnogo vibroudarnogo transportera s nepodvijnim uporom. Sb.vopr.dinam.i proçin., Vip.21, Zinatne, Riga, 1971.
208. VIBA IA.A.: Rasčet dinamiki odnomassovoj mehaniceskoi sistemi vibrobunker - lotka. Sb.vopr.dinam.i proçin., Vip.21, Zinatne, Riga, 1971.
209. VIBA IA.A., INDRIKSON R.A.: Optimalnoe silovoe upravlenie prodolnej komponenti ijenija lotka s prujinoi i ogranicite-

- liami. Sb.vopr.dinam.i procin., Vip.32, Zinatne, Riga, 1976.
210. VIBA IA.A., MERKULOV V.I.: Optimalnie parametri vibromolota s garmoniceskim vozbujseniem. Sb.vopr.dinam.i procin., Vip.33, Zinatne, Riga, 1976.
211. VIBA IA.A., NOVOHATSKAIA T.N.: Sintez udarnogo gasitelia kolebanii. Sb.vopr.dinam.i procin., Vip.34, Zinatne, Riga, 1977.
212. VILCOVICI V., BALAN ST., VOINEA R.: Mecanică teoretică. Editura Tehnică, Bucureşti, 1963.
213. VOINAROSKI R.: Mecanică teoretică. Ed.Didactică și Pedagogică, Bucureşti, 1968.
214. ZAITEV V.A., JUCIKOV M.G., IONOVA V.S.: Vibroudarnie protsessi v diskovih frictionsh muftah. Izv.viss.ucebn.zavedenii, Mašinostroenie, Nr.3, 1968.
215. ZARETKI L.B.: Vijnudennie kolebania besprujnogo vibroudarnogo mehanizma s dvumia udarnikami. Vibratcionnaia tekhnika, Moskva, 1966.
216. ZEVIN A.A.: Ob ustoicivosti periodiceskih dvijenii pri naličii soudarenii mass. Mašinovedenie, Nr.4, 1968.
217. ZEVIN A.A.: Rasseyanie energhii v vibroudarnh sistemah. Mašinovedenie, Nr.3, 1971.

## CUPRINS

1. INTRODUCERE .....	1
1.1. Studii teoretice ale sistemelor mecanice vibropercutante..	1
1.2. Studii experimentale pe modele ale sistemelor mecanice vibropercutante .....	9
2. STUDIUL MISCARIILOR PERIODICE STABILE ALE SISTEMELOR MECANICE VIBROPERCUTANTE .....	15
2.1. Generalități .....	15
2.2. Stabilirea ecuațiilor diferențiale ale mișcării sistemelor vibropercutante între ciocniri .....	20
2.2.1. Operator matricial de derivare parțială .....	20
2.2.2. Stabilirea ecuației diferențiale ale mișcării sistemelor vibropercutante neliniare între ciocniri .....	24
2.2.3. Stabilirea ecuațiilor diferențiale ale mișcării sistemelor vibropercutante liniare între ciocniri .....	30
2.3. Modelarea matematică a ciocnirilor .....	32
2.3.1. Modelarea matematică a ciocnirilor instantanee .....	32
2.3.2. Modelarea matematică a ciocnirilor neinstantanee .....	40
2.4. Stabilirea condițiilor de existență ale mișcărilor periodice ale sistemelor vibropercutante .....	51
2.4.1. Sisteme vibropercutante liniare între ciocniri, neamortizate, cu o cuplă percutantă, având n grade de libertate.....	51
2.4.2. Sisteme vibropercutante liniare între ciocniri, cu amortizare vîscoasă uniformă, cu o cuplă percutantă, având n grade de libertate .....	61
2.4.3. Sisteme vibropercutante liniare între ciocniri, cuplate prin amortizare vîscoasă, cu o cuplă percutantă, având n grade de libertate .....	66

2.4.4. Sisteme vibropercutante liniare între ciocniri, neamortizate, cu două couple percutante, având n grade de libertate .....	74
2.5. Studiul stabilității mișcărilor periodice ale sistemelor vibropercutante .....	84
2.5.1. Prezentarea metodei de studiu a stabilității .....	84
2.5.2. Studiul stabilității mișcărilor vibropercutante periodice cu o cionire într-o perioadă a mișcării .....	90
2.6. Optimizarea sistemelor vibropercutante .....	96
2.7. Considerații privind studiul sistemelor vibropercutante inclinare între ciocniri și cu ciocniri neinstantanee..	101
2.8. Studiul mișcărilor vibropercutante periodice optime pentru un sistem vibropercutant cu două grade de libertate .....	114
<b>3. MODELAREA ELECTRICA A SISTEMELOR MECANICE VIBROPERCUTANTE .....</b>	<b>121</b>
3.1 Considerații generale .....	121
3.2. Modelarea sistemelor mecanice vibropercutante pe calculatoare analogice .....	135
3.2.1. Modelarea calitativă pe calculatoare analogice .....	135
3.2.1.1. Schema de modelare calitativă simplificată pentru sisteme vibropercutante generale cu mai multe grade de libertate .....	135
3.2.1.2. Modelarea calitativă a ciocnirilor neinstantanee ..	140
3.2.1.3. Modelarea calitativă a ciocnirilor instantanee ....	148
3.2.1.4. Modelarea calitativă a semicouplelor percutante ....	155
3.2.2. Modelarea cantitativă pe calculatoare analogice .....	161
3.3. Modelarea electrică a sistemelor vibropercutante pe calculatoare numerice .....	167
3.4. Modelarea electrică a sistemelor vibropercutante pe baza analogiilor dinamice .....	173

4. INCERCARI EXPERIMENTALE PE MODELE MECANICE .....	178
4.1. Model mecanic distorsionat pentru studiul sistemelor vibropercutante cu unul sau două grade de libertate, cu una sau două couple percutante .....	178
4.2. Stand pentru încercarea la șocuri repetate a aparatelor electrice și electronice .....	181
4.3. Aparate de măsură folosite la efectuarea încercărilor experimentale pe modele mecanice .....	184
5. CONCLUZII .....	187
BIBLIOGRAFIE .....	192